

1958 JAN. - 9

FM

АКАДЕМИЯ НАУК СОЮЗА ССР

# ЖУРНАЛ ФИЗИЧЕСКОЙ ХИМИИ

ТОМ  
XXXI

11

ВЫПУСК

НОЯБРЬ  
1957

---

---

ИЗДАТЕЛЬСТВО АКАДЕМИИ НАУК СССР  
МОСКВА

# ЖУРНАЛ ФИЗИЧЕСКОЙ ХИМИИ

*Редакционная коллегия:*

В. Я. АНОСОВ, К. В. АСТАХОВ, А. И. БРОДСКИЙ, Г. К. БОРЕСКОВ,  
Я. И. ГЕРАСИМОВ, С. В. ГОРБАЧЕВ, Г. С. ЖДАНОВ, Л. А. НИКОЛАЕВ,  
Н. Н. СЕМЕНОВ, А. Н. ТЕРЕНИН, А. Н. ФРУМКИН,  
К. В. ЧМУТОВ

*Главный редактор* Я. И. ГЕРАСИМОВ

*Заместители главного редактора* С. В. ГОРБАЧЕВ, К. В. ЧМУТОВ  
*Отв. секретарь* Л. А. НИКОЛАЕВ

## ПРОИСХОЖДЕНИЕ И ЗНАЧЕНИЕ ИЗМЕНЯЮЩИХСЯ ЭНЕРГЕТИЧЕСКИХ ХАРАКТЕРИСТИК КАТАЛИТИЧЕСКОГО ПРОЦЕССА

С. З. Рогинский

Изменение теплот и энергий активации хемосорбции с заполнением. Для хемосорбции и катализа характерна сильная зависимость прочности связи молекул с поверхностью твердых тел и их реакционной способности от заполнения  $\Phi$ . Особенно это выражено у металлов. Так, в частности, по прямым данным эмиссионной электронной микроскопии количества кислорода, азота, по порядку величины соответствующие одноатомному, не снимаются с поверхности вольфрама и молибдена даже при откачке  $10^{-11}$  мм рт. ст. Для полного освобождения поверхности этих металлов от газовой пленки требуется сочетание такого ультравысокого вакуума с нагреванием выше  $2000^\circ\text{C}$  [1]. Для меди, никеля, кремния и германия катронография при помощи медленных электронов (150 eV) показывает, что аналогичные пленки удаляются только после испарения значительной части твердого тела в высоком вакууме с нагревом электронной бомбардовкой [2]. На тех же поверхностях при более высоких заполнениях наблюдается непрочная хемосорбция, снимаемая откачкой при комнатной температуре. Прямые калориметрические измерения и последования адсорбционных равновесий показывают, что с ростом  $\Phi$  происходит резкое падение теплот адсорбции. В частности, для  $\text{H}_2$  на W, при изменении  $\Phi$  от 0 до 1,  $Q_{\text{адс}}$  изменяется от 45 до 3 ккал/моль [3]. Значительные изменения претерпевают дифференциальные теплоты адсорбции водорода на платине, никеле и железе. Еще сильнее абсолютные значения изменений с заполнением теплот хемосорбции на металлах для азота, азота и этилена [3]. При адсорбции молекул с диссоциацией на  $n$  одинаковых частей разность энергий связи с поверхностью на один атом для разных порций газа на  $n$ -й части разности наблюдаемых теплот адсорбции:

$$\Delta D_{i;j} = \frac{1}{n} \Delta Q_{\text{адс } i;j}. \quad (1)$$

Этому равенству приведенным выше значениям  $\Delta Q_{1,0}$  водорода на вольфраме соответствуют  $\Delta D_{1,0} = 21$  ккал/моль. При адсорбции без диссоциации разность между энергиями связи для разных порций в  $n$  раз больше равна полной разности соответствующих теплот адсорбции:

$$\Delta D_{i;j} = \Delta Q_{\text{адс } i;j}. \quad (1a)$$

Экспериментальным данным последнего времени хемосорбция без диссоциации встречается в катализе по меньшей мере столь же часто ( $\text{N}_2$ ), как хемосорбция с диссоциацией. Значительное снижение теплот адсорбции при увеличении  $\Phi$  наблюдается и на твердых полупроводниках. Для твердых тел различных электронных типов строения наблюдается систематическое увеличение энергии активации хемосорбционного процесса  $E_{\text{адс}}$  с заполнением. Например для хемосорбции  $\text{H}_2$  на

$ZnO/Cr_2O_3$ ; молярные  $E$  изменяются с заполнением от 1 до 34 ккал [4] для CO на  $ZnO/Cr_2O_3$  даже от 5 до 85 ккал [5]. По нашим данным [6] на сахарном активном угле с добавкой поташа при  $\Phi \approx 10^{-4}$   $E = 4,0$  ккал/моль и 9,0 при  $\Phi \approx 0,07$ . Диапазон  $E$  несомненно расширился бы значительно при расширении диапазона  $\Phi$  до десятков процентов. Для водорода на активном угле, по Бареру и Райдиллу [7]  $E$  при заполнениях от 0,005 до 0,15 изменяется от 8 до 30 ккал/моль [7].  $E$  сильно растет с  $\Phi$  также для  $H_2$  на графите и амазе. Сходные наблюдения имеются для адсорбции на многих металлических и окисных (а также на сульфидных) катализаторах. Падение  $Q_{адс}$  и рост  $E_{адс}$  с заполнением можно рассматривать как два проявления одной общей закономерности адсорбции, характеризующейся изменением внутренней энергии  $\Delta U_{адс}$  или соответственно энтальпии  $\Delta H_{адс}$  с заполнением. С ростом  $\Phi$   $\Delta U_{адс}$  (или соответственно  $\Delta H_{адс}$ ) увеличивается.

Для обычной завершенной адсорбции  $\Delta U$  и  $\Delta H$  отрицательны и в то же время

$$Q_v = -\Delta U_{адс}$$

и

$$Q_p = -\Delta H_{адс}$$

положительны. Поэтому увеличение  $\Delta U$  и  $\Delta H$  проявляется в уменьшении абсолютного значения теплоты адсорбции  $-\Delta Q_{адс}$ . Энергия активации хемосорбции при  $p = \text{const}$  эквивалентна  $\Delta H_{адс}$  в виде избыточного эндотермического переходного комплекса, т. е. представляет тепловой эффект адсорбции в виде переходного комплекса, взятый с обратным знаком. Поэтому  $\Delta U$  и  $\Delta H$  положительны и их рост с ростом  $\Phi$  сводится к увеличению числовой величины. В то же время  $E_v = \Delta U_{адс}$  и  $E_p = \Delta H_{адс}$  и поэтому энергия активации растет с заполнением.

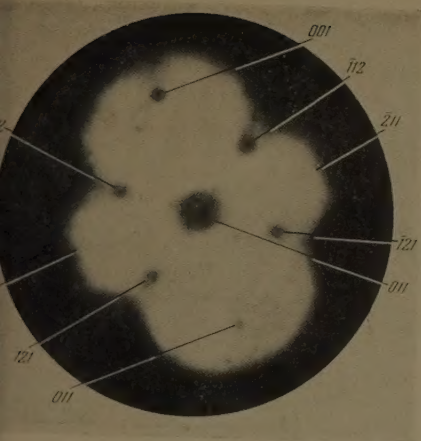
При наличии на поверхности нескольких адсорбирующихся веществ  $\Delta U$  и  $\Delta H$  адсорбции каждого из них зависят не только от своего  $\Phi_i$  но и от всех других  $\Phi_i$

$$\Delta U_1 = f_1(\Phi_1; \Phi_2 \dots); \quad \Delta U_2 = f_2(\Phi_1; \Phi_2 \dots) \text{ и т. д.}$$

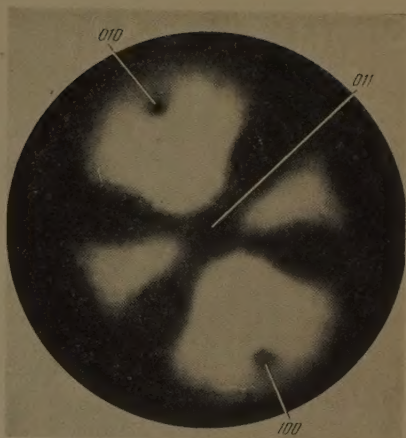
В этом случае симбатность изменения  $\Delta U$  (и  $\Delta H$ ), приводящая к падению  $Q_{адс}$  и росту  $E_{адс}$ , по всем  $\Phi_i$  не обязательна.

В общем случае возможны различные расположения молекул сорбтива на поверхности, например несколько кинетических расположений соответствующих различным условиям образования адсорбционной пленки или одно кинетическое и одно статическое, соответствующее термодинамически наиболее выгодному расположению. Тогда как  $Q_{адс}$ , так и  $E_{адс}$  при данном суммарном  $\Sigma \Phi_i$  и частных  $\Phi_i$  зависят от топографии сорбции.

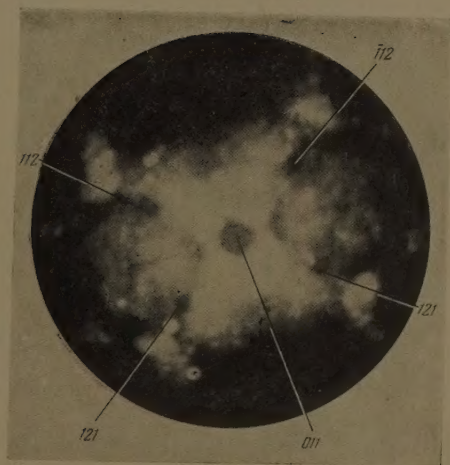
В общем случае не безразлично будут ли молекулы распределяться по поверхности кучно, концентрируясь по ее определенным структурным элементам, беспорядочно или упорядоченно, повторяя в известной мере правильное расположение атомов на поверхности кристаллической решетки адсорбента. Прямые данные о расположении адсорбированных молекул, полученные эмиссионно-микроскопически для однокристаллических металлических острий, показывают неравномерность адсорбции. Молекулы преимущественно закрепляются по зонам, соответствующим определенным элементам симметрии кристалла (см. рис. 1, а, б, в). В отдельных случаях удастся наблюдать несколько различных распределений одной и той же порции сорбтива и даже самый процесс перестройки адсорбционного слоя [9]. Для твердых тел других электронных типов вероятно сходная картина. Об этом говорят, в частности, радиографические данные.



*a*



*б*



*в*

рис. 1. Вид в электронном проекторе: *a* — чистой поверхности монокристаллического острия W с указанием индексов граней, дающих основные пятна; *б* — то же острие с темными перекрещивающимися полосами, возникшими по местам адсорбции  $O_2$ , вызывающей повышение работы выхода; *в* — вид того же острия с частично науглероженной поверхностью.



ЗАВИСИМОСТЬ  $E$  КАТАЛИТИЧЕСКОГО ПРОЦЕССА ОТ  $\Phi_i$ 

При хемосорбционном механизме гетерогенного катализа указанные изменения  $Q$  и  $E_{\text{адс}}$  должны неизбежно приводить к зависимости скорости активации каталитического процесса от заполнения. В тех случаях когда скорость реакции определяется скоростью адсорбции или десорбции одного из компонентов, это очевидно, причем  $E_{\text{кат}}$  должно зависеть от заполнения. Можно показать, что изменения  $Q_{\text{адс}}$  и  $E_{\text{кат}}$  должны иметь место и в других случаях, в частности для реакций, контролируемых каким-нибудь переходом в адсорбционном слое, или для химических реакций газовой молекулы с адсорбированной. В рамках мюльшвабовской кинетики каталитических процессов для  $E$  наблюдаемого ( $E_{\text{адс}}$ ) это вытекает из известных уравнений, выражающих зависимость наблюдаемых энергий активации каталитических процессов от истинных ( $E_r$ ), включая в качестве слагаемых в алгебраическую сумму теплоты адсорбции исходных веществ, продуктов реакции и образующихся действующих ядов. При этом  $E_{\text{кат}}$  в противоположность  $E_{\text{адс}}$  может расти, так и уменьшаться с ростом заполнения, и рост  $\Phi$  исходных веществ и продуктов реакции должен оказывать на  $E_{\text{кат}}$  противоположное действие. Тот же результат в общем виде, и притом прямо для  $E_r$ , можно получить из статистической теории скоростей гетерогенных реакций. Действительно, образование переходного комплекса на любой из стадий процесса законно рассматривать как адсорбцию соответствующего сложного лабильного образования. При такой трактовке естественно ожидать и роста  $E_{\text{кат}}$  под влиянием увеличения  $\Phi$  одних веществ и падения  $E_{\text{кат}}$  при увеличении  $\Phi$  других веществ. Прямые измерения зависимости энергий активации каталитических реакций от заполнения поверхности и от химического состава адсорбционной пленки возможны и для отдельных простейших кинетических типов процессов, в частности для процессов, проводимых в адсорбционном слое. В обычных условиях бывает трудно исключить ошибки в определении  $E_r$ , возникающие от наложения макроскопических факторов и от усреднения значений  $E_{\text{дифф}}$  при реакциях в потоке. Недавно Андрусов продемонстрировал это на примере синтеза аммиака [10] и окисления сернистого газа. Поэтому надежный экспериментальный материал по зависимости скорости каталитических реакций от заполнения невелик. Он показывает, что истинные энергии активации каталитических процессов действительно сильно зависят от суммарного заполнения  $\Sigma\Phi_i$  и от  $\Phi_i$  отдельных реагирующих веществ. В частности, имеется достаточно данных по изменению  $E_{\text{кат}}$  под влиянием необратимого отравления (при  $\Phi_3$  яда, зависящем от температуры)

$$E_{\text{кат}} = E(\Phi_1; \Phi_2; \Phi_3). \quad (4)$$

Изменения  $E_{\text{кат}}$  с изменением заполненности адсорбционной фазы, представляющий фактор каталитической кинетики на активных поверхностях. По-видимому, так же как для  $E$  и  $Q$  адсорбции, изменения  $E_{\text{кат}}$  могут достигать десятков ккал/моль. В температурах 0, 300 и 600° С изменение  $E$  в выражении константы скорости  $k = k_{\infty} \exp(-E/RT)$  на 10 ккал при постоянном  $k_{\infty}$  уменьшает значение  $k$  соответственно в  $10^8$ ;  $10^4$  и  $6 \cdot 10^2$  раз. Эффект может ослабляться с ростом  $k_{\infty}$ , но в этом случае появляется весь комплекс явлений, объединяемых понятием модифицирования второго рода, в том числе резкие изменения селективности процессов. Отправляясь от зависимости  $E_{\text{кат}}$  с заполнением при неизменности  $k_{\infty}$  в 40-х годах можно разработать теорию скоростей каталитических процессов, правильно передающую основные особенности кинетики каталитических

процессов, включая дробные степени по концентрациям, нелэнгмюское отравление катализаторов, кинетику адсорбции и десорбции активных поверхностях [11].

На этой основе, с учетом сопряженности изменений  $k$  и  $E$  и влияния размещения сорбтива, можно построить обобщенную теорию, объясняющую ряд других явлений катализа. Справедливость отправных посылок этой теории для широкого круга катализаторов и процессов вызывает сомнений. Значительно хуже обстоит дело с представлением о происхождении и природе явлений, лежащих в основе изменения  $Q$  и  $E$ .

#### ВОЗМОЖНЫЕ МЕХАНИЗМЫ ИЗМЕНЕНИЯ $E$ И $Q$ С ЗАПОЛНЕНИЕМ И ПУТИ ИХ ИССЛЕДОВАНИЯ

Для объяснения изменчивости  $E$  и  $Q$  с заполнением предлагается множество частных гипотез, которые можно свести к двум группам. Гипотезы первой группы приписывают основную роль в изменениях  $E$



Рис. 2. Зональная неоднородность — межкристаллитная граница, выявленная на электронно-микроскопической реплике в результате каталитической коррозии [8]

присущей поверхности твердого тела до адсорбции и катализа «биофической» неоднородности по энергетическим характеристикам соответствующих поверхностных процессов. В гипотезах второй группы поверхность считается однородной или ее биографическая неоднородность не существенной. Основная роль в изменении  $E$  и  $Q$  приписывается ослаблению адсорбционных связей молекул с поверхностью и их деформации влиянием взаимодействия адсорбированных молекул. В простейшем случае для объяснения наблюдаемых явлений требуется отталкивание, понижающее  $Q$  и повышающее  $E$ . В более сложных случаях приходится пускать отталкивание между одними адсорбированными частицами

тяжение между другими. Для правильного понимания механизма катализа схематические понятия неоднородности и отталкивания требуют тончайшей дифференциации. Так, целесообразно различать макроскопическую неоднородность, связанную с различной доступностью зон поверхности для массового и теплового обмена, от микроскопической неоднородности.

В свою очередь, и каждое из этих понятий объединяет ряд форм, существенно отличающихся по своим свойствам. Так, микроскопическая неоднородность может быть фазовой и определяется наличием в катализаторе кристалликов и зерен разных фаз и границ раздела между ними. В ряду с таким микрогетерогенным типом неоднородности, особенно

Ni <sup>2+</sup>	O <sup>2-</sup>	Li <sup>+</sup>	O <sup>2-</sup>	Ni <sup>2+</sup>	O <sup>2-</sup>
O <sup>2-</sup>	Ni <sup>2+</sup>	O <sup>2-</sup>	Ni <sup>2+</sup>	O <sup>2-</sup>	Ni <sup>2+</sup>
Ni <sup>2+</sup>	O <sup>2-</sup>	Ni <sup>2+</sup>	O <sup>2-</sup>	Ni <sup>2+</sup>	O <sup>2-</sup>
O <sup>2-</sup>	Ni <sup>2+</sup>	O <sup>2-</sup>	Li <sup>+</sup>	O <sup>2-</sup>	Ni <sup>2+</sup>
Ni <sup>2+</sup>	O <sup>2-</sup>	Ni <sup>2+</sup>	O <sup>2-</sup>	Ni <sup>2+</sup>	O <sup>2-</sup>

а

Ag	Ag	P <sub>Ag</sub>	Ag	Ag
Ag	Ag	O <sub>Ag</sub>	Ag	Ag
Ag	Ag	Ag	Ag	P <sub>Ag</sub>
Ag	Ag	Ag	Ag	O <sub>Ag</sub>
Ag	Ag	Ag	Ag	Ag

б

Zn <sup>2+</sup>	O <sup>2-</sup>	Zn <sup>2+</sup>	O <sup>2-</sup>	Zn <sup>2+</sup>
O <sup>2-</sup>	Zn <sup>2+</sup>	O <sup>2-</sup>	Zn <sup>2+</sup>	O <sup>2-</sup>
Zn <sup>2+</sup>	O <sup>2-</sup>	Zn <sup>2+</sup>	O <sup>2-</sup>	Zn <sup>2+</sup>
O <sup>2-</sup>	Zn <sup>2+</sup>	O <sup>2-</sup>	Zn <sup>2+</sup>	O <sup>2-</sup>
Zn <sup>2+</sup>	O <sup>2-</sup>	Zn <sup>2+</sup>	O <sup>2-</sup>	Zn <sup>2+</sup>

в

Fe	N	Fe	Fe	Fe
Fe	Fe	Fe	N	Fe
Fe	Fe	Fe	Fe	Fe
Fe	Fe	Fe	Fe	Fe
Fe	N	Fe	Fe	Fe

г

Ti <sup>4+</sup>	O <sup>2-</sup>	Ti <sup>4+</sup>	O <sup>2-</sup>	Ti <sup>4+</sup>
O <sup>2-</sup>	Ti <sup>4+</sup>	O <sup>2-</sup>	Ti <sup>4+</sup>	O <sup>2-</sup>
Ti <sup>4+</sup>	O <sup>2-</sup>	2p	O <sup>2-</sup>	Ti <sup>4+</sup>
O <sup>2-</sup>	Ti <sup>4+</sup>	O <sup>2-</sup>	Ti <sup>4+</sup>	2e
Ti <sup>4+</sup>	2e	Ti <sup>4+</sup>	O <sup>2-</sup>	Ti <sup>4+</sup>

д

A	B	A	B	B	A
B	A	B	A	A	B
A	B	A	B	A	B
B	A	B	A	B	A

е

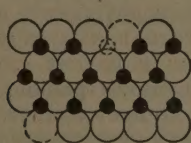
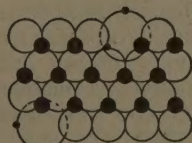
ж — Zn<sub>1-δ</sub>O<sub>1-γ</sub>з — Zn<sub>1-δ</sub>O<sub>1-γ</sub> · SO<sub>4</sub><sup>2-</sup>

Рис. 3. Различные типы химической неоднородности решетки: а — Li<sub>2</sub>O в NiO; б — O<sub>2</sub> в Ag; в — избыточный Zn в ZnO; г — нитридный азот в железе; д — пробелы в решетке TiO; е — неоднородность, вызванная нарушением правильного чередования в решетке AB; ж — решетка нестехиометрической ZnO: черный кружок — Zn<sup>2+</sup>; белый — O<sup>2-</sup>; штрихами показаны пробелы; з — она же после захвата SO<sub>4</sub><sup>2-</sup> (кружок с точками на окружности)

ичным для смешанных и нанесенных контактов, существует много разнородных типов, при которых весь катализатор составляет одну фазу. В пределах этой единственной фазы различия в свойствах могут иметь зональный характер, захватывая атомы, составляющие определенные части структуры поверхности, или не иметь такого характера. Типичным примером зональности являются различия в свойствах кристаллических граней разных индексов, выходящих на поверхность поликристаллических агрегатов (рис. 2) [12], или различия в свойствах атомов, находящихся в середине граней и атомов, расположенных вблизи ребер и на межкристаллитных границах. В свою очередь, неоднородность, имеющая зонального характера, может быть связана с внедрением примесей посторонних атомов в решетку, например с появлением в узлах

ионной решетки чужих ионов той же или иной валентности, с местными нарушениями стехиометрии, с нарушениями порядка в строении решетки, с местом адсорбции на отдельных участках чужих ионов и т. д. (рис. 3).

Не имея возможности перечислить основные известные в настоящее время типы неоднородных структур, подчеркнем малую правдоподобность единого механизма влияния этих структур на величины  $E$  и  $k_{\infty}$  для катализаторов и всех каталитических процессов. В частности, можно указать на существование разных механизмов и различной роли структур различного типа в процессах разных классов и групп, например для процессов окислительно-восстановительного или электронного класса и кислотно-основных процессов в химическом катализе или катализе в узком смысле этого слова.

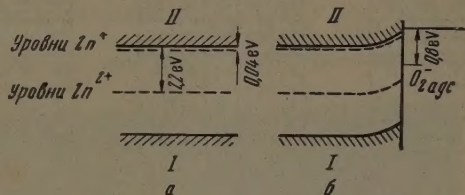


Рис. 4. Видоизмененная схема изменения системы электронных уровней  $ZnO$  у поверхности, по Моррисону [15]:  $I$  — валентная зона  $O^{2-}$ ,  $II$  — зона проводимости,  $a$  — без адсорбции,  $б$  — с адсорбцией кислорода

Естественно ожидать определенной специфики в механизме этих эффектов у катализаторов полупроводников, металлов и изоляторов и т. д. Вероятно, не менее разнообразны механизмы взаимодействия в слое. В одних случаях могут преобладать прямые кулоновские силы между ионами и положительными или индуцированными диполями; в других случаях — косвенное действие через влияние на равновесные концентрации дырок и электронов у полупроводников или через влияние на протолитические равновесия на поверхности катализаторов для реакций кислотно-основного типа. Для окислительно-восстановительных процессов своеобразное взаимодействие возникает в результате изменения расположения электронных уровней при поверхностном слое в духе теории Шоттки и его учеников (рис. 4). Квантово-механический анализ вопроса показывает возможность появления в результате таких взаимодействий индуцированной неоднородности и т. д. [14]. Теория этих эффектов пока имеет качественный характер, отличается схематичностью. Прямых экспериментальных данных по природе и величине взаимодействия для конкретных систем очень мало. Поэтому, как и для неоднородности, потребуется не малое время для выяснения множества обсуждаемых возможностей наиболее важных и установления места отдельных механизмов этого типа в катализе. Не дожидаясь решения этой важной, но трудной задачи, желательно иметь возможность без выяснения глубокого механизма, отличать на опыте эффекты, вызванные неоднородностью, от эффектов, вызванных отталкиванием, и т. д. В дальнейшем чисто качественного обнаружения каждого из них. Ввиду большого сходства внешних проявлений неоднородности и отталкивания в катализе и адсорбции, задача эта нелегка. Для ее решения необходимо выявить характерные различия процессов при отталкивании и неоднородности, ускользающие от обычных кинетических и адсорбционных методов исследования, и найти приемы, позволяющие обнаружить эти различия и на их основе получить количественную картину явления.

# СХОДСТВО И РАЗЛИЧИЯ МЕЖДУ НЕОДНОРОДНОСТЬЮ И ОТТАЛКИВАНИЕМ

Разберем сущность различий между адсорбцией в двух предельных случаях: 1) широко неоднородной поверхности без взаимодействия и взаимодействия на полностью однородной поверхности. Результаты, полученные для этих предельных случаев, могут послужить основой для бора более трудного и общего случая наложения эффектов обоих, т. е. взаимодействия в слое на неоднородной поверхности. На энергетической диаграмме  $\Delta H(R)$  (рис. 5) номерами схематически отмечена последовательность заполнения поверхности сорбтивом в порядке молекулярной (левая сторона) и кинетической выгодности (правая сторона). В представленном идеализированном предельном случае энер-

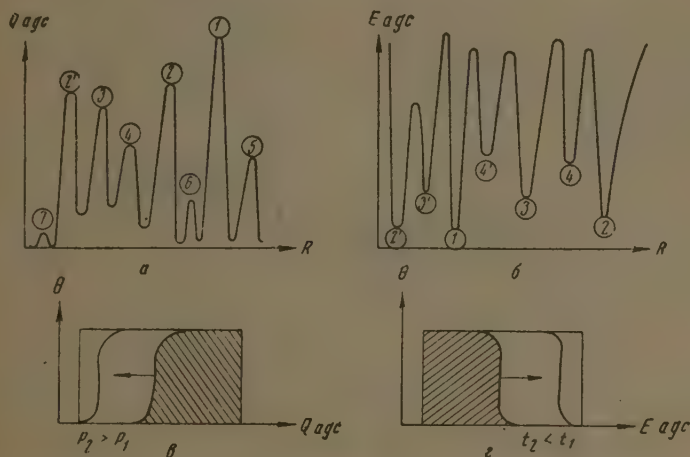


Рис. 5. Потенциальная и статистическая схемы неоднородности поверхности по  $\Delta H$  адсорбции: а — чередование зон с разными  $Q_{адс}$  при перемещении по поверхности вдоль вектора  $R$  ( $R$  — расстояние); б — то же для  $E_{адс}$ ; в — изменение удельного равновесного заполнения участков по  $Q_{адс}$  на статистическом графике с изменением нормального давления сорбтива; г — то же для кинетического удельного заполнения по  $E_{адс}$

с изменением времени

гический рельеф поверхности вовсе не изменяется с заполнением, но происходит последовательное заполнение потенциальных ям адсорбции, начиная с самых больших (по  $Q$ ) на левом графике и с кинетически самых ступенных, с минимальными  $E$  на правом графике. Молекулы перенумерованы в порядке заполнения поверхности при росте  $p$  в левой части графика и при росте  $t$  в его правой части. Внизу показана та же последовательность адсорбции на статистических графиках  $\theta(Q)$  и  $\theta(E)$  ( $\theta$  — фактическое заполнение участков с данным значением  $Q$  или  $E$ ). В рассматриваемом случае различные молекулы сорбтива, одновременно адсорбируемые на поверхности, находятся в различных энергетических условиях. Иначе в отсутствие побочных процессов перераспределения молекулы, сорбируемые в составе разных порций, занимают участки с разными  $E$ . Поэтому для них можно ожидать различной легкости десорбции, различной реакционной способности, а также различий в физических свойствах. При тождестве молекул, адсорбирующихся при разных  $p$  (или при разных  $t$ ), можно доказать такое различие в состоянии и поведении молекул

разных порций невозможно. Эта возможность появляется при примесии меченых молекул.

На рис. 6 сходные графики построены для идеального случая оттаивания на однородной поверхности, приводящего к падению  $Q$  и росту  $E$ . При этом принято идеально-равномерное расположение молекул сорбтива на поверхности, которое может быть строгим только при определенных дискретных значениях  $\Phi$  из-за периодичности изменения  $Q$  и  $E$  кристаллических поверхностях.

Трем кривым графика б (рис. 6) соответствуют три размещения молекул сорбтива на поверхности, изображенные на рис. 7. На 7, а поверхность

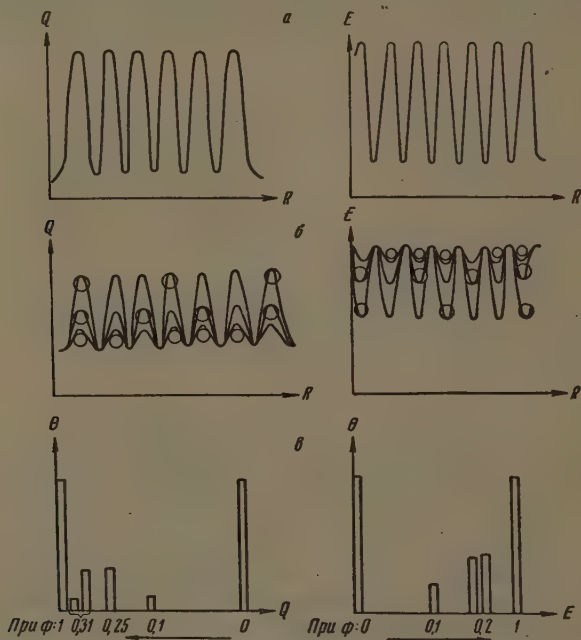


Рис. 6. Изменение потенциального рельефа по  $Q_{\text{адс}}$  и  $E_{\text{адс}}$  при заполнении однородной поверхности: а — исходный энергетический рельеф поверхности по вектору  $R$  ( $R$  — расстояние); б — изменение этого рельефа при последовательном заполнении адсорбированными молекулами, изображенными кружками; в — статистическое распределение по  $Q_{\text{адс}}$  и  $E_{\text{адс}}$  при разных заполнениях

свободна от сорбтива, 7, б и 7, в соответствуют заполнениям в 0,11 и 0,2, при которых все адсорбированные молекулы находятся в идентичных положениях (различных для а и б). На рис. 7, г представлено одно из многочисленных заполнений, при которых на поверхности из-за несовпадения периодичности в адсорбционном слое с периодичностью плоской поверхности появляются два или несколько неидентичных положений, отмеченных разной штриховкой. В разбираемом случае г их два и они соответствуют общему заполнению 0,3125. В противоположность рис. 5 на рис. 6 и не указаны номера адсорбированных молекул. Это не имеет смысла, так как при размещении молекул сорбтива, приводящих к равенности энергетических состояний всех адсорбированных молекул, последовательность сорбции и биография отдельных молекул не могут ни

ываться на состоянии и поведении молекул и они делаются неотличимыми. Можно себе представить условия, при которых на однородной поверхности молекулы различных порций первоначально окажутся в неизменном положении. Так, например, при переходе от строения поверхностно-обладания в положении 1 (черные кружки) молекул первой (первой) порций и в положении 2 (белые кружки) молекул последних порций. Однако при адсорбции с отключением такое сохранение биогрических различий не может быть устойчивым и прочным, так по мере изменения заполнения при адсорбции и десорбции поверхностная пленка в целом и отдельные ее микроскопические части неизбежно должны проходить через состояния высокой симметрии, при которых молекулы, адсорбированные в разное время, оказываются в неразличимых состояниях, а самопроизвольное возрождение биогрических различий после их утраты у идеальных изотопных молекул термодинамически невозможно. Условия для сохранения биогрических различий были бы более благоприятны при взаимном натяжении адсорбирующихся молекул, которое, вообще говоря, возможно особенно в условиях, благоприятных для перехода к плоской или объемной конденсации. Однако этот тип взаимодействия, по-видимому, не может приводить к обычно наблюдаемому на опыте характеру изменения  $Q$  и  $E$  с заполнением.

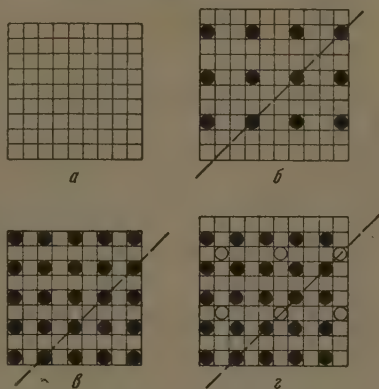


Рис. 7. Размещения молекул со строгой периодичностью и с ее нарушениями при разных заполнениях ( $\Phi$ ) а —  $\Phi = 0$ ; б —  $\Phi = 0,1$ ; в —  $\Phi = 0,25$ ; г —  $\Phi = 0,31$ . Черные и светлые кружки обозначают адсорбированные молекулы

## ВЫВОДЫ

1. Тепловые эффекты  $Q_{\text{адс}}$  и энергии активации  $E_{\text{адс}}$  хемосорбционных процессов и энергии активации каталитических реакций  $E_{\text{кат}}$  изменяются с заполнением поверхности своими и чужими молекулами. При заданном заполнении  $\Phi$   $Q_{\text{адс}}$ ,  $E_{\text{адс}}$  и  $E_{\text{кат}}$  зависят от расположения адсорбированных молекул.
2. Изменяющимся  $Q_{\text{адс}}$  с заполнением для хемосорбции соответствуют изменяющиеся энергии поверхностных химических связей между твердым телом и сорбтивом. Это обстоятельство необходимо учитывать при попытках расчета энергий активаций каталитического процесса по энергиям отдельных химических связей.
3. Изменение  $E_{\text{кат}}$  с заполнением и составом двумерной адсорбционной фазы представляет ведущий фактор каталитической кинетики на активных поверхностях.
4. Изменения  $E$  и  $Q$  с заполнением могут задаваться биографической однородностью, прямым взаимодействием адсорбированных молекул и их взаимодействием через решетку. В общем случае действие разных факторов на  $E$  и  $Q$  налагается.
5. При адсорбции на идеально-однородной поверхности в силу конечной протяженности активных участков и периодичности решетки при определенных значениях заполнения неизбежно возникает неравноценность положений адсорбированных атомов и обусловленная этим неоднородность.

6. Для развития теории катализа необходимы методы однозначного разграничения эффектов, вызываемых биографической неоднородностью и взаимодействием, дифференциации эффектов, вызываемых каждым из этих факторов, и установления вида функций, характеризующих неоднородность и отталкивание при их раздельном и одновременном действии.

Академия наук СССР  
Институт физической химии  
Москва

Поступила  
25. III. 1957

#### ЛИТЕРАТУРА

1. С. З. Рогинский и И. И. Третьяков, ДАН, 105, 112, 1955.
2. H. E. Farnsworth, R. E. Schlier, Journ. Appl. Phys., 25, 1333, 1954, 26, 252, 1955.
3. B. M. W. Trapnell, Chemisorption L., 1955.
4. H. S. Taylor, C. O. Strother, Journ. Amer. Chem. Soc., 56, 586, 1934.
5. V. C. Ghosh, M. V. C. Sasti, S. Vendaraman, Current Sci. (India), 342, 1950.
6. Н. П. Кейер и С. З. Рогинский, Acta physico. URSS, 32, 61, 1947.
7. R. Bagger, E. Rideal, Proc. Roy Soc., A149, 231, 1935.
8. И. И. Третьяков и С. З. Рогинский, Журн. физ. химии, 30, 2, 1956.
9. R. Klein, Journ. Chem. Phys., 22, 1406, 1954.
10. L. Andrussov, Zs. Electrochem., 61, 384, 1957.
11. С. З. Рогинский, Адсорбция и катализ на неоднородных поверхностях, Изд-во АН СССР, М., 1948.
12. С. З. Рогинский, И. И. Третьяков и А. Б. Щехтер, ДАН, 91, 1353, 1953; Журн. физ. химии, 29, 1921, 1955.
13. С. З. Рогинский, Сборник, Проблемы кинетики и катализа, 6, 9, 1949.
14. Ф. Ф. Волькенштейн и В. Б. Сандомирский, Сборник, Проблемы кинетики и катализа, 8, 189, 1955.
15. Morrison, Сборник, Advances in Catalysis, 7, 259, N. Y., 1955.

## О МЕХАНИЗМЕ КАТАЛИЗА

## II. О СМЕШАННОМ ГЕТЕРОГЕННО-ЦЕПНОМ МЕХАНИЗМЕ КАТАЛИЗА

*Н. И. Кобозев*

В первой части настоящей работы был рассмотрен адсорбционно-энергетический анимизм гетерогенного катализа, причем за основной параметр была взята величина энергии связи — химической связи атомов в превращающейся молекуле и адсорбционной связи этих атомов с активным центром катализатора.

В результате проведенного анализа была установлена двухстадийность каталитических процессов (адсорбционная и реакционная стадия); показано существование оптимальной для каждого вида катализа энергии адсорбционной связи и произведен ее теоретический расчет; вычислена истинная энергия активации гидрогенизационного катализа, как функция энергии связи  $\Phi - H$  (где  $\Phi$  — активный центр); проанализировано значение тропийного фактора в катализе и показана положительная роль падения энтропии промежуточного продукта (т. е. его упорядоченности) для катализа; установлено, что, вследствие двухстадийности катализа и существования отсюда двух энергетических горбов, энергия связи реагирующих атомов с катализатором не определяет вполне однозначно высоту энергетического барьера при катализе (если только не минимален), а следовательно, и активность катализатора: данной энергии активации всегда отвечают два значения энергии связи, могущие сильно отличаться друг от друга (на 20—30 ккал (см. [1] и рис. 1). Это заставляет считаться с тем, что в круг катализаторов примерно с одинаковой активностью могут попадать вещества, сильно различающиеся по своему энергетическому отношению к субстрату.

На основе изложенного [1] анализа каталитических процессов, проведенного на реальных молекулах с количественным расчетом промежуточных стадий, можно теперь подойти к исследованию возможной роли цепных процессов в гетерогенном катализе.

В качестве главного принципа цепной активации Н. Н. Семеновым [2] выдвигается принцип образования и сохранения свободной валентности.

Но всякая свободная валентность требует большой затраты энергии на свое образование. Поэтому энергия активации, т. е. высший энергетический барьер в последовательной цепи элементарных процессов, при цепной реакции термического характера (без инициаторов) обычно оказывается высокой.

В разобранным случае гидрогенизации двойной связи, он составляет 54 ккал. Это — энергетическая цена свободной валентности этильного радикала, за счет которой, в результате цепеобразования, можно получить значительное увеличение предэкспоненциального множителя — в сотни, а иногда в тысячи раз. Однако ясно, что при большой энергии активации никакой цепной характер процесса не может компенсировать тормозящего влияния столь высокого энергетического барьера, снижающего скорость реакции в  $10^{20}$ — $10^{30}$  раз. Итак, главными этапами активации при цепном процессе является: а) затрата энергии на образование свободной валентности и б) максимальное использование этой валентности при дальнейшем цепеобразовании.

Принцип каталитической активации основан на противоположном механизме.

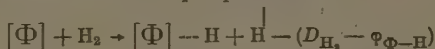
Катализ — это способ проведения элементарных актов без образования свободных валентностей, которые тут же, при разрыве связей, замыкаются на активном центре, образуя новые адсорбционные связи; это принцип экономии свободных валентностей. Выключение из элементарных актов образования свободной валентности резко понижает эндотермичность подобных процессов и этим снижает энергию активации.

Как видно, принципы цепной и каталитической активации являются не только не совпадающими, но даже противоположными по своему характеру, причем механизм каталитической активации энергетически более выгоден, чем осуществляющийся через свободные валентности. Поэтому то катализ и нашел такое огромное и плодотворное применение в промышленности. Это заставляет усомниться в том, что цепной процесс, идущий с сохранением свободной валентности, может заметно увеличить эффективность каталитической активации с образованием замкнутых связей. В этом легко убедиться, если в изложенных схемах гетерогенного катализа оставить в одном из звеньев незамкнутой какую-либо связь, или оторвать какой-либо радикал или атом от поверхности катализатора в объем. Это сразу резко сдвигает энергию данного звена в эндотермическую область и воздвигает высокой энергетический порог перед всей реакцией.

### ЭНЕРГЕТИКА ГЕТЕРОГЕННО-ЦЕПНЫХ ПРОЦЕССОВ

Чтобы не оставить здесь никаких сомнений, рассмотрим энергетику гетерогенно-цепного процесса с частичным переходом реакции в газовую фазу.

Одним из возможных процессов передачи цепи с поверхности в объем при гидрогенизации и восстановительных путях распространения является адсорбция молекулы водорода с выбросом одного из атомов в пространство:

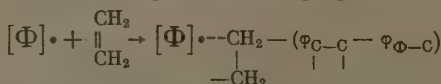


Этот процесс не только возможен, но, по-видимому, действительно реализуется в ряде случаев, как, например, в опытах Полякова [3] по свечению водорода при его адсорбции палладием, а также в наших опытах по образованию атомарного водорода при катализе гремучего газа в присутствии платины, насыщенной кислородом [4]. Однако подобная реакция не может играть существенной роли в катализе, так как, для того чтобы она протекала с заметной скоростью, необходима слишком большая энергия связи водородного атома с активным центром, порядка 80—90 ккал. Если же атом водорода будет закреплен столь прочно на активном центре, то его дальнейшее превращение практически исключается (см. выше). Поэтому подобная реакция будет не каталитической, а индуктивно-цепной, где твердая поверхность играет роль индуктора или инициатора.

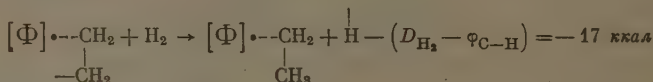
Большие возможности для катализа дает активация не водородной, а этиленовой связи с образованием адсорбированного радикала  $\dot{C}_2H_4$  с одной свободной валентностью. Этот процесс изобразится следующей схемой:

Гетерогенно-цепной процесс активирования двойной связи

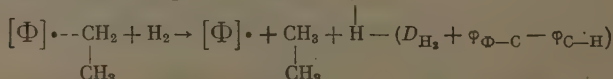
I. Адсорбционная стадия — образование адсорбированного радикала:



II. а) Реакционная стадия — присоединение одного Н-атома к радикалу и выброс другого в объем:



б). Присоединение второго Н-атома:



Изображенный тип адсорбции возможен только в том случае, если активный центр  $[\Phi]$  является, используя химическую терминологию, «одновалентным» (одна черная точка), т. е. если вторая свободная углеродная связь не имеет возможности насытиться за счет своей кулуляции с поверхностью. Подобная одновалентность центра на языке термодинамики означает практически полное насыщение адсорбционного потенциала.

\* Подобную помощь катализу могла бы оказать только энергетическая цепь, примеры которой пока еще не найдены. (К этому вопросу мы вернемся в следующей работе.)

счет одной С-связи и превращение всего участка поверхности в неактивную, в адсорбционном смысле, область\*.

Вслед за адсорбционной стадией следует реакционная стадия II а), заключающаяся в реакции адсорбированного радикала  $\dot{C}_2H_4$  с нападающей на нее молекулой водорода. Эта реакция изображена на приведенной выше схеме. Она обладает отрицательным тепловым эффектом 17 ккал и, следовательно, ее энергии активации должна быть не меньше этой величины. При этом процессе присоединяется только один атом водорода, другой же остается в газовой фазе. Далее в стадии II б) следует аналогичное присоединение второго Н-атома по написанному уравнению, для которого, однако, возникает дополнительная энергетическая трудность в виде разрыва связи  $\Phi \dots C$  первый атом водорода присоединялся к свободной С-связи, и возникновение отсюда большого отрицательного теплового эффекта и большой энергии активации. Таким образом, при этих процессах возникает два значительных энергетических барьера, средоточенных на первой и второй «б» стадиях. Высота этих барьеров зависит от величины « $\Phi-C$ », т. е. от энергии связи углерода с активным центром, и меняется обратнo для первой и второй стадий.

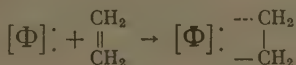
Минимальная высота этих барьеров, как и раньше, будет отвечать условию  $E_k = E_r$ , откуда получается, что « $\Phi-C_{(опт)}$ », отвечающая минимуму энергии активации, является 11 ккал, а минимальная энергия активации составляет:  $E_k = E_a = E_r = -28$  ккал.

Как видно, даже минимальный энергетический барьер гетерогенного процесса с образованием свободной валентности столь высок, что знает возможным заметное превращение лишь при температурах порядка 30—500° С, в то время как каталитическое гидрирование этиленовой связи идет ниже — 25° С. Сюда еще присоединяется большое энтропийное торможение такого катализа из-за высокой энтропии радикала, привязанного к центру только одной связью (свободное вращение). Практически такой процесс идти не в состоянии еще и потому, что при температуре 500—600° С нельзя удержать на поверхности радикал  $\dot{C}_2H_4$ , привязанный к ней с энергией всего лишь 11 ккал.

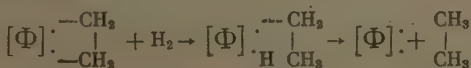
Можно написать еще несколько схем гомогенно-гетерогенного процесса, в частности с участием «двухвалентного» центра (см. ниже), причем один Н-атом нападающей молекулы  $H_2$  присоединяется к свободной С-связи, а другой остается адсорбированным в второй валентности активного центра (две точки на нашем рисунке). Далее следует присоединение второго адсорбированного Н-атома и получается молекула этана и свободный активный центр.

### Центр с двумя «валентностями»

#### I адсорбционная стадия



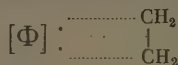
#### II реакционная стадия:



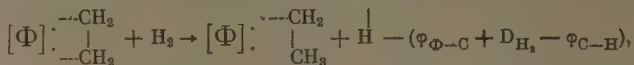
Подобный процесс, действительно, может идти с малой энергией активации, но не имеет цепного характера. Однако по существу эта схема физически неосуществима. Это видно из того, что она требует длительного сосуществования двух, рядом распо-

\* Изображенный процесс соответствует схеме Семенова и Воеводского, которую они предлагают для гидрогенизационного катализа. Однако дальнейшие представления этих авторов дают повод к разным толкованиям, так как их утверждение, что: «радикал  $-CH_2-\dot{C}H_2$ , реагируя с физически адсорбированной молекулой  $H_2$ , дает  $V-CH_2-CH_3 + H$  с образованием полусорбированного  $[H]$ , т. е. со свободной валентностью, который может практически в один акт атаковать связь  $C-V$  (по нашему  $[\Phi]-C$ ) и дать  $C_2H_6$ ...» — оставляет неясным — происходит ли присоединение двух атомов водорода к адсорбированному радикалу по очереди, т. е. с достаточным временным интервалом, или же сразу, что крайне невероятно из-за одновременной перестройки четырех связей. Если же это присоединение происходит не сразу, то неясно, адсорбируется ли второй Н-атом при этом процессе или остается свободным. Считать, что он может адсорбироваться на поверхности катализатора и в то же время сохранять свободную валентность, представляется мало правдоподобным.

ложественных, свободных валентностей, что физически невозможно. Очевидно должно произойти замыкание второй С-связи на свободную валентность, или на остаток адсорбционного потенциала активного центра, — это уже вопрос терминологии, — образованием структуры, нормальной для гидрогенизационного катализа:



Но тогда адсорбированный этилен не сможет реагировать с молекулой водорода, для которой уже не остается места, т. е. валентности или адсорбционного потенциала. Если допустить, что молекула водорода атакует, адсорбированную двумя связями, молекулу этилена с образованием радикала  $\text{C}_2\text{H}_5$ , адсорбированного на поверхности, и Н-атом в объеме



то на это требуется слишком большая энергия активации, минимально равная 28 ккал (т. е. совпадающая с ранее найденной).

Таким образом, этот процесс не имеет никаких преимуществ перед ранее рассмотренным.

Для того, чтобы осуществить гидрирование, придется присоединить к атому Ф адсорбированному этилену, второй атом катализатора (допустим, платины) для адсорбции молекулы водорода. Таким образом, волей-неволей, мы приходим к схеме гидрогенизационного катализа на двухатомных центрах (мультиплетах, ансамблях), которая была разобрана выше [1] и действительно позволяет разбить процесс гидрирования на элементарные экзотермические стадии с малой энергией активации. Однако такой процесс не удовлетворяет цепной схеме, так как он связан с замыканием всех свободных связей и с отсутствием каких-либо радикалов в объеме.

Из сказанного следует, что радикально-цепной механизм гетерогенного катализа, т. е. сосуществование адсорбционного и гомогенного механизмов, не способен облегчить каталитический процесс. Наоборот, все энергетические барьеры при таком полугетерогенном катализе оказываются значительно повышенными, а следовательно, скорость реакции значительно пониженной по сравнению с чисто гетерогенным процессом. Действительно, превышение энергии активации на 20 с лишним ккал, уменьшающее скорость реакции  $\sim 10^{14}$  раз, никак не может компенсироваться цепными процессами, возникающими благодаря выбросу в газовую фазу частицы со свободными валентностями радикального или атомного типа.

Из сказанного не следует, что нагретые стенки сосуда вообще не способны ускорять генерацию свободных атомов или радикалов в объеме. Семенов и его сотрудники справедливо указывают на возможность подобного эффекта [5], который допущен также Христиансеном [6]. Энергетический механизм подобной генерации уже был разобран выше [1].

Однако ясно также, что генерация свободных радикалов или атомов через контакт с поверхностью имеет отдаленное отношение к обычному гетерогенному катализу, так как эти процессы будут требовать значительной энергии активации порядка  $\sim 1/3$  от энергии диссоциации таких прочных молекул, как  $\text{H}_2$ ,  $\text{N}_2$ ,  $\text{O}_2$  и др. Они способны идти в температурном диапазоне 500—600°C и выше и поэтому не могут быть привлечены для объяснения явлений низко- или даже среднетемпературного катализа.

В некоторых случаях высокотемпературного окислительного катализа действительно имеет место отрыв радикалов от катализатора, например нитроксила  $\text{HNO}$  при окислении аммиака, и продолжение реакции в объеме. Но для катализа в целом эти эффекты обладают весьма малой значимостью.

Чтобы не подавать повода к неправильным толкованиям, подчеркнем, что смысл проведенного анализа состоит не в отрицании возможности цепных процессов, начинающихся на стенках, и, тем более, не в отрицании промежуточных, недостроенных (в том числе радикальных или атомных) форм при катализе, которые допускаются всеми теориями катализа. Результат этого анализа заключается в том, что каталитический процесс, целиком заканчивающийся на активном центре, без образования свободных связей (валентностей) и без передачи их в объем, при прочих равных условиях, является энергетически наиболее выгодным и, следовательно, наиболее эффективным способом активации химических реакций.

При этом не следует смешивать специфический катализ, снижающий энергию активации на несколько десятков ккал. и ускоряющий процессы в  $10^{10}$ — $10^{20}$  раз, с мало специфическим «действием стенок», где эффекты ускорения исчисляются одним — двумя порядками. В «стеночных» явлениях, где собственно-каталитический эффект невелик, валирующую роль могут играть цепные процессы, ответвляющиеся от стенки в зам. Концепция Семенова с сотрудниками главным образом относится к таким процессам и может иметь для них существенное значение. Но эти «стеночные эффекты» — не тот мощный, специфический катализ, на котором держится вся биология, земной химический синтез и химическая промышленность. Это — наиболее явная ма катализа, с которой приходится считаться главным образом при лабораторном ведении газовых реакций при невысоких давлениях.

Возникает вопрос — значит ли, что рассмотренный энергетический анизм каталитического действия является вполне общим и что в катае нет никаких других форм активации? Нет, не значит.

У наиболее активных из известных катализаторов, катализаторов логических, несомненно действует особый механизм активации, позволяющий им проводить процессы с огромными скоростями: превращение кольных сотен тысяч молекул субстрата в секунду на одну активную ппу, против нескольких молекул на активный центр у неорганических катализаторов, не является редкостью в ферментном катализе.

### ОБСУЖДЕНИЕ РЕЗУЛЬТАТОВ

Недавно школа Н. Н. Семенова [5, 7] выступила с предложением отоествить свободную валентность, играющую большую роль в цепных процессах, с активным центром гетерогенных катализаторов. Приходится, ажно, сказать, что за последнюю четверть века теория катализа проделала енную эволюцию как раз в обратную сторону — от валентно ненасынных «пигов» Тейлора к избирательно-действующим активным уктурам. Выдвигаемое же представление упрощает первоначальо модель Тейлора, так как эта последняя трактовала активный центр просто как свободную «валентность», а как образование с некоторым лом ненасыщенных связей, находящимся в каком-то соответствии с коинационным числом решетки. Сейчас не видно ни в теории, ни в оите основания к тому, чтобы вернуть теорию катализа от надежно о-снованного представления об активных структурах назад к валентным черточкам\*. Ясно, впрочем, что взгляды Н. Н. Семенова с соавторри не претендуют на законченность, поскольку они формулированы пока в качественном виде, развиты на модели идеальных кристаллов, не являющихся катализаторами. О предварительности своих взглядов госят и сами авторы. Очевидно, они скорее имели в виду постановку некоторых вопросов, чем их решение.

Среди этих вопросов представляет интерес гипотеза об обратимом об-ривании активных центров не в результате совершения работы над по-верхностью катализатора при его приготовлении, а за счет самого ката-литического акта. Аналогичную точку зрения высказали в последнее время Тн и Тейлор [9]. Хотя такой механизм безусловно не имеет общего ха-рактера, но возможность самоактивации катализаторов заслуживает ичения. К сожалению, упомянутые авторы не приводят эксперименталь-но обоснования предлагаемого механизма.

Будирование вопроса о валентности активных центров также является тезным, так как со времени Тейлора, который рисовал свои «черточки», ошло достаточно времени и появились новые возможности. Одним из более обещающих путей является применение магнитного метода, осо-шо к разведенным каталитически-активным слоям, в которых устранен

\* В связи с этим неясно высказывание А. А. Балаздина [8] относительно того, представления школы Н. Н. Семенова, не учитывавшие структурный фактор в катализе, находится в согласии с теорией мультиплетов, целиком построенной как на этом принципе.

магнитный «фон» кристаллической фазы. Эти исследования уже дали ясные указания на атомный характер активных центров и на то, что каталитическая активность часто бывает связана с сильным парамагнетизмом активного слоя, т. е. с неспаренностью валентных электронов [1].

С другой стороны, наблюдается класс явлений, где каталитическая активность, наоборот, связана с диамагнетизмом слоя, что, видимо, обязано влиянию носителя. Наблюдается также явление «сверхпарамагнетизма», обнаруженное почти одновременно нами [11] и Сэлвудом [12], заключающееся в сильном росте удельного парамагнетизма слоя (т. е. момента на один грамм нанесенного вещества) по мере разведения адсорбционного слоя. Этот сверхпарамагнетизм часто связан с повышенной каталитической активностью и с сильным тушением люминесценции наносимым металлом [13]. В работе И. А. Зубовича [14] по каталитическим свойствам смешанных разведенных слоев различных металлов была обнаружена отчетливая связь отравляющего действия атома друг на друга с возможностью спаривания их холостых электронов, т. е. с потерей спин-валентности. Часто эта нейтрализация холостых электронов совпадает, как это следует ожидать, с резким падением парамагнетизма слоя [13, 14].

В нашей лаборатории были также найдены фотомагнитный (И. В. Крылова [15]) термомагнитный (эффекты В. П. Лебедев с сотрудниками [16]), присущие нанесенным катализаторам, в которых рост парамагнетизма, однако, не всегда совпадает с ростом активности.

Таким образом, несомненна общая связь катализа, — так же как вообще химической активности, — с электронными явлениями, особенно с возникновением холостых электронов, т. е. спин-валентностей у атомных ансамблей. Однако электронные свойства катализаторов, проявляющиеся в их магнитных характеристиках, не всегда можно отождествить с общей валентностью или с миграцией электронов через зону проводимости. Для раскрытия этой важной области требуется большая работа при тесном контакте теории и квалифицированного эксперимента. В этой связи бросается в глаза умозрительный характер ряда высказанных «электронных теорий» катализа (Доуден, Волькенштейн, Риз, Шварц и др.) и недостаточная требовательность авторов к опытным обоснованиям своих концепций. Например, Шваб и Гартман [17] строят электронную схему каталитического распада озона на разных окислах, оценивая активность просто по видимой энергии активации, т. е. допуская, что частотные члены и количество активных центров у разных катализаторов одинаковы. Риз пишет схемы катализа на дефектах решетки, которые сам называет наивными (следовало бы добавить и произвольными). Работы Ф. Ф. Волькенштейна [18], стоящие на более высоком уровне, также не дают обоснованной теории катализа на ионных кристаллах, так как выдвинутая им схема не выдерживает количественной проверки. Оказалось возможным показать (см. [19]), что идеальные кристаллы способны обладать ощутимой для катализа концентрацией активных центров в форме «бегающей валентности», которую допускает автор. Отсутствие сопоставления с опытом сообщает этой схеме характер общих качественных соображений.

Но сам вопрос о природе активных центров на ионных кристаллах выдвинутый в этих работах, — своевременный и важный, так как эти центры имеют определенную специфичность, отличающую их от активных центров металлических катализаторов. Главной их чертой является аномально большая энергия активации и, соответственно, аномально большой предэкспоненциальный множитель, одновременно с большой чувствительностью этих величин к примесям и к нарушениям решетки катализатора.

Все это говорит о том, что активные центры ионных катализаторов чем-то отличаются от металлических центров. Схема «перепрыгивания» электронов с катионного узла на катионный узел с образованием «псевдоатома», обладающего небольшой продолжительностью жизни, по-видимому, не имеет черт реализма. Но если эту картину заменить представлением о некотором окислительно-восстановительном равновесии на дефекте

етки

электроны + группа ионов  $\rightleftharpoons$  группа атомов,  
на дефекте на дефекте

которых находятся активные центры ионного кристалла [13], то это не позволяет разъяснить особенность этих центров и распространить на них структурно-энергетические представления, найденные для атомных, т. е. металлических катализаторов [13].

Тогда активные центры металлических и полупроводниковых катализаторов могут рассматриваться с общей точки зрения, в обоих случаях как атомные ансамбли ( $Me_n$ ) с определенной степенью диссоциации на металлический ион и электрон, захваченный каким-либо ловушечным уровнем — в виде аниона, F-центра и т. п.:  $[Me_n] \rightleftharpoons [Me_n^+] + (n \cdot e)$  (в металле) + Q. У металлических ансамблей это равновесие сильно смещено в сторону ионной формы (энергетический эффект  $Q \ll 0$ ); у полупроводников — наоборот, в сторону ионной ( $Q \gg 0$ ). Резкая дезактивация нанесенных металлических катализаторов, обнаруженная в нашей лаборатории, вероятно, представляет результат поверхностной ионизации атомных ансамблей с захватом электронов «ловушечными» уровнями носителя.

Вопросы, рассмотренные в наших двух статьях, тесно связаны с дилеммой «физической» и «химической» теории катализа, которая вновь активизировалась в нашей печати — см., например, выступления Г. К. Борескова, В. Топчиевой и др. на конференции по катализу в 1953 г. Характерно, что в гомогенном катализе мы не встречаемся с этим вопросом, так как считается бесспорным, что этот катализ идет через промежуточные продукты, из которых одни выделены, а другие — надежно подтверждены определенными методами.

Выделенные промежуточные продукты, например, типа пермолибдатов и других персоединений, ионов переменной валентности, молекулярных комплексов и т. п. оказываются обычными химическими веществами определенного состава, отличающимися лишь своей неустойчивостью способностью распадаться на молекулу катализатора и продукт реакции. В отношении гомогенных цепных процессов установлено, что энергетические цепи в них отсутствуют, что они всегда идут через неостроенные типы (атомы, радикалы) и поэтому здесь также не возникает соединений в химической природе активных промежуточных звеньев.

Почему же, в противоположность гомогенным процессам, встает вопрос о «химическом» или «физическом» механизме гетерогенного катализа — не является ли он вообще праздным?

Нам думается, что этот вопрос закономерен и не случайно возник в научной литературе, хотя сама его формулировка «химический» — «физический», возможно, не является вполне удачной.

Действительно, при любом гетерогенном катализе в процесс вводится какой-либо носитель, которого не знают гомогенные процессы, — *решетка носителя*, на которой фиксированы активные центры или в которую они встроены. Сложные белковые, вообще биологические, ферменты активных центров могут рассматриваться как носители с аperiодической решеткой. Если носитель не принимает никакого участия в каталитическом акте, такой тип катализа будет мало чем отличаться по своему механизму от гомогенного, и его механизм может толковаться как «чисто-химический».

Вероятно, по такому механизму действуют активные центры металлических катализаторов, активность которых, как показали наши работы, практически не зависит от природы носителя. Этого, однако, нельзя утверждать относительно окислов, солей, сульфидов и других полупроводниковых катализаторов, состоящих из реальных ионных кристаллов с дефектами и примесными атомами; а относительно адсорбционных ионных ферментных катализаторов можно сказать заведомо обратное, так как природа носителя у них оказывает решающее влияние на их активность.

С другой стороны, если взять очень разведенные растворы металлических ионов на носителях (при степенях заполнения  $\alpha \approx 10^{-3} - 10^{-4}$ ), то у этих катализаторов появляется ряд аномалий, в том числе заметная

зависимость от природы носителя. Таким образом, влияние носителя в той или иной степени, есть *общее свойство* гетерогенных катализаторов, усиливающееся в ряду: [металлы] < [полупроводники](?) < [адсорбированные ионы] < [ферменты].

Вот в этом явлении и возникает реальная коллизия между физической и химической теорией катализа. Нужно ли толковать влияние носителя в том числе кристаллической материнской фазы катализатора, с химических позиций, просто как образование химически иной активной структуры с новыми валентными связями и ионными полями, или этого недостаточно и здесь начинается особая «физика катализа»?

Мы держимся второй точки зрения, и в качестве веского соображения в ее пользу хотим указать, что даже лучшие синтетические модели приближаются к огромной активности естественных ферментов не ближе чем 4—5 порядков [20, 21]. Это значит, что существует особый механизм каталитической активации, еще не раскрытый в существующих теориях катализа. Пока же этот механизм не раскрыт и не воспроизведен, в катализе будет оставаться обширное белое пятно. При этом нельзя считать что биокатализ есть нечто *sui generis* и может быть вынесен за границы общей теории. Наоборот, он должен найти свое определенное место в системе катализа как предельный случай каталитической активности. Для этого необходима разработка общей количественной теории активных центров, допускающей точный подсчет числа активных мест, и отсюда — определение истинной активности катализатора на один центр (а не на единицу массы или поверхности, как это часто делается сейчас). Пока это осуществлено только для трех типов катализаторов: для гомогенных, где активный центр отождествляется с единичной молекулой катализатора; для некоторых ферментов, где за активный центр считается одна простетическая группа, и для разведенных адсорбционных катализаторов, где на основе теории ансамблей (из кривых активности по заполнению поверхности) может быть определено число активных ансамблей и их характер.

Вне возможности такого анализа остаются пока все поликристаллические катализаторы — металлы, окислы, сульфиды, галогениды и др. Разработанная теория активных центров, естественно, должна позволить не только вести подсчет этих центров, но и синтезировать их в нужной форме и количестве для различных процессов. Только на основе такой теории, дающей меру абсолютной активности катализатора, возможно познание механизма каталитического действия и открытие новых видов катализаторов. Что касается «теории подбора катализаторов», о которой у нас часто говорят, то она должна естественно возникнуть на основе решения указанных генеральных задач точно так же, как методы подбора люминофоров или фотоэмульсий формируются на основе теории твердого тела, теории люминесценции и научной фотохимии.

Успешная разработка указанных общих вопросов катализа в первую очередь требует широкого и углубленного развития *физики катализа*, причем именно физики активных центров и групп, а не только кристаллической материнской фазы, как это обычно делалось до сих пор. Современные физические методы: магнитные (включая сюда парамагнитный резонанс); масс-спектрометрические, спектроскопические, электронно-оптические; люминесцентные и др. — делают вполне реальным создание *физической теории активных структур*, которая единственно может составить прочную основу общей теории катализа и предохранить ее от духа спекулятивности.

Московский государственный университет  
им. М. В. Ломоносова

Поступила  
3. V. 1956

### ВЫВОДЫ

1. Выводы по первой части работы помещены в начале этой статьи.
2. Во второй части показано, что принципы цепной и каталитической активации существенно различны: цепная активация основана на образе

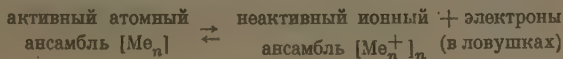
ни и передаче свободной связи от частицы к частице; катализ, наоборот, осуществляется с наибольшей экономией свободных связей, которые нас замыкаются при адсорбционном или реакционном акте либо на активный центр, либо на другой реагирующий атом.

3. Поскольку возникновение свободной связи сопряжено всегда со значительной затратой энергии, то при катализе путь реакции, как и в обычных условиях, идет через меньшие энергетические барьеры, т. е. является более эффективным. Поэтому сочетание гетерогенного катализа с отрывом насыщенных частиц в объеме не способно вызывать ускорение поверхностного каталитического процесса, протекающего вблизи оптимальных условий.

4. Гетерогенно-цепной механизм нужно рассматривать как форму специфического (например «стеночного») катализа, не характерного для катализа в целом.

5. Отмечено, что нет каких-либо оснований сводить представление об активном центре к единичной нелокализованной валентности и заменять ею структурные центры, принимаемые сейчас.

6. Кратко рассмотрены «электронные теории» катализа и высказано предположение, что для металлических и ионных катализаторов активный центр имеет общую природу — атомный ансамбль —, но с разной работой и соответственно степенью диссоциации на ионы и электроны, захватываемые ловушечными уровнями:



Периодически появляющееся при написанном равновесии атомное состояние может толковаться как периодически-возникающая группа валентностей, но пространственно локализованных и имеющих структурный характер.

## ЛИТЕРАТУРА

- И. И. Кобозев, Журн. физ. химии, 31, 2162, 1957.  
 Л. Н. Семенов, О некоторых проблемах химической кинетики и реакционной способности, Изд-во АН СССР, 1957.  
 М. В. Поляков, Naturwiss., 16, 31, 1928.  
 И. И. Кобозев и В. Л. Анохин, Zs. f. phys. chem., B, 13, 63, 1931.  
 Н. Н. Семенов и В. В. Воеводский, Гетерогенный катализ в химической промышленности, Материалы Всесоюзного совещания, Госиздат, М., 1955, стр. 423.  
 T. A. Christiansen, Zeit. phys. chem., B, 2, 45, 1929.  
 В. В. Воеводский, Ф. Ф. Волькенштейн и Н. Н. Семенов, Вопросы химической кинетики, катализа и реакционной способности, Изд-во АН СССР, М., 1955.  
 А. А. Баландин, Там же, стр. 481.  
 N. Thon, H. S. Taylor, Journ. Amer. Chem. Soc., 75, 1247, 1953.  
 И. И. Кобозев, В. Б. Евдокимов, И. А. Зубович и А. Н. Мальцев, Журн. физ. химии, 26, 1349, 1952.  
 В. Б. Евдокимов, Н. Н. Озерецковский и И. И. Кобозев, Журн. физ. химии, 26, 135, 1952.  
 Т. Сэлвуд, Успехи катализа. Вопросы теории и методы исследования ИИЛ, 1955, стр. 391 (американ. изд. 1954).  
 И. И. Кобозев, Успехи химии, № 5, 547, 1956.  
 И. А. Зубович, Журн. физ. химии, 29, 917, 1956, 1955; 31, 61, 1957.  
 И. В. Крылова и И. И. Кобозев, Журн. физ. химии, 31, 2734, 1957.  
 А. Лопаткин, Ж. Стрельникова и В. П. Лебедев, Журн. физ. химии, 31, 195, 1957.  
 O. M. Schwab u. G. Hartman; Z. phys. chem. Neuefolge, 6, 1956...; 6, 72, 1956.  
 Ф. Ф. Волькенштейн, Журн. физ. химии, 27, 159, 167, 1953, см. также 31  
 О. М. Полтораки, МГУ. Доклад на Ломоносовские чтения, 1956.  
 W. Langenbeck. Die organische katalysatoren und ihren. beziehungen zu den Fermenten, 1935, Aktivierung als Kernproblem der katalyse, Leipzig, 1956.  
 Л. А. Николаев, Журн. физ. химии, 25, 1427, 1437, 1951.

## О КИНЕТИКЕ И МЕХАНИЗМЕ РАСПАДА ТЕТРАМЕТИЛЭТИЛЕНА

А. Д. Степухович и Е. Е. Никитин

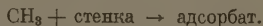
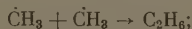
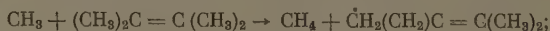
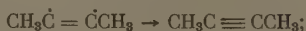
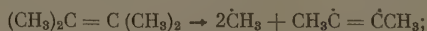
Рассмотрим возможный механизм и кинетику распада тетраметилэтилена [1]. На основании данных по распаду триметилэтилена [2] можно предполагать, что тетраметилэтилен распадается через  $\text{CH}_3$ -радикалы. С другой стороны, чтобы получить согласие с экспериментом, мы должны дать такую схему распада, из которой следует, что процент распада уменьшается с ростом давления. Но это возможно только в том случае, если исчезновение активных центров растет с давлением быстрее, чем появление, т. е. когда  $dw_1/dp_0 < 0$ , где  $w_1$  — скорость появления активных центров.

Если  $y$  — концентрация активных центров, то, пренебрегая двойной рекомбинацией, для стационарного состояния мы можем принять, что скорость образования активных центров ( $w_1$ ) и скорость гибели их ( $w_2$ ) равная  $k_3 y$ , одинаковы. Но если радикалы исчезают при рекомбинации на стенке, то константа скорости  $k_3$  определяется выражением [3].

$$k_3 = \frac{\bar{v}}{4} \frac{\epsilon S}{V},$$

в котором  $\bar{v}$  — средняя тепловая скорость активных центров, а  $\epsilon$  — эффективность столкновений со стенкой. Очевидно,  $k_3$  не зависит от начального давления  $p_0$ . С другой стороны, если предположить теперь, что распад тетраметилэтилена совершается цепным путем, то скорость образования активных центров при распаде некоторого продукта должна увеличиваться с возрастанием концентрации последнего и, следовательно,  $dw_1/dp_0 > 0$ .

Таким образом цепной распад тетраметилэтилена, вероятно, не происходит. Остается возможность распада тетраметилэтилена консекитивным радикальным путем, по такой, например, схеме



Скорости и константы скоростей этих реакций —  $w_1$ ,  $k_2$ ,  $k_3$ ,  $k_4$  и  $k_5$  — ответственны.

Реакция (1), в результате которой появляются  $\text{CH}_3$ -радикалы, будучи трудной в энергетическом отношении в объеме, может облегчаться происходя на стенках. При реакции (2) бирадикал превращается в диметилацетилен; возможна также и димеризация этих радикалов, но при низких давлениях это маловероятно. Большие малоактивные радикалы, образующиеся по реакции (3), исчезают либо путем димеризации, либо на стенке. Исчезновением  $\text{CH}_3$ -радикалов путем двойной рекомбинации при низких давлениях можно пренебречь и допустить, что активные радикалы гибнут на стенках.

Квазистационарная концентрация  $\text{СН}_3$ -радикалов определяется уравнением:

$$\frac{d(Y)}{dt} = w_1 - k_5(Y) - k_3(Y)(T) = 0,$$

равна

$$(Y) = \frac{w_1}{k_3(T) + k_5}. \quad (\text{II})$$

Концентрация тетраметилэтилена (Т) равна  $p_0 z$ , где  $p_0$  — начальное давление и  $z$  — нераспавшаяся его доля.

Убыль (Т) можно определить, согласно реакциям (1) и (3)

$$-\frac{d(T)}{dt} = \frac{k_3(T)w_1}{k_3(T) + k_5} + w_1. \quad (\text{III})$$

представляет интерес не изменение концентрации самого тетраметилэтилена, но приращение числа молей, пропорциональное приросту давления.

Учитывая что концентрация  $\text{СН}_3$ -радикалов мала, а реакции (4) и (5) не дают продуктов, видно, что в результате исчезновения одной молекулы тетраметилэтилена в реакции (1) и двух молекул в реакции появляются две молекулы этана, молекула диметилацетилен и два молекула  $\dot{\text{СН}}_2(\text{СН}_3)\text{С} = \text{С}(\text{СН}_3)_2$ ; Как бы они в дальнейшем ни изменялись, то, что в результате цикла число молей возрастает в  $\alpha$  раз. Коэффициент можно определить при анализе продуктов реакции. Существенно, что реакция (3) дает увеличение числа молей. Это изменение числа молей со временем описывается уравнением

$$-\frac{d(\alpha p_0 z)}{dt} = k_3 p_0 z (Y) = \frac{k_3 w_1 p_0 z}{k_3 p_0 z + k_5}. \quad (\text{IV})$$

Процент распада, определяемый формулой  $x = \Delta p/p_0$ , связан с нераспавшейся долей тетраметилэтилена соотношением

$$x = \alpha(1 - z).$$

и  $x$  тогда получаем уравнение

$$\frac{dx}{dt} = \frac{k_3 w_1 \frac{\alpha - x}{\alpha}}{k_3 p_0 \frac{\alpha - x}{\alpha} + k_5}. \quad (\text{V})$$

Для объяснения уменьшения процента распада  $x$  с увеличением  $p_0$  надо учесть, что  $w_1$  (скорость притока  $\text{СН}_3$  в объем) зависит от  $p_0$  меньше, по закону прямой пропорциональности. Но такая зависимость возможна в случае гетерогенного зарождения радикалов.

На основе общих соображений В. В. Воеводским [4] было показано, если на стенке гибнут некоторые активные центры, то они зарождаются со скоростью, определяемой равновесной (при температуре стенки) концентрацией радикалов

$$w_1 = \frac{\bar{v}}{4} \varepsilon S R_p, \quad (\text{VI})$$

$R_p$  — равновесная концентрация радикалов в обратимой химической реакции. Для определения  $R_p$  в случае распада тетраметилэтилена следует рассмотреть равновесную реакцию (1). Тогда для константы равновесия можно записать

$$\frac{[\dot{\text{СН}}_3]^2 [\text{СН}_3\dot{\text{С}} = \dot{\text{С}}\text{СН}_3]}{[(\text{СН}_3)_2\text{С} = \text{С}(\text{СН}_3)_2]} = K(T), \quad (\text{VII})$$

слева стоят объемные концентрации. Из уравнения реакции следует,

$$[\dot{\text{СН}}_3] = 2 [\text{СН}_3\dot{\text{С}} = \dot{\text{С}}\text{СН}_3]. \quad (\text{VIII})$$

Зависимость равновесной концентрации  $\text{CH}_3$ -радикалов от начальной концентрации и нераспавшейся доли тетраметилэтилена на основании (V) и (VIII) определяется выражением

$$R_p \equiv [\dot{\text{C}}\text{H}_3] = \left\{ \frac{1}{2} K(T) p_0 z \right\}^{1/2}. \quad (I)$$

Подставляя (IX) в (VI), для скорости поставления активных центров в случае гетерогенного их зарождения получаем

$$w_1 = \frac{\bar{v}}{4} \varepsilon \left\{ \frac{1}{2} K(T) p_0 z \right\}^{1/2}.$$

Полученная величина  $w_1$  совпадает формально со скоростью реакции идущей гетерогенно в нелинейной области изотермы адсорбции [5]. Однако там показатель степени зависит от адсорбционных свойств стенок. В выражении же (X) он определяется исключительно стехиометрией реакции, дающей радикалы. Отсюда вытекает, что полученный результат верен постольку, поскольку правильно предположение о стехиометрии и характере реакции (1).

В результате подстановки (X) в (V) для изменения процента распада  $x$  со временем получаем уравнение

$$\frac{dx}{dt} = \frac{k' p_0^{1/2} (\alpha - x)^{1/2}}{k'' p_0 (\alpha - x) + k_5}, \quad (X)$$

в котором

$$k' = k_3 \left\{ \frac{1}{2} K(T) \right\}^{1/2} \alpha^{-1/2} S \text{ и } k'' = k_2 / \alpha.$$

Так как реакция (3) является основной, то можно предположить, что исчезновение радикалов в ней больше, по крайней мере, в начале распада, чем их гибель на стенках.

Тогда  $k'' p_0 (\alpha - x) \gg k_5$  и уравнение (XI) упрощается

$$\frac{dx}{dt} = \frac{k'}{k''} p_0^{-1/2} (\alpha - x)^{1/2}. \quad (XI)$$

Как из (XI), так и из (XII) вытекает, что существует область давления, в которой процент распада уменьшается с возрастанием давления. При очень малых давлениях и больших глубинах распада неравенство  $k'' p_0 (\alpha - x) \gg k_5$  не удовлетворяется, и приближенная формула (XII) неверна.

Следовательно, опытные факты по распаду тетраметилэтилена можно объяснить, если рассматривать распад последнего как последовательную радикальную реакцию с гетерогенным зарождением активных центров.

### ВЫВОДЫ

Дано возможное объяснение аномальной кинетики распада тетраметилэтилена на основе гипотезы о гетерогенно-радикальном, но не цепном распаде тетраметилэтилена.

Саратовский госуниверситет  
им. Н. Г. Чернышевского

Поступила  
8. VIII. 1957

### ЛИТЕРАТУРА

1. А. Д. Степухович, Е. Г. Каплан, Е. Е. Никитин, Журн. физ. хим. 31, 1437, 1957.
2. Ф. О. Райс, К. К. Райс, Свободные алифатические радикалы, ОНТИ, Москва, 1937.
3. Н. Н. Семенов, Acta phys.-chim. URSS, 18, 2—3, 93, 1943.
4. В. В. Воеводский, ДАН, 90, 815, 1953.
5. Г. И. Гинзельсвуд, Кинетика хим. реакций, ОНТИ, Москва, 1933.

### ON THE KINETICS AND MECHANISM OF TETRAMETHYLETHYLENE DECOMPOSITION

*A. D. Stepukhovich and E. E. Nikitin (Saratov)*

#### Summary

A possible explanation is proposed for the anomalous kinetics of the decomposition of tetramethylethylene, based on a heterogeneous-radical rather than a chain mechanism.

## К ТЕОРИИ ЗАМЕДЛЕННОГО РАЗРЯДА

Л. И. Кристаллик

Как показано работами А. Н. Фрумкина и его школы, скорость катодного выделения водорода на ртути и, вероятно, на некоторых других металлах с высоким перенапряжением определяется стадией замедленного разряда иона водорода [1, 2]. В теории замедленного разряда детально рассматривается зависимость перенапряжения от таких факторов, как состав раствора и строение двойного слоя. Вместе с тем некоторые вопросы представляются недостаточно выясненными в рамках этой теории. В настоящей работе делается попытка рассмотреть их несколько более подробно. При этом мы будем пользоваться методом активированного комплекса [3]. Плодотворность его применения к процессу разряда ионов водорода показана М. И. Темкиным [4].

Скорость катодного выделения водорода равна

$$i_k = K \frac{a_{M_s} a_{HВ_s}}{\gamma^*} \times \exp \left[ - \frac{\bar{G}^* - \bar{G}_{1s}^0}{RT} \right]. \quad (1)$$

Здесь  $K = \varepsilon kT / h$  ( $k$  и  $h$  — постоянные Больцмана и Планка,  $\varepsilon$  — заряд электрона, абсолютная температура),  $\gamma^*$  — коэффициент активности активированного комплекса,  $a_{M_s}$  — активность поверхности металла, совпадающая в простейшем случае со средней долей поверхности электрода,  $a_{HВ_s}$  — активность источника протонов в двойном слое на поверхности электрода,  $\kappa$  — трансмиссионный коэффициент,  $\bar{G}^*$  — стандартная электрохимическая свободная энергия Гиббса активированного состояния, — то же исходного состояния,  $a_{HВ_s}$  связана с активностью НВ в объеме раствора соотношением

$$a_{HВ_s} = a_{HВ} \exp \left[ - \frac{\Delta G_{HВ}^0 + z\psi_1 F}{RT} \right]; \quad (2)$$

$\Delta G_{HВ}^0$  — стандартная свободная энергия специфической (неэлектростатической) адсорбции НВ,  $z$  — заряд частицы НВ, равный единице ( $H_3O^+$ ) или нулю ( $H_2O$ ),  $\psi_1$  — разность потенциалов в растворе и в плоскости, проходящей через центры частиц в двойном слое\*.

Энергия исходного состояния (адсорбированный источник протонов и электрон в металле) складывается из химической и электрической энергии

$$\bar{G}_{1s}^0 = G_{1s}^0 + z\psi_1 F - \varphi F, \quad (3)$$

$\varphi$  — разность потенциалов между объемом раствора и металлом\*,  $G_{1s}^0 = \mu_{HВ_s}^0 + \mu_e$ , т. е. равна сумме стандартных химических потенциалов адсорбированного НВ и электрона в металле.

Влияние электрического поля на свободную энергию активированного состояния складывается из его влияния на энергию атома водорода на вершине потенциального барьера ( $-\beta(\varphi - \psi_1)F$ ) и на энергию оста-

\* Потенциал в объеме раствора принят равным нулю.

ющей после отрыва протона частицы  $(+(z-1)\psi_1 F)$

$$\bar{G}^{\pm} = G^{\pm} - \beta(\varphi - \psi_1)F + (z-1)\psi_1 F.$$

Экспериментальные данные показывают, что коэффициент  $\beta = 1$  — близок к 0,5.

Из уравнений (1) — (4) получаем

$$i_K = K \times \frac{a_{M_s}}{\gamma^{\pm}} a_{HB} \exp \left\{ -\frac{1}{RT} [G^{\pm} - G_1^0 + (z-\alpha)\psi_1 F + \alpha\varphi F] \right\};$$

$$\varphi_K = -\frac{RT}{\alpha F} \left( \ln i_K - \ln K \times \frac{a_{M_s}}{\gamma^{\pm}} a_{HB} \right) - \frac{z-\alpha}{\alpha} \psi_1 - \frac{G^{\pm} - G_1^0}{\alpha F}.$$

Для обратной реакции ионизации водорода имеем, аналогично предыдущему:

$$i_a = K \times \frac{a_{H_s} a_{B_s}}{\gamma^{\pm}} \exp \left[ -\frac{\bar{G}^{\pm} - \bar{G}_{2s}^0}{RT} \right];$$

$$a_{H_s} = a_{M_s} \sqrt{p_{H_2}} \exp \left[ -\frac{\Delta G_{aH}^0}{RT} \right];$$

$$a_{B_s} = a_B \exp \left[ -\frac{\Delta G_{aB}^0 + (z-1)\psi_1 F}{RT} \right];$$

$$\bar{G}_{2s}^0 = G_{2s}^0 + (z-1)\psi_1 F;$$

$$G_{2s}^0 = \mu_{B_s}^0 + \mu_{H_s}^0.$$

Отсюда

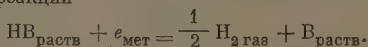
$$i_a = K \times \frac{a_{M_s}}{\gamma^{\pm}} a_B \sqrt{p_{H_2}} \exp \left\{ -\frac{1}{RT} [G^{\pm} - G_2^0 + (z-\alpha)\psi_1 F - \beta\varphi F] \right\};$$

$$\varphi_a = -\frac{RT}{\beta F} \left( -\ln i_a + \ln K \times \frac{a_{M_s}}{\gamma^{\pm}} a_B \sqrt{p_{H_2}} \right) + \frac{z-\alpha}{\beta} \psi_1 + \frac{G^{\pm} - G_2^0}{\beta F};$$

Из условия равновесия ( $i_a = i_K$ ) находим равновесное значение  $\varphi$  ( $\varphi_e$ )

$$\varphi_e = -\frac{RT}{F} \ln \frac{\sqrt{p_{H_2}} a_B}{a_{HB}} - \frac{G_2^0 - G_1^0}{F};$$

где  $G_1^0$  и  $G_2^0$  — стандартные свободные энергии исходного и конечного состояний суммарной электродной реакции



Иными словами,

$$\varphi_e F = \mu_{HB} + \mu_e - \frac{1}{2} \mu_{H_2} - \mu_B,$$

где  $\mu$  — химические потенциалы при заданных активностях компонентов.

Определяемая уравнением (13) величина  $\varphi_e$  есть не что иное, как скачок потенциала на границе электрод — раствор; таким образом имеет место полное соответствие с данным ранее определением  $\varphi$ .

Катодное перенапряжение есть разность  $\varphi_e$  и  $\varphi$

$$\eta = \varphi_e - \varphi.$$

Оно равно

$$\eta = \frac{RT}{\alpha F} \ln i_K - \frac{RT}{\alpha F} \ln K \times a_{M_s} - \frac{RT}{F} \ln \gamma_{HB}^{\beta/\alpha} / \gamma^{\pm 1/\alpha} -$$

$$- \frac{\beta}{\alpha} \frac{RT}{F} \ln C_{HB} - \frac{RT}{F} \ln a_B \sqrt{p_{H_2}} + \frac{z-\alpha}{\alpha} \psi_1 + \frac{G^{\pm} - G_{1s}^0}{\alpha F} +$$

$$+ \frac{\Delta G_{aHB}^0}{\alpha F} - \frac{G_2^0 - G_1^0}{F}.$$

Рассмотрим величину стандартной химической свободной энергии активации  $\Delta G^{\ddagger} = G^{\ddagger} - G_{1s}^0$ . Из уравнений (3) и (4)

$$\Delta G^{\ddagger} = \bar{G}^{\ddagger} - \bar{G}_{1s}^0 - \alpha(\varphi - \psi_1)F. \quad (16)$$

Если все вещества находятся в своих стандартных состояниях,  $\psi_1 = 0$   
 $\varphi = \varphi_e^0 = -\frac{G_2^0 - G_1^0}{F}$ , где  $\varphi_e^0$  — равновесный нормальный скачок потенциала, то

$$\Delta G^{\ddagger} = \Delta \bar{G}_{0e}^{\ddagger} + \alpha(G_2^0 - G_1^0) \quad (17)$$

$$\Delta \bar{G}_{0e}^{\ddagger} = \Delta H_{0e}^{\ddagger} - T\Delta S^{\ddagger}. \quad (18)$$

Здесь  $\Delta \bar{G}_{0e}^{\ddagger}$ ,  $\Delta H_{0e}^{\ddagger}$  и  $\Delta S^{\ddagger}$  — электрохимическая свободная энергия, энтальпия и энтропия активации при описанных выше условиях.

Для нахождения  $\Delta H_{0e}^{\ddagger}$  необходимо построить потенциальные кривые начального и конечного состояний. Расстояние между минимумами потенциальных кривых\*, соответствующее тепловому эффекту элементарного акта разряда, равно  $\Delta H_{aH} + \Delta H_{aB} - \Delta H_{aHB} + q_0$ . Здесь  $q_0 = T(S_2^0 - S_1^0)$  есть стандартный равновесный тепловой эффект суммарной электродной реакции (12).

Для расчета энергии активации воспользуемся приемом, аналогичным предложенному М. И. Темкиным [5]. Если сдвинуть по вертикали потенциальную кривую для связи Н—В так, чтобы минимумы потенциальных кривых были бы расположены на одном уровне, то рассчитанная таким путем величина  $\Delta H_{00}^{\ddagger}$  будет отличаться от  $\Delta H_{0e}^{\ddagger}$ :

$$\Delta H_{00}^{\ddagger} = \Delta H_{0e}^{\ddagger} - \alpha[\Delta H_{aH} + \Delta H_{aB} - \Delta H_{aHB} + T(S_2^0 - S_1^0)]. \quad (19)$$

Величина  $\Delta H_{00}^{\ddagger}$  не зависит от теплового эффекта элементарного акта реакции в данных условиях, т. е. от разности энергий, отвечающих минимумам кривых. Если считать, как это обычно принимается в теории замедленного разряда [1, 6], что при изменении электродного материала или растворителя форма кривых и межатомные расстояния не изменяются, то величина  $\Delta H_{00}^{\ddagger}$  для всех условий электролиза остается постоянной. Это позволяет именовать ее «универсальной энергией активации».

М. И. Темкин [4], опираясь на результаты З. А. Иофа и Н. Н. Фрумкина [7], показал, что энтропия активированного комплекса кислых растворов составляет долю  $\beta$  от энтропии иона  $H_3O^+$ .

При этом стандартные состояния активированного комплекса и  $H_3O^+$  выбраны тем образом, чтобы их активности совпадали, для идеального раствора, с мольными долями (соответствующие стандартные энтропии мы обозначим  $S^{\ddagger 0}$  и  $S_{H_3O^+}^{00}$ ):

$$S^{\ddagger} = S^{\ddagger 0} - R \ln \cdot 10^{-15}; \quad (20)$$

$$S_{H_3O^+}^0 = S_{H_3O^+}^{00} - R \ln 1/56; \quad (21)$$

$$S^{\ddagger 0} = \beta S_{H_3O^+}^{00}. \quad (22)$$

Здесь  $10^{-15}$  и  $1/56$  — соответствующие мольные доли для принятых ранее стандартных состояний.

\* Точнее следует говорить не о минимумах потенциальных кривых, а об уровнях нулевой энергии. В приводимых ниже расчетах это обстоятельство учтено.

Учитывая, что  $S_1^0 = S_{\text{H}_2\text{O}}^0 + S_e \approx S_{\text{H}_2\text{O}}^0$ , получим из уравнений (15)–(20)

$$\eta = \frac{RT}{\alpha F} \ln i_k - \frac{RT}{\alpha F} \ln K \alpha_{\text{M}_s} - \frac{RT}{F} \ln \gamma_{\text{H}_2\text{O}}^{\beta/\alpha} / \gamma^{+1/\alpha} - \\ - \frac{\beta}{\alpha} \frac{RT}{F} \ln c_{\text{H}_2\text{O}} - \frac{RT}{F} \ln a_{\text{H}_2\text{O}} \sqrt{P_{\text{H}_2}} + \frac{\beta}{\alpha} \psi_1 + \frac{RT}{\alpha F} \ln 56^{\beta} \cdot 10^{-15} + \\ + \frac{T}{F} \left( S_{\text{H}_2\text{O}}^0 + \frac{1}{2} S_{\text{H}_2}^0 \right) + \frac{\Delta H_{00}^+}{\alpha F} + \frac{\Delta H_{\text{aH}}}{F} + \frac{\Delta H_{\text{aH}_2\text{O}}}{F} + \frac{\beta}{\alpha} \frac{\Delta H_{\text{aHO}^+}}{F}. \quad (21)$$

Наиболее важным является то обстоятельство, что уравнение (21) не включает ни абсолютных разностей потенциалов, ни таких связанных с ними и недоступных непосредственному экспериментальному определению величин, как химические потенциалы ионов и электронов и т. Хотя указанные величины и были учтены в явном виде в исходных уравнениях, в конечном счете все они оказались исключенными.

Мы не можем измерить коэффициент активности отдельного иона, однако отношение  $\gamma_{\text{H}_2\text{O}} / \gamma^{\pm 2}$  близко к единице [7], и соответствующим членом можно пренебречь.

Адсорбция иона  $\text{H}_3\text{O}^+$  доступна определению как при помощи электрокапиллярных измерений [8], так и, например, методом меченых атомов. Из экспериментальных значений поверхностной концентрации может быть при помощи уравнения (2) рассчитано  $\Delta G_{\text{aH}_3\text{O}^+}^0$ . Так как в (2) входят не концентрации, а активности ионов, то непосредственно определяется лишь некоторая кажущаяся величина, экстраполяция которой к нулевой концентрации дает, однако, истинное значение  $\Delta G_{\text{aH}_3\text{O}^+}^0$ . Его температурная зависимость позволяет определить  $\Delta H_{\text{aH}_3\text{O}^+}$ .

Увеличение химических потенциалов заряженных частиц — ионов водорода и электронов, т. е. увеличение энергии начального состояния должно было бы привести при данном скачке потенциала к уменьшению энергии активации разряда. Однако увеличение  $\mu_e$  и  $\mu_{\text{H}_3\text{O}^+}$  неизбежно связано с ростом (положительного) значения скачка потенциала, т. е. повышением энергии активации. Эти два противоположно направленных эффекта равны по абсолютной величине и потому взаимно компенсируются. Тот же так же изменение абсолютного значения скачка потенциала при переходе от одного электродного материала или растворителя к другому не отражается непосредственно на величине перенапряжения, так как оно обусловлено соответствующим изменением энергий начального и конечного состояний.

В работе А. К. Лоренца [9] разность перенапряжений на двух металлах связывается с различным химическим потенциалом электронов. Однако автор фактически пренебрегает зависимостью константы  $C_2$  в своем уравнении (7) от природы металла. Сопоставлением с нашим уравнением (6) легко убедиться, что  $C_2$  включает в себя  $\mu_e$ , и поэтому в конечном выражении величины  $\mu$  должны взаимно уничтожаться\*\*. Вероятно наличие параллелизма между  $\mu_e$  (а также такими связанными с ним свойствами, как работа выхода электронов, сжимаемость металла и т. п.) и энергией адсорбции водорода, находит свое отражение в ряде эмпирических правил [10–12].

\* Уравнение, аналогичное (23), может быть получено и для разряда молекул воды, если допустить, что  $S^{\pm 0} = \alpha S_{\text{OH}^-}^{00}$ , т. е. что  $S^{\pm 0}$  как в кислых, так и в щелочных растворах равно половине энтропии ( $\alpha = \beta = 0,5$ ) соответствующего иона:

$$\eta = \frac{RT}{\alpha F} \ln i_k - \frac{RT}{\alpha F} \ln K \alpha_{\text{M}_s} - \frac{RT}{F} \ln \gamma_{\text{OH}^-} / \gamma^{+1/\alpha} - \\ - \frac{\beta}{\alpha} \frac{RT}{F} \ln a_{\text{H}_2\text{O}} - \frac{RT}{F} \ln c_{\text{OH}^-} \sqrt{P_{\text{H}_2}} - \psi_1 + \frac{RT}{\alpha F} \ln 56^{\beta} \cdot 10^{-15} + \\ + \frac{T}{F} \left( \frac{\beta}{\alpha} S_{\text{H}_2\text{O}}^0 + \frac{1}{2} S_{\text{H}_2}^0 \right) + \frac{\Delta H_{00}^+}{\alpha F} + \frac{\Delta H_{\text{aH}}}{F} + \frac{\Delta H_{\text{aOH}^-}}{F} + \frac{\beta}{\alpha} \frac{\Delta H_{\text{aH}_2\text{O}}}{F}. \quad (22)$$

\*\* Это не видно непосредственно из уравнений (3) — (6) и (7) статьи А. К. Лоренца [9], так как в них приняты противоположные правила знаков для скачков потенциалов.

Как отмечалось выше, перенапряжение не зависит и от стандартного ического потенциала другой заряженной частицы — иона водорода, не зависит от энергии сольватации протона. Пользуясь предложенной 1. Темкиным [5] терминологией, можно сказать, что энергия сольватации протона влияет на идеальную, но не влияет на реальную энергию ивации процесса, а именно последняя определяет величину перенапряжения\*.

Влияние растворителя на перенапряжение определяется, как видно равнения (23), величинами энтропии растворителя, энергии адсорбции молекул и сольватированных ионов водорода, влиянием природы растворителя на энергию адсорбции водорода и на величину  $\Delta H_{00}^*$  и др.

Экспериментальные данные подтверждают отсутствие прямой количественной связи перенапряжения водорода с энергией сольватации про-

Как, перенапряжение на ртути в метиловом спирте на 0,10—0,16 В, чем в воде [14—16], тогда как энергия сольватации протона снижена на величину около 0,02 eV [17].

В этиловом спирте перенапряжение на ртути понижено на 0,07—0,16 В [18] и на никеле — на 0,13 В [19], энергия сольватации — практически та же. Аналогичные величины наблюдались в этих спиртах и в этиленгликоле на некоторых других катодах [20, 21], но эти данные менее точны. Эффект в эфире несколько меньше (порядка сотых вольта) [14] (см. также [22]). Энергия сольватации протона в эфире, вероятно, близка к соответствующей величине для воды [14].

Данные по перенапряжению водорода в муравьиной и уксусной кислотах близки к таковым для спиртов [20], хотя энергия сольватации протона в них ниже (в HCOOH — приблизительно на 0,5 eV [22]).

В жидком аммиаке В. А. Плесковым [23] наблюдалось повышение перенапряжения по сравнению с водным раствором. Данные по перенапряжению на ртути сильно искажены образованием амальгамы аммония. Повышение перенапряжения на свинце составляло 0,1—0,2 В. Перенапряжение на платиновом электроде при — 50° на 0,20 В выше, чем в водном растворе при 20°. Температурная поправка снижает величину  $\Delta \eta$  для никелевого электрода до 0,1 В. Таким образом, повышение перенапряжения водорода, наблюдающееся в жидком аммиаке, значительно меньше прироста энергии сольватации протона, превышающего 0,9 eV [22].

Качественный параллелизм перенапряжения с энергией сольватации протона может быть обусловлен связью последней величины с энергией адсорбции иона, так как адсорбция иона связана в известной мере с его сольватацией. При этом разная структура растворителей может привести к разной степени влияния сольватации протона на энергию его адсорб-

Энергия специфической адсорбции ионов гидроксония невелика по сравнению с энергией адсорбции атомарного водорода. Это не означает, однако, что энергиями адсорбции ионов можно вообще пренебрегать, в частности для таких процессов, как изменение заряда ионов.

Из уравнений (23) и (23а) вытекает, что для растворителей, образующих диссоциации сильно адсорбирующиеся анионы, могут наблюдаться

\* Этот вывод в неявном виде содержится в работе М. И. Темкина [5], поскольку из него показано, что для расчета реальной энергии активации не требуется знать теплоту электродного процесса.

Бокрис [13] рассчитывал влияние растворителя на перенапряжение, учитывая влияние порозия как на энергию активации, так и на скачок потенциала. Как показано выше, отдельный расчет этих двух факторов является излишним, поскольку всегда компенсируют друг друга. Оценка соответствующих эффектов, данная Бокрисом, весьма приближена, что заставляет считать полученное им согласие с опытом истинным.

существенные различия во влиянии растворителя на перенапряжение водорода в кислых и в щелочных растворах, вплоть до противоположных знаков этого эффекта. Поскольку влияние природы металла на энергетическую адсорбцию ионов кислоты и основания должно, вообще говоря, быть различным, можно ожидать, что разность перенапряжений на двух металлах в кислых и щелочных растворах не будет одинаковой. Представляется интересным подробное экспериментальное изучение влияния растворителя на перенапряжение на различных электродных материалах как в кислых, так и в щелочных растворах.

Как отмечалось выше, уравнение (23) позволяет рассчитать величину перенапряжения. Впервые возможность абсолютного расчета скорости электродного процесса была показана М. И. Темкиным [4], результаты которого использованы при выводе уравнения (23).

Для того чтобы сопоставить это уравнение с расчетом реального перенапряжения экспоненциального множителя по М. И. Темкину [4], в него следует ввести величину реальной энергии активации  $A_0$ . Последняя может быть получена путем построения, сводящегося к сдвигу потенциальной кривой НВ величину  $q_0$  [5]. Однако экспериментально определяемая величина является, строго говоря, не истинной, а кажущейся энергией активации, поскольку ее определение производится при постоянной концентрации  $\text{H}_3\text{O}^+$  в объеме раствора, а не в двойном слое. Учитывая это обстоятельство, а также различие между энергией и энтальпией активации [6], получаем

$$A_0 = \Delta H_{0e}^+ - \alpha T (S_{21}^0 - S_1^0) + \Delta H_{\text{H}_3\text{O}^+} + RT.$$

Из (19), (23) и (24) вытекает выражение для предэкспоненциального множителя, в точности совпадающее с данным М. И. Темкиным [4].

Для расчета перенапряжения необходимо знать соответствующие теплоты адсорбции и универсальную энергию активации  $\Delta H_{0e}^+$ .

Теплота адсорбции молекулы воды может быть найдена из теплоты образования  $1 \text{ см}^2$  поверхности воды (+ 0,075 eV) и теплоты смачивания поверхности металла ртути  $\approx -0,13 \text{ eV}$ .

Теплота адсорбции водорода относится к поверхности металла, погруженного в растворитель. Следовательно, адсорбция атома Н связана в известной мере с десорбцией молекулы  $\text{H}_2\text{O}$ , которая, оставаясь в поверхностном слое жидкости, уже не имеет непосредственного контакта с атомами металла. Чтобы учесть этот эффект, мы в дальнейшем исключили из рассмотрения как теплоту смачивания, так и поправку к  $\Delta H_{\text{H}_3\text{O}^+}$ , занесенную в адсорбцией воды. Этот прием, разумеется, не является строгим, но связан с ним ошибка вряд ли может превысить несколько сотых долей вольта.

В указанном приближении

$$\Delta H_{\text{H}_3\text{O}^+} = 52,09 - E_{\text{M-H}} + R_{\text{H-H}_2\text{O}},$$

где 52,09 —  $\Delta H$  образования газообразного атомарного водорода,  $E_{\text{M-H}}$  — энергия связи водорода с поверхностью металла,  $R_{\text{H-H}_2\text{O}}$  — энергия отталкивания Н от ближайшей молекулы воды, рассчитываемая по [25, 26].

Из данных по адсорбции ионов  $\text{H}_3\text{O}^+$  на ртути [27] была найдена величина  $\Delta G_{\text{H}_3\text{O}^+}^{00} = + 0,04 \text{ eV}^*$ . Отсутствие данных по температурной зависимости адсорбции не позволяет определить точное значение  $\Delta H_{\text{H}_3\text{O}^+}$ . Определим порядок этой величины исходя из оценки  $\Delta S_{\text{H}_3\text{O}^+}^{00}$ . Прирост энтропии иона, связанный с изменением его окружения

в основном электростатического взаимодействия с растворителем, примерно равен половине  $\Delta S$  при дегидратации иона. Исходя из данных по энтропии сольватации ионов в щелочных металлах [28], этот прирост можно ориентировочно оценить в 7—8 э. Можно думать, что для адсорбированного иона  $\text{H}_3\text{O}^+$  водородная связь с кислородом замещается очень слабой водородной связью с металлом [29], что ведет к снижению частоты межмолекулярного колебания и соответствующему приросту энтропии порядка

\* Определена путем довольно далекой экстраполяции (рис. 1). Значения  $\psi_1$  — потенциал, использованные в этом расчете, взяты из [7].

а. ед. Суммарный прирост энтропии  $\approx 10$  а. ед., что дает  $\Delta H_{\text{aH}_2\text{O}} \approx +4 \text{ ккал} \approx 0,17 \text{ eV}$ . По порядку величины это соответствует ожидаемому снижению энергии юдной связи.

Проведенные расчеты дают лишь порядок величин  $\Delta H_{\text{aH}_2\text{O}}$  и  $\Delta H_{\text{aH}_3\text{O}^+}$ . Поэтому в дальнейшем мы принимаем для суммы этих членов значение  $0,2 \pm 0,1 \text{ eV}$ .

Рассмотрим величину  $\Delta H_{\text{ог}}^a$ , определенную выше уравнением (19). Независимости формы потенциальных кривых она не зависит от природы металла и растворителя. Однако действительности форма кривых различных металлов различна. В работе это различие учитывалось на основе данных по газообразным оксидам металлов, но такой прием известной мере произволен. Действительно, зависимость потенциальной энергии от расстояния, выражаемая функцией Морзе (26), включает два параметра — энергию диссоциации  $D_e$  (отсчитанную от минимума кривой) и коэффициент  $a$ , определяемый частотой колебаний  $\omega_e$  и энергией диссоциации связи согласно (27)\*:

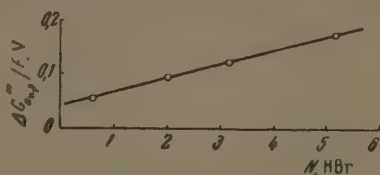


Рис. 1. Определение величины  $\Delta G_{\text{ог}}^{\text{aH}_2\text{O}}$ .

$$U = D_e [2 \exp(-2a\Delta r) - \exp(-4a\Delta r)]; \quad (26)$$

$$a = 0,061 \frac{\omega_e}{D_e^{1/2}}. \quad (27)$$

Указанные два параметра функции Морзе не независимы друг от друга. Поэтому сочетание  $D_e$ , соответствующего адсорбированному водороду, и  $\omega_e$  для газообразного гидрида незаконно.

Как показала обработка экспериментальных данных, взятых нами из работы Коттрелла [30], для гидридов ряда металлов и неметаллов наблюдается простая зависимость

$$\omega_e = 0,084 D_e, \quad (28)$$

показанная на рис. 2. Как видно из рисунка, эта зависимость хорошо поддается (размеры точек меньше ошибок опыта). Исключение составляют гидриды Hg, Cd и Zn, что связано, вероятно, с затратой энергии на дварительное возбуждение электрона\*\*.

Наличие зависимости (28) позволяет представить уравнение Морзе для рассуждающего нас класса веществ в виде функции только одного параметра

$$U = D_e [2 \exp(-0,01025 D_e^{1/2} \Delta r) - \exp(-0,0205 D_e^{1/2} \Delta r)]. \quad (29)$$

Для построения потенциальной кривой связи О—Н в ионе  $\text{H}_3\text{O}^+$  приняты  $\omega_e = 3200 \text{ см}^{-1}$ \*\*\* и  $D_e = 180 \text{ ккал}$ . В качестве энергии диссоциации взята величина протонного сродства молекулы  $\text{H}_2\text{O}$  [28, 36], а не полная энергия диссоциации протона, так как последняя влияет лишь на относительное

\* В уравнении (27) подставлены соответствующие значения констант, причем принята масса для всех гидридов принята равной массе атома водорода.

\*\* Отклонение для AlH (и, возможно, InH) объясняется аномальной формой потенциальной кривой, обладающей максимумом [31]. Для PbH, MnH, AsH<sub>3</sub>, H<sub>2</sub>Se и некоторых других отклонения связаны, по всей вероятности, с ошибкой в величине энергии связи.

\*\*\* Указанное значение  $\omega_e$  лежит между таковым для связи О—Н в воде и свободном ионе ОН ( $\sim 3650 - 3750 \text{ см}^{-1}$ ) и значением собственной частоты иона ОН<sup>+</sup> ( $\sim 2950 \text{ см}^{-1}$ ). Экспериментальные величины для  $\text{H}_3\text{O}^+$  лежат около  $3100 - 3300 \text{ см}^{-1}$  [33, 34]. Иная  $\omega_e$  по эмпирическому правилу Горди дает  $3240 \text{ см}^{-1}$  [35].



ь резко выражена. Так, уменьшение  $E_{M-H}$  с 50 до 30 ккал снижает  $\Delta H_{00}^*$  приблизительно на 1,5 ккал. Таким образом изменение формы потенциальной кривой несколько уменьшает повышение перенапряжения, связанное уменьшением теплоты адсорбции водорода. Противоположный вывод, данный в работе Рютши и Делахэ [40], основан на явно нереальной, не учитывающей межатомных расстояний и в неправильном применении данных газообразным гидридам.

На рис. 4 представлены расчеты по уравнению (23) величины  $\Delta H_{00}^* + RT$  в функции  $E_{M-H}$ ; стрелками обозначены наиболее вероятные значения постоянной  $a$  для различных металлов [4].

Как и с изменением природы металла, так и с изменением природы адсорбции ионов  $H_3O^+$ ; то мы ориентировочно приняли, что при изменении энергии связи  $M-H$  на 10 ккал энергия связи металла с  $H_3O^+$  возрастает приблизительно на 1 ккал (0,05 эВ).

Интересно отметить, что наклон полученной таким образом кривой  $E_{M-H}/F$  меняется от 1,04 до 0,90. Для пунктирной кривой, отражающей только изменение функции Морзе ( $\Delta H_{aH_2O} = \text{const}$ ), наклон заметно меньше — 0,78—0,92.

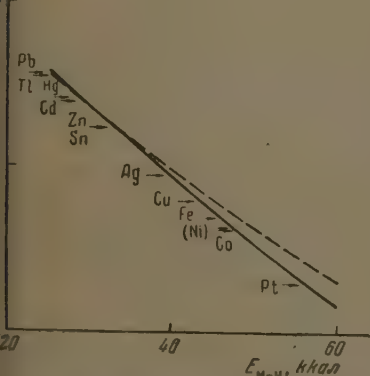


Рис. 4. Расчетные значения постоянной  $a$

по сравнению с экспериментальными значениями. Оно соответствует расхождению рассчитанного М. И. Темкиным [4] реального предэкспоненциального множителя с экспериментальным значением и вызвано теми же причинами.

Следует отметить, что для хорошо адсорбирующих водород катодов расчет носит ориентировочный характер, так как для них необходим учет скоростей и других стадий процесса, кроме стадии разряда.

Расчет перенапряжения может быть проведен и для неводных растворов, однако в этом случае имеющиеся в нашем распоряжении данные еще более ограничены. Результаты такого расчета показывают, что согласие с опытными значениями перенапряжения водорода в спиртовых (метанольном и этанольном) растворах может быть получено в предположении небольшой положительной специфической адсорбции ионов.

Они соответствуют длине связи  $O-H$ , равной 1,01 Å (расстояние между минимумами потенциальных кривых — 0,49 Å).

Рассчитано по уравнениям (19), (24) и (25).

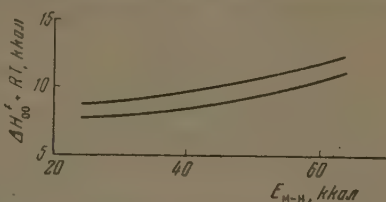


Рис. 3. Расчетные значения  $\Delta H_{00}^* + RT$  (верхняя кривая — 0,52 Å, нижняя — 0,47 Å)

Как видно из рис. 4, экспериментальные значения перенапряжения отвечают вполне разумным значениям энергии адсорбционной связи водорода с металлом. В частности, для ртути получается величина около 29 ккал, что согласуется с оценкой А. Н. Фрумкина и сотр. [41] (~ 27 ккал).

С данными по энергии активации катодного выделения водорода ( $A_0 = 21,7$  ккал [4, 42]) согласуется, при принятых выше значениях  $\Delta H_{aH_2O} + \Delta H_{aH_2O}^*$ ,  $R_{H-H_2O}$  и  $\Delta H_{00}^*$ , величина  $E_{Hg-H} \approx 32$  ккал\*\*. Расхождение этих двух оценок отвечает разнице энергий активации около 1,5 ккал, т. е.

водорода ( $\Delta H_{a_{\text{ROH}_2}}$  порядка  $-0,1 \text{ eV}$ )\*, а для растворов в жидком аммиаке — отрицательной адсорбции ( $\Delta H_{a_{\text{NH}_3}}$  порядка  $+0,1 \text{ eV}$ ).

Из уравнений (23) и (23а) можно определить величину рН, при которой сравниваются скорости разряда ионов  $\text{H}_3\text{O}^+$  и молекул  $\text{H}_2\text{O}$

$$\text{pH} = 7 + \frac{1}{2,3 RT} [2(\Delta H_{00_{\text{H}_2\text{O}}}^{\#} - \Delta H_{00_{\text{H}_3\text{O}^+}}^{\#}) + (\Delta H_{a_{\text{H}_2\text{O}}} - \Delta H_{a_{\text{H}_3\text{O}^+}}) + (\Delta H_{a_{\text{H}_2\text{O}}} - \Delta H_{a_{\text{H}_3\text{O}^+}}) + (\Delta H_{a_{\text{OH}^-}} - \Delta H_{a_{\text{H}_3\text{O}^+}})].$$

$\Delta H_{00}^{\#}$  несколько больше для разряда из щелочного, чем из кислого раствора, благодаря изменению формы потенциальной кривой О — Н связи, изменению ее нулевой энергии и расстояния между минимумами потенциальных кривых. Энергия связи водорода с металлом должна быть несколько ниже вблизи иона  $\text{OH}^-$ , нежели в соседстве с молекулой воды, так как анионы ослабляют связь М — Н [1]. Энергии адсорбции воды, входящие в выражения для щелочных и кислых растворов, различны, так как соответствуют разным ориентациям молекул. В том случае, когда молекула  $\text{H}_2\text{O}$  является источником протонов, она ориентирована атомами водорода наружу, что энергетически менее выгодно, чем нормальная ориентация отрицательным концом диполя из раствора [43], которая должна учитываться при разряде ионов  $\text{H}_3\text{O}^+$ . Разность  $\Delta H_{a_{\text{OH}^-}} - \Delta H_{a_{\text{H}_3\text{O}^+}}$  вероятно, существенно зависит от природы металла.

В неводных растворителях, образующих сильно адсорбирующиеся ионы основания, возможен перегиб кривой перенапряжения не в щелочной, а в кислой области.

В заключение я пользуюсь случаем выразить благодарность А. Фрумкину и М. И. Темкину за ценные замечания, высказанные при обсуждении результатов настоящей работы.

#### ВЫВОДЫ

При помощи метода активированного комплекса рассмотрена, в рамках теории замедленного разряда, зависимость перенапряжения водорода от природы металла и растворителя. Используя прием, аналогичный предложенному М. И. Темкиным [5], получено уравнение, позволяющее рассчитать абсолютную величину перенапряжения.

Показано отсутствие прямой связи перенапряжения со значением скачка потенциала на границе электрод/раствор и с величиной химического потенциала электрона в металле и энергией сольватации протонов. Найдена непосредственная зависимость перенапряжения от энергии специфической адсорбции молекул растворителя и ионов водорода в кислых или ионов основания в щелочных растворах.

Показано, что функцию Морзе для адсорбированного водорода можно представить в виде выражения, содержащего только один параметр энергии связи металл — водород.

Рассчитанные величины перенапряжения и энергии активации входят в удовлетворительном согласии с экспериментальными данными.

Поступила  
5. IV. 1956

#### ЛИТЕРАТУРА

1. А. Н. Фрумкин, В. С. Багоцкий, З. А. Иофа, Б. Н. Кабанов, Кинетика электродных процессов, Изд-во МГУ, 1952.
2. А. Н. Фрумкин, Труды Совещания по электрохимии 1950 г. Изд-во АН СССР М., 1953, стр. 21.
3. С. Глестон, К. Лейдлер, Г. Эйринг, Теория абсолютных скоростей реакций, ИИЛ, М., 1948.
4. М. И. Темкин, Труды Совещания по электрохимии 1950 г., Изд-во АН СССР М., 1953, стр. 181.
5. М. И. Темкин, Журн. физ. химии, 22, 1081, 1948.
6. J. Horiuti, M. Polanyi, Acta phys. chim. URSS, 2, 505, 1935.

\* В отличие от приведенного выше расчета, для спиртовых растворов нельзя принимать полную компенсацию эффектов смачивания металла растворителем и десорбции растворителя при адсорбции водорода, так как адсорбция Н вблизи атома кислорода не обязательно должна сопровождаться десорбцией углеводородного остатка.

- З. А. Иофа, А. Н. Фрумкин, Журн. физ. химии, 18, 268, 1944.  
 А. Н. Фрумкин, З. А. Иофа, Журн. физ. химии, 13, 931, 1939.  
 А. К. Лоренц, Журн. физ. химии, 27, 317, 1953.  
 Н. И. Кобозев, Журн. физ. химии, 26, 112, 1952.  
 J. O'M. Bockris, Zs. Elektrochem., 55, 105, 1951.  
 А. К. Лоренц, Журн. физ. химии, 24, 835, 1950.  
 J. O'M. Bockris, Journ. chimie phys., 49, № 7—8, C41, 1952.  
 Н. С. Новосельский, Журн. физ. химии, 11, 369, 1938.  
 J. O'M. Bockris, R. Parsons, Trans. Farad. Soc., 45, 916, 1949.  
 J. O'M. Bockris, R. Parsons, H. Rosenberg, Trans. Farad. Soc., 47, 766, 1951.  
 H. Strehlow, Zs. Elektrochem., 56, 827, 1952.  
 С. Левина, М. Зильберфарб, Acta phys.-chim. URSS, 4, 275, 1936.  
 А. Леран, С. Левина, Журн. физ. химии, 14, 211, 1940.  
 O'M. Bockris, Nature, 158, 584, 1946; Disc. Farad. Soc., 1, Electrode Processes, 95, 1947.  
 J. O'M. Bockris, R. Parsons, Trans. Farad. Soc., 44, 860, 1948.  
 В. А. Плесков, Усп. химии, 16, 254, 1947.  
 В. А. Плесков, Журн. физ. химии, 13, 1449, 1939.  
 И. И. Темкин, Журн. физ. химии, 14, 1054, 1940.  
 R. Parsons, J. O'M. Bockris, Trans. Farad. Soc., 47, 914, 1951.  
 A. Amdur, Journ. Chem. Phys., 17, 844, 1949.  
 З. А. Иофа, Б. Устицкий, Ф. Эйман, Журн. физ. химии, 13, 934, 1939.  
 К. П. Мищенко, Журн. физ. химии, 26, 1736, 1952.  
 Н. Д. Соколов, ДАН, 61, 87, 1948.  
 К. Коттрелл, Прочность химических связей, ИИЛ, М., 1956.  
 А. Гейдон. Энергии диссоциации и спектры двухатомных молекул, ИИЛ, М., 1949.  
 H. Herzberg, Molekular Spectra and Molekular Structure, 1950.  
 D. E. Bethel, N. Sheppard, Journ. Chem. Phys., 21, 1421, 1953.  
 C. C. Ferriso, D. F. Horning, Journ. Amer. Chem. Soc., 75, 4113, 1953.  
 V. Gordy, Journ. Chem. Phys., 14, 305, 1946.  
 A. V. Butler, Proc. Roy. Soc., A157, 423, 1936.  
 K. Kakiuchi, H. Shono, H. Komatsu, Journ. Chem. Phys., 19, 1069, 1951.  
 E. Richards, J. A. S. Smith, Trans. Farad. Soc., 47, 1261, 1951.  
 Л. Паулинг, Природа химической связи, Госхимиздат, М.—Л., 1947.  
 R. Ruetschi, P. Delahay, Journ. Chem. Phys., 23, 195, 1955.  
 Н. Фрумкин, З. А. Иофа, В. С. Багоцкий, Журн. физ. химии, 25, 1117, 1951.  
 З. А. Иофа, К. П. Микulin, Журн. физ. химии, 18, 137, 1944.  
 A. Frumkin, Zs. phys. Chem., 111, 190, 1924.

## A CONTRIBUTION TO THE SLOW DISCHARGE THEORY

L. I. Krishtalik (Moscow)

### Summary

The dependence of the hydrogen overvoltage on the nature of the metal and of the concentration has been examined with the aid of the activated complex method within the framework of the slow discharge theory. Using a treatment analogous to that of M. I. Temkin an equation has been obtained permitting calculation of the absolute value of the overvoltage.

It has been shown that no direct relation exists between the overvoltage and the potential drop at the electrode/solution interface, as well as the chemical potential of the metal electron and the solvation energy of the proton. The overvoltage has been found to be directly dependent on the energies of the specific adsorption of the solvent molecules and of the hydrogen ions in acid or hydroxyl ions in alkaline solutions. It has been demonstrated that the Morse function for the adsorbed hydrogen may be written in the form of an equation with a single parameter — the metal-hydrogen bond energy.

The calculated values for the overvoltage and the activation energy are in satisfactory agreement with the experimental data.

## К ВОПРОСУ О ТЕОРИИ ЖИДКОСТИ

*А. М. Евсеев*

Теория жидкого состояния вещества и непосредственно связанная с ней теория растворов в настоящее время не разработаны с достаточной полнотой, несмотря на большое число работ, посвященных этой теме. Однако достаточно ясно определено то положение, что строго последовательная теория жидкости и растворов предполагает верный расчет суммарных состояний для жидкости.

$$Q = \int \dots \int e^{-(E+U)/RT} dp_1 \dots dp_{3N}, dq_1 \dots dq_{3N}.$$

С более общей точки зрения успех теории жидкости возможен только на пути развития статистической механики жидкости, а развитие последней в узком смысле сводится к задаче вычисления конфигурационного интеграла в выражении (1). Этой задаче посвящено много работ [1—7].

Следует выделить работы, посвященные развитию так называемой теории свободного объема [5,6], или метода ячеек, и работы Н. Н. Боголюбова [3,4]. Теория свободного объема интересна тем, что она приводит к практическим результатам, позволяющим рассчитать некоторые свойства жидкости. Работы Н. Н. Боголюбова дают иной подход к построению термодинамической теории жидкости, чем все предшествующие теории, а именно, расчет термодинамических функций жидкости при помощи радиальной функции распределения, выводимой на основе классической статистики Гиббса. Несмотря на фундаментальность и строгость теоретических построений Н. Н. Боголюбова, практическое применение их очень ограничено.

Теория свободного объема основана на модели, представляющей каждую молекулу заключенной в ячейку, образуемую ближайшими соседями. При помощи этой модели вычисление конфигурационного интеграла заменяется вычислением интеграла по объему этой ячейки. Учитывается взаимодействие только ближайших соседей. В этой модели учитывается возможность движения молекулы по всему объему жидкости. Теория свободного объема дает выводы, которые могут быть экспериментально проверены. Для свободной жидкости выводы теории при удачном подборе определенных параметров совпадают с экспериментом. Однако для теории растворов понятие о свободном объеме дает мало существенные результаты. Например, в работах Кирквуда [8,9] получены формулы, сложность которых ввиду наличия большого числа неопределенных параметров не дает возможности проверить их экспериментально. Тем более эти формулы не применимы для предсказания свойств растворов (в частности, для вычисления термодинамических функций).

Не следует идти по пути, предложенному авторами теории свободного объема, и потому, что несоответствие модели свободного объема с реальным движением молекул в жидкости является легко уязвимым и трудно устранимым местом теории.

Таким образом в теории жидкости и растворов остается задача построения последовательного метода вычисления конфигурационного интеграла в сумме состояний для систем взаимодействующих частиц с тем условием, чтобы получаемый результат мог быть применен практически.

Мы предлагаем решить эту задачу следующим образом.

Потенциальную энергию системы  $U$  в выражении для суммы состояний можно представить суммой потенциальных энергий  $N$  молекул. Следовательно, нашей задачей будет являться выражение потенциальной энергии одной молекулы в поле всех молекул как функции ее положения в пространстве. В качестве исходного положения примем тот неоспоримый факт, что каждая молекула в жидкости окружена действующими на нее молекулами. Очевидно, в какой-то момент времени все молекулы будут

положены так, что центр всех сил, действующих на данную молекулу, дет находится на некотором расстоянии от данной молекулы. На молекулу 1 будет действовать некоторая равнодействующая сила  $F$  в направлении к центру равновесия  $O$ . Эта сила равна геометрической сумме сил  $F_i$  молекул, действующих на молекулу 1:

$$F = \sum_i F_i. \quad (2)$$

Возьмем за начало координат точку  $O$ . Если межмолекулярный потенциал  $\Phi$  молекул обозначить через  $\Phi(r_i)$ , то

$$F_i = - \frac{\partial \Phi(r_i)}{\partial r_i} n(\rho_i), \quad (3)$$

$n(\rho_i)$  есть число молекул, координаты которых лежат в пределах от  $\rho_i$  до  $\rho_i + d\rho_i$ .  $n(\rho_i)$  зависит только от  $\rho_i$ , т. е. распределение молекул в пространстве обладает сферической симметрией. Если рассматриваемые молекулы одного рода, то это положение не вызывает сомнений; если присутствуют различные молекулы, то это положение верно при отсутствии однородности. Число молекул, находящихся в объеме  $\Delta V$ , можно выразить следующим образом:

$$n(\rho_i) = N \frac{f(\rho) \Delta V}{V},$$

$N$  — число молекул в объеме  $V$ , а  $f(\rho)$  — плотность вероятности. Суммирование (2) проводится по всему объему, так как наши исходные предположения не разделяют силы на близко- и дальнедействующие. Силы, действующие между молекулами, являются центральными силами. Очевидно, существует функция  $U(R)$ , — потенциал в точке  $R$ . Можно назвать [10], что

$$U(R) = \sum_i \Phi(r_i) n(\rho_i). \quad (4)$$

Взяв суммирование интегрированием и  $n(\rho_i)$  через

$$N f(\rho) \frac{dV}{V}$$

$\Delta V \rightarrow dV$ , получаем

$$U(R) = \frac{N}{V} \iiint \Phi(r) f(\rho) dV. \quad (5)$$

Мы получили выражение для потенциальной энергии молекулы в поле молекул в зависимости от ее положения по отношению к условно выбранному центру. Очевидно, для каждой молекулы в данный момент времени имеется свой центр координат, в котором ее потенциальная энергия минимальна по отношению ко всем ее возможным положениям в объеме  $V$ . Распределение молекул жидкости по точкам пространства, где их потенциальная энергия минимальна, эквивалентно, до некоторой степени, распределению молекул по ячейкам, как это принято в модели теории свободного объема.

Однако наш метод отличен от метода ячеек тем, что положение молекулы не ограничивается объемом ячейки, и суммирование сил, действующих на молекулу, проводится по всему объему. Это дает в дальнейшем возможность логически учесть миграцию молекулы по всему объему, чего нельзя сделать в методе ячеек.

Предположим, что функции  $f(\rho)$  аппроксимируется следующим выражением:

$$\begin{aligned} f(\rho) &= 0, & \rho < a; \\ f(\rho) &= 1, & \rho \geq a, \end{aligned}$$

где  $a$  — среднее ближайшее расстояние между молекулами в жидкости равное  $(V/N)^{1/3}$ . Это предположение является упрощенным представлением о структуре жидкости, но вполне допустимым. Жидкость отличается от газа в этом случае иным значением  $a$ .

В справедливости выражения (4) можно убедиться, найдя составляющие по осям координат для полной силы, действующей на молекулу, если сила, действующая между двумя молекулами —  $\partial\Phi(r_i)/\partial r_i$ . Проведя преобразования, изложенные в [10] получаем

$$\begin{aligned} F_x &= \frac{\partial}{\partial x} \sum_V \Phi(r_i) n(\rho_i) = \frac{\partial U}{\partial x}; \\ F_y &= \frac{\partial}{\partial y} \sum_V \Phi(r_i) n(\rho_i) = \frac{\partial U}{\partial y}; \\ F_z &= \frac{\partial}{\partial z} \sum_V \Phi(r_i) n(\rho_i) = \frac{\partial U}{\partial z}, \end{aligned}$$

Очевидно, полная сила, действующая на молекулу, равна градиенту потенциальной функции  $U = \sum_V \Phi(r_i) n(\rho_i)$ ;

$$\mathbf{F} = F_{xi} + F_{yj} + F_{zk} = \text{grad } U.$$

Сила, действующая на молекулу по направлению  $R$ , равна проекции вектора силы на направление  $R$ . Эти направления в нашем случае совпадают; следовательно потенциальная энергия молекулы на расстоянии  $R$  от центра равновесия равна  $U(R) = \sum_V \Phi(r_i) n(\rho_i)$ .

Для практического решения уравнения (5) предположим, что межмолекулярный потенциал имеет вид

$$\Phi(r) = \frac{A_0}{r^{12}} - \frac{B_0}{r^6},$$

где

$$r^2 = R^2 + \rho^2 - 2R\rho \cos \theta.$$

Необходимо заранее ограничить практическое применение конечных формул тем, что выражение для потенциальной энергии отталкивания [член  $A^0/r^{12}$  в формуле (8)] является весьма условным. По-видимому, эта условность будет играть главную роль в приближенности получаемых результатов. Однако выражение (8) является наиболее легко интегрируемой формой межмолекулярного потенциала, и поэтому мы применим именно эту форму.

Подставляя (8) в (5), получаем

$$\begin{aligned} U(R) &= \frac{2nA^0N}{V \cdot 10R} \left\{ \frac{a}{9(R+a)^9} + \frac{1}{9 \cdot 8(R+a)^8} + \frac{a}{9(R-a)^9} - \frac{1}{9 \cdot 8(R-a)^8} \right\} + \\ &+ \frac{2\pi B^0N}{V \cdot 4R} \left\{ \frac{a}{3(R+a)^3} + \frac{1}{3 \cdot 2(R+a)^2} + \frac{a}{3(R-a)^3} - \frac{1}{3 \cdot 2(R-a)^2} \right\}. \end{aligned}$$

При  $R \rightarrow 0$

$$U(0) = \frac{4\pi N}{3V} \left( \frac{A^0}{3a^9} - \frac{B^0}{a^6} \right) < 0,$$

$$U'(0) = 0,$$

$$U''(0) = \frac{2\pi N}{3V} \cdot 12 \left( \frac{2A^0}{a^{11}} - \frac{B^0}{a^8} \right) > 0.$$

тем образом  $U(R)$  можно представить в виде

$$U(R) = U(0) + \frac{1}{2} U''(0) R^2 + \dots, \quad (9)$$

$U''(0)$  — известная величина, зависящая от объема.

Вернемся к выводу суммы состояний для системы взаимодействующих тип (1). По аналогии с приемом вычисления фазового интеграла заменим конфигурационный интеграл произведением  $N$  конфигурационных интегралов по состояниям одной молекулы, т. е. положим

$$Q_\tau = q_\tau^N,$$

$$q_\tau = \int e^{-U(R)/RT} d\tau. \quad (10)$$

$U(R)$  — потенциальная энергия одной молекулы (9) в поле всех остальных молекул,  $d\tau$  — элемент объема. Интегрирование (10) можно провести по тому объему, ибо выражение (9) позволяет найти потенциальную энергию молекулы на любом расстоянии от условного центра. Но выражение (10) полностью дает сумму состояний для одной молекулы. Очевидно, какому значению  $U(R_i)$  будет соответствовать некоторое число положений  $x$  молекул, т. е. каждое энергетическое состояние молекулы будет иметь определенный статистический вес. Этот статистический вес равен числу способов, которыми мы можем расположить  $N$  молекул по  $N$  центрам (и ячейкам) таким образом, что в одном центре находится одна молекула,  $(N-1)$  центрах остальные, т. е. статистический вес равен

$$g_i = \frac{N!}{1!(N-1)!}.$$

Тогда формула (10) запишется следующим образом:

$$q_\tau = N \int e^{-U(R_i)/RT} d\tau. \quad (11)$$

Произведем теперь вычисление  $q_\tau$ , подставляя (9) в (11), получим

$$q_\tau = N e^{-U(0)/RT} \int_0^{2\pi} \int_0^\pi \int_0^\infty e^{-(\beta/RT)R^4} R^2 \sin \theta dR d\theta d\varphi;$$

$$q_\tau = N e^{-U(0)/RT} \left[ \frac{2\pi kT}{U''(0)} \right]^{3/2}.$$

Сумма состояний для жидкости запишется следующим образом;

$$Q = \left( \frac{2\pi mkT}{h^3} \right)^{3/2} \frac{1}{N!} \left\{ N \left[ \frac{2\pi kT}{U''(0)} \right]^{3/2} \right\}^N e^{-U(0)/RT}. \quad (12)$$

Примечательно в выражении (12) то, что оно содержит только один неопределенный параметр — энергетический. Приближенность этого параметра определяется приближенностью выражения для потенциала взаимодействия двух молекул (8).

Применение к бинарным растворам жидких тел. Преимущество изложенного метода расчета суммы состояний по сравнению с методом ячеек или теорией свободного объема особенно сказывается в теории растворов. Все соотношения между различными молекулами сводятся в принципе к энергетическому взаимодействию. Действительно, потенциальная энергия молекулы первого компо-

нента в поле  $N_1$  молекул первого и  $N_2$  молекул второго компонента равна

$$U_1(R) = \frac{1}{V_{12}} N_1 \iiint \Phi_1(|\mathbf{R} - \rho|) \rho^2 \sin \theta d\rho d\theta d\varphi + \frac{1}{V_{12}} N_2 \iiint \Phi_2(|\mathbf{R} - \rho|) \rho^2 \sin \theta d\rho d\theta d\varphi, \quad (1)$$

где  $V_{12}$  — объем раствора,  $\Phi_1(|\mathbf{R} - \rho|)$  и  $\Phi_2(|\mathbf{R} - \rho|)$  — потенциалы взаимодействия молекулы первого компонента соответственно с молекулами первого и второго компонента. Нижний предел интегрирования можно определить, как и раньше, выражением

$$a = \left( \frac{V_{12}}{N_0} \right)^{1/3}. \quad (1)$$

Тогда

$$U''(0) = \frac{2\pi N_0 \cdot 12}{3V_{12}} \left\{ \frac{2A_{11}^0 x_1}{a^{11}} - \frac{B_{11}^0 x_1}{a^5} + \frac{2A_{12}^0 x_2}{a^{11}} - \frac{B_{12}^0 x_2}{a^5} \right\}, \quad (1)$$

где  $N_0$  — число Авогардо,  $x_1$  и  $x_2$  — молярные доли первого и второго компонентов.

Потенциальная энергия рассчитывается на один моль, а сумма  $Q$  в  $N_1$  молекул первого компонента. Получаем\*

$$\frac{1}{N_1!} Q_{\tau_1} = \frac{1}{N_1!} \left\{ N_0 \left[ \frac{2\pi kT}{U''(0)} \right]^{3/2} \right\}^{N_1}. \quad (1)$$

Подставив (14) в (15) и (15) в (16), получаем

$$\frac{1}{N_1!} Q_{\tau_1} = \frac{1}{N_1!} \left\{ \frac{kTV_{12}^{14/3}}{4(A_{11}x_1 - B_{11}x_1V_{12}^2 + A_{12}x_2 - B_{12}x_2V_{12}^2)} \right\}^{3/2 N_1}, \quad (1)$$

где

$$A_{11} = 2A_{11}^0 N_0^{1/3} \cdot 10^{-96}, \\ B_{11} = B_{11}^0 N_0^{1/3} \cdot 10^{-48}.$$

Теперь мы можем рассчитать термодинамические функции для жидких растворов. Парциальная молярная свободная энергия смешения первого компонента равна

$$\overline{\Delta F}_{\text{см}1} = F_M^p - F_M^0,$$

где  $F_M^0$  — молярная свободная энергия первого компонента в стандартном состоянии ( $x_1 = 1$ ), а  $F_M^p$  — молярная свободная энергия первого компонента в растворе с концентрацией  $x_1$ . Очевидно,

$$F_M^0 = -kT \ln Q^0; \\ F_M^p = -\frac{1}{x_1} kT \ln Q^p,$$

где  $Q^0$  и  $Q^p$  — суммы состояний для первого компонента в стандартном состоянии и в растворе. Разность  $F_M^p - F_M^0$  определится только выражением (17) и разностью нулевых энергий. Следовательно, парциальная молярная свободная энергия смешения первого компонента равна

$$\overline{\Delta F}_{\text{см}1} = N_0 kT \ln \frac{N_1}{N_0} - N_0 kT \ln \left\{ \frac{aTV_{12}^{14/3}}{4(A_{11}x_1 - B_{11}x_1V_{12}^2 + A_{12}x_2 - B_{12}x_2V_{12}^2)} \right\}^{3/2} + \\ + N_0 kT \ln \left\{ \frac{kTV_{10}^{14/3}}{4(A_{11} - B_{11}V_{10}^2)} \right\}^{3/2} + E_0 - E_1, \quad (1)$$

$V_{12}$  — объем одного моля раствора,  $V_0$  — объем одного моля первого компонента.  $E_0$  и  $E_1$  — нулевые уровни энергии для стандартного состояния и состояния в растворе.

Как обычно вычисляют энтропии смешения, пренебрегая изменением с температурой, то можно, исходя из (18), определить ее следующим образом:

$$T\overline{\Delta S}_{\text{см}} = -N_0 kT \ln x_1 + N_0 kT \ln \frac{f(V_{12}, x_1)}{f(V_{10})}, \quad (19)$$

$\overline{\Delta S}_{\text{см}}$  — молярная парциальная энтропия смешения,  $x_1$  — молярная доля первого компонента в растворе,  $f(V_{12}, x_1)$  — функция, находящаяся под знаком логарифма в (18).

Изменение теплосодержания или парциальная теплота смешения, очевидно, равна разности

$$E_0 - E_1 = \overline{\Delta H}_{\text{см}}.$$

Как называемая избыточная молярная парциальная энтропия смешения

$$\overline{\Delta S}_{\text{изб } 1} = \overline{\Delta S}_{\text{см } 1} + N_0 \ln x_1, \quad (20)$$

можно легко определить из (19), наряду с коэффициентом активности  $\gamma_1$  используется для характеристики отклонения свойств раствора от свойств идеального раствора. Для проверки нашей теории интересно и можно определить зависимость этой функции от концентрации и сравнить с экспериментом. Изложенный в настоящей статье метод позволяет считать термодинамические функции для неупорядоченных растворов. В то же время, при конкретном вычислении суммы состояний для жидкости, не учитывали внутренние степени свободы молекул. Поэтому следует считать, что формула пригодна в основном для жидких металлов, поскольку металлы одноатомны, а жидкие металлы в редких случаях имеют химические соединения. Для большинства жидких металлических элементов можно принять аддитивность молярных объемов, т. е.

$$V_{12} = V_{10} + \Delta V x_2, \quad (21)$$

где  $x_2$  — молярная доля второго компонента. Подставляя (21) в (19) и затем (20), получаем

$$\Delta S_{\text{изб } 1} = 7R \ln(1 + Cx_2) - \frac{3}{2} R \ln(1 + \alpha x_2 + \beta x_2^2 + \gamma x_2^3). \quad (22)$$

$$C = \frac{\Delta V}{V_{10}}; \quad \alpha = \frac{-2B_{11}V_{10}\Delta V + B_{11}V_{10}^2 - A_{11} - B_{12}V_{10}^2 + A_{12}}{A_{11} - B_{11}V_{10}^2};$$

$$\beta = \frac{-B_{11}\Delta V^2 + (B_{11} - B_{12}) \cdot 2 \cdot V_{10}\Delta V}{A_{11} - B_{11}V_{10}^2}; \quad \gamma = \frac{(B_{11} - B_{12})\Delta V^2}{A_{11} - B_{11}V_{10}^2}.$$

Аналогично для второго компонента соответственно

$$V_{12} = V_{20} - \Delta V x_1;$$

$$\overline{\Delta S}_{\text{изб } 1} = 7R \ln(1 - Cx_1) - \frac{3}{2} R \ln(1 + \alpha x_1 + \beta x_1^2 + \gamma x_1^3), \quad (23)$$

где  $C = \Delta V/V_{20}$ ,  $V_{20}$  — молярный объем второго компонента, и

$$\alpha = \frac{A_{12} - B_{12}V_{20}^2 - A_{22} + B_{22}V_{20}^2 + 2B_{22}V_{20}\Delta V}{A_{22} - B_{22}V_{20}^2};$$

$$\beta = \frac{2V_{20}\Delta V(B_{12} - B_{22}) - B_{22}\Delta V^2}{A_{22} - B_{22}V_{20}^2};$$

$$\gamma = \frac{(B_{22} - B_{12})\Delta V^2}{A_{22} - B_{22}V_{20}^2}.$$

Значок 12 означает взаимодействие разнородных молекул, а 11 и 22 — однородных.

Из опытных данных необходимо определить в формулах (22) и (23) три константы. Такие расчеты были проделаны для систем Au—Pb по данным [11]; Pb—Sb по данным [12]. Zn—Sn по данным [13]. Получены следующие значения констант  $\alpha$ ,  $\beta$  и  $\gamma$  (табл. 1).

Таблица 1

Система	Компонент	$\alpha$	$\beta$	$\gamma$
Au—Pb	Au	+3,4237	—0,8735	+0,5056
Au—Pb	Pb	—1,815	+0,9774	—0,25
Pb—Sb	Pb	—0,4902	+0,2326	—0,00738
Pb—Sb	Sb	+0,265	—0,027	—0,000426
Zn—Sn	Zn	+3,600	+1,282	+2,200
Zn—Sn	Sn	—2,040	+1,348	—0,292

На рис. 1—3 даны кривые рассчитанные по уравнениям (22) и (23) с использованием констант табл. 1. Как видно, выведенные нами формулы достаточно хорошо отражают ход кривых  $\Delta S_{изб}$  в зависимости от концентрации. Плохое совпадение в случае сурьмы (рис. 3), как и другие несоответствия

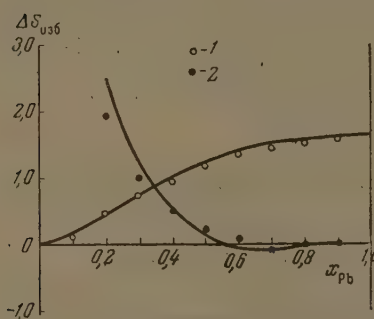


Рис. 1. Система Au—Pb,  $T = 873^\circ\text{K}$ . 1 — экспериментальные значения избыточной энтропии смешения Au; 2 — экспериментальные значения избыточной энтропии смешения Pb. Кривые получены теоретически

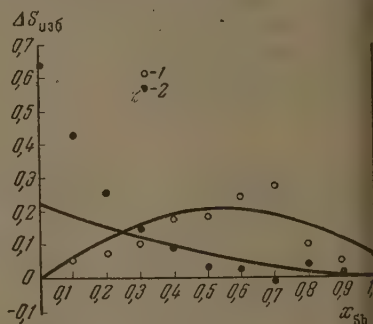


Рис. 2. Система Pb—Sb,  $T = 748^\circ\text{K}$ . 1 — экспериментальные значения избыточной энтропии смешения Pb; 2 — экспериментальные значения избыточной энтропии смешения Sb. Кривые получены теоретически

теории с экспериментом, о чем будет сказано ниже, следует отнести за счет неточности выражения отталкивательного компонента в уравнении для потенциала межмолекулярного взаимодействия (8), положенного в основу для вывода формул (22) и (23). Подбор коэффициентов табл. 1 осуществлялся при условии сохранения физического смысла констант  $A$  и  $B$ . Эти константы могут быть рассчитаны следующим образом. Легко показать, что энтропия испарения жидкости равна

$$\Delta S_{исп} = R \ln \frac{kT \{(A - BV^2) 4N^{2/3}\}^{3/2}}{(kT)^{3/2} V^2}.$$

Таблица 2

Энергии диссоциации молекул, рассчитанные из термодинамических данных для жидких металлических систем

Молекула	Система	$A^\circ \cdot 10^{10}$	$B^\circ \cdot 10^{10}$	$D$ , ккал	$D$ , ккал по данным [14]
Pb <sub>2</sub>	Pb—Au	8 368	14,01	8,38	14±4,8
Pb <sub>2</sub>	Pb—Sb	15 630	22,60	11,76	14±4,8
Sb <sub>2</sub>	Pb—Sb	84 710	134,36	76,10	69±8
Zn <sub>2</sub>	Zn—Sn	20 684	13,72	3,4	6

группию испарения при какой-либо температуре можно вычислить из данных по давлению пара. Зная величину энтропии испарения, найдем (24) величину  $(A - BV^2)$  для любого чистого компонента. Подставляя величину в формулы для коэффициентов  $\alpha$ ,  $\beta$  и  $\gamma$ , найдем все константы  $A$  и  $B$ , входящие в уравнения (22) и (23). В табл. 2 даны значения констант  $A^\circ$  и  $B^\circ$  [см. (17)], а также вычисленные по уравнению (8) энергии диссоциации двухатомных молекул. В табл. 2 также даны значения энергии диссоциации, рекомендуемые Лидоном [14]. Как видно из сопоставления рассчитанных энергий диссоциации и литературных значений, вычисленные константы  $A^\circ$  и  $B^\circ$  в основном верно отражают энергетическое взаимодействие молекул жидких сплавов. Для случая олова в системе Zn—Sn константы  $A^\circ$  и  $B^\circ$  не были рассчитаны ввиду того, что нет данных по давлению пара монокристаллического олова.

В табл. 3 даны значения  $A_{12}$  и  $B_{12}$ , рассчитанные из данных по избыточной энтропии для различных компонентов (табл. 3).

Сходимость в значениях  $A_{12}$  и  $B_{12}$  для одной системы, что следовало ожидать по смыслу формул (22) и (23), плохо выполняется. По-видимому, при более удачном подборе формулы для потенциала взаимодействия (8) следует ожидать лучшего совпадения.

Исследуя систематически различные системы с каким-либо повторяющимся компонентом, а затем, систематизируя полученные константы  $A^\circ$  и  $B^\circ$ , можно будет предсказать, по крайней мере, характер кривых термодинамических функций в зависимости от концентрации для сплавов в жидком состоянии, составленных из различных комбинаций уже изученных металлов. К неизученным металлам, вероятно, можно будет применить какой-либо метод экстраполяции для определения констант  $A_{12}$  и  $B_{12}$ .

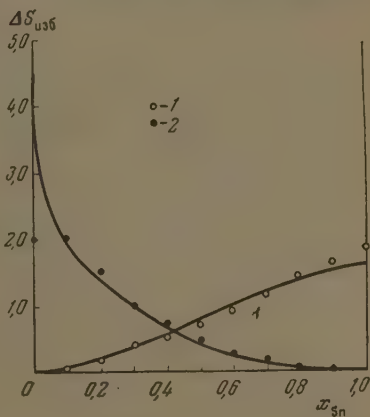


Рис. 3. Система Zn—Sn,  $T = 758^\circ \text{ K}$ : 1 — экспериментальные значения избыточной энтропии смешения Zn; 2 — экспериментальные значения избыточной энтропии смешения Sn. Кривые получены теоретически.

Таблица 3

Константы формулы Ленард-Джонса для разнородных молекул

Система	Компонент	$A_{12} \cdot 10^{10}$	$B_{12} \cdot 10^{10}$
Au—Pb	Au	2731	6,93
Pb—Pb	Pb	563,5	6,99
Pb—Sb	Pb	5682,5	14,24
Sb—Sb	Sb	45495	49,88
Au—Sn	Zn	1245,8	2,54
Pb—Sn	Sn	—	—

Таким образом изложенный в настоящей статье метод дает некоторую перспективу для практического определения термодинамических параметров различных жидких сплавов.

### ВЫВОДЫ

1. Дан последовательный вывод статистической суммы состояний системы взаимодействующих частиц.

2. Полученные результаты применены к теории жидких металлических систем. Показано, что можно практически рассчитать термодинамические функции раствора, имея в качестве параметра только константы, входящие в выражение для потенциала взаимодействия двух молекул.

3. Предложенный метод отличается от известного метода Янчеса последовательностью вывода и возможностью более широкого применения в теориях растворов.

Московский государственный  
университет  
им. М. В. Ломоносова

Поступила  
6. IV. 1956

### ЛИТЕРАТУРА

1. J. E. Mayer, S. F. Harrison, Journ. Chem. Phys., 6, 87, 1938.
2. Дж. Майер и М. Гепперт-Майер, Статистическая механика, ИИЛ, Москва, 1952.
3. Н. Н. Боголюбов, ЖЭТФ, 16, 681, 691, 1946.
4. Н. Н. Боголюбов, Проблемы динамической теории в статистической физике, Гостехиздат, 1949.
5. J. E. Lennard-Jones, A. F. Devonshire, Proc. Roy. Soc. A163, 1937.
6. J. E. Lennard-Jones, A. F. Devonshire, Proc. Roy. Soc., A165, 1, 1937.
7. L. G. Kirkwood, Chem. Rev., 19, 275, 1936.
8. Z. W. Salsburg, J. G. Kirkwood, Journ. Chem. Phys., 21, 2169, 1953.
9. Z. W. Salsburg, J. G. Kirkwood, Journ. Chem. Phys., 20, 1958, 1952.
10. В. И. Смирнов, Курс высшей математики, т. II, стр. 274, М.—Л., 1951.
11. O. J. Kleppa, Journ. Amer. Chem. Soc., 71, 3275, 1949.
12. H. Seltz, B. J. De Witt, Journ. Amer. Chem. Soc., 61, 2594, 1939.
13. N. W. Taylor, Journ. Amer. Chem. Soc., 45, 2865, 1923.
14. А. Гейдон, Энергии диссоциации и спектры двухатомных молекул, ИИЛ, Москва, 1949.

### ON THE THEORY OF LIQUIDS

*A. M. Evseev (Moscow)*

#### Summary

In the paper a new method is proposed for calculating the statistical sum of states of a liquid. The method is based on the use of a model according to which the potential energy of a molecule in the liquid is determined by its position with respect to the center of equilibrium of all the forces acting on the molecule. From this it follows that the sum of the potential energies of all the molecules in the volume of the liquid with account made of the molecular distribution in space with respect to the selected condition of the center of equilibrium of the forces acting on the given molecule. The potential energy of the system of molecules equals the sum of the potential energies of the molecules in the field of the others. The method described has been applied to the theory of liquids and metallic alloys for calculating the thermodynamic functions.

## ИССЛЕДОВАНИЕ ПОЛЯРИЗАЦИИ ПРИ ПОЛЯРОГРАФИРОВАНИИ РОДАНИСТЫХ КОМПЛЕКСОВ НИКЕЛЯ

**Я. И. Турьян**

В предыдущей работе [1] изучалась поляризация при полярографировании пиридиновых комплексов никеля. В отношении полярографического поведения никеля роданистый фон имеет много общего с пиридиновым. В обеих средах потенциал полуволны  $\varphi_{1/2}$  никеля значительно положительнее  $\varphi_{1/2}$  в растворах, где присутствуют простые ионы никеля. Оба находят широкое применение в практической полярографии.

Согласно предположению Лингейна и Керлингера [2], в присутствии роданида волна никеля близка к обратимой, и  $\varphi_{1/2}$  соответствует термодинамическому значению. Как и в случае пиридинового фона, авторы [2] качественно рассматривают этот вопрос.

В предыдущей работе [1], касавшейся пиридиновых растворов, в настоящем исследовании мы поставили перед собой задачу количественно решить вопрос об обратимости волн никеля в роданистом фоне, т. е. является ли концентрационная поляризация единственным видом поляризации при полярографировании роданистых комплексов никеля.

### ЭКСПЕРИМЕНТАЛЬНАЯ ЧАСТЬ

Большое внимание было обращено на изучение влияния концентрации KCNS на полярографические волны никеля. При неизменной концентрации никеля ( $c = 0,15 - 0,2$  ммоль/л) концентрация KCNS изменялась в очень широком диапазоне от 0,001 до 5 М. При низких концентрациях (до 0,03 М), для устранения фоновых токов к растворам KCNS добавлялся 0,1 М раствор  $\text{KNO}_3$  и в отдельных случаях 1 М  $\text{KNO}_3$ .

Средством сравнения служил нормальный каломельный электрод. Температура была  $25 \pm 0,3^\circ \text{C}$ . Кислород удалялся продувкой водородом. Характеристика электрода  $m^{1/2} t^{1/4} = 1,31 \text{ мг}^{1/2} \text{сек}^{-1/4}$ . Поправка на нестандартности электрода сравнения измерительных приборов, найденная из полярограмм  $\text{Tl}^+$  в 1 М  $\text{KNO}_3$ , составляла 0,1 В.

В области малых концентраций KCNS (0,002—0,02 М) (растворы никеля в 1 М  $\text{KNO}_3$  или 1 М  $\text{KNO}_3$ ) нами обнаружены три волны никеля (рис. 1). Первая волна более четко в 1 М  $\text{KNO}_3$ . По мере увеличения концентрации KCNS первая волна (при более положительных потенциалах) возрастала, а вторая и третья — уменьшались. Третья волна полностью исчезла при концентрации KCNS 0,02—0,03 М, а вторая — при концентрации 0,08—0,09 М. При более высоких концентрациях KCNS, вплоть до 5 М, наблюдалась только одна волна никеля.

В таблице представлены полярографические характеристики никеля в растворах роданида от концентрации KCNS. Данные для малых концентраций роданида получены в присутствии 0,1 М  $\text{KNO}_3$ . В области наиболее четкого выделения волн приводятся полярографические характеристики как переломные, так и суммарной. Обратимость процесса электровосстановления проверялась путем построения графиков  $\varphi - \lg \frac{i}{i_d - i}$ . Подобные гра-

Полярографические характеристики никеля при различных концентрациях  
Концентрация никеля  $c_{\text{NiSO}_4} = 0,145-0,212$  ммоль/л

$c_{\text{KCNS}}$ , моль/л	$i_d/c_{\text{Ni}}$ первой волны, $\frac{\mu\text{A}}{\text{ммоль/л}}$	$i_d/c_{\text{Ni}}$ суммарной волны, $\frac{\mu\text{A}}{\text{ммоль/л}}$	$\varphi_{1/2}$ первой волны, V	$\varphi_{1/2}$ суммарной волны, V	Углов коэффиц $\varphi - \lg$
0*		5,11		-1,031	0,06
0,001*		5,15		-0,991	—
0,002*		5,03		-0,931	—
0,004*	2,37	5,05	-0,761		—
0,008*	3,61	5,18	-0,751		—
0,017*	4,23	4,83	-0,741		—
0,034*	4,67	4,86	-0,731		0,04
0,096	5,56		-0,701		0,04
0,189	5,53		-0,696		0,04
0,447	5,53		-0,701		0,04
0,822	5,64		-0,706		0,04
1,02	5,60		-0,711		0,03
1,30	5,59		-0,716		—
1,56	5,32		-0,721		—
1,81	5,46		-0,726		—
2,22	(4,94)		-0,736		0,03
3,11	5,40		-0,746		0,03
3,48	5,33		-0,751		—
3,86	4,87		-0,756		—
4,20	5,24		-0,761		0,03
4,60	4,94		-0,766		—
4,91	4,85		-0,766		0,03

\* Добавл. 0,1 M  $\text{KNO}_3$ .

фики для всех концентраций KCNS имели вид прямых. Соответствующие угловые коэффициенты приведены в таблице. Потенциалы полуволн

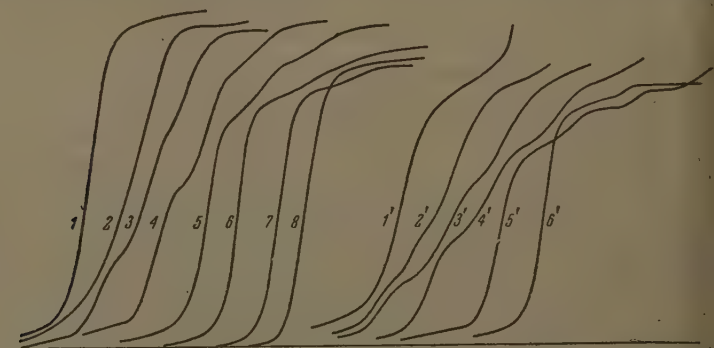


Рис. 1. Полярограммы никеля на фоне 0,1 M  $\text{KNO}_3 + \text{KCNS}$  (1—8) и 1 M  $\text{KNO}_3 + \text{KCNS}$  (1'—6'): 1, 1'— $c_{\text{KCNS}} = 0$ ; 2, 2'— $c_{\text{KCNS}} = 1 \cdot 10^{-3}$  M; 3, 3'— $c_{\text{KCNS}} = 2 \cdot 10^{-3}$  M; 4, 4'— $c_{\text{KCNS}} = 4 \cdot 10^{-3}$  M; 5, 5'— $c_{\text{KCNS}} = 8 \cdot 10^{-3}$  M; 6, 6'— $c_{\text{KCNS}} = 1,7 \cdot 10^{-2}$  M; 7— $c_{\text{KCNS}} = 3,4 \cdot 10^{-2}$  M; 8— $c_{\text{KCNS}} = 8,2 \cdot 10^{-2}$  M

ходились непосредственно из полярограмм. Эти величины хорошо совпадали с значениями  $\varphi_{1/2}$  из графиков  $\varphi - \lg \frac{i}{i_d - i}$  (в пределах  $\pm 0,0$ ).

V). Значение  $\varphi_{1/2}$  в 1 M KCNS, приведенное в литературе [2], несколько отрицательнее нашего (на 0,025 V).

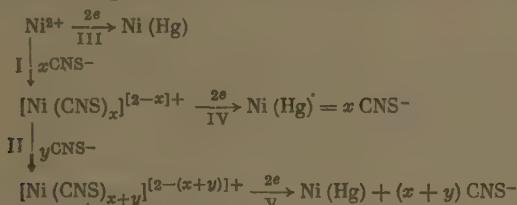
Аналитические зависимости между  $\varphi_{1/2}$ , угловым коэффициентом прямой

$$\varphi - \lg \frac{i}{i_d - i}$$

концентрацией KCNS представлены на рис. 2.

### ОБСУЖДЕНИЕ РЕЗУЛЬТАТОВ

Как и при малых концентрациях пиридина [1], причиной разделения никеля при малых концентрациях KCNS является замедленность процесса образования роданистых комплексов никеля [процессы (I) и (II) поверхности электрода:



отличие от пиридиновых комплексов, когда имеет место образование волн (комплексный ион и простой ион никеля), роданистые растворы дали наличие трех волн. Третья волна (при наиболее отрицательных потенциалах) соответствует процессу электровосстановления простых ионов никеля \* [процесс (III)], о чем свидетельствует близость  $\varphi_{1/2}$  третьей волны к  $\varphi_{1/2}$   $\text{Ni}^{2+}$  на фоне 0,1 M  $\text{KNO}_3$ . Первая и вторая волны связаны с электровосстановлением роданистых комплексов никеля, первая вызвана электровосстановлением комплекса с большим координационным числом [процесс (V)], вторая — комплекса с меньшим координационным числом [процесс (IV)].

С увеличением концентрации KCNS скорости процессов (I) и (II) возрастают, что и приводит к увеличению высоты первой и к уменьшению высот второй и третьей волн. При концентрации  $\text{KCNS} \geq 0,1$  M скорость процессов (I) и (II) становится настолько большой, что остается только одна (первая) полярографическая волна.

В 1 M  $\text{KNO}_3$  разделение волн нечетко, так как  $\varphi_{1/2}$  простого  $\text{Ni}^{2+}$  (третья волна) в этом случае перемещается на 0,05 V в отрицательную сторону, а  $\varphi_{1/2}$  второй волны — на 0,02—0,03 V в положительную сторону.

С мере увеличения концентрации роданида, вплоть до 1 M, угловой коэффициент прямых  $\varphi - \lg \frac{i}{i_d - i}$  уменьшается (рис. 2), что свидетель-

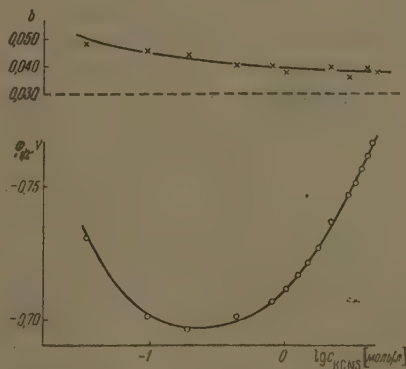


Рис. 2. Зависимость потенциала полу волны  $\varphi_{1/2}$  углового коэффициента прямых

$\varphi - \lg \frac{i}{i_d - i}$  (b) от логарифма концентрации роданида

Имеются в виду гидратированные ионы.

Вторая волна вначале, при еще большой концентрации простых ионов, несколько растала (рис. 1, 1 M  $\text{KNO}_3$ ) за счет большего ускорения процесса (I).

ствует об уменьшении электродной поляризации. Однако, в отличие пиридинатов никеля, необратимость электродного процесса полностью исчезает. При  $c_{\text{KCNS}} > 1M$  угловой коэффициент дальше не уменьшается, оставаясь в пределах 0,036—0,039. Одной из причин необратимости электродного процесса при  $c_{\text{KCNS}} < 1M$  является замедленность образования роданистого комплекса никеля. В то же время имеют место и другие причины торможения электродного процесса, так как при  $c_{\text{KCNS}} > 1M$  поляризация больше не снижается, а электродный процесс еще в какой-то мере остается необратимым.

Подобно пиридиновым комплексам никеля, кривая зависимости  $\varphi_{1/2}$  концентрации комплексобразователя (роданида) проходит через минимум (рис. 2). Сдвиг  $\varphi_{1/2}$  в положительную сторону с увеличением  $c_{\text{KCNS}}$  (левая ветвь кривой  $\varphi_{1/2} - c_{\text{KCNS}}$ ) объясняется уменьшением электродной поляризации с ростом  $c_{\text{KCNS}}$ . Правая ветвь кривой — смещение  $\varphi_{1/2}$  в отрицательную сторону с ростом  $c_{\text{KCNS}}$  — описывается уравнением де Форда и Юма, хотя, строго говоря, пользоваться им в данном случае можно лишь некоторым приближением, поскольку электродный процесс не является полностью обратимым. Тем не менее, исходя из этого уравнения мы, как в предыдущей работе [1], попытались методом графической экстраполяции к  $c_{\text{KCNS}} = 0$  определить обратимое значение потенциала полувольного простого иона никеля  $(\varphi_{1/2})_s$ . Результаты этого определения представлены на рис. 3.  $(\varphi_{1/2})_s = -0,693$  В относительно н. к. э. Получив обратимое значение  $(\varphi_{1/2})_s$   $\text{Ni}^{2+}$ , мы вычислили\* при помощи уравнения Лингейна величину нормального потенциала никеля, которая оказалась равной  $\varphi_M^0 = -0,588$  В. Эта величина близка к значению нормального потенциала, приведенному в литературе [6] ( $\varphi_M^0 = 0,563$  В относительно нормального каломельного электрода).

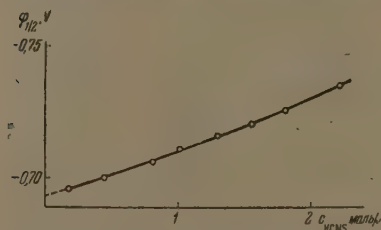


Рис. 3. Графическое определение обратимого значения потенциала полувольного простого иона никеля

при  $c_{\text{KCNS}} = 0$  определить обратимое значение потенциала полувольного простого иона никеля  $(\varphi_{1/2})_s$ . Результаты этого определения представлены на рис. 3.  $(\varphi_{1/2})_s = -0,693$  В относительно н. к. э. Получив обратимое значение  $(\varphi_{1/2})_s$   $\text{Ni}^{2+}$ , мы вычислили\* при помощи уравнения Лингейна величину нормального потенциала никеля, которая оказалась равной  $\varphi_M^0 = -0,588$  В. Эта величина близка к значению нормального потенциала, приведенному в литературе [6] ( $\varphi_M^0 = 0,563$  В относительно нормального каломельного электрода).

## ВЫВОДЫ

1. Исследована поляризация при полярографировании роданистых комплексов никеля в зависимости от концентрации роданида калия.
2. Показано, что при малых концентрациях роданида (0,002—0,02M) образуются три волны никеля; первые две (при более положительных потенциалах) соответствуют электровосстановлению роданистых комплексов никеля, а третья — электровосстановлению простых (гидратированных) ионов никеля.
3. С увеличением  $c_{\text{KCNS}}$  первая волна возрастала, а вторая и третья уменьшались, и при  $c_{\text{KCNS}} \geq 0,1M$  наблюдалась только одна (первая) полярографическая волна никеля.
4. Причиной появления трех волн при малых концентрациях роданида является замедленность процесса образования роданистых комплексов никеля у поверхности электрода.
5. Кривая  $\varphi_{1/2} - c_{\text{KCNS}}$  проходит через минимум. Смещение  $\varphi_{1/2}$  в положительную сторону с ростом  $c_{\text{KCNS}}$  объясняется уменьшением электродной поляризации, частично связанной с замедленностью процесса образования роданистых комплексов никеля. Сдвиг  $\varphi_{1/2}$  в отрицательную сторону с ростом  $c_{\text{KCNS}}$  характерен для обратимых процессов, хотя в данном случае процесс в какой-то мере необратим.

\* При расчете сделано допущение, что  $E_s = 0$  и  $f_{\text{нас}} = 1$   $c_{\text{нас}} = 3,24 \cdot 10^{-4}$  моль/л.

3. Путем экстраполяции правой ветви кривой  $\varphi_{1/2} - c_{\text{KCNS}}$  к значению  $c_{\text{KCNS}} = 0$  найдена обратимая величина потенциала полуволны простого никеля и из нее — нормальный потенциал никеля. Последний по значению близок к значению, приведенному в литературе.

Киевский государственный университет

Поступила  
3. V. 1956

### ЛИТЕРАТУРА

1. Турьян и Г. Ф. Серова, Журн. физ. химии, 31, 2200, 1957.  
 2. J. Lingane, H. Kerlinger, Ind. a. Eng. Chem. Anal. Ed., 13, 77, 1941.  
 3. D. De Ford a. D. N. Hummel, Journ. Amer. Chem. Soc., 73, 5321, 1951.  
 4. М. Колтъгоф и Дж. Дж. Лингейн, Полярография, Госхимиздат, 1948.  
 5. Palmaer, Zs. Elektrochem., 36, 70, 1932.  
 6. Справочник химика, Госхимиздат, т. III, стр. 555, 1952.

**Замечание при корректуре.** После написания статьи нам стала известна работа Танака (Reports Radiation Chem. Research inst., Tokyo Univ., 5, 38, 1950), который наблюдал в растворе  $\text{KCNS} + \text{KNO}_3 + 0,005\%$  желатины при низких концентрациях  $\text{KCNS}$  только две волны никеля. Специальными опытами мы установили, что отсутствие трех волн в опытах Танака является результатом добавленной желатины. Наблюдавшееся нами прохождение  $\varphi_{1/2}$  через минимум, а также положение минимума согласуются с данными Танака. Результаты Танака, полученные в растворе  $\text{S} + \text{KCl}$ , нельзя сравнивать с нашими, так как в указанном растворе не исключено комплексобразование  $\text{Ni}^{2+}$  также с  $\text{Cl}^-$ -ионами.

## A STUDY OF POLARIZATION IN THE POLAROGRAPHY OF THIOCYANATE COMPLEXES OF NICKEL

Ya. I. Tur'yan (Kishinev)

### Summary

The polarization in the polarography of thiocyanate complexes of nickel has been investigated in relation to the concentration of potassium thiocyanate. It was shown that at small thiocyanate concentrations (0.002 — 0.02M) three nickel waves are formed, the first two (at more positive potentials) corresponding to the electroreduction of the thiocyanate complexes of nickel, whereas the third corresponds to the electroreduction of the (hydrated) nickel ions. With increasing  $c_{\text{KCNS}}$  the first wave increases, whereas the second and third diminish and at  $c_{\text{KCNS}} \geq 0.1 M$  only a single (the first) wave is apparent. The cause for the appearance of three waves at low thiocyanate concentrations is the low rate of formation of the thiocyanate complexes of nickel at the electrode surface. The curve  $\varphi_{1/2} - c_{\text{KCNS}}$  passes through a minimum. The shift of  $\varphi_{1/2}$  to the positive with increase in  $c_{\text{KCNS}}$  is explained by a decrease in the electrode polarization associated with the low rate of formation of the nickel thiocyanate complexes. The shift of  $\varphi_{1/2}$  to the negative with increase in  $c_{\text{KCNS}}$  is characteristic of reversible processes, although in the present case to a certain extent the process is still irreversible.

By extrapolating the right-handed branch of the curve  $\varphi_{1/2} - c_{\text{KCNS}}$  to  $c_{\text{KCNS}} = 0$  the normal potential for the reversible half wave potential for the simple nickel ion has been obtained. From this, the normal potential for nickel. The magnitude of the latter is close to the literature values.

## О МЕХАНИЗМЕ ЭЛЕКТРООКИСЛЕНИЯ СПИРТОВ И АЛЬДЕГИДОВ НА ПЛАТИНЕ

### О МЕХАНИЗМЕ ЭЛЕКТРООКИСЛЕНИЯ ЭТИЛОВОГО СПИРТА

*Г. А. Богдановский и А. И. Шлыгин*

Электроокисление органических соединений является наименее изученной областью электрохимии. Благодаря сложности анодных процессов, их механизм твердо не установлен даже для простейших реакций. Тогда до настоящего времени еще не создана теория перенапряжения при выделении кислорода. Очевидно, вскрытие истинного механизма электроокисления требует изучения промежуточных стадий процесса с применением разнообразных современных методов.

В последние годы одним из нас был разработан ряд электрохимических методов, позволяющих получить новые данные о характере отдельных стадий электрохимического процесса и показана их эффективность [1]. В связи с этим была поставлена задача изучения механизма электроокисления различных спиртов и альдегидов с применением указанных методов.

В настоящей работе приводятся материалы по электроокислению этилового спирта на платинированной платине в кислых растворах. Процесс электроокисления этилового спирта исследовался неоднократно [2], однако механизм его до настоящего времени однозначно не установлен.

**Адсорбция этилового спирта.** Как известно, этиловый спирт хорошо адсорбируется на самых различных металлах. Изучение его адсорбции на ртути электрокапиллярным методом показало, что адсорбируемость этилового спирта увеличивается по мере увеличения его концентрации. Максимум электрокапиллярной кривой смещается в положительную сторону и тем больше, чем больше концентрация спирта. Тогда для концентрации  $9 \text{ моль/л}$  смещение максимума достигает значения  $0,4 \text{ В}$ . При адсорбции молекулы спирта ориентируются положительным концом диполя (группой  $\text{C}_2\text{H}_5$ ) в поверхность.

Адсорбция этилового спирта на платине изучалась нами следующим образом:

Большой платинированный электрод поляризовался до потенциала  $0,5 \text{ В}$  при этом на поверхности электрода отсутствуют адсорбированные газы. Затем в ячейку вливался этиловый спирт, и по смещению потенциала электрода изучался процесс адсорбции. После достижения предела адсорбции, характеризовавшегося установлением постоянного потенциала, раствор сливался в токе азота, электрод промывался и в этом растворе  $0,1 \text{ N}$  серной кислоты снималась анодная кривая заряжения.

Указанная кривая представлена на рис. 1.

Сравнение кривых 1 и 2 показывают, что электроокисление этилового спирта, находящегося лишь в адсорбированном состоянии, начинается при потенциале  $+0,45 \text{ В}$ , т. е. в условиях, когда на электроде еще отсутствует адсорбированный кислород. Наблюдаемая задержка заканчивается при потенциале  $+0,55 \text{ В}$ , при этом имеет место электроокисление спирта и ацетальдегида, поскольку, как нами будет показано ниже, электроокисление последнего протекает при более анодном потенциале.

По количеству электричества, затрачиваемого на электроокисление спирта, можно рассчитать количество адсорбированных молекул спирта на его поверхности. Расчет показывает, что в данных условиях спирт покрывает 30% поверхности.

равнение водородных участков (до потенциала  $+0,35$  V) кривых 2 рис. 1 показывает, что адсорбция спирта и водорода в значительной происходит на одних и тех же центрах, так как в присутствии спирта количество адсорбированного водорода уменьшается на 40%. По-видимому, он вытесняет водород с центра платины с относительно малым значением адсорбционного потенциала.

Одновременно наблюдается уменьшение скорости ионизации адсорбированного водорода и скорости разряда ионов гидроксидов\*.

Сравнение количества электричества, затрачиваемого на изменение потенциала от  $+0,55$  V до начала выделения молекулярного кислорода в присутствии адсорбированного спирта и в его отсутствие, приводит к выводу, что четыре кулона затрачены на окисление образовавшегося альдегида в уксусную кислоту.

Задержки на кривой заряжения, соответствующей этому процессу не наблюдается. По-видимому, реакция протекает с малой скоростью и имеет место во всем интервале потенциалов, начиная от  $0,7$  V до начала выделения кислорода.

В одной из предыдущих работ одним из нас был предложен метод изучения адсорбируемости, характера адсорбции и ее скорости по изменению потенциала платины при введении органического вещества на дегазированную (электрохимическим путем) поверхность [1]. Этот метод был использован нами для изучения адсорбции этилового спирта. В ячейку, заполненную  $0,1$  N серной кислотой, где находился платиновый электрод при потенциале  $0,5$  V, вводился этиловый спирт, и определялось изменение потенциала во времени. Кривая зависимости потенциала от времени контакта спирта с поверхностью приводится на рис. 2. Естественно предположить, что смещение потенциала является следствием одновременно протекающих двух процессов.

Как уже было указано, при адсорбции спирта на ртуть, его молекулы ориентируются положительными концом диполя к поверхности, что должно привести к смещению потенциала в положительную сторону (на  $0,15$  V).

С другой стороны, при адсорбции спирта должна уменьшаться емкость двойного электрического слоя, и так как в кислых растворах при данном потенциале ( $0,5$  V) поверхность платины заряжена положительно, потенциал должен также возрасть. Однако, как это следует из рис. 2, при введении этилового спирта наблюдается резкое изменение потенциала в отрицательную сторону, что указывает на наличие третьего эффекта, который, по нашему мнению, заключается в электронном взаимодействии

Эти данные взяты из дипломной работы студентки МГУ Т. М. Козловской.

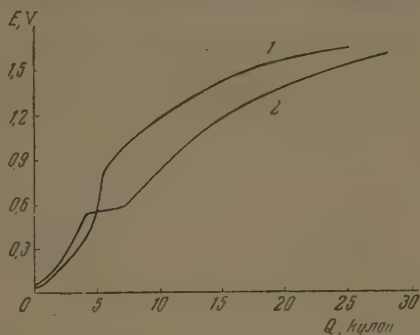


Рис. 1. Кривые зависимости потенциала от количества пропущенного электричества в  $0,1$  N  $H_2SO_4$ : 1 — зарядка электрода в отсутствие адсорбированного спирта; 2 — зарядка электрода в присутствии адсорбированного спирта

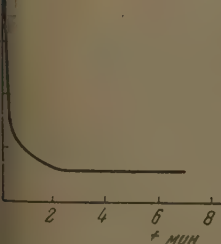


Рис. 2. Кривая зависимости потенциала от времени контакта этилового спирта с дегазированной поверхностью платины

Эти данные взяты из дипломной работы студентки МГУ Т. М. Козловской.

между молекулами спирта и металлом. Это взаимодействие сводится к переходу электронов от молекул спирта к электроду, в результате последний заряжается отрицательно, а адсорбированные молекулы спирта превращаются в положительные молекулярные ионы. Скорость этого процесса оказывается значительной, так как основное падение потенциала наблюдается лишь в течение первой минуты.

**Электроокисление этилового спирта.** Электроокисление проводилось путем анодной поляризации платинированной платины в растворе серной кислоты, содержащей этиловый спирт.

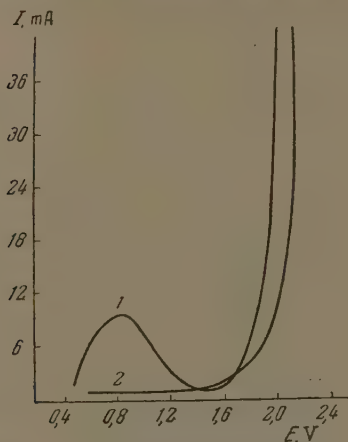
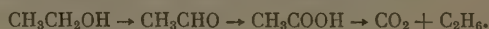


Рис. 3. Поляризационные кривые в 1*N* H<sub>2</sub>SO<sub>4</sub>: 1—CH<sub>3</sub>CH<sub>2</sub>OH 7·10<sup>-2</sup> моль/л; 2 — CH<sub>3</sub>COOH 7·10<sup>-2</sup> моль/л

Поляризационные кривые, характеризующие зависимость между силой тока и соответствующим значением потенциала, показывают, что электроокисление этилового спирта начинается уже при потенциале +0,4 В, тогда как в условиях, когда на поверхности электрода присутствует адсорбированный кислород, электроокисление начинается при потенциале +0,9 В. Поляризационные кривые изображены на рис. 3\*.

Как видно из рис. 3 (кривая 1), с увеличением потенциала сила тока сначала возрастает, а следовательно, и скорость электроокисления возрастают, достигая максимального значения при потенциале +0,9 В, после чего имеет место спады силы тока, достигающий своего предельного значения при потенциале 1,6 В. Скорость реакции, в конечном счете, уменьшается в 10 раз. При дальнейшем увеличении потенциала скорость реакции вновь возрастает.

После достижения потенциала в 2 В наблюдается выделением молекулярного кислорода. Перенапряжение этого процесса в присутствии спирта увеличивается на 0,28 В. Электроокисление этилового спирта на платине является сложной реакцией с рядом промежуточных стадий. Основная схема может быть представлена следующим образом:

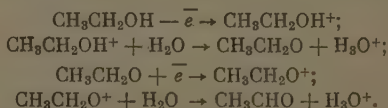


Вскрытие истинного механизма такого процесса, как правило, невозможно без предварительного изучения отдельных его стадий.

Нами установлено, что в зоне потенциалов до начала выделения кислорода электроокисление уксусной кислоты на платине не происходит. Следует из сопоставления кривых заряжения, снятых в отсутствие уксусной кислоты и в ее присутствии в растворе, которые оказываются идентичными.

Электроокисление ацетальдегида, как это видно из рис. 3, протекает с очень малой скоростью и практически не зависит от потенциала. Только при достижении его значения в 1,5 В наблюдается ускорение процесса.

По нашему мнению, электроокисление этилового спирта до ацетальдегида в кислых растворах протекает по электронно-радикальному механизму согласно схеме:



\* Кривые рис. 3 снимались с платинового электрода видимой площадью в 2,0 см<sup>2</sup>.

видимому, вторая и четвертая стадии практически не зависят от потенциала и протекают быстро, а лимитирующей стадией процесса является вытеснение первого электрона от молекулы спирта. Если это так, то скорость реакции (I) должна зависеть от потенциала. Уравнение скорости будет вытекать следующей формулой:

$$I = k' [\text{CH}_3\text{CH}_2\text{OH}]_s e^{\alpha FE/RT}, \quad (1)$$

$[\text{CH}_3\text{CH}_2\text{OH}]_s$  — концентрация спирта на поверхности. Отсюда, решая уравнение относительно  $E$ , полагая  $\alpha = 0,5$  и подставляя значения соответствующих величин, приходим к следующему выражению:

$$E = k + 0,115 \lg I - 0,116 \lg [\text{CH}_3\text{CH}_2\text{OH}]_s. \quad (2)$$

При большой концентрации спирта третий член уравнения можно считать постоянным, и тогда формула имеет вид:

$$E = K + 0,116 \lg I, \quad (3)$$

т. е. при изменении силы тока в 10 раз изменение потенциала должно соответствовать 0,116 В. В начальной стадии электролиза при изменении силы тока от одного до 10 мА, как показали измерения, изменение потенциала было 0,120 В, что делает верными применимость приведенной формулы, а следовательно, и справедливость утверждения об электронном механизме электроокисления спирта. При дальнейшем увеличении силы тока имеет место большая поляризуемость электрода, и этот эффект непрерывно увеличивается по мере возрастания силы тока.

Например, при изменении силы тока от 4 до 40 мА изменение потенциала составляет уже 0,23 В.

Согласно уравнению (2), это явление указывает на уменьшение поверх-

ностной концентрации этилового спирта за счет образующегося ацетальдегида. Таким образом, если уравнение (2) применимо, зависимость между потенциалом и силой тока (скоростью реакции) должна выражаться кривой,ходящей через максимум, что и наблюдается на опыте (рис. 3).

На восходящей ветви поляризационной кривой отражено преимущественное влияние энергии активации понижения молекул спирта, а на нисходящей — преимущественное влияние уменьшения концентрации адсорбированного спирта. Если это так, то можно ожидать значительного уменьшения скорости процесса при введении в систему ацетальдегида, который, являясь менее реакционноспособным, чем спирт, в то же время частично окисляет молекулы спирта с поверхности.

Как следует из рис. 4, это предположение оправдывается.

При введении в систему ацетальдегида в равной концентрации с этанолом электроокисление последнего, по-видимому, не имеет места, так поляризационная кривая в этом случае идентична с кривой для чистого этанола.

С другой стороны, увеличение концентрации спирта должно привести к некоторому возрастанию скорости реакции и смещению потенциала в отрицательную сторону. Это предположение также оправдывается. При концен-

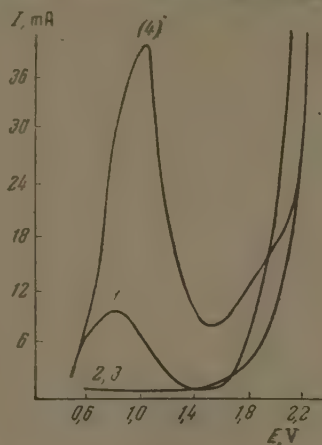


Рис. 4. Поларизационные кривые в 1N  $\text{H}_2\text{SO}_4$ : 1 —  $\text{CH}_3\text{CH}_2\text{OH}$   $7 \cdot 10^{-2}$  моль/л; 2 —  $\text{CH}_3\text{CHO}$   $7 \cdot 10^{-2}$  моль/л; 3 —  $\text{CH}_3\text{CH}_2\text{OH} + \text{CH}_3\text{CHO}$  (1:1); 4 —  $\text{CH}_3\text{CH}_2\text{OH}$  9 моль/л.

трации спирта  $9 \text{ моль/л}$  скорость реакции увеличивается в 5 раз, и потенция спада смещается в анодную сторону на  $0,1 \text{ V}$  (рис. 4). Это обстоятельство не может быть объяснено увеличением диффузии и скорости адсорбции спирта. Значительное увеличение концентрации спирта не изменяет потенциала начала электроокисления, и на поляризационной кривой появляется площадка диффузионного тока.

Интересно отметить, что при относительно малой начальной концентрации спирта ( $7 \cdot 10^{-2} \text{ моль/л}$ ) спад силы тока при потенциале  $1,3 \text{ V}$  приводит к значению последней, совпадающей с силой тока, наблюдаемой при электроокислении чистого ацетальдегида (см. кривые 1 и 3 рис. 4). Это обстоятельство указывает на то, что в данных условиях (при потенциале выше  $1,3 \text{ V}$ ) будет получаться уксусная кислота, причем лимитирующей стадией суммарного процесса является электроокисление альдегида.

В концентрированных растворах спирта максимальный спад тока в несколько раз превышает значение, наблюдаемое при электроокислении ацетальдегида, т. е. имеет место одновременное получение (с переходом в раствор) как ацетальдегида, так и уксусной кислоты, однако ацетальдегида должно образовываться в несколько раз больше.

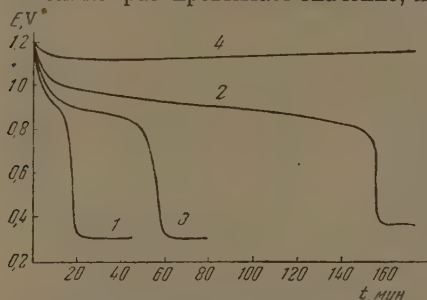


Рис. 5. Кривые зависимости потенциала от времени контакта органического компонента реакции в окислительной поверхности платины: 1 —  $\text{CH}_3\text{OH}$ ; 2 —  $\text{CH}_3\text{CH}_2\text{OH}$ ; 3 —  $\text{CH}_3\text{CHO}$ ; 4 —  $\text{CH}_3\text{COOH}$ .

При потенциале  $1,9 \text{ V}$  кривые 3 и 4 (рис. 5) пересекаются, а следовательно, при этом потенциале и в дальнейшем будет образовываться исключительно уксусная кислота. Таким образом результаты эксперимента приводят к выводу, что при обсуждении механизма и скорости электро-

ного процесса, наряду с потенциалом, необходимо учитывать соотношение адсорбируемости и реакционной способности исходного и промежуточных продуктов. Принципиального различия между платинированной и гладкой платиной не установлено. Применение платинированного электрода приводит лишь к уменьшению истинной плотности тока, что позволяет с значительной скоростью проводить электродный процесс при меньших значениях потенциала. В данном случае это благоприятствует получению ацетальдегида.

**Окисление этилового спирта.** По мнению некоторых авторов [3, 4], электроокисление спирта протекает путем непосредственного его взаимодействия с адсорбированным кислородом или кислородными соединениями, и роль электрохимической (электронной) стадии сводится лишь к получению их на платине. Малая вероятность этого предположения прежде всего следует из установленного нами факта мгновенного спада потенциала при размыкании поляризующего тока в различных частях поляризационных кривых. Падение потенциала происходило до значения  $+0,35 \text{ V}$ , что указывает на отсутствие на электроде адсорбированного кислорода и тем более кислородных соединений, при протекании процесса электроокисления спирта. В связи с этим нами специально исследовалось взаимодействие этилового спирта, а также ацетальдегида и уксусной кислоты с адсорбированным кислородом по следующей методике.

Электрод насыщался кислородом, после чего растворенный в жидкости кислород удалялся путем длительного пропускания азота через систему. Затем, в ячейку вводился этиловый спирт и по изменению потенциала опре-

являлась скорость его взаимодействия с адсорбированным кислородом\*. Результаты опытов отражены на рис. 5, где по оси абсцисс отложено время контакта спирта с поверхностью электрода.

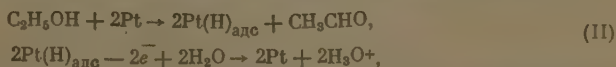
Как видно из рисунка, этиловый спирт реагирует с адсорбированным кислородом очень медленно. Весь кислород снимается с поверхности платины спиртом спустя лишь 2,5 часа после начала опыта.

Отсюда следует, что если бы лимитирующей стадией процесса электроокисления спирта являлась реакция между адсорбированным кислородом со спиртом, то кислород накапливался бы на поверхности платины в значительных количествах, а потому при размыкании поляризующего тока спад потенциала проходил бы медленно, примерно по кривой 2 рис. 5. На том же рисунке изображена кривая, характеризующая скорость окисления ацетальдегида адсорбированным кислородом. Скорость окисления ацетальдегида оказывается в несколько раз больше скорости окисления этилового спирта, в то время как электроокисление ацетальдегида протекает в несколько раз медленнее. Это обстоятельство несовместимо с предположением об электроокислении спирта поверхностными окислами.

Выше указывалось, что начало электроокисления спирта имеет место при потенциале  $+0,4$  В, когда еще отсутствует адсорбированный кислород, что предопределяет невозможность электроокисления спирта адсорбированным кислородом. Окисление платины в отсутствие спирта наступает при потенциале свыше  $+0,7$  В, в присутствии спирта, очевидно, этот процесс должен иметь место при еще более анодном потенциале.

Скорость «разряда» молекул воды уменьшается как за счет их вытеснения с поверхности молекулами спирта (экранировка поверхности), так и за счет уменьшения энергии связи адсорбированного кислорода.

Действительно, добавочное перенапряжение при выделении кислорода в присутствии спирта, как выше указывалось, достигает значения  $+0,28$  В. Таким образом только при сильно анодных потенциалах, предшествующих выделению кислорода, на поверхности электрода образуется адсорбированный кислород, так как при размыкании поляризующего тока при потенциале свыше  $2$  В, действительно, наблюдается медленное изменение потенциала. Электроокисление этилового спирта в кислых растворах по схеме:



т. е. путем дегидрирования, маловероятно, так как при этом реакция должна протекать при потенциалах, указывающих на наличие водорода на поверхность платины.

#### ВЫВОДЫ

1. Изучен процесс электроокисления этилового спирта на платинированной платине в кислой среде.
2. Показано, что поляризационная кривая проходит через максимум, причем потенциал начала спада тока зависит от концентрации спирта: для концентрации  $9$  моль/л равняется  $1$  В.
3. Высказано мнение, что электроокисление этилового спирта до ацетальдегида на платине в кислой среде протекает по электронно-радикальному механизму согласно схеме (I).
4. Спад тока, т. е. уменьшение суммарной скорости электроокисления, обусловлен уменьшением поверхностной концентрации этилового спирта за счет образующегося ацетальдегида.
5. При употреблении платинированной платины в случае большой концентрации этилового спирта в зоне потенциала до  $+0,65$  В должен

\* Поскольку кислород является электромоторно активным газом, его удаление с поверхности должно сопровождаться смещением потенциала в сторону более отрицательных значений.

получаться только ацетальдегид; при более анодном потенциале одновременно образуются ацетальдегид и уксусная кислота, и, наконец, при значении потенциала свыше 1,9 V создаются условия для получения чистой уксусной кислоты.

6. Установлено, что участие адсорбированного кислорода или поверхностных окислов платины в процессе электроокисления спирта если имеет место, то только в зоне далекого перенапряжения.

Московский государственный  
университет им. М. В. Ломоносова

Поступила  
15. V. 1956

#### ЛИТЕРАТУРА

1. А. И. Шлыгин, Труды Совещания по электрохимии, Изд-во АН СССР, 1955.
2. К. Брокман, Электрохимия органических соединений, Перевод под редакцией В. В. Стендера, Химтеоретиздат, 1937.
3. Т. И. Борисова и В. И. Веселовский, Журн. физ. химии, **27**, 119 (1953).
4. К. И. Розенталь и В. И. Веселовский, Журн. физ. химии, **27**, 116 (1953).

---

#### THE MECHANISM OF THE ELECTROOXIDATION OF ALCOHOLS AND ALDEHYDES ON PLATINUM. ON THE MECHANISM OF THE ELECTROOXIDATION OF ETHYL ALCOHOL

*G. A. Bogdanovskii and A. I. Shlygin (Moscow)*

#### Summary

This study is devoted to investigating the mechanism of the electrooxidation of ethyl alcohol on platinum. It was shown that the reaction proceeds according to an electron and radical mechanism without the participation of adsorbed oxygen or surface compounds of oxygen and platinum. The existence of a drop in current strength in the process due to a blocking of the surface by the aldehyde formed, was established.

---

# ИСПОЛЬЗОВАНИЕ ТЕОРИИ ПОДОБИЯ ДЛЯ ОПИСАНИЯ СВОЙСТВ ЖИДКОСТЕЙ

## IV. ВЯЗКОСТЬ

**Л. П. Филиппов**

Образжения, изложенные в предыдущих статьях, применим к вопросу вязкости жидкостей.

В работе [1] мы исследовали температурную зависимость вязкости жидкостей в форме связи симплексов:

$$\eta / \eta^* = f(\tau), \quad (1)$$

где  $\tau = T/T_{\text{кр}}$  — приведенная температура, а  $\eta^*$  — значение вязкости при  $T_{\text{кр}}$ . Было установлено, что семейство кривых (1) является однопараметрическим, т. е. что

$$f(\tau) = \Phi(\tau, C), \quad (2)$$

где  $\Phi$  — универсальная функция. При этом параметр  $C$  оказался коррелируемым с определяющим критерием,  $A$  — характеристикой подобия  $p-V-T$  жидкостей.

Как мы отмечали ранее [1, 2], наиболее удобными для практического использования являются соотношения между полидромными параметрическими критериями, т. е. безразмерными комбинациями, не содержащими характеристических параметров. Для вязкости, в частности, наибольший интерес представляют соотношения вида

$$L = f(K), \quad (3)$$

$$L = \frac{\eta M^{1/2}}{\rho^{1/2} T^{1/2}}, \quad (4)$$

$$K = \frac{T\rho}{pM}, \quad (5)$$

где  $M$  — молекулярный вес,  $\rho$  — плотность,  $p$  — давление насыщенных паров.

Более детальное изучение соотношения (3), проведенное на довольно обширном экспериментальном материале, относящемся к широкому диапазону температур (главным образом на основе работы [3]), позволило нам прийти к следующим выводам:

Семейство кривых (3) является однопараметрическим

$$L = \Phi(K, B). \quad (6)$$

Установление параметра  $B$ , каждое значение которого фиксирует определенную кривую  $L = L_B(K)$  рассматриваемого семейства, может быть осуществлено различными способами, лишь бы связь между определяемым параметром  $L$  и кривой семейства была взаимно однозначной. Одним из наиболее простых методов определения  $B$  является способ характеризовать индивидуальность кривых семейства заданием значения ординаты при какой-либо фиксированной абсциссе. Мы, в частности, определяем  $B$  как  $\lg L$  при  $K = 0,01$  (при вычислениях мы берем  $\eta$  в пуазах  $\cdot 10^{-5}$ ,  $p$  в мм рт. ст.,  $\rho$  в г/см<sup>3</sup>).

Величина параметра  $B$  не зависит от значения определяющего критерия  $A$ . Так, для ряда неразветвленных предельных углеводородов имею для пентана  $B = 1,665$ , для нонана 1,649, ундекана 1,656, гептадека 1,660, т. е. величина  $B$  практически постоянна, в то время как  $A$  изменяется почти в шесть раз (см. [1]). Далее для таких веществ, как кислород, аргон, бром, имеющих сравнительно большие величины  $A$ ,  $B$  также мало отличается от величины 1,6. В то же время для отдельных веществ с приблизительно одинаковыми значениями  $A$  величины  $B$  могут заметно отличаться, как это имеет место, например, для разных изомеров насыщенных углеводородов.

Таблица 1

lg K	B					
	1,55 0	1,600	1,650	1,700	1,750	1,800
1,500	1,91 (3)	1,96 (6)	2,01 (9)	2,07 (2)	2,13 (0)	2,20 (1)
1,000	1,79 (7)	1,84 (9)	1,90 (2)	1,95 (5)	2,01 (2)	2,07 (1)
2,500	1,678	1,729	1,781	1,833	1,886	1,946
2,000	1,550	1,600	1,650	1,700	1,750	1,800
3,500	1,406	1,455	1,503	1,550	1,596	1,636
3,000	1,238	1,283	1,329	1,371	1,411	1,443
4,500	1,041	1,085	1,126	1,163	1,192	1,218
4,300	0,95 (0)	0,99 (3)	1,03 (4)	1,06 (7)	1,09 (4)	1,11 (1)
4,200	0,90 (5)	0,94 (5)	0,98 (7)	1,01 (9)	1,04 (4)	1,06 (1)
4,100	0,85 (8)	0,90 (0)	0,93 (9)	0,97 (0)	0,99 (4)	1,01 (1)
4,000	0,81 (8)	0,85 (0)	0,88 (7)	0,91 (7)	0,94 (0)	0,96 (1)

Для подавляющего большинства веществ определяющий критерий  $B$  лежит в довольно узких пределах от 1,55 до 1,8. Аномально большой величиной  $B$  обладает циклогексан (1,92). Неудовлетворяет соотношению (6) бензол. На аномальность температурной зависимости его вязкости обращалось внимание и ранее [1, 35].

Таблица 2

t, °C	1-й метод расчета *	2-й метод расчета **	Опыт [3]
40	202	203	202
60	165	165	165
80	138	139	136
100	114	115	113
120	93, (4)	95, (9)	93, (7)
140	79, (2)	80, (9)	79, (1)

Исходные данные:

\*  $t_{\text{кип}} = 36,1^\circ$   $p_0^\circ = 183,5$ ; мм;  $p_{20}^\circ = 0,628$ ;  $\eta_{20}^\circ = 244$ .

\*\*  $t_{\text{кип}} = 36,1^\circ$   $p_0^\circ = 0,6454$ ;  $p_{30}^\circ = 0,6165$ ;  $\eta_{20}^\circ = 244$ .

Оставаясь в рамках чисто феноменологической концепции, мы здесь как и в предыдущих частях работы не затрагиваем большого и принципиально важного вопроса о соотношении получаемых макроскопических характеристик с микроскопическими параметрами. Точно так же мы не обсуждаем здесь вопроса о применимости исследуемых соотношений к ассоциированным жидкостям. Этому вопросу будет посвящена специальная работа.

Для возможности практического использования соотношение (6) представлено нами в форме таблицы (табл. 1) в переменных

$$nL = f(\ln K, B).$$

При составлении таблицы были использованы данные для вязкости веществ, главным образом по работам [3] и [6].

Знание явного вида зависимости (6) позволяет решать задачу об определении температурной зависимости вязкости в области вплоть до критической температуры.

той, если известны значение вязкости при одной температуре и температурная зависимость плотности и давления насыщенных паров. Так эти две последние температурные зависимости также могут быть вычислены на основании результатов [4], то для вычисления вязкости высоких температурах все исходные данные могут быть взяты низкотемпературными.

В соответствии с методами расчета, изложенными в [4], получаем два способа расчета вязкости: 1) по значениям  $\gamma_{t_1}$ ,  $\rho_{t_1}$ ,  $t_{\text{кип}}$  и  $p_{t_1}$  ( $t_1, t_2$  и  $t_3 < t_{\text{кип}}$ ); 2) по значениям  $\gamma_{t_1}$ ,  $\rho_{t_1}$ ,  $\rho_{t_2}$ ,  $t_{\text{кип}}$  ( $t_1, t_2, t_3 < t_{\text{кип}}$ ). Последовательность расчетов в обоих методах такова: 1) нахождение при помощи таблиц, приведенных в [4] величин  $\rho$  и  $p$  при требуемых для расчета температурах и  $t_1$ ; 2) вычисление величин  $K$  при тех же температурах; 3) определение величины  $L_{t_1}$  по  $\gamma_{t_1}$  и полученным  $\rho_{t_1}$  и  $p_{t_1}$ ; 4) нахождение величины  $K_{t_1}$ ,  $L_{t_1}$  при помощи табл. 1; 5) расчет величин  $L$  для требуемых температур при помощи той же таблицы; 6) вычисление вязкости по полученным  $L$ . В качестве примера приводим результаты расчета вязкости гаяна, выполненные обоими методами (табл. 2).

### ВЫВОДЫ

1. Соображения, изложенные в первой статье применены к исследованию вопроса о вязкости нормальных жидкостей по линии насыщения.
2. Использование результатов [2, 4] позволяет предложить два метода вычисления температурной зависимости вязкости, пригодных вплоть до критической точки. В первом методе исходными данными являются: температура кипения и по одному значению давления насыщенных паров, плотности и вязкости при меньших температурах. Во втором методе для расчета требуются, кроме температуры кипения, два значения плотности и одно значение вязкости при меньших температурах.

Московский государственный университет им. М. В. Ломоносова

Поступила  
17. V. 1956

### ЛИТЕРАТУРА

1. П. Филиппов, Вестник Моск. ун-та, 1956.
2. П. Филиппов, Журн. физ. химии, 31, 582, 1957.
3. Халилов, Диссертация, МГУ, 1956.
4. П. Филиппов, Журн. физ. химии, 31, 1136, 1999, 1957.
5. Andrade, Phil. Mag. 17, 698, 1934.
6. A. K. Doolittle, R. H. Peterson, Journ. Amer. Chem. Soc., 73, 2145, 1951.

### THE USE OF THE SIMILARITY PRINCIPLE IN CHARACTERIZING THE PROPERTIES OF LIQUIDS

#### IV. VISCOSITY

*L. P. Filippov (Moscow)*

#### Summary

Based on the results of the previous parts of this study and an examination of experimental data, two methods of calculating viscosity at high temperatures have been proposed.

For the first method a knowledge is required of the boiling point and one value severally for the saturated vapor pressure, the density and the viscosity at lower temperatures. For the calculation according to the second method besides the boiling point two values for the density and one for the viscosity at lower temperatures are required. The calculated results are in accord with experiment.

## О МЕХАНИЗМЕ РАСТВОРЕНИЯ КАДМИЯ И АМАЛЬГАМЫ КАДМИЯ В РАСТВОРЕ КИСЛОТ

*В. И. Кравцов и И. С. Логинова*

На металлах, растворяющихся в кислотах, наряду с катодным процессом разряда ионов водорода и анодным процессом ионизации металла, возможно протекание катодного процесса разряда ионов рассматриваемого металла и анодного процесса ионизации водорода. Различные случаи соотношений между величинами скорости четырех указанных электродных процессов были рассмотрены А. Н. Фрумкин [1].

Если скорости катодного и анодного процессов, протекающих с участием ионов металла, значительно превосходят скорости соответствующих процессов, протекающих с участием ионов водорода, то растворение металлов идет при практически равновесном потенциале металла. В работах А. Н. Фрумкина [2], Гаммета и Лорха [3], З. А. Иоффе с сотрудниками [4, 5] было показано, что саморастворение амальгам щелочных и щелочно-земельных металлов в кислых и щелочных растворах идет при практически равновесных потенциалах соответствующих амальгам. Практическая равновесность потенциала свинца, растворяющегося в кислотах, была установлена в работе З. А. Иоффе [4].

Я. В. Дурдин и С. А. Николаева [7] показали, что закономерности, наблюдаемые при саморастворении кадмия и амальгамы кадмия в растворах кислот, могут быть наиболее просто объяснены, если принять, что растворение указанных электродов идет при практически равновесных потенциалах. К противоположному выводу пришли Я. М. Колотыркин и Л. А. Медведева [8], согласно которым саморастворение кадмия в растворах серной и соляной кислот идет при практически неравновесных потенциалах, аналогично тому, как это наблюдается в случае металлов группы железа.

Важнейшим критерием при оценке степени равновесности электродных потенциалов является зависимость последних от активности (концентрации) потенциал-определяющих ионов в растворе. В настоящей работе было проведено исследование зависимости потенциалов кадмиевого и амальгамованного кадмиевого электродов от концентрации сульфата кадмия в растворах серной кислоты.

Растворы готовились из дважды перегнанной серной кислоты и дважды перегнанной воды; кадмий и ртуть подвергались фракционированной перегонке в вакууме; сульфат кадмия очищался обычными химическими методами. По данным спектрального анализа содержание примесей в кадмии и сульфате кадмия составляло менее тысячной доли процента каждой. Опыты были проведены при температуре  $25 \pm 0,1^\circ \text{C}$ .

На рис. 1 приведены результаты, полученные на кадмиевом электроде в 1 N  $\text{H}_2\text{SO}_4$  в двух опытах, отличавшихся друг от друга различным временем предварительного саморастворения электродов: кривая 1 снималась после 2 час. саморастворения кадмия в растворе 1 N  $\text{H}_2\text{SO}_4$ , кривая 2 — после 20 час. саморастворения.

Из рис. 1 видно, что при значительных концентрациях добавок  $\text{CdSO}_4$ , начиная с  $c_{\text{CdSO}_4} = 0,01 \text{ N}$ , между потенциалом электрода и логарифмом концентрации сульфата кадмия в растворе наблюдается линейная зависимость. Угловой коэффициент прямой  $\varphi - \lg c_{\text{CdSO}_4}$ , приведенной на рис. 1, равен  $0,0295 \text{ V}$ , т. е. совпадает с теоретическим значением коэффициента  $2,3 RT/nF$  (для  $t = 25^\circ \text{C}$ ). Если принять концентрацию ионов кадмия в растворе  $\text{H}_2\text{SO}_4$  равной их стехиометрической концентрации, то линейная зависимость  $\varphi$  от  $\lg c_{\text{CdSO}_4}$ , наблюдаемая при достаточных концентрациях  $\text{CdSO}_4$ , возможна лишь при постоянстве коэффициента активности ионов кадмия в исследуемом растворе  $\text{H}_2\text{SO}_4$ . Последнее обстоятельство обуславливалось в наших опытах тем, что концентрации вводимых добавок  $\text{CdSO}_4$  были обычно, по крайней мере, на порядок меньше концентрации исследуемой кислоты.

отклонения кривых  $\varphi - \lg c_{\text{CdSO}_4}$  от прямолинейного хода при небольших концентрациях добавок  $\text{CdSO}_4$ , вообще говоря, могут быть связаны с несовместностью потенциала кадмиевого электрода при небольших концентрациях ионов кадмия в растворе. Однако может быть дано более простое объяснение указанных отклонений от теоретической зависимости, если учесть, что у поверхности растворяющегося кадмия концентрация его

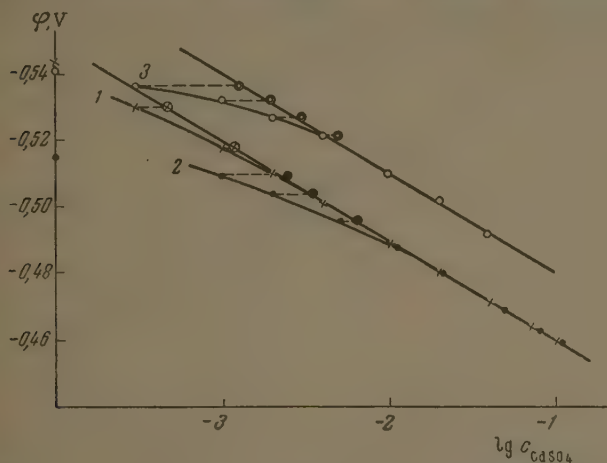


Рис. 1. Зависимость потенциала кадмиевого электрода от концентрации сульфата кадмия: 1 и 2 снимались в  $1N \text{H}_2\text{SO}_4$ , 3 — в  $1N \text{H}_2\text{SO}_4 + 0,1N \text{КВг}$ . Здесь и далее  $\varphi$  дано относительно нормального водородного электрода (н. в. э.)

должна быть несколько повышенной по сравнению с таковой в растворе. Очевидно, что различие концентраций ионов кадмия в растворе и в приэлектродном слое должно быть особенно существенным при небольших концентрациях ионов кадмия в растворе. Для проверки правильности этого объяснения, исходящего из практической равновесности потенциала кадмиевого электрода в кислоте кадмия относительно концентрации ионов в приэлектродном слое, нами были проведены следующие рас-

счеты, предполагая, что в растворе серной кислоты без добавок  $\text{CdSO}_4$  стационарный потенциал саморастворяющегося кадмия является практически равновесным относительно концентрации ионов кадмия, мы находили концентрацию  $\text{CdSO}_4$  у поверхности электрода графически, путем экстраполяции прямой  $\varphi - \lg c_{\text{CdSO}_4}$  на величину стационарного потенциала кадмия, устанавливавшегося в растворе кислоты без добавок  $\text{CdSO}_4$ . Так, величинам стационарных потенциалов кадмия, наблюдавшимся в растворе  $\text{O}_2$  в двух рассмотренных опытах и соответственно равным  $-0,5435$  и  $-0,515$  В (или их даны на оси ординат), отвечают концентрации  $\text{CdSO}_4$ , равные  $1,7 \cdot 10^{-4} N$  и  $10^{-3} N$  (рис. 1). Зная концентрации  $\text{CdSO}_4$  у поверхности электрода в растворе без добавок  $\text{CdSO}_4$ , мы рассчитывали концентрацию сульфата кадмия у поверхности электрода в растворах, содержащих небольшие концентрации добавок  $\text{CdSO}_4$ . Это мы делали по определенной графическим способом концентрации сульфата кадмия мы при помощи концентрации соли, обусловленную введенной добавкой  $\text{CdSO}_4$ . Точки, соответствующие рассчитанным подобным образом концентрациям  $\text{CdSO}_4$  (на рис. 1), в отрыве от экспериментальных точек, обведены кружками. Из рис. 1 видно, что учет первоначальной концентрации сульфата кадмия у поверхности электрода и в растворе приводит к совпадению всей кривой  $\varphi - \lg c_{\text{CdSO}_4}$  теоретической прямолинейной зависимости (до  $1-2 \text{ мВ}$ ).

При сравнении кривых 1 и 2, приведенных на рис. 1, видно, что увеличение времени растворения кадмия в растворе кислоты приводило к смещению отрицательного участка кривой  $\varphi - \lg c_{\text{CdSO}_4}$  в сторону положительных потенциалов. Это обуславливалось ростом концентрации ионов кадмия в приэлектродном слое в ходе длительного растворения электрода.

На амальгмированном кадмиевом электроде были получены результаты, аналогичные рассмотренным в случае кадмиевого электрода. На рис. 2 приведены кривые 1 и 2, снимавшиеся соответственно по 1 часу и 48 час. предварительного саморастворения амальгмированного кадмия в 1 N  $\text{H}_2\text{SO}_4$ . Прямолинейный участок кривой  $\varphi - \lg c_{\text{CdSO}_4}$ , снятой на амальгмированном кадмие, как и в случае металлического кадмия, имеет значение  $b = 0,0295 \text{ V}$ , но лежит на 49 mV положительней соот-

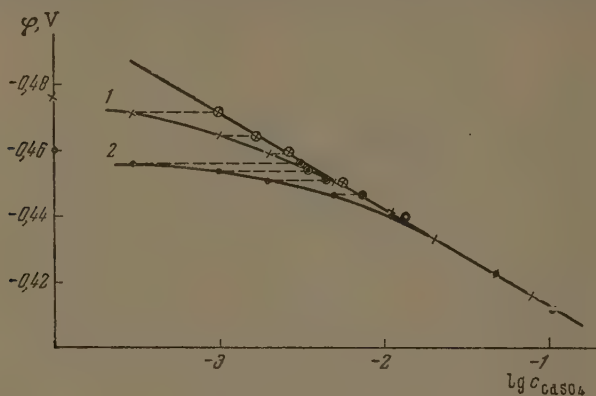


Рис. 2. Зависимость потенциала амальгмированного кадмиевого электрода от концентрации сульфата кадмия в 1 N  $\text{H}_2\text{SO}_4$

ствующего участка кривой  $\varphi - \lg c_{\text{CdSO}_4}$ , снятой на металлическом кадмие. Последнее находится в соответствии с литературными данными [9], согласно которым разность между величинами стандартных потенциалов кадмиевого и амальгмированного кадмиевого электродов составляет 50,5 mV..

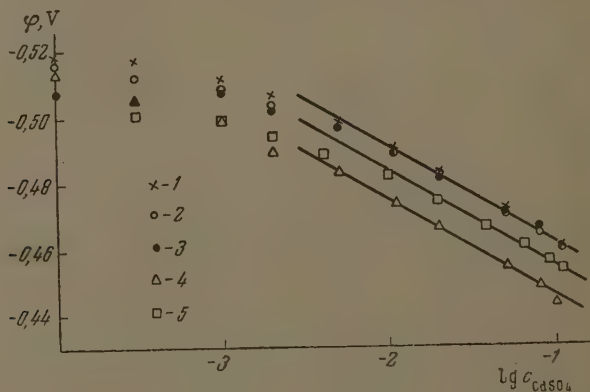


Рис. 3. Зависимость потенциала концентрации сульфата кадмия: 1 — в 5 N  $\text{H}_2\text{SO}_4$ ; 2 — в 1 N  $\text{H}_2\text{SO}_4$ ; 3 — в 3 N  $\text{H}_2\text{SO}_4$ ; 4 — в 0,1 N  $\text{H}_2\text{SO}_4$ ; 5 — в 10 N  $\text{H}_2\text{SO}_4$

Кривые  $\varphi - \lg c_{\text{CdSO}_4}$ , снятые на металлическом амальгмированном кадмие в растворах  $\text{H}_2\text{SO}_4$  в интервале концентраций от 0,1 до 10 N, по своему характеру были совершенно аналогичны кривым, снятым в 1 N  $\text{H}_2\text{SO}_4$ . Сказанное хорошо видно из рис. 3, на котором приведены кривые  $\varphi - \lg c_{\text{CdSO}_4}$ , снятые в растворах 0,1; 3; 5 и 10 N  $\text{H}_2\text{SO}_4$ .

рассмотренные результаты достаточно убедительно говорят о том, что растворение кадмия и амальгамы кадмия в растворах серной кислоты при практически равновесных потенциалах. Последнее говорит о том, что процессы разряда и ионизации соответственно дионов и атомов кадмия при указанных условиях протекают с достаточно большой скоростью. В соответствии с этим можно думать, что при анодной поляризации кадмиевого электрода в растворах кислот, не содержащих заметных количеств ионов кадмия, стадией, лимитирующей скорость всего процесса, является диффузия ионов кадмия из приэлектродного слоя в толщу раствора, а процесс ионизации атомов кадмия, как предполагают Я. М. Колотыркин и Л. А. Медведева [8,

монографии Гатти и Спунера показано, что при определении роли процесса диффузии ионов кадмия анодная поляризационная кривая должна иметь значительный коэффициент  $b$ , равное  $0,0295$  В (при  $25^\circ\text{C}$ ).

На основании этого действительно, при отсутствии ионов кадмия в растворе для плотностно-анодно поляризующего тока можно написать следующее выражение:

$$i = zF \frac{D}{\delta} [\text{Cd}^{2+}]_s, \quad (1)$$

где  $D$  — коэффициент диффузии ионов кадмия,  $\delta$  — толщина диффузионного слоя,  $[\text{Cd}^{2+}]_s$  — концентрация ионов кадмия у поверхности электрода. При практической равновесности потенциала кадмиевого (амальгамированного кадмиевого) электрода и постоянстве коэффициента активности кадмия в растворе использование уравнения (1) приводит к следующему выражению:

$$\varphi = \text{const}' + 0,0295 \lg [\text{Cd}^{2+}]_s = \text{const} + 0,0295 \lg i. \quad (2)$$

Уравнение (2) описывает зависимость потенциала электрода от логарифма плотности анодно поляризующего тока.

Из данных Я. М. Колотыркина и Л. А. Медведевой [8, 11], а также из их опытов, поставленных с металлическим и амальгамированным кадмием в растворах  $\text{H}_2\text{SO}_4$ , следует, что константа  $b$  анодной поляризационной кривой на указанных электродах имеет значение  $\sim 0,030$  В. Так, на рис. 4 построены анодная поляризационная кривая  $\varphi - \lg i$  (кривая 1) и концентрационная кривая  $\varphi - \lg c_{\text{CdSO}_4}$  (кривая 2), построенные на основании средних значений потенциалов, полученных в нескольких опытах на амальгамированном кадмие. Средняя погрешность определения потенциалов на этих участках указанных кривых не превышала 1 мВ.

Из рис. 4 видно, что кривые  $\varphi - \lg c_{\text{CdSO}_4}$  и  $\varphi - \lg i$  вполне аналогичны. Тангенсы углов наклона обеих указанных кривых в пределах точности опытов равны  $0,0295$  В, то в соответствии с уравнениями (2) последнее служит наглядным доказательством практической равновесности потенциала анодно поляризуемого амальгамированного кадмиевого электрода. Как уже упоминалось выше, полная аналогия кривых  $\varphi - \lg c_{\text{CdSO}_4}$  и  $\varphi - \lg i$  имеет место и в случае металлического кадмия.

Известно, что при анодной поляризации кривых в области отрицательных потенциалов, наблюдавшиеся Я. М. Колотыркиным и Л. А. Медведевой при введении добавок  $\text{KBr}$  и  $\text{KJ}$  в растворы серной кислоты, хорошо объясняются уменьшением активности ионов кадмия в растворе кислоты,

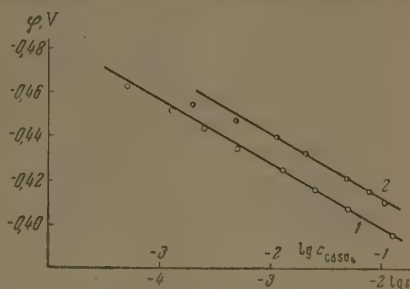


Рис. 4. Зависимость потенциала амальгамированного кадмия в  $1N \text{H}_2\text{SO}_4$ : 1 — от логарифма плотности анодно поляризующего тока; 2 — от логарифма концентрации  $\text{CdSO}_4$  в растворе

обусловленным комплексобразованием. Подтверждением сказанного является то, что при введении добавок галогенидов щелочных металлов в растворы серной кислоты кривые  $\varphi - \lg c_{\text{CdSO}_4}$  совершенно аналогично образом смещались в область отрицательных потенциалов. Так, кривая, приведенная на рис. 1, была снята на металлическом кадмии в растворе  $1 \text{ N H}_2\text{SO}_4 + 0,1 \text{ N KBr}$ . Аналогичные сдвиги кривых  $\varphi - \lg c_{\text{CdSO}_4}$  наблюдались нами и при введении в растворы серной кислоты добавок KJ.

Остановимся теперь несколько подробнее на влиянии концентрации серной кислоты на величину потенциала кадмиевого электрода, находящегося в растворе  $\text{H}_2\text{SO}_4$  с постоянной концентрацией  $\text{CdSO}_4$ .

Как видно из рис. 3, кривые  $\varphi - \lg c_{\text{CdSO}_4}$ , снятые на металлическом кадмии в 1,3 и 5 N  $\text{H}_2\text{SO}_4$ , практически совпадают друг с другом в их линейных частях; кривая, снятая в 10 N  $\text{H}_2\text{SO}_4$ , лежит несколько положительнее остальных рассмотренных кривых; еще более сильно сдвинута в сторону положительных потенциалов кривая, снятая в 0,1 N  $\text{H}_2\text{SO}_4$ . Совершенно аналогичное влияние концентрации серной кислоты на положение кривых  $\varphi - \lg c_{\text{CdSO}_4}$  наблюдалось и в случае амальгамированного кадмия.

Для каждого из прямолинейных участков кривых  $\varphi - \lg c_{\text{CdSO}_4}$ , приведенных на рис. 3, может быть написано уравнение

$$\varphi = a + 0,0295 \lg c_{\text{CdSO}_4},$$

где  $\varphi$  — потенциал кадмиевого электрода, измеренный относительно нормального водородного электрода. При пересчете потенциалов кадмиевых электродов относительно потенциала нормального водородного электрода нами использовались значения потенциалов водородных электродов в соответствующих растворах  $\text{H}_2\text{SO}_4$  относительно потенциала нормального водородного электрода, величины которых приведены в таблице.

Потенциалы водородных электродов в растворах  $\text{H}_2\text{SO}_4$  при 25° C (относительно нормального водородного электрода)\*

N $\text{H}_2\text{SO}_4$	0,1	1	3	5	10
$\varphi$ , mV	—65	—21	10	27	53

\* Значения  $\varphi$ , приведенные в таблице, рассчитаны из величин потенциалов водородных электродов в различных растворах  $\text{H}_2\text{SO}_4$ , измеренных относительно потенциала насыщенного каломельного электрода. Потенциал каломельного электрода относительно нормального водородного электрода принимался равным 0,244 V [10].

Изменения потенциала кадмиевого электрода, находящегося в растворе с постоянной концентрацией ионов кадмия, при замене одной концентрации серной кислоты на другую связаны с изменением коэффициента активности ионов кадмия  $f_{\text{Cd}^{2+}}$ , а также с изменением величины дифузионного потенциала  $\varphi_D$  на границе соприкосновения исследуемого раствора  $\text{H}_2\text{SO}_4 + \text{CdSO}_4$  с стандартным раствором серной кислоты, в котором находится электрод сравнения (нормальный водородный электрод). Обе указанные величины следующим образом связаны с эмпирической константой  $a$ , входящей в уравнение (3):

$$a = \varphi_{\text{Cd}}^0 + \frac{RT}{2F} \ln f_{\text{Cd}^{2+}} - \varphi_D.$$

В уравнении (4)  $\varphi_{\text{Cd}}^0$  — стандартный потенциал системы  $\text{Cd}/\text{Cd}^{2+}$ , равный — 0,402 V [9].

Одновременное изменение величин  $f_{\text{Cd}^{2+}}$  и  $\varphi_D$  при переходе от одной концентрации серной кислоты к другой не позволяет непосредственно рассчитывать происходящие при этом изменения коэффициента активности ионов кадмия. Из уравнения (4) следует, что из экспериментальных

ний констант  $a$ , полученных для различных растворов серной кислоты, могут быть определены соответствующие указанным растворам коэффициенты активности ионов кадмия, помноженные на экспоненциальный член, учитывающий величину диффузионного потенциала  $\varphi_D$ :

$$f_{\text{Cd}^{2+}} e^{-2F\varphi_D/RT} = e^{2F(a-\varphi_{\text{Cd}}^0)/RT} \quad (5)$$

На рис. 5 приведены значения величин  $f_{\text{Cd}^{2+}} e^{-2F\varphi_D/RT}$ , рассчитанных по уравнению (5) для различных растворов серной кислоты. При указанных расчетах использовались значения констант  $a$ , определенные из кривых  $\varphi - \lg c_{\text{CaSO}_4}$ , приведенных на рис. 3; при определении констант  $a$  концентрация  $\text{CdSO}_4$  была в молярностях.

Из рис. 5 видно, что величина  $f_{\text{Cd}^{2+}} e^{-2F\varphi_D/RT}$ , приближенно характеризующая величину коэффициента активности ионов кадмия в растворах  $\text{CdSO}_4$  различных концентраций, в области концентраций 1 — 5N  $\text{H}_2\text{SO}_4$ , имеет минимальное значение. Из того же рисунка видно, что величина  $f_{\text{Cd}^{2+}} e^{-2F\varphi_D/RT}$  изменяется симбатно с изменением стехиометрического среднего молярного коэффициента активности серной кислоты  $\gamma_{\pm \text{H}_2\text{SO}_4}$ . Значения  $\gamma_{\pm \text{H}_2\text{SO}_4}$ , приведенные на рис. 5, взяты из монографии Харнеда и Пренса [10] и пересчитаны для соответствующих объемных концентраций. Аналогичные изменения констант  $a$  и определяемых из них величин  $f_{\text{Cd}^{2+}} e^{-2F\varphi_D/RT}$  наблюдались и на амальгмированном кадмии в растворах серной кислоты.

В заключение выражаем глубокую благодарность проф. Я. В. Дурдину за советы и помощь, оказанную при выполнении настоящей работы.

### ВЫВОДЫ

1. Показано, что саморастворение и анодное растворение кадмия и амальгмированного кадмия в растворах серной кислоты протекают при практически равновесных потенциалах соответствующих электродов.
2. Показана возможность определения концентрации сульфата кадмия на поверхности растворяющегося в серной кислоте кадмия (амальгмированного кадмия) из кривых  $\varphi - \lg c_{\text{CaSO}_4}$ .
3. Установлено, что изменение коэффициента активности ионов кадмия в растворах, содержащих избыток серной кислоты, происходит симбатно с изменением среднего коэффициента активности серной кислоты.

Ленинградский государственный университет  
им. А. А. Жданова

Поступила  
18. VI. 1956

### ЛИТЕРАТУРА

1. А. Н. Фрумкин, Труды Второй конференции по коррозии металлов, 1, 1940.
2. А. Н. Фрумкин, Zs. phys. Chem., 160, 116, 1932.
3. Л. Намштат, A. Lofsch, Journ. Amer. Chem. Soc., 54, 2128, 1932.
4. В. А. Иоффе и З. Б. Печковская, ДАН, 59, 265, 1948.
5. О. Л. Кайдан и З. А. Иоффе, Журн. физ. химии, 26, 201, 1952.
6. В. А. Иоффе, Журн. физ. химии, 19, 117, 1945.
7. Я. В. Дурдин и С. А. Николаева, Вестн. Ленингр. ун-та, 5, 163, 1955; 4, 83, 1956.

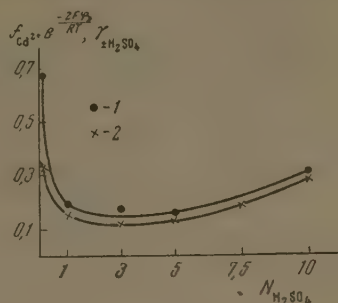


Рис. 5. Изменение величин: 1 —  $f_{\text{Cd}^{2+}} e^{-2F\varphi_D/RT}$  и 2 —  $\gamma_{\pm \text{H}_2\text{SO}_4}$  с изменением концентрации  $\text{H}_2\text{SO}_4$

8. Я. М. Колотыркин и Л. А. Медведева, Журн. физ. химии, 27, 134 1953.
  9. H. Harned and M. E. Fitzgerald, Journ. Amer. Chem. Soc., 58, 2624, 1936.
  10. Г. Харнед, Б. Оуэн, Физическая химия растворов электролитов, ИИ. М., 1952.
  11. Я. М. Колотыркин и Л. А. Медведева, Журн. физ. химии, 29, 147 1955.
  12. O. Gatty and E. Spooner, The Electrode Potential Behaviour of Corroding Metals in Aqueous Solutions, 1938, 420 стр.
- 

ON THE MECHANISM OF THE DISSOLUTION OF CADMIUM AND CADMIUM  
AMALGAM IN SOLUTIONS OF ACIDS

*V. I. Kravtsov and I. S. Loginova (Leningrad)*

Summary

The autodissolution and anodic dissolution of cadmium and of cadmium amalgam in sulfuric acid solutions have been shown to proceed at practically equilibrium potentials of the corresponding electrodes. It has been shown that the concentration of cadmium sulfate at the surface of the cadmium (cadmium amalgam) dissolving in the sulfuric acid solution can be determined from the  $\varphi - \lg c_{\text{CdSO}_4}$  curves. It has been established that the change in the activity coefficient of cadmium ions in solutions containing excess sulfuric acid proceeds parallel with change in the mean activity coefficient of the acid.

---

# КИНЕТИКА НЕСТАЦИОНАРНЫХ ПРОЦЕССОВ НА ГРАНИЦЕ РАЗДЕЛА ЖИДКОСТЬ—ГАЗ

## 1. КИШЕТИКА НЕСТАЦИОНАРНОГО ПРОЦЕССА ИСПАРЕНИЯ ВОДЫ

*М. В. Товбин и Е. В. Савинова*

Скорость гетерогенных процессов в большинстве случаев определяет диффузией и поэтому данные по кинетике таких процессов не могут быть использованы для выяснения их механизма.

Одним из нас [1—2] было показано, что механизм явлений, происходящих на границе раздела двух фаз, может быть выяснен путем изучения кинетики нестационарных гетерогенных процессов. Нестационарным гетерогенным процессом мы называем ту стадию процесса, на протяжении которой происходит формирование межфазового диффузионного слоя. Очевидно, что нестационарный гетерогенный процесс может быть осуществлен при чрезвычайно кратковременном контакте между реагирующими фазами, причем по мере уменьшения продолжительности контакта фаз  $\tau$  понижается роль диффузии в кинетике процесса. Кинетика нестационарных гетерогенных процессов ввиду ряда специфических особенностей, изучение которых позволит делать некоторые выводы о механизме истинных гетерогенных реакций [3]. Следует также указать на то, что изучение нестационарных гетерогенных процессов представляет интерес и с чисто технической точки зрения, так как подобные процессы широко используются в химической технологии. Наиболее просто осуществляются нестационарные процессы на подвижных границах раздела. В связи с этим мы поставили своей целью изучить закономерности кинетики нестационарных процессов, протекающих на границе раздела жидкость — газ.

В настоящей работе была изучена кинетика нестационарного процесса испарения воды.

### ЭКСПЕРИМЕНТАЛЬНАЯ ЧАСТЬ

Техника эксперимента. Принцип примененного метода заключался в измерении скорости испарения воды с поверхности движущейся струи. Схема основной части прибора для изучения скорости испарения изображена на рис. 1.

Прибор представлял собой стеклянный сосуд длиной в 240 мм и диаметром 95 мм, с двойными стенками. В промежутке между стенками во время проведения опытов циркулировала вода, подаваемая из термостата, благодаря чему осуществлялось термостатирование. На одной стороне прибора имелось отверстие 2 диаметром в 25 мм, которое закрывалось резиновой пробкой. В пробке устанавливалась латунная трубка 3 с винтовой нарезкой, внутрь которой закрывалась стеклянная пипетка с капиллярным концом. Через пипетку с известной скоростью подавалась деаэрированная вода из резервуара, находящегося в водном термостате при температуре опыта. Для поддержания постоянства скорости тока воды применялась насадка Мариотта. Из пипетки вытекала струя и попадала в цилиндрическую трубку 5, заполненную жидким керосином. Струя воды пронизывала слой керосина и вытекала через отверстие в стеклянной трубке 6, которая присоединялась к нижнему отростку пипетки при помощи резиновой трубки и закреплялась в специальном штативе с винтовой

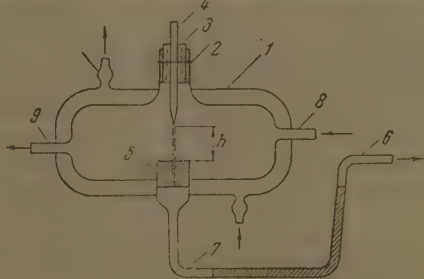


Рис. 1. Схема прибора

нарезкой. При помощи этой нарезки трубка 6 устанавливалась в таком положении, при котором поверхность керосина в 5 получалась плоской и совпадала с кондом трубки. Во время опыта поддерживалась определенная оптимальная скорость вытекания воды из пипетки, подбиравшаяся так, чтобы удовлетворялись следующие условия с одной стороны, должна получаться непрерывная струя с возможно более гладкой внешней поверхностью. Это условие определяет нижнюю границу скорости вытекания воды (зависящую от диаметра отверстия пипетки и длины струи). С другой стороны, предел скорости истечения воды. При определенных средних значениях скорости истечения воды (в наших опытах 50—75 мл/мин) удается получать струю строго цилиндрической формы с гладкой внешней поверхностью, совершенно не вызывающую эмульгирование керосина. При этом струя воды пробивает слой керосина высотой 1,5—2 см, оставаясь в нем видимой. Таким образом во время опыта прибор в контакте с воздухом постоянно находилась струя воды определенной длины  $h$ . Эта длина устанавливалась при помощи винтовой нарезки 3 и проверялась катетометром.

Продолжительность контакта струи с воздухом вычислялась по формуле

$$\tau = \frac{60\pi r^2 h}{u},$$

где  $r$  — радиус струи воды, определяемый при помощи микроскопа,  $h$  — длина струи,  $u$  — скорость истечения воды (в мл/мин).

Изменяя  $h$  от 2 до 35 мм, при постоянном  $u$ , мы могли варьировать продолжительность контакта струи с воздухом в пределах от 0,001 до 0,02 сек.

В прибор через трубку 8 с постоянной скоростью, измеряемой реометром и регулируемой моноэтом, подавался воздух, нагретый до температуры опыта \*.

Пары воды, испаряющейся с поверхности струи, увлекались током воздуха через отсос 9 в U-образные трубки, заполненные ангидроном. По привесу этих трубок определялось количество воды  $a$ , испарившееся за время опыта  $t$ . Скорость испарения  $dm$  рассчитывалась на единицу поверхности испаряющейся воды по формуле

$$\frac{dm}{dt} = \frac{a}{2\pi r h t}.$$

При описанной методике проведения экспериментов и при соблюдении ряда предосторожностей (просушка прибора до опыта горячим воздухом, отсутствие разбрызгивания воды в момент пуска струи, постоянное по скорости истечения воды и т. д.) удается получать достаточно хорошо воспроизводимые результаты. Расхождения величин скорости испарения в параллельных опытах обычно не превышали 5—6%. Несмотря на это, мы всегда ставили не меньше пяти параллельных опытов и вычисляли среднее значение скорости испарения воды.

В первой серии опытов была изучена зависимость скорости испарения воды от продолжительности ее контакта с воздухом. Опыты проводились при 25° и одной и той же скорости движения воздуха в приборе  $v$ .

Полученные результаты приведены на рис. 2. На этом же рисунке, для сравнения, даны также и значения скорости испарения воды при стационарных условиях. Скорость испарения воды при стационарных условиях определялась в том же самом приборе.

Для этого верхнее отверстие 2 закрывалось резиновой пробкой, а в трубку 5 наливали дестиллированную воду. Определяя привес U-образных трубок с ангидроном в этих опытах и зная площадь зеркала воды в трубке 5 ( $s = 4,53 \text{ см}^2$ ), рассчитывали скорость испарения при стационарных условиях.

Как видно из рисунка, по мере уменьшения продолжительности контакта струи с воздухом скорость испарения воды возрастает, достигая максимума при  $\tau \approx 0,003$  сек., и далее вновь начинает резко падать. Максимальное значение скорости испарения (при  $\tau \approx 0,003$  сек.) в 20 с лишним раз превышает скорость испарения воды при стационарных условиях. Следует, однако, отметить, что максимальная, наблюдаемая нами скорость процесса все же несравненно меньше скорости испарения воды в абсолютном вакууме, которую можно рассчитать по формуле Кнудсена. Это, по-видимому, объясняется тем, что вследствие относительно малой

\* Воздух, поступающий в прибор для удаления паров воды, предварительно пропускался через промывалку с концентрированной серной кислотой и затем через U-образную трубку, заполненную ангидроном.

ости движения воздуха в приборе успевает создаваться довольно высокая концентрация водяных паров\*. Наличие же водяных паров в воздухе, естественно, приводит к снижению наблюдаемой скорости испарения воды. Именно этим, по-видимому, и объясняется тот факт, что

2. Зависимость скорости испарения воды от продолжительности ее контакта с воздухом.

1 —  $v = 25$  мл/мин; 2 —  $v = 50$  мл/мин; 3 —  $v = 75$  мл/мин

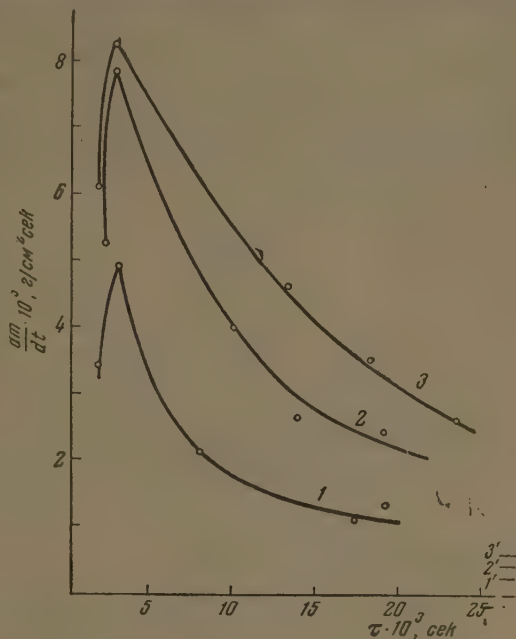
Скорость испарения при стационарных условиях:

1 —  $v = 25$  мл/мин

2 —  $v = 50$  мл/мин

3 —  $v = 75$  мл/мин

Прибор № 1,  $t = 25^\circ\text{C}$



при увеличении скорости воздуха в приборе возрастает и наблюдаемая скорость испарения воды. Влияние концентрации водяных паров на кинетику наблюдаемого процесса можно проследить также и другим образом: и та же величина  $\tau$ , как видно из уравнения (1), может быть достигнута при разных значениях  $h$  (путем изменения скорости тока воды  $u$ ). В этом определенному значению  $\tau$  будут соответствовать разные концентрации водяных паров в воздухе и, следовательно, разные величины скорости испарения. Эти соображения, как видно из рис. 3, вполне подтверждаются опытом.

В связи с вышеуказанным для получения сравнимых результатов необходимо проводить опыты при постоянной скорости истечения воды. Как мы указывали выше, по мере увеличения продолжительности акта струи с воздухом скорость нестационарного процесса испарения уменьшается. При небольших значениях  $\tau$  (порядка  $10^{-3}$ — $10^{-2}$  сек.) зависимость между скоростью процесса и временем достаточно хорошо описывается экспоненциальным уравнением (рис. 4)\*\*.

Значительно увеличивать скорость воздуха в приборе невозможно, так как этим затрудняется количественное поглощение паров испарившейся воды анализом, ухудшаются условия термостатирования и возникает ряд других экспериментальных трудностей.

\* При выполнении работы были использованы три прибора для изучения скорости испарения воды, несколько отличающиеся друг от друга по своей конструкции и деталям (выше описана последняя, наиболее удачная конструкция). В этих приборах из-за того же значению объемной скорости воздуха соответствовали разные величины линейной скорости, и поэтому данные, полученные в различных приборах, не следует сравнивать между собой.

Наблюдаемый характер зависимости между скоростью испарения продолжительностью контакта струи с воздухом следовало ожидать, как по мере возрастания  $\tau$  происходит постепенное увеличение толщ

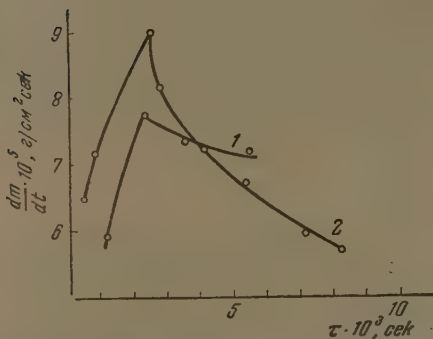


Рис. 3. Кинетика испарения воды при различных значениях скорости ее истечения. 1 —  $u = 50$  мл/мин; 2 —  $u = 70$  мл/мин. Прибор № 3,  $t = 25^\circ \text{C}$

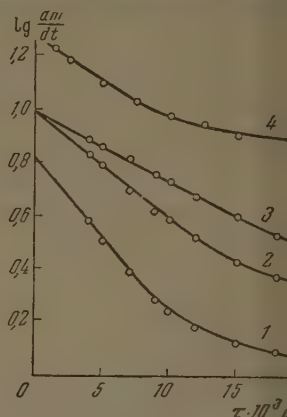


Рис. 4. Зависимость  $\lg \frac{dm}{dt}$  от  $\tau$  при  $t = 25^\circ \text{C}$ . 1 —  $v = 25$  мл/мин; 2 —  $v = 50$  мл/мин; 3 —  $v = 75$  мл/мин; 4 —  $v = 75$  мл/мин при  $t = 45^\circ \text{C}$

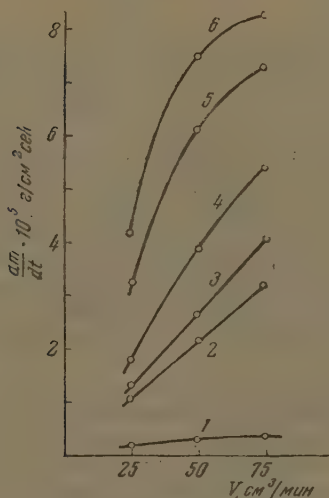


Рис. 5. Зависимость скорости испарения воды от скорости тока воздуха при различных продолжительностях контакта фаз. 1 —  $\tau = \infty$ ; 2 —  $\tau = 0,02$  сек.; 3 —  $\tau = 0,015$  сек.; 4 —  $\tau = 0,01$  сек.; 5 —  $\tau = 0,005$  сек.; 6 —  $\tau = 0,003$  сек. Прибор № 1,  $t = 25^\circ \text{C}$

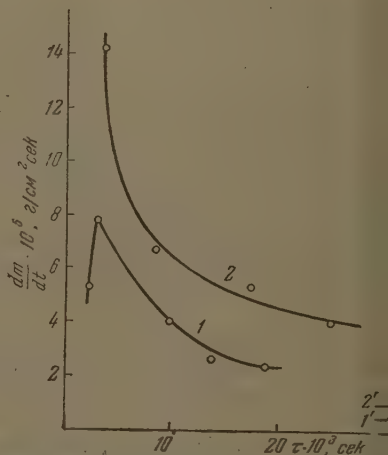


Рис. 6. Скорость испарения воды в атмосфере различных газов при  $25^\circ \text{C}$  и  $u = 50$  мл/мин. 1 — в атмосфере воздуха; 2 — в атмосфере водорода; 1' — при стационарных условиях в воздухе; 2' — же в водороде. Прибор № 1

межфазового слоя, и он все больше и больше тормозит процесс испарения. Это вполне согласуется также с данными, полученными при изучении кинетики других нестационарных гетерогенных процессов [1—3].

Несколько неожиданным является лишь тот факт, что, начиная с  $\tau = 0,003$  сек.

нейшее уменьшение продолжительности контакта фаз приводит к увеличению, а к резкому падению скорости испарения воды. Этот опытный факт требует специального обсуждения. Пока же отметим то, что по мере увеличения наблюдаемой скорости испарения максимум на кривой  $dm/dt = f(\tau)$  закономерно смещается в сторону меньших  $\tau$ .

В следующей серии опытов мы изучили влияние скорости воздуха  $v$  на кинетику нестационарного процесса испарения воды. Полученные результаты приведены на рис. 5.

Как видно из рисунка, по мере увеличения  $v$  скорость испарения воды падает. Влияние скорости воздуха на кинетику испарения увеличивает-

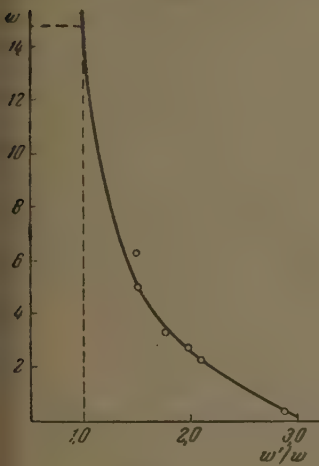


Рис. 7

Рис. 7. Зависимость  $w'/w$  от  $w$  при  $25^\circ\text{C}$  и  $v = 50$  мл/мин

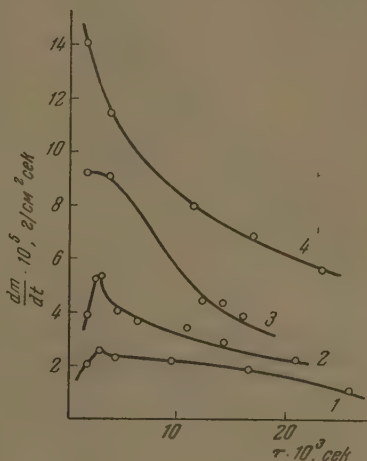


Рис. 8

Рис. 8. Зависимость скорости испарения воды от продолжительности контакта фаз при различных температурах и  $v = 50$  мл/мин. Прибор № 1, прибор № 2. 1—15; 2—25; 3—35; 4—45°С

с возрастанием  $\tau$ , при  $\tau = 0,01-0,02$  сек. наблюдается линейная зависимость между  $dm/dt$  и  $v$ , что и следовало ожидать.

Действительно, скорость движения воздуха в приборе влияет лишь на троту удаления паров от поверхности воды, т. е. на скорость конвектив-диффузии. Поэтому в пределе, при  $\tau = 0$ , скорость движения воздуха еще не должна влиять на кинетику испарения. При увеличении  $\tau$  растает роль конвективной диффузии в процессе, и в связи с этим увеличивается влияние скорости воздуха на кинетику испарения.

Для выяснения роли конвективной диффузии в кинетике нестационарного процесса испарения воды мы поставили ряд опытов, при которых испарение проводилось не в воздухе, а в атмосфере водорода. Полученные результаты приведены на рис. 6.

Как и следовало ожидать, в атмосфере водорода скорость испарения оказывается значительно большей, чем в воздухе (при тех же самых условиях). Постепенное повышение роли конвективной диффузии в кинетике нестационарного процесса испарения, по мере увеличения  $\tau$ , видно и из того, что отношение скорости испарения воды в атмосфере водорода  $w_1$  к скорости испарения в воздухе  $w$ , как видно из рис. 7, закономерно повышается с возрастанием продолжительности контакта струи с воздухом (т. е. по мере уменьшения  $w$ ).

В следующей серии опытов мы изучили зависимость скорости стационарного процесса испарения воды от температуры. Полученные результаты приведены на рис. 8.

Как видно из рисунка, по мере повышения температуры скорость процесса испарения воды увеличивается, причем максимум на кривой  $dm/dt = f(\tau)$  закономерно смещается в сторону все меньших и меньших значений  $\tau$ .

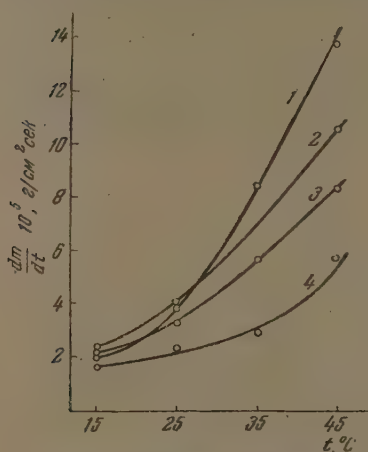


Рис. 9. Зависимость скорости испарения воды от температуры при различных продолжительностях контакта фазы  $v = 50$  мл/мин. 1 —  $\tau = 0,0015$  сек.; 2 —  $\tau = 0,0050$  сек.; 3 —  $\tau = 0,0100$  сек.; 4 —  $\tau = 0,0200$  сек.

Прибор № 2

Как видно из таблицы, по мере уменьшения  $\tau$  кажущаяся энергия активации процесса испарения воды закономерно увеличивается, достигает в области максимума на кривой  $dm/dt = f(\tau)$  значения, весьма близкого к величине скрытой теплоты испарения воды.

Как мы указывали выше, во всех сериях опытов на кривых  $dm/dt = f(\tau)$  наблюдается максимум, положение которого зависит от величины скорости испарения воды. Для выяснения причин, вызывающих появление максимума на кривой  $dm/dt = f(\tau)$ , был поставлен ряд специальных опытов, в которых мы попытались установить, не связано ли появление указанного максимума с какими-либо условиями постановки наших экспериментов.

С этой целью были проведены измерения скорости испарения воды в видоизмененных установках (например, при отсутствии защитной жидкости в трубке 5, рис. 1). При этом было установлено, что независимо от условий постановки опытов при малых значениях  $\tau$  всегда наблюдается максимум на кривой  $dm/dt = f(\tau)$ , который, очевидно, связан с механизмом процесса испарения. Исходя из полученных нами данных, следует предполагать, что скорость испарения со свежей поверхности воды (при  $\tau$  чрезвычайно мала). По мере увеличения  $\tau$  она быстро возрастает, достигая максимума, и далее начинает падать, сравнительно медленно приближаясь к постоянному значению, характерному для стационарного процесса.

При  $45^\circ\text{C}$  этот максимум вообще не наблюдался, так как он, по-видимому, находится при значениях  $\tau$ , которые экспериментально нам не удавалось осуществлять.

Как и следовало ожидать (рис. 8), температурный коэффициент скорости испарения возрастает по мере уменьшения  $\tau$  (т. е. по мере уменьшения роли конвективной диффузии в кинетике процесса).

Зависимость скорости стационарного процесса испарения воды от температуры, как видно из рис. 10, достаточно хорошо передается экспоненциальным уравнением.

Данные по температурной зависимости скорости испарения были использованы нами для вычисления кажущейся энергии активации этого процесса и ее зависимости от продолжительности контакта струи с водой. Полученные значения  $E$  — кажущейся энергии активации этого процесса — приведены в таблице.

Зависимость кажущейся энергии активации процесса испарения воды от продолжительности контакта

$\tau$ , сек	$E$ , $\frac{\text{ккал}}{\text{мол}}$
0,0015	11 500
0,0025	9 750
0,0050	9 250
0,0075	8 930
0,0100	8 400
0,0150	7 850
0,0200	8 050

Подобный характер зависимости  $dm/dt$  от  $\tau$ , как нам кажется, может быть объяснен, исходя из представлений о явлении самоадсорбции, которые были развиты в работе М. В. Товбина и З. Л. Воеводской [4]. В этой работе было показано, что на границе раздела вода — влажный пар существует переходный слой, в котором плотность воды постепенно выпадает от величины, характерной для жидкой фазы, до плотности насыщенных паров в воздухе. Можно предположить, что в момент возникновения свежей поверхности воды испаряющиеся молекулы идут на образование такого переходного самоадсорбционного слоя и практически не

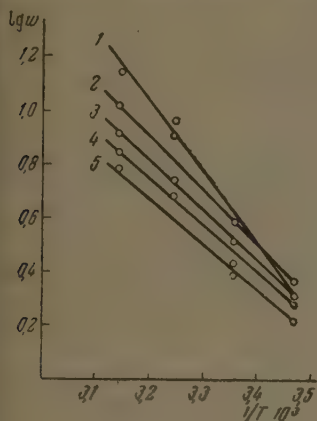


Рис. 10

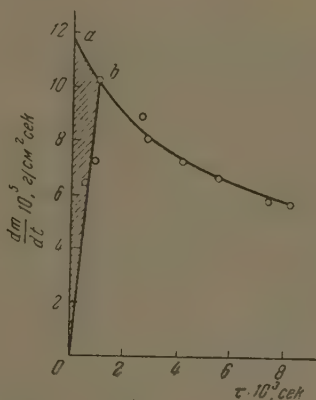


Рис. 11

Рис. 10. Зависимость  $\lg \frac{dm}{dt}$  от  $1/T$  при  $v = 50$  мл/мин. 1 —  $\tau = 0,0015$  сек.; 2 —  $\tau = 0,0050$  сек.; 3 —  $\tau = 0,0100$  сек.; 4 —  $\tau = 0,0150$  сек.; 5 —  $\tau = 0,0200$  сек. Прибор № 2

Рис. 11. Графический расчет количества воды, уходящего на образование самоадсорбционного слоя при  $25^\circ\text{C}$  и  $v = 50$  мл/мин

падают в ток газа, омывающего жидкость. В связи с этим наблюдаемая скорость испарения оказывается весьма незначительной (при  $\tau \rightarrow 0$  ( $dm/dt \rightarrow 0$ )).

По мере увеличения  $\tau$  самоадсорбционный слой заполняется, и все большее количество паров из него переходит в газовую фазу. Испарение, таким образом, следует рассматривать как процесс десорбции паров из жидкофазового самоадсорбционного слоя.

Высказанные соображения о механизме процесса испарения позволяют объяснить, почему по мере увеличения наблюдаемой скорости испарения максимум на кривой  $dm/dt = f(\tau)$  смещается в сторону меньших значений. Действительно, чем больше наблюдаемая скорость испарения, тем быстрее должен заполняться самоадсорбционный слой и тем скорее наблюдаемая скорость испарения должна достигать максимума.

Полученные нами экспериментальные данные по зависимости  $dm/dt$  от  $\tau$  позволяют также вычислить количество воды, которое уходит на образование межфазового переходного слоя. Принцип такого расчета показан на рис. 11.

Экстраполируя правую ветвь кривой  $dm/dt = f(\tau)$  до  $\tau = 0$ , находят исток кривой ( $ab$ ), который показывает, как изменялась бы скорость испарения воды в том случае, если бы самоадсорбционный слой не образовывался. Эта экстраполяция не представляет труда, так как скорость процесса вблизи точки максимума экспоненциально зависит от  $\tau$  (см. рис. 11). Далее, соединяя точки, лежащие на левой ветви кривой  $dm/dt =$

$=f(\tau)$  с началом координат, находят (естественно, весьма приближенно) зависимость  $dm/dt$  от  $\tau$  при наличии процесса образования самоадсорбционного слоя. Тогда заштрихованная площадь непосредственно дает количество воды, идущее на образование переходного слоя между жидкостью и воздухом. Путем графического интегрирования мы нашли, что эта величина при  $25^\circ\text{C}$  составляет  $3,3 \cdot 10^{-9}$  г-моль/см<sup>2</sup>, что по порядку хорошо согласуется с значением самоадсорбции воды, найденным совершенно иным путем [4].

### ВЫВОДЫ

1. Разработан метод измерения скорости испарения воды с поверхности движущейся струи, позволяющий изучать кинетику нестационарного процесса при чрезвычайно кратковременном контакте воды с газом.

2. Изучены закономерности кинетики нестационарного процесса испарения воды.

3. Показано, что по мере увеличения продолжительности контакта фаз скорость испарения сначала увеличивается, достигая максимума, а затем начинает падать, постепенно приближаясь к постоянному значению, характерному для процесса при стационарных условиях.

4. Изучена зависимость скорости нестационарного процесса испарения воды от температуры. Показано, что по мере уменьшения продолжительности контакта фаз температурный коэффициент скорости испарения возрастает, кажущаяся энергия активации процесса при этом повышается, достигая значения, близкого к величине скрытой теплоты испарения воды.

5. Высказано предположение о механизме процесса испарения, согласно которому на свежееобразованной поверхности жидкости сначала образуется переходной самоадсорбционный слой. В дальнейшем процесс испарения сводится к десорбции вещества из этого самоадсорбционного слоя.

6. На основании опытных данных показано, что на образование самоадсорбционного слоя при  $25^\circ\text{C}$  уходит  $3,3 \cdot 10^{-9}$  г-моль/см<sup>2</sup> воды.

Киевский государственный  
университет им. Т. Г. Шевченко

Поступила  
30. VI. 1956

### ЛИТЕРАТУРА

1. М. В. Товбин и А. Д. Коненко, Журн. физ. химии, 22, 1331, 1948.
2. М. В. Товбин и А. Д. Коненко, Журн. физ. химии, 24, 403, 1950.
3. М. В. Товбин и О. М. Барам, Журн. физ. химии, 24, 1420, 1950.
4. М. В. Товбин и З. Л. Воеводская, Укр. хим. журн., 22, 173, 1956.

### THE NON-STEADY STATE KINETICS OF PROCESSES AT THE GAS-LIQUID INTERFACE

#### I. THE KINETICS OF WATER EVAPORATION IN THE NON-STEADY STATE

*M. V. Tovbin and E. V. Savinova (Kiev)*

#### Summary

A method has been developed for measuring the rate of evaporation of water from a moving jet surface, which provides the means for the kinetic study of non-steady state processes at very short time contacts between the water and gas.

The principles underlying the kinetics of the non-steady state process of evaporation of water have been studied. It was shown that with increase in the time of phase contact the rate of evaporation at first increases, reaching a maximum, and then begins to fall, approaching a constant value characteristic of the process in the steady state.

The temperature dependence has been studied of the rate of the non-steady state evaporation of water. It was shown that the temperature coefficient of the rate increases with decrease in time of contact of the phases, the apparent activation energy of the process increasing to attain a value close to that for the latent heat of vaporization of water.

A mechanism for the vaporization process has been suggested according to which a transition autoadsorption layer first develops on the newly formed liquid surface. The process then consists in the desorption of substance from this autoadsorbed layer.

It has been experimentally shown that  $3.3 \times 10^{-9}$  g. mole/cm<sup>2</sup> of water serve to form this autoadsorbed layer at  $25^\circ\text{C}$ .

## ДВИЖЕНИЕ РТУТНЫХ КАПЕЛЬ В ПОЛЕ ТЯЖЕСТИ И В МАГНИТНОМ ПОЛЕ

*В. Г. Левич и В. А. Мямлин*

рассматривается падение ртутных капель в электролите. Вся система, ртуть и электролит, помещается в магнитное поле, перпендикулярное гравитационному полю. В результате воздействия магнитного поля капля приобретает дополнительную скорость, перпендикулярную к гравитационному и магнитному полям. Эта скорость обуславливается следующим движением заряда в системе [1].

При падении ртутных капель в гравитационном поле на границе ртути и раствора создается двойной электрический слой. Внешний заряд двойного слоя лежит в растворе, а внутренний — в капле. Движение жидкости смещает заряд двойного слоя от передней стороны капли к задней. В внешнем растворе существует еще электрическое поле, которое вызывает движение объемного тока в обратном направлении, от передней стороны капли к задней. Внутри капли также существует постоянное электрическое поле,двигающее положительные заряды от передней стороны капли к задней. Если теперь поместить всю эту систему в магнитное поле, то на раствор и каплю будут действовать дополнительные силы, которые в результате приведут к движению капли.

В расчете предполагалось, что магнитные поля таковы, что скорость движения раствора, обусловленная магнитными силами, значительно меньше, чем соответствующие скорости чисто гравитационного происхождения. В связи с этим мы считаем, что потенциал в растворе определяется только гравитационным движением жидкости и что приращение потенциала, создаваемое дополнительным движением, мало.

### ТОКИ И СИЛЫ, ДЕЙСТВУЮЩИЕ В СИСТЕМЕ

Вычисления будем производить в системе, где капля покоится. Ось  $z$  берем в направлении падения капли. Поле  $H$  будем считать направленным по оси  $y$ .

В растворе существует электрическое поле, потенциал которого дается формулой [1]

$$\varphi = \frac{ev_0 a^2 \cos \theta}{4\pi \kappa r^3}, \quad (1)$$

$e$  — поверхностный заряд двойного слоя, который расположен в растворе;  $a$  — радиус капли,  $\kappa$  — проводимость раствора,  $\theta$  — угол между вектором и осью  $z$ ,  $v_0$  задается выражением [1]

$$v_0 = \frac{(\rho - \rho') g a^3}{3 \left( 2\mu + 3\mu' + \frac{\varepsilon^2}{\kappa} \right)} \quad (2)$$

$\rho$  — плотность ртути,  $\rho'$  — плотность раствора,  $\mu'$  — вязкость ртути,  $\mu$  — вязкость раствора).

Сила, действующая на раствор, определяется формулой Лоренца

$$\vec{F} = \frac{[\vec{j} \vec{H}]}{c}, \quad \vec{j} = -\kappa \text{grad } \varphi. \quad (3)$$

Внутри капли течет поверхностный ток —  $\varepsilon \bar{v}_t$ , его проекция на  $\bar{e}_\theta$  в сферической системе координат

$$\gamma_{\text{пов } \theta} = -\varepsilon v_0 \sin \theta.$$

Постоянное электрическое поле, существующее внутри капли, может быть определено из условия сохранения заряда на внутренней поверхности капли

$$\gamma_n + \operatorname{div} \bar{j}_{\text{по } 1} = 0.$$

Поверхностная дивергенция может быть легко определена

$$\operatorname{div} \bar{j}_{\text{пов}} = -\frac{2\varepsilon v_0 \cos \theta}{a}.$$

Тогда объемный ток получается из уравнения (5)

$$\bar{j} = -\frac{2v_0 \varepsilon}{a} \bar{k},$$

где  $\bar{k}$  — единичный орт в направлении оси  $z$ . Наконец, сила, действующая на единицу объема ртути, задается

$$\bar{F} = \frac{[\bar{j} \bar{H}]}{c} = \frac{2v_0 \varepsilon H}{ac} \bar{i},$$

$\bar{i}$  — орт в направлении оси  $x$ .

#### РЕШЕНИЕ УРАВНЕНИЙ НАВЬЕ — СТОКСА

Решение дифференциальных уравнений будем производить в системе, где капля покоится.

Уравнение Навье — Стокса для внешнего раствора имеет вид

$$-\operatorname{grad} p' + \mu \Delta \bar{v}' + F' = 0,$$

Здесь  $p'$  — давление внешнего раствора,  $\bar{v}'$  — скорость движения внешнего раствора,  $F'$  — сила действующая на единицу объема раствора:

$$F' = m(\rho - \rho') g \bar{k} + \bar{F},$$

где величина  $\bar{F}$  дается формулой (3).

Давление и скорости можно представить в виде суммы

$$p' = p_1 + p_0; \quad \bar{v} = \bar{v}_1 + \bar{v}_0,$$

где величины с нулевым индексом удовлетворяют уравнению

$$-\operatorname{grad} p_0 + \mu \Delta \bar{v}_0 + m(\rho - \rho') g \bar{k} = 0.$$

Решение этого уравнения получено в работе В. Г. Левича [1]. Нам необходимо, следовательно, решить уравнения

$$-\operatorname{grad} p_1 + \mu \Delta \bar{v}_1 + \bar{F} = 0; \quad \operatorname{div} \bar{v}_1 = 0.$$

Аналогично для внутренней части нужно решить уравнения

$$-\operatorname{grad} p + \mu' \Delta \bar{v} + \frac{2v_0 \varepsilon H}{ac} \bar{i} = 0; \quad \operatorname{div} \bar{v}_1 = 0.$$

Граничные условия для этих уравнений следующие.

При  $r = a$  должно выполняться

$$\begin{aligned}\sigma'_{rr} &= \sigma_{rr}, & v'_r &= v_r = 0; \\ \sigma'_{r\theta} &= \sigma_{r\theta}, & v'_\theta &= v_\theta; \\ \sigma'_{\varphi r} &= \sigma_{\varphi r}, & v'_\varphi &= v_\varphi,\end{aligned}$$

$\sigma_{ik}$  — компоненты тензора напряжений;  
при  $r = 0$  скорости должны быть конечны;  
при  $r \rightarrow \infty$

$$\bar{v} = v_\infty \bar{i} \quad (15)$$

Уравнения могут быть решены в предположении, что скорости, вызванные электромагнитными силами, значительно меньше скоростей витационного происхождения.

Решение дифференциальных уравнений нужно искать в виде:

$$\begin{aligned}v_r &= f(r) \sin \theta \cos \varphi; \\ v_\theta &= \Psi(r) \cos \theta \cos \varphi; \\ v_\varphi &= \sin \varphi [\alpha(r) + \beta(r) \sin^2 \theta]; \\ p &= \mu \gamma(r) \sin \theta \cos \varphi.\end{aligned} \quad (16)$$

где  $f(r)$ ;  $\Psi(r)$ ;  $\alpha(r)$  — неизвестные функции радиуса,  $\theta$  и  $\varphi$  — соответствующие углы в сферической системе координат. Если записать уравнение (13) в сферической системе координат, то для функций от радиуса имеем следующую систему уравнений ( $r > a$ ):

$$\begin{aligned}\alpha(r) &= -\Psi(r); \\ f' - \frac{2\Psi}{r} + \frac{2f}{r} + \frac{\beta}{r} &= 0; \\ -\gamma' + \frac{4f'}{r} + f'' - \frac{\varepsilon v_0 a^2 H}{c \mu r^3} &= 0; \\ \frac{\gamma}{r} + \alpha'' + \frac{2\alpha'}{r} + \frac{2\beta}{r^2} - \frac{2f}{r^2} + \frac{2\Psi}{r^2} - \frac{2\varepsilon v_0 a^2 H}{c \mu r^3} &= 0; \\ \beta'' + \frac{2\beta'}{r} - \frac{6\beta}{r^2} + \frac{3\varepsilon v_0 a^2 H}{c \mu r^3} &= 0.\end{aligned} \quad (17)$$

Здесь штрихи над функциями обозначают дифференцирование по  $r$ . Движение жидкости внутри капли определяется аналогичными уравнениями.

Решение системы может быть проведено стандартными методами, и мы имеем следующие результаты решения для скоростей и давления внутри капли ( $r < a$ )

$$\begin{aligned}\bar{v}_r &= (F + x r^2) \sin \theta \cos \varphi; \\ v_\theta &= \left( F + \frac{B}{2} r^2 + 2x r^2 \right) \cos \theta \cos \varphi; \\ \bar{v}_\varphi &= \sin \varphi \left[ \left( -F - \frac{B}{2} r^2 - 2x r^2 \right) + B r^2 \sin^2 \theta \right]; \\ p &= 10 \mu' x r \sin \theta \cos \varphi + \frac{2 v_0 \varepsilon H}{ac} r \cos \varphi \sin \theta.\end{aligned} \quad (18)$$

и обозначить

$$n = \frac{v_0 \varepsilon H}{c}, \quad (19)$$

то для скоростей и давления вне капли имеем ( $r > a$ )

$$\begin{aligned}\bar{v}_r &= \left( \frac{D_1}{r^3} + \frac{E_1}{r} + v_\infty \right) \sin \theta \cos \varphi; \\ \bar{v}_\theta &= \left( \frac{A_1 - D_1}{2r^3} + \frac{na^2}{4\mu r} + \frac{E_1}{2r} + v_\infty \right) \cos \theta \cos \varphi; \\ \bar{v}_\varphi &= \sin \varphi \left[ \frac{D_1 - A_1}{2r^3} - \frac{na^2}{4\mu r} - \frac{E_1}{2r} - v_\infty \right] + \left( \frac{A_1}{r^3} + \frac{na^2}{2\mu r} \right) \sin^2 \theta; \\ p &= \mu \left( \frac{na^2}{2\mu r^2} + \frac{E_1}{r^2} \right) \sin \theta \cos \varphi.\end{aligned}$$

Здесь величины  $F_1$ ,  $D_1$ ,  $E_1$ ,  $A_1$ ,  $x$  и т. д. — константы, которые должны быть определены из граничных условий (15), дающих следующую систему уравнений:

$$\begin{aligned}F + xa^2 &= 0; \\ \frac{D_1}{a^3} + \frac{E_1}{a} + v_\infty &= 0; \\ F + \frac{Ba^2}{2} + 2xa^2 &= \frac{A_1}{2a^3} - \frac{D_1}{2a^3} + \frac{na}{4\mu} + \frac{E_1}{2a} + v_\infty; \\ Ba^2 &= \frac{A_1}{a^3} + \frac{na}{2\mu}; \\ \mu' Ba &= \left( -\frac{4A_1}{a^4} - \frac{n}{\mu} \right) \mu; \\ -6xa\mu' - 2n &= -\frac{n}{2} - \frac{3\mu E_1}{a^2} - \frac{6D_1\mu}{a^4}; \\ \mu' \left[ 3xa + \frac{Ba}{2} \right] &= \mu \left( \frac{3D_1}{a^4} - \frac{n}{2\mu} - \frac{2A_1}{a^4} \right).\end{aligned}$$

После решения системы видим, что скорость движения жидкости на бесконечности относительно капли равна

$$v_\infty = -\frac{a}{\mu} \frac{v_0 \varepsilon H}{c} \frac{(\mu + \mu')}{(3\mu' + 2\mu)},$$

где  $v_0$  находится по формуле (2). Окончательно получаем

$$v_\infty = -\frac{ga^3}{3\mu} \frac{\varepsilon H}{c} \frac{(\mu + \mu')(\rho - \rho')}{(3\mu' + 2\mu) \left( 2\mu + 3\mu' + \frac{\varepsilon}{x} \right)},$$

Для оценки этой величины рассмотрим падение ртутных капель в керосине в поле  $H = 10^5$  гаусс.

Выбрав  $\varepsilon = 10^{-5}$  С/см<sup>2</sup>,  $a = 0,1$  см, находим, что скорость  $F \approx 10^{-2}$  см/с.

## ВЫВОДЫ

В работе рассмотрено движение ртутных капель в электролите, вся система помещена в поле тяжести и в магнитное поле. Расчет, проведенный в системе, где капля покоится, дает следующий результат: при вертикальном падении в поле тяжести возникает добавочное движение капли в направлении, перпендикулярном как полю тяжести, так и магнитному полю. Получено значение для скорости движения и оценена величина.

## ЛИТЕРАТУРА

3. Г. Л е в и ч, Физико-химическая Гидродинамика, ГИТТЛ, М., 1952.

---

## 3. MOTION OF MERCURY DROPS IN A GRAVITATIONAL AND A MAGNETIC FIELDS

*V. G. Levich and V. A. Myamlin (Moscow)*

## Summary

The fall of mercury drops in an electrolyte has been studied, when the system is placed in gravitational and magnetic fields.

Calculation carried out for a system where the drop is at rest has yielded the following results. Interaction between the magnetic field and electrical current flowing in the system results in an additional motion of the liquid with respect to the drop in a direction perpendicular to the both gravity and the magnetic fields.

A formula has been obtained for the velocity of this motion, and the magnitude of the latter has been estimated.

---

## ИССЛЕДОВАНИЕ КОРРОЗИОННОЙ СТОЙКОСТИ ТВЕРДЫХ РАСТВОРОВ МЕТАЛЛОВ

### VI. СИСТЕМА Ag—Cd]

*Н. Н. Грацианский и П. Ф. Калюжная*

В предыдущих статьях [1] помещены результаты наших исследований коррозионной стойкости в различных средах твердых растворов металлов систем: Cd — Hg, In — Pb, Bi — Sb, Cu — Ni и Mg — Cu, где было показано, что у легкоплавких сплавов с оживленной диффузией атомов при комнатной температуре могут проявляться границы коррозионной стойкости, так же как это наблюдается у сплавов с практически отсутствующей диффузией атомов при комнатной температуре.

Границы коррозионной стойкости у исследованных сплавов, кроме медно-никелевых, могут проявляться в том случае, когда на поверхности сплава под влиянием коррозионной среды создаются условия для формирования антикоррозионного поверхностного слоя, предохраняющего основную состав сплава от разрушения.

Формирование антикоррозионного слоя на поверхности сплава в исследуемой среде зависит от скорости коррозионного разрушения кристаллической решетки, различной скорости растворения компонентов, входящих в сплав, и необходимой для перегруппировки атомов компонентов в поверхностном разрыхленном слое избыточной энергии химических процессов, возникающих при коррозии.

Границы коррозионной стойкости сплавов с высокой температурой плавления, как, например, у Cu—Ni сплавов, могут проявляться за счет внутренней пассивности сплава или образования поверхностного слоя из атомов стойкого компонента после перехода с поверхности сплава в раствор атомов нестойкого компонента.

Предложены и другие объяснения механизма образования на поверхности твердого раствора защитного поверхностного слоя, предохраняющего сплав от коррозии.

Л. Граф [2], например, считает, что под воздействием коррозионной среды атомы стойкого компонента сплава, потерявшие связь с другими атомами решетки, могут изолироваться и переходить в раствор, после чего вытесняться из раствора атомами нестойкого компонента, обмениваясь с ним зарядами и осаждаясь на поверхности сплава, образуя поверхностный слой из атомов стойкого металла. Для выяснения причин, влияющих на проявление границ коррозионной стойкости твердых растворов металлов, выяснения возможного механизма перехода атомов металлов с поверхности в раствор, последующего вытеснения атомов стойкого металла на поверхность сплава, а также разования защитного поверхностного слоя из атомов стойкого компонента, мы исследовали коррозионную стойкость Ag — Cd сплавов в растворах хлоридов.

Диаграмма фазовых превращений Ag — Cd представляет ряд твердых растворов соединений между металлами.

Первые работы по исследованию диаграммы фазовых превращений Ag — Cd дали однозначных результатов [3—5]. Более детальные исследования этой системы были проведены Бруни и Кверцигом [6], которые обнаружили соединения Ag<sub>2</sub>AgCd<sub>4</sub>. Г. И. Петренко и А. С. Федоров [7] допускают возможность существования соединений AgCd, Ag<sub>2</sub>Cd<sub>3</sub>, AgCd<sub>3</sub> и AgCd<sub>4</sub>. Эти же авторы [8] на основании исследований накаливаемых образцов Ag — Cd сплавов отрицали существование соединений Ag<sub>2</sub>AgCd<sub>4</sub>. Существование указанных соединений было подтверждено на основании термических и микроскопических исследований Френкелем и Вольфом [9].

Рентгенографические исследования структур кристаллических фаз и выяснение

превращения в твердом состоянии Ag — Cd сплавов были проведены многими исследователями [10, 11].

На основании результатов измерения электропроводности Ag — Cd сплавов Журнаков и А. И. Глазунов [12] установили существование пяти твердых фаз, из которых соединение AgCd характеризуется максимумом электропроводности и высоким структурным коэффициентом сопротивления. Установлено [13], что соединение AgCd образуется вследствие превращения в твердом состоянии.

Многими исследователями были изучены свойства Ag — Cd сплавов в твердом состоянии: твердость определена Н. С. Курнаковым и А. И. Глазуновым [12], теплопроводность и электропроводность изучены Зедом [14]. Также были проведены работы по изучению потенциалов этих сплавов [7].

Результаты измерений потенциалов Ag — Cd сплавов двух серий представлены на рис. 1. Скачок потенциала на кривой 1 при 60 ат. % Ag указывает на образование соединения  $AgCd_4$ ; второй скачок при 80 ат. % соответствует соединению  $AgCd_4$ . По кривой 2 наблюдается скачок потенциала при 50 ат. % компонентов, что соответствует образованию соединения  $AgCd$ .

Для изготовления Ag — Cd сплавов использовались исходными металлами высокой степени чистоты. Кадмий имел чистоту меди и свинца, найденные спектрохимическим анализом; серебро не содержало следов других металлов.

Сплавы металлы сплавлялись под вакуумом. В табл. 1 приведен состав исследованных сплавов.

Ожиг сплавов производился в течение 32 час. при 280—870° С.

Приготовленные Ag — Cd сплавы с 3% Ag имели цвет кадмия, при содержании 20—25% Ag более светлый серебристый цвет; при содержании 40—75% Ag цвет сплавов изменялся от розового до малинового, переходящего в золотистый после 75% Ag.

Изменение цвета Ag — Cd сплавов во время коррозионных испытаний может служить показателем образования сплава нового состава; особенно ярко это должно проявляться при формировании антикоррозионного слоя на поверхности сплава. Образование нового состава на поверхности сплава, отличного от состава основного сплава, может произойти за счет перегруппировки оставшихся атомов на поверхности сплава после частичного перехода в раствор одного из компонентов сплава. Это может быть наглядным подтверждением предположения о формировании коррозионного поверхностного слоя на границе сплав — раствор, за счет перегруппировки атомов.

В качестве коррозионных сред для изучения стойкости Ag — Cd сплавами взяты 5%-ный раствор HCl и 3%-ный раствор NaCl. В этих средах сплав растворяется кадмий и не растворяется серебро. Коррозионные испытания производились при комнатной температуре.

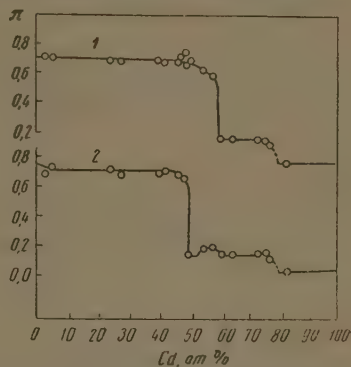


Рис. 1. Величины потенциалов Ag — Cd сплавов двух серий: 1 — потенциалы закаленных сплавов; 2 — потенциалы медленно охлажденных сплавов

Таблица 1

Содержание Ag в сплавах, ат. %	Найдено по анализу, % Ag
—	—
3	2,4
20	20,02
25	24,85
40	39,63
50	52,3
75	74,5
100	100,0

Примечание. Испытывался также кадмий (№ 1).

По появлению осадка хлористого серебра имеется возможность определить, будут ли в раствор переходить кадмий и серебро, или кадмий. Это является характерной особенностью поведения исследу-

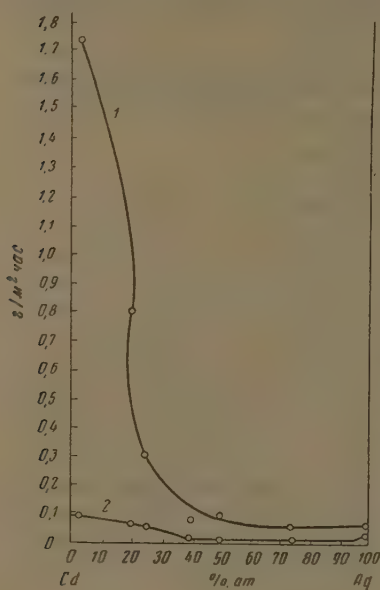


Рис. 2

Рис. 2. Зависимость потери в весе от состава: 1 — в 5%-ном растворе HCl, 2 — в 3%-ном растворе NaCl

Рис. 3. Кривые потенциал — время 5% HCl. 1 — Cd, 2 — сплав 3 ат. % Ag, 3 — 20 ат. % Ag, 4 — сплав 25 ат. % Ag, 5 — сплав 40 ат. % Ag, 6 — сплав 50 ат. % Ag, 7 — сплав 75 ат. % Ag, 8 — Ag

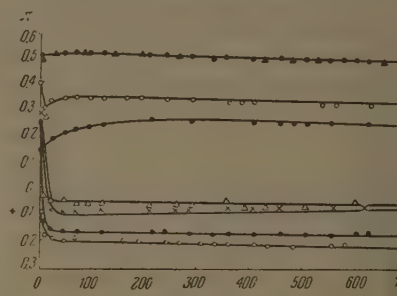


Рис. 3

сивного растворения сплавов с небольшим содержанием Ag и медленного растворения сплавов с высоким содержанием Ag. Менее четкое проявление

Таблица 2

№ образцов	Потеря в весе через 1000 час., а.	Найдено по анализу	
		Cd	Ag
1	1,48	1,48	—
2	0,30	0,36	—
3	0,115	0,115	—
4	0,035	0,025	—
5	0,0064	0,0077	—
6	0,0091	0,01	—
7	0,0014	Следы	—
8	0,0012	—	0,012

Аналогичные данные получены при анализе раствора NaCl после коррозии в нем Ag — Cd сплавов. В растворе осадок AgCl не обнаружен.

Результаты анализа показывают, что при коррозионном разрушении кристаллических решеток Ag — Cd сплава в раствор переходит кадмий, а атомы же серебра остаются на поверхности сплава.

сплавов в указанных средах. Коррозионная стойкость сплавов определялась весовым способом. Результаты коррозионных испытаний в зависимости от состава сплава представлены на рис. 2.

Перегиб кривой на диаграмме состав сплава — коррозионные потери в области 40 ат. % серебра указывает на проявление при этом со стороны границы коррозионной стойкости 5%-ном растворе HCl вследствие и

границы коррозионной стойкости наблюдается в 3%-ном растворе HCl вследствие медленного растворения сплавов.

Составу сплава при 40 ат. % серебра на диаграмме фазовых превращений соответствует соединение  $Ag_2Cd_3$ , благодаря коррозионной стойкости которого должна проявляться вышеупомянутая граница.

Результаты произведенного анализа растворов соляной кислоты после коррозии Ag — Cd сплавов помещены в табл. 2.

ак, серебристая поверхность Ag — Cd сплава с содержанием 20—25 % при длительном испытании в 5 %-ном растворе HCl при комнатной температуре приобретает розовый цвет, похожий на цвет сплава с содержанием т. % серебра. Это наглядно показывает, что на границе сплав — расплав под влиянием происходящих процессов начинается формирование коррозионного поверхностного слоя с толщиной, приближающейся к

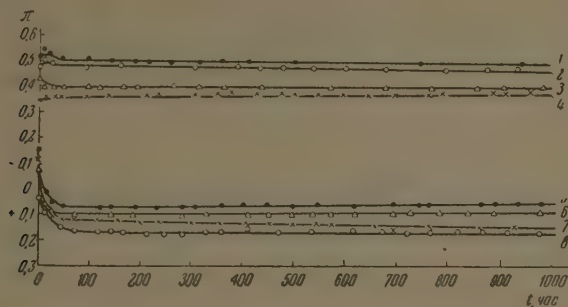


Рис. 4. Кривые потенциал — время в 3 %-ном растворе NaCl. 1 — Cd, 2 — сплав 3 ат. % Ag, 3 — сплав 20 ат. % Ag, 4 — сплав 25 ат. % Ag, 5 — сплав 40 ат. % Ag, 6 — сплав 50 ат. % Ag, 7 — сплав 75 ат. % Ag, 8 — Ag

в полном соответствии с результатами коррозионных испытаний являются величины потенциалов корродирующих сплавов серебро — кадмий, измеренные в 5 %-ном растворе и 3 %-ном растворе NaCl.

Результаты величин потенциалов корродирующих Ag — Cd сплавов, измеренные в 5 %-ном растворе HCl, приведены на рис. 3.

Потенциалы сплавов, богатых серебром, сгруппированы возле потенциала чистого серебра; богатых кадмием, — возле кадмия, а потенциалы сплавов с содержанием 20—25 ат. % серебра располагаются между потенциалами кадмия и серебра.

В 3 %-ном растворе NaCl (рис. 4) потенциалы корродирующих сплавов с содержанием от 0 до 25 ат. % серебра располагаются по величине к потенциалу чистого кадмия, потенциалы корродирующих сплавов с содержанием 40 ат. % серебра и выше приближаются к потенциалу серебра.

На рис. 5 показана зависимость установившихся потенциалов от состава сплавов серебра с кадмием, первая кривая для 3 %-ного раствора NaCl, вторая для 5 %-ного раствора HCl. Как видно из рисунка, граница коррозионной стойкости в 3 %-ном растворе NaCl и 5 %-ном растворе HCl обнаруживается при составе в Ag — Cd сплаве 40 ат. % серебра.

Измерением микротвердости на приборе ПМТ-3 при различных на-

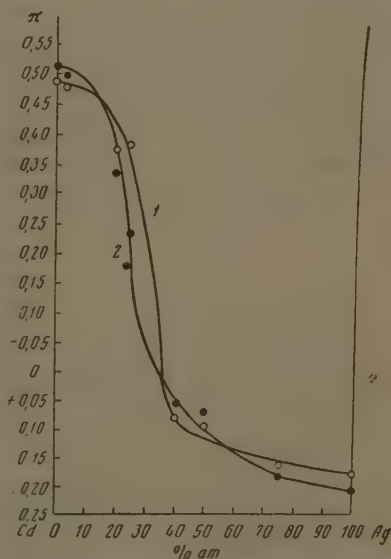


Рис. 5. Зависимость установившегося потенциала от состава сплава: 1 — в 3 %-ном NaCl, 2 — в 5 %-ном растворе HCl

грузках определялась толщина разрыхленного слоя на поверхности  $\text{Ag} - \text{Cd}$  сплавов до и после коррозии. Величина разрыхленного поверхностного слоя у  $\text{Ag} - \text{Cd}$  сплавов с содержанием серебра до 40 ат. %  $\mu$  1,5; при содержании серебра 40—100 ат. % величина поверхностного разрыхленного слоя приближается к 1  $\mu$ .

После коррозии в 3%-ном растворе  $\text{NaCl}$  толщина поверхностного разрыхленного слоя у  $\text{Ag} - \text{Cd}$  сплавов с содержанием серебра до 40 ат. % уменьшилась до 1  $\mu$  у сплавов с содержанием серебра выше 40 ат. % достигла до 2  $\mu$ . После коррозионных испытаний в 5%-ном растворе  $\text{HCl}$  толщина поверхностного слоя у сплавов с содержанием до 40 ат. % серебра увеличилась до 2  $\mu$ , а у сплавов с более высоким содержанием серебра мало изменилась.

### ВЫВОДЫ

1. Исследована коррозионная стойкость  $\text{Ag} - \text{Cd}$  сплавов методом определения весовых потерь в 5%-ном растворе  $\text{HCl}$  и 3%-ном растворе  $\text{NaCl}$  при комнатной температуре. Произведено измерение потенциалов коррозирующих сплавов.

Методом измерения микротвердости определялась толщина разрыхленного поверхностного слоя сплава до и после коррозии.

2. В 5 %-ном растворе  $\text{HCl}$  и 3 %-ном растворе  $\text{NaCl}$  в области 40 ат. % серебра у  $\text{Ag} - \text{Cd}$  сплавов обнаруживается резкое уменьшение весовых потерь, что указывает на возникновение границ коррозионной стойкости, вероятно, за счет образования антикоррозионного поверхностного слоя из частиц стойкого соединения  $\text{Ag}_2\text{Cd}_3$ .

3. Величины потенциалов коррозирующих сплавов, измеренные в процессе коррозионных испытаний в 5%-ном растворе  $\text{HCl}$  и 3%-ном растворе  $\text{NaCl}$ , представленные на диаграмме состав сплава—потенциал, также резко изменяются при содержании в сплаве 40 ат. % серебра.

4. Результаты анализов растворов после коррозии показывают, что с поверхности  $\text{Ag} - \text{Cd}$  сплавов в раствор переходит кадмий.

Таким образом, образующийся на поверхности сплава антикоррозионный поверхностный слой из частиц стойкого соединения  $\text{Ag}_2\text{Cd}_3$  защищает сплав от проникновения ионов хлора, чем обеспечивает проявление границ коррозионной стойкости.

Академия наук УССР  
Институт общей и неорганической  
химии  
Киев

Поступило  
5. VII. 1956

### ЛИТЕРАТУРА

1. Н. Н. Грацианский и М. Л. Каплан, Журн. физ. химии, 30, 651, 1956.
2. Н. Н. Грацианский и П. Ф. Калюжная, Журн. физ. химии, 30, 1267, 1956.
3. Л. Граф, Вест. науки и техники, № 5, 11, 1933.
4. H. Gantier, C. R., 129, 172, 1896.
5. T. Kirk-Rose, Proc. Roy. Soc. L., 74, 218, 1905.
6. E. Masu, Zs. phys. Chem., 50, 207, 1905.
7. G. Bruny u. E. Quercigh, Zs. anorg. Chem., 68, 198, 1910.
8. G. J. Petrenko u. A. S. Fedorow, Zs. anorg. Chem., 70, 157, 1911.
9. W. Fraenkel u. A. Wolf, Zs. anorg. Chem., 189, 145, 1930.
10. H. Astrand u. A. Westgren, Zs. anorg. Chem., 175, 90, 1928.
11. E. Owen, J. Rogers, J. Guthrie, Journ. Inst. Met. L., 65, 457, 1939.
12. Н. С. Курнаков и А. И. Глазун, ЖРФ-ХО, 44, 1006, 1912.
13. J. Hedvall u. U. Rosen, Zs. anorg. Chem., 229, 416, 1936.
14. E. Sedström, Ann. Phys., 59, 134, 1919.
15. R. Kremman u. H. Ruderer, Zs. Metallkunde, 12, 209, 1920.
16. E. Schreiner, Zs. anorg. Chem., 125, 173, 1922.
17. E. Schreiner u. K. Seljesaeter, Zs. anorg. Chem., 137, 389, 1924.

## DIES IN THE CORROSION RESISTANCE OF SOLID METALLIC SOLUTIONS

## VI. THE SYSTEM Ag—Cd

*N. N. Gratsianskiĭ and P. F. Kaluzhnaya (Kiev)*

## Summary

In this investigation the corrosion resistance of Ag-Cd alloys has been studied by measuring the loss in weight in 5% HCl and 3% NaCl solutions at room temperatures. Presently measurements were made of the corroding alloy potentials. For both alloys the Ag-Cd alloys revealed in the region of 40 at.% Ag an abrupt change in curve in the direction of diminishing weight loss, indicating the formation of corrosion-resistant boundaries. The alloy composition-potential curves also showed a sharp change in potential at the 40% Ag. alloy content.

The results of analysis showed that owing to extraction from the alloy surface cadmium goes, whereas the silver remains on the surface, enriching the alloy in its content. On lengthy exposure of the Ag—Cd alloys to 5% HCl solution the silver color of alloy surface assumes a rose hue similar to the color of the alloy with a 40 at. % Ag content. The thickness of the surface layer approaches  $1\mu$ . This clearly shows that in the surface layer bounding with the corrosive solution new crystal lattices are formed in contrast to the deformed ones.

---

## ЗАКОНОМЕРНОСТИ ЗАМЕЩЕНИЯ АТОМОВ ВОДОРОДА В БЕНЗОЛЬНОМ ЯДРЕ АЛКИЛЬНЫМИ ГРУППАМИ

### III. СООТНОШЕНИЯ МЕЖДУ КОНСТАНТАМИ СКОРОСТИ ОБРАЗОВАНИЯ ИЗОПРОПИЛБЕНЗОЛОВ И УРАВНЕНИЯ СОСТАВА ПРОДУКТОВ АЛКИЛИРОВАНИЯ ИЗОПРОПИЛБЕНЗОЛА ПРОПИЛЕНОМ В ПРИСУТСТВИИ ФТОРИСТОГО ВОДОРОДА

*В. Г. Плоснин и А. П. Лысенко*

В предыдущих статьях [1—2] указывалось, что соотношение между константами скорости образования алкилбензолов устанавливается по выходам отдельных алкилбензолов, полученных при различных молярных соотношениях. Следовательно, от точности разделения алкилбензолов будет зависеть и точность в определении соотношения между константами скорости. При этом очевидно, что чем больше ступеней в последовательной реакции, тем менее точно могут быть установлены соотношения между константами скорости образования последних из возможных алкилбензолов.

В связи с указанным было проведено уточнение соотношения между константами скорости образования изопропилбензолов по результатам алкилирования изопропилбензола пропиленом. В этом случае ступеней последовательной реакции равно трем — на одну ступень меньше, чем в случае с бензолом.

Для алкилирования был взят изопропилбензол, выделенный из своего продукта путем ректификации.

Он обладал следующими свойствами:  $t_{\text{кип.}}$  при 760 мм рт. ст. 119,5;  $d_4^{20}$  0,861;  $n_D^{20}$  1,4908; йодное число равно нулю.

Алкилирование проводилось 98% пропиленом, полученным из этилового спирта путем его дегидратации над окисью алюминия. При алкилировании изопропилбензола пропиленом осуществлялся в том же аппарате, что и бензола [2]. Скорость поступления пропилена в реактор поддерживалась постоянной около 100 г на 1 кг изопропилбензола. Метод исследования продуктов алкилирования был принят тот же, что и в случае с бензолом.

В табл. 1 представлен состав катализаторов, полученных при различных молярных соотношениях пропилен — бензол  $n$ .

Из сравнения результатов табл. 1 видно, что расхождение между ними невелико, но возрастает по мере увеличения молярного соотношения. Последнее связано с тем, что часть пропилена полимеризовалась в процессе алкилирования. По уравнению баланса, приведенному в [2], определен процент полимеризовавшегося пропилена  $\Delta u$  в каждом случае. Результаты приводятся в табл. 2. В этой же таблице с учетом процента полимеризовавшегося пропилена приводится исправленное молярное соотношение  $n_1$ , соответствующее фактическому расходу пропилена на образование только алкилбензолов.

Зависимость исправленного молярного соотношения  $n_1$  от фактического  $n$  близка к прямой, выраженной уравнением:

$$n_1 = 0,87 n.$$

Таблица 1

в катализатора при алкилировании изопропилбензола пропиленом при различных молярных соотношениях пропилен — изопропилбензола

Эмпирическое соотношение	Состав, вес. %				Олефин	
	$P_1$	$P_2$	$P_3$	$P_4$	израсходовано	получено по балансу
240	73,4	22,1	4,5	0,0	7,6	7,6
296	67,5	27,7	4,5	0,0	9,0	9,0
460	53,2	38,5	6,1	2,2	13,6	13,6
880	25,9	54,4	14,3	4,4	23,3	22,2
030	19,5	53,4	20,0	6,1	25,8	25,2
050	19,3	52,6	21,0	7,1	26,0	25,9
270	11,8	51,1	29,5	7,6	30,4	29,3
400	8,9	46,6	33,5	11,0	32,5	31,5
650	4,0	40,6	38,7	16,5	36,4	34,9
810	2,3	35,6	40,1	22,0	38,7	37,0
980	1,9	26,5	46,0	25,6	40,8	38,9
160	1,1	18,2	47,0	33,7	42,8	41,4
560	—	8,0	39,1	52,9	47,4	45,3
940	—	1,7	25,8	72,5	51,0	48,2
200	—	1,5	14,0	84,5	53,1	49,5

Примечание. Индекс при  $P$  указывает число алкильных групп в бензольном ядре. В последних графах этой таблицы приводится содержание пропилена в катализаторах алкилирования, рассчитанное исходя из фактического расхода пропилена в процессе алкилирования, и содержание пропилена, рассчитанное, исходя из состава катализатора.

В табл. 2 приводится пересчитанный состав алкилбензолов в весовых процентах за вычетом полимеров, который и использован ниже для выявления закономерностей.

Таблица 2

в катализатора за вычетом полимеров для системы изопропилбензол — пропилен

$n$	$n_1$	$P_1$	$P_2$	$P_3$	$P_4$	$\Delta y$
24	0,22	74,0	22,2	3,8	0,0	0,8
29	0,28	68,2	28,0	3,7	0,0	0,8
46	0,44	53,5	38,7	6,1	1,6	0,6
88	0,80	26,4	55,3	14,5	3,8	1,6
03	0,96	19,7	54,0	21,0	5,3	1,5
05	0,98	19,5	53,5	21,5	5,6	1,6
27	1,12	12,2	52,5	30,2	5,1	2,4
40	1,26	9,2	47,7	34,2	8,9	2,2
65	1,46	4,1	41,8	39,8	14,3	2,8
81	1,64	2,4	36,5	41,1	20,0	2,4
98	1,71	2,0	27,7	48,0	22,4	4,1
16	1,76	1,1	19,3	49,6	30,0	5,2
56	2,15	—	8,4	41,0	50,6	4,6
94	2,38	—	1,8	27,2	71,0	5,2
20	2,44	—	1,5	15,0	83,4	6,8

соотношения констант скорости образования изопропилбензолов и кинетических уравнений состава продуктов алкилирования.

### ОБСУЖДЕНИЕ РЕЗУЛЬТАТОВ

При алкилировании изопропилбензола пропиленом возможно замещение только трех водородных атомов в молекуле изопропилбензола. Следовательно, для этого случая следует взять только первые четыре уравнения из системы уравнений (10), приведенных в [1].

Используя эти уравнения и метод, принятый при обработке результатов по алкилированию бензола пропиленом, приведенный в [2], было

установлено, что наиболее близко к опытным данным табл. 2 подходят следующие соотношения констант скорости образования изопропилзолов:

$$k_2 : k_3 : k_4, \text{ как } 1 : 0,4 : 0,2.$$

При этих соотношениях молярный состав системы выражается следующими уравнениями:

$$\begin{aligned} c_1 &= 100 e^{-kt}; \\ c_2 &= 100 (1,666 e^{-0,4kt} - 1,666 e^{-kt}); \\ c_3 &= 100 (2,5 e^{-0,2kt} - 3,333 e^{-0,4kt} + 0,823 e^{-kt}), \\ c_4 &= 100 (1 - 2,5 e^{-0,2kt} + 1,666 e^{-0,4kt} - 0,166 e^{-kt}), \\ \sum_{c_1}^{c_4} c &= 100. \end{aligned}$$

Так как молярное соотношение

$$n_1 = \frac{c_2 + 2c_3 + 3c_4}{100},$$

то, подставляя в это уравнение соответствующие значения, получаем зависимость молярного соотношения  $n_1$  от  $kt$  в виде

$$n_1 = 3 - 0,5 e^{-kt} - 2,5 e^{-0,2kt}.$$

Величины  $n_1$  при различных значениях  $kt$  приводятся в табл. 3

Таблица 3

$kt$	0,5	0,8	1,0	2,0	3,0	4,0	6,0
$n_1$	0,43	0,65	0,77	1,32	1,60	1,87	2,2

На рис. 1 и 2 представлены кривые состава системы при алкировании изопропилбензола пропиленом в молярных и весовых процентах

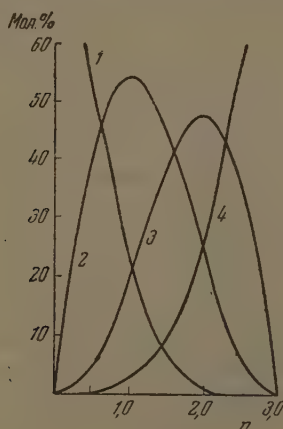


Рис. 1

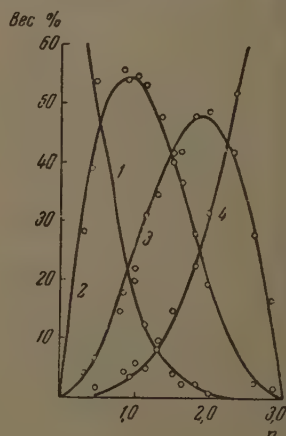


Рис. 2

в зависимости от молярного соотношения  $n_1$ , рассчитанные по уравнениям (1), (2) и (4). На рис. 2 нанесены также экспериментальные точки, взятые из табл. 2. Как видно по расположению точек около теоретических

, сходимость вполне удовлетворительная, что указывает на правильное соотношение констант скорости образования изопропилбензолов.

В [2] по результатам алкилирования бензола пропиленом приводится следующее соотношение констант скорости образования изопропилзолов

$$k_1 : k_2 : k_3 : k_4, \text{ как } 1 : 0,8 : 0,3 : 0,15. \quad (5)$$

результатам же алкилирования изопропилбензола пропиленом, как зывалось выше, получено соотношение констант скорости образования

$$k_2 : k_3 : k_4, \text{ как } 1 : 0,4 : 0,2. \quad (6)$$

Учитывая это соотношение и то, что  $k_2 = 0,8 k_1$ , уточненное соотношение скорости замещения водородов в бензольном ядре изопропильными группами представляется в виде

$$k_1 : k_2 : k_3 : k_4, \text{ как } 1 : 0,8 : 0,32 : 0,16. \quad (7)$$

Уравнения состава продуктов алкилирования при данном соотношении представляются в виде:

$$\begin{aligned} c_0 &= 100 e^{-kt}; \\ c_1 &= 100 (5 e^{-0,8 kt} - 5 e^{-kt}); \\ c_2 &= 100 (2,45 e^{-0,32 kt} - 8,33 e^{-0,9 kt} + 5,88 e^{-kt}); \\ c_3 &= 100 (2,98 e^{-0,16 kt} - 4,90 e^{-0,32 kt} + 4,17 e^{-0,8 kt} - 2,24 e^{-kt}); \\ c_4 &= 100 (1 - 2,98 e^{-0,16 kt} + 2,45 e^{-0,32 kt} - 0,83 e^{-0,8 kt} + 0,36 e^{-kt}); \end{aligned} \quad (8)$$

зисимость  $n$  от  $kt$

$$n = 4 - 2,98 e^{-0,16 kt} - 1,67 e^{-0,8 kt} + 1,5 e^{-kt}.$$

Сравнивая результаты по соотношению констант скорости замещения атомов водорода в бензольном ядре изопропильными группами, установленные по результатам алкилирования бензола и изопропилбензола пропиленом, видно, что расхождения между ними не велики. Однако отношение (7) следует считать более точным по причинам, рассмотренным выше.

Очевидно, еще более точное соотношение между константами скорости можно было бы получить, имея результаты исчерпывающего алкилирования диизопропилбензола.

## ВЫВОДЫ

1. На основе экспериментального материала по алкилированию бензола и изопропилбензола пропиленом уточнено соотношение между константами скорости образования изопропилбензолов.
2. Приводятся уточненные уравнения состава продуктов алкилирования бензола и изопропилбензола пропиленом.

Уральский филиал  
Академии наук СССР  
Свердловск

Поступила  
9. VII. 1956

## ЛИТЕРАТУРА

- В. Г. Плюснин и Н. М. Родигин, Журн. физ. химии, 31, 2066, 1957.  
В. Г. Плюснин, А. П. Лысенко и Е. П. Бабин, Журн. физ. химии, 31, 2229, 1957.

## CORRELATIONS IN THE ALKYL SUBSTITUTION OF HYDROGEN IN THE BENZENE RING

### III. THE RELATION BETWEEN THE CONSTANTS OF THE RATES OF FORMATION OF ISOPROPYLBENZENES AND THE EQUATIONS FOR THE COMPOSITION OF THE PRODUCTS OF THE ALKYLATION OF ISOPROPYLBENZENE BY PROPENE IN THE PRESENCE OF HYDROGEN FLUORIDE

*V. G. Plusnin A. P. Lysenko (Sverdlovsk)*

#### Summary

Based on experimental data on the alkylation of benzene and isopropylbenzene by propylene a more precise relation has been obtained between the constants for rates of formation of the isopropylbenzenes. More precise equations are presented for composition of the products of alkylation of benzene and isopropylbenzene by propylene.

---

## К ТЕОРИИ ОГРАНИЧЕННОГО КРИСТАЛЛА ТИПА NaCl

В. Ф. Конусов

При решении ряда вопросов теории кристаллической решетки обычно исходят из представления о бесконечных по своим размерам кристаллах. Учет ограниченности кристалла проводится лишь при решении специальных вопросов, связанных с поверхностными явлениями, при этом одной из важнейших характеристик состояния поверхностных частиц принимается поверхностная энергия кристалла. Энергетическая неэквивалентность частиц поверхности внутренним частицам кристалла приводит к некоторому изменению расстояний между частицами, близкими к поверхности, по сравнению с полной решеткой бесконечного кристалла. Этот эффект неоднократно рассчитывался [3] и охватывает, по-видимому, не более двух — трех межплоскостных расстояний поверхности кристалла. Никольсоном [4], однако, было экспериментально установлено для ионных кристаллов NaCl и MgO, что постоянные решеток существенно сходят от их размеров, причем эта зависимость может быть обнаружена уже при линейных размерах кристалликов порядка 600 Å. Отсюда Никольсон делает вывод о том, что ограниченность кристалла влияет не только на междоустицинные расстояния вблизи поверхности, но и на расстояния между частицами по всему кристаллу. Этот объемный эффект объясняется им путем введения понятия о поверхностном натяжении. Однако такой объемный эффект имеет место, то он должен обнаружиться при рассмотрении ограниченного кристалла, как механической системы взаимодействующих частиц. Предполагая рассматривать в дальнейшем кристалл типа NaCl, аппроксимируем систему междоустицинного взаимодействия двухчленной формулой Борна

$$\varphi(r) = \pm \frac{e^2}{r} + \frac{A}{r^9}, \quad (1)$$

где  $r$  — расстояние между ионами,  $A$  — константа взаимодействия. Ввиду того что энергия сил отталкивания весьма быстро уменьшается с расстоянием, при расчетах второй член в (1) будем учитывать только при взаимодействии ближайших соседей. Обозначая через  $d_0$  постоянную бесконечной решетки и вычисляя потенциальную энергию этой решетки, из условия минимума энергии находим

$$A = \frac{e^2 k d_0^8}{6 \cdot 9}, \quad (2)$$

где  $k = 1,7574 \dots$  — коэффициент Маделунга.

Будем исходить из того, что ограниченность кристалла приводит к некоторому изменению междоустицинных расстояний вблизи границ кристалла (поверхностный эффект) и общему изменению параметров элементарной ячейки (объемный эффект). Точное решение задачи о равновесном расположении частиц в ограниченном кристалле связано с громоздкими вычислениями. В первом приближении не учитывая весьма тонкой поляризации граничных частиц [3], можно считать поверхностный эффект пренебрежимо малым. Так, например, рассматривая полубесконечный кристалл NaCl, вычисленный плоскостью (100), из условий минимума потенциальной энергии получаем систему уравнений, дающую возможность определить междоустицинные расстояния решетки в направлении, перпендикулярном поверхности. Эта система уравнений может быть решена, как угодно точно, обычным итеративным методом. Используя результаты взаимодействия (1), нами было получено  $r_1 = 0,997900 d_0$ ;  $r_2 = 1,000045 d_0$ ;  $r_3 = 1,000000 d_0$ , где  $r_i$  ( $i = 1, 2, \dots$ ) — междоустицинные расстояния, считая от поверхности кристалла. Таким образом поверхностный эффект охватывает всего лишь одно междоустицинное расстояние, и изменение составляет 0,21% от постоянной решетки. Вероятно, что изменение междоустицинных расстояний вблизи ребер и углов кристалла будет более значительными, однако вклад от этих изменений в энергию системы, если общее число частиц не слишком мало, вряд ли будет велик. Поэтому в дальнейших расчетах поверхностный эффект нами не учитывается, и потенциальная энергия системы представляется в виде функции от параметров элементарной ячейки.

Рассмотрим сначала три частных случая ограниченного кристалла NaCl. Будем исходить из возможности решить задачу об ограниченном кристалле в форме параллелепипеда, образованного плоскостями (100).

Кристалл в форме куба. Рассмотрим ионный кристалл NaCl в форме куба, ограниченного плоскостями (100) и содержащий  $n_1^3$  частиц.

В этом случае электростатическая часть энергии (если  $n_1$  не слишком мало), согласно [5], запишется в виде

$$\frac{e^2}{d_1} E(n_1) = \frac{e^2}{d_1} (c_3 n_1^3 + c_2 n_1^2 + c_1 n_1 + \dots),$$

где  $c_3 = -k/2$ ;  $c_2 = 0,1957$ ;  $c_1 = 0,131$ ;  $d_1$  — постоянная решетки.

Вычисление неэлектростатической части выполняется элементарно. Число взаимодействий между ближайшими частицами в направлении одного из ребер куба, очевидно, равно числу междучастичных расстояний в ребре куба ( $n_1 - 1$ ), умноженному на число частиц в плоскости куба ( $n_1^2$ ). Таким образом общее число взаимодействий между ближайшими частицами равно  $3n_1^2 (n_1 - 1)$ . Принимая во внимание (1), (2) и для полной потенциальной энергии получаем следующее выражение

$$U(n_1, d_1) = \frac{e^2}{d_1} E(n_1) + \frac{e^2 k}{18} \frac{d_0^3}{d_1^9} (n_1^3 - n_1^2).$$

Равновесное состояние  $d_1$  определится из условия минимума энергии  $\partial U(n_1, d_1) / \partial d_1 = 0$ . Дифференцируя (4), имеем

$$-\frac{e^2}{d_1^2} E(n_1) - \frac{e^2 k}{2} \frac{d_0^3}{d_1^{10}} (n_1^3 - n_1^2) = 0,$$

откуда

$$\left(\frac{d_1}{d_0}\right)^8 = \frac{n_1^3 - n_1^2}{E(n_1)} c_3.$$

Вводя обозначения  $x_1 = d_1/d_0$ ,  $\alpha_1 = 1/n_1$ , находим из (5) послеложения в ряд по  $\alpha_1$

$$x_1 = 1 - 0,09700 \alpha_1 - 0,0359 \alpha_1^2 + \dots$$

Бесконечная плоская плита. Пусть кристалл имеет форму бесконечной плиты, ограниченной плоскостями (100). Будем считать, что такая плита состоит из  $n_1$  кристаллических плоскостей. Исполсимметрию задачи введем следующие параметры элементарной ячейки  $d_2$  — кратчайшее расстояние между частицами в каждой из  $n_1$  бесконечных плоскостей,  $d_1$  — расстояние между плоскостями. Общая электростатическая энергия системы запишется в виде

$$N \left[ \frac{1}{2} n_1 \psi(0) + \sum_{l=1}^{n_1-1} (n_1 - l) \psi(d_1 l) \right],$$

где  $\psi(0)$  — энергия взаимодействия одного из ионов кристаллической плоскости со всеми остальными ионами этой же плоскости,  $\psi(d_1 l)$  — энергия взаимодействия ионов кристаллической плоскости с ионом, находящимся на расстоянии  $d_1 l$  от плоскости,  $N$  — число ионов в кристаллической плоскости. Согласно методу, разработанному М. Лунгом:

$$\psi(0) = -\frac{e^2}{d_2} a = -\frac{e^2}{d_2} \left[ 2 \ln 2 - 8 \sum_{l_1=1}^{\infty} \sum_{l_2=1}^{\infty} K_0[\pi(2l_2 - 1)l_1] (-1)^{l_1} \right],$$

$K_0(x)$  — функция Бесселя от мнимого аргумента, а

$$\psi(d_1 l) = \frac{2e^2}{d_1} (-1)^l \sum_{m_1, m_2} \frac{e^{-nl \frac{d_1}{d_2} \sqrt{m_1^2 + m_2^2}}}{\sqrt{m_1^2 + m_2^2}}, \quad (9)$$

$m_1, m_2$  — целые нечетные числа.

Неэлектростатическая часть энергии согласно [1], по аналогии с (7), пишется в виде

$$\frac{e^2 k}{6 \cdot 9 d_0} \left( \frac{d_0}{d_2} \right)^9 \left[ 2n_1 + (n_1 - 1) \left( \frac{d_2}{d_1} \right)^9 \right]. \quad (10)$$

Вводя величины  $x = d_1/d_2$ ,  $x_1 = d_1/d_0$ ,  $x_2 = d_2/d_0$  из (7) и (10), получаем полную потенциальную энергию, отнесенную к одной частице

$$U(d_1, x_1, x_2) = \frac{e^2}{d_0} \left\{ -\frac{1}{x_2} \left[ \frac{1}{2} a - \sum_{l=1}^{n_1-1} 2(-1)^l (1 - \alpha_1 l) \times \right. \right. \\ \left. \left. \times \sum_p v_p^{(0)} \frac{e^{-\pi l x \sqrt{p}}}{\sqrt{p}} \right] + \frac{k}{9 \cdot 6} \frac{1}{x_2^9} \left[ 2 + (1 - d_1) \frac{1}{x_2^9} \right] \right\}, \quad (11)$$

числа  $p$  и  $v_p^{(0)}$  определены формулой:

$$v_p^{(0)} = \sum_{\substack{m_1, m_2 \\ m_1^2 + m_2^2 = p}} 1. \quad (12)$$

Уравнения равновесия найдутся из условий минимума энергии относительно  $x$  и  $x_2$ . Беря частные производные по  $x$  и  $x_2$  от (11), получаем

$$\frac{1}{2} a - \sum_{l=1}^{n_1-1} 2(-1)^l \cdot (1 - l\alpha_1) \sum_p v_p^{(0)} \frac{e^{-\pi l x \sqrt{p}}}{\sqrt{p}} - \\ - \frac{k}{6} \frac{1}{x_2^8} \left[ 2 + (1 - \alpha_1) \frac{1}{x_2^9} \right] = 0; \quad (13)$$

$$- \sum_{l=1}^{n_1-1} 2n(-1)^l l (1 - l\alpha_1) \sum_p v_p^{(0)} e^{-\pi l x \sqrt{p}} - \frac{k}{6} \frac{1}{x_2^8} (1 - \alpha_1) \frac{1}{x_2^{10}} = 0.$$

Решение этой системы уравнений целесообразно искать в виде рядов  $\alpha_1$ . Заметим, что ввиду быстрого уменьшения функций  $e^{-\pi l x \sqrt{p}}$  с ростом  $l$  суммирование по  $l$  в (13) можно распространить до бесконечности. Подставляя в (13) предполагаемые решения  $x = x(\alpha_1)$ ,  $x_2 = x_2(\alpha_1)$  и дифференцируя полученные тождества по  $\alpha_1$ , а затем полагая в (13) первых и вторых производных от (13)  $\alpha_1 = 0$ , получаем две системы линейных уравнений относительно  $(dx/d\alpha_1)_0$ ,  $(dx_2/d\alpha_1)_0$  и  $(d^2x/d\alpha_1^2)_0$ ,  $(d^2x_2/d\alpha_1^2)_0$ , решая которые последовательно, находим

$$x_1 = x x_2 = 1 + 0,02100 \alpha_1 + 0,02336 \alpha_1^2 + \dots, \quad (14) \\ x_2 = 1 - 0,05900 \alpha_1 + 0,01590 \alpha_1^2 + \dots$$

Бесконечно длинный стержень квадратного сечения. Рассмотрим кристалл в форме бесконечно длинного стержня квадратного сечения, ограниченного плоскостями (100) и содержащего ионов в поперечном сечении.

Электростатическая энергия системы может быть подсчитана, как сумма электростатических взаимодействий нейтральных ионных цепочек,

направленных вдоль стержня и взаимодействий ионов внутри каждой цепочки. Таким образом электростатическая энергия равна

$$\frac{1}{2} \sum_{i=1}^{n_2^2} \sum_{i'=1}^{n_2^2} f(r_{ii'}),$$

где  $f(r_{ii'})$  — энергия взаимодействия цепочек с номерами  $i$  и  $i'$ , находящихся на расстоянии  $r_{ii'}$ .

Обозначая через  $d_1$  кратчайшее расстояние между частицами вдоль стержня, а через  $d_2$  — кратчайшие расстояния в поперечных направлениях, получаем

$$f(0) = -\frac{Ne^2}{d_1} 2 \ln 2.$$

Используя далее выражение для потенциала нейтральной цепочки имеем

$$f(r_{ii'}) = \frac{4e_i e_{i'}}{d_1} N \sum_{l=1}^{\infty} K_0 \left[ n(2l-1) \frac{r_{ii'}}{d'} \right].$$

В этих выражениях  $N$  — число частиц вдоль ребер стержня,  $e_i e_{i'}$  — произведение зарядов взаимодействующих цепочек, взятых в любом поперечном сечении стержня.

Для проведения суммирования по  $i$  и  $i'$  в (15), заметим, что

$$r_{ii'} = d_2 \sqrt{l_1^2 + l_2^2},$$

где  $l_1$  и  $l_2$  — целые положительные числа, и что  $e_i e_{i'} = (-1)^{l_1+l_2}$ . Число взаимодействующих цепочек, находящихся на расстоянии  $d \sqrt{p}$ , где  $p = l_1^2 + l_2^2$ , в результате расчетов оказывается равным

$$v_p(n_2) = \sum_{\substack{l_1 \geq l_2 \\ l_1^2 + l_2^2 = p}} \frac{8(n_2 - l_1)(n_2 - l_2)}{[1 + \delta(l_2)][1 + \delta(l_1 - l_2)]},$$

где  $\delta(x) = 0$  при  $x \neq 0$  и  $\delta(0) = 1$ . Для удобства дальнейших расчетов  $v_p(n_2)$  удобно представить в виде

$$v_p(n_2) = n_2^2 \left[ v_p(0) + v'_p(0) \alpha_2 + \frac{1}{2} v''_p(0) d_2^2 \right],$$

где  $v_p(0)$ ,  $v'_p(0)$  и  $v''_p(0)$  определяются из (18),  $\alpha_2 = 1/n_2$ .

Имея в виду (15) — (19), получаем электростатическую энергию системы

$$\frac{e^2 N}{d_1} \left\{ -n_2^2 \ln 2 + \frac{1}{2} \sum_p (-1)^p v_p(n_2) V \left( \sqrt{p} \frac{d_2}{d_1} \right) \right\},$$

где

$$V(y) = 4 \sum_{l=1}^{\infty} K_0 [\pi(2l-1)y].$$

Энергия сил отталкивания в соответствии с (18) будет равна

$$\frac{e^2 k d_0^3}{6 \cdot 9 d_1^9} N \left[ n_2^3 + 2n_2(n_2 - 1) \left( \frac{d_1}{d_2} \right)^9 \right].$$

Введя далее обозначения  $x_1 = d/d_0$ ,  $x_2 = d_2/d_0$ ,  $x = d_2/d_1$ , получим энергию системы, рассчитанную на одну частицу

$$U(\alpha_2, x_1, x_2) = \frac{e^2}{d_0} \left[ \frac{1}{x_1} \left\{ -\ln 2 + \frac{1}{2} \sum_p (-1)^{p_{vp}}(\alpha_2) V(\sqrt{px}) \right\} + \right. \\ \left. + \frac{k}{6.9} \frac{1}{x_1^9} \left[ 1 + 2(1 - \alpha_2) \frac{1}{x^9} \right] \right],$$

то уравнения равновесия запишутся в виде

$$\ln 2 - \frac{1}{2} \sum_p (-1)^{p_{vp}}(\alpha_2) V(\sqrt{px}) - \frac{k}{6} \frac{1}{x_1^9} \left[ 1 + 2(1 - \alpha_2) \frac{1}{x^9} \right] = 0; \quad (20)$$

$$\frac{1}{2} \sum_p (-1)^{p_{vp}}(\alpha_2) \frac{dV(\sqrt{px})}{dx} - \frac{k}{3} \frac{1}{x_1^9} (1 - \alpha_2) \frac{1}{x^{10}} = 0.$$

Аналогичные уравнения так же, как и в предыдущем случае, получаем

$$\begin{aligned} x_1 &= 1 + 0,11797 \alpha_2 - 0,00028 \alpha_2^2 + \dots, \\ x_2 &= x x_1 = 1 - 0,03802 \alpha_2 + 0,00990 \alpha_2^2 + \dots \end{aligned} \quad (21)$$

**Прямоугольный параллелепипед.** Разобранные выше случаи дают возможность найти решение уравнений равновесия для кристалла, имеющего форму прямоугольного параллелепипеда, ограниченного плоскостями (100). Пусть  $n_1, n_2, n_3$  — числа ионов на трех ребрах параллелепипеда. Искомые параметры задачи — ребра элементарной ячейки  $d_1, d_2, d_3$  должны быть функциями  $n_1, n_2, n_3$ . Запишем решения в виде разложений в ряды по  $\alpha_i = 1/n_i$ .

Учитывая симметрию задачи, имеем

$$\begin{aligned} x_1 &= 1 + a_1 \alpha_1 + a_2 (\alpha_2 + \alpha_3) + a_3 \alpha_1^2 + \\ &+ a_4 (\alpha_2^2 + \alpha_3^2) + a_5 \alpha_2 \alpha_3 + a_6 (\alpha_1 \alpha_3 + \alpha_1 \alpha_2) + \dots, \end{aligned} \quad (22)$$

$x_2, x_3$  получаются путем циклической перестановки значков у  $\alpha_i$ . Подставляя в (22) конкретные значения  $\alpha_i$  в соответствии с выше рассмотренными случаями, из сравнения (22) с (6), (14), (21) получаем коэффициенты  $a_i$ .

$$\begin{aligned} a_1 &= 0,02100; \quad a_3 = 0,2336; \quad a_5 = -0,03208; \\ a_2 &= -0,05900; \quad a_4 = 0,01590; \quad a_6 = -0,02936. \end{aligned} \quad (23)$$

Заметим, что для определения  $a_1$  и  $a_2$  достаточно воспользоваться либо (6), либо (21), а для определения  $a_3, a_4, a_5, a_6$  необходимо использовать (21) и (22).

Результаты, полученные при рассмотрении кристалла в форме куба, дают возможность провести проверку правильности расчетов.

### ОБСУЖДЕНИЕ РЕЗУЛЬТАТОВ

Как легко заметить из (22), общее изменение линейных размеров кристалла, связанное с его ограниченностью, составляет от 5 до 10% от постоянной решетки  $d_0$ . Имея в виду, что изменение межплоскостных расстояний у поверхности составляет меньшую на порядок величину (0,5% от  $d_0$ ), следует признать, что использованное нами пренебрежение поверхностным эффектом вполне законно и полученные результаты, хотя бы естественно, правильно отражают особенности точного решения рассматриваемой задачи. Из (22) следует, что ограниченный кристалл NaCl не будет деформирован напряжениями, не меняющими орторомбической симметрии элементарной ячейки по сравнению с бесконечным кристаллом. Можно формально по изменениям параметров элементарной ячейки  $d_0$  определить соответствующие компоненты напряжений.

Уравнения равновесия бесконечной решетки NaCl, находящейся под действием напряжений, не меняющие орторомбической симметрии элементарной ячейки, запишутся в виде (см., например, [6]):

$$\frac{X_{ii}}{p_0} = -\frac{1}{6} \frac{S_1^{(0)}}{x_i^3} + \frac{1}{2} [ii]_3 \quad (i = 1, 2, 3), \quad (2)$$

где  $X_{ii}$  — напряжения  $S_1^{(0)} = k$ ,  $p_0 = \frac{e^2}{d_0^4}$ ,

$$[ii]_3 = \sum \frac{(-1)^{l_1+l_2+l_3+1} l_1^2 l_2^2}{[x_1^2 l_1^2 + x_2^2 l_2^2 + x_3^2 l_3^2]^3}.$$

Предполагая деформацию малой, можно провести разложение правых частей уравнений (24) в ряд по  $\Delta x_i$  около значений  $x_i = 1$ . В результате, ограничиваясь линейными членами разложения, получим

$$\frac{X_{ii}}{p_0} = \frac{4}{3} (S_1^{(0)} + 3S_5^{(11)}) \Delta x_i - \frac{3}{2} S_5^{(11)} (\Delta x_1 + \Delta x_2 + \Delta x_3 - \Delta x_i), \quad (3)$$

где

$$S_5^{(11)} = \sum_l \frac{(-1)^{l_1+l_2+l_3+1} l_1^2 l_2^2}{(l_1^2 + l_2^2 + l_3^2)^{3/2}}$$

— обычная кулоновская сумма. Подставляя в (25) (22), находим зависимость введенных нами фиктивных напряжений от размеров кристалла

$$\frac{X_{ii}}{p_0} = -0,0067 \alpha_i - 0,1097 (\alpha_1 + \alpha_2 + \alpha_3 - \alpha_i).$$

Для NaCl ( $d_0 = 2,8 \text{ \AA}$ ) имеем  $p_0 = 4000 \text{ кг/мм}^2$ .

В разобранный выше случае куба ( $\alpha_1 = \alpha_2 = \alpha_3 = \alpha$ )

$$X_{11} = X_{22} = X_{33} = -0,2261 p_0 \alpha,$$

т. е. ограниченный кристалл как бы находится под действием всестороннего сжимающего напряжения, при  $n=100$  это напряжение равно  $9 \text{ кг/мм}^2$ . Для бесконечной плиты ( $\alpha_1 = \alpha$ ,  $\alpha_2 = \alpha_3 = 0$ ):

$$X_{11} = -0,0067 p_0 \alpha; \quad X_{22} = X_{33} = -0,1097 p_0 \alpha.$$

Таким образом в этом случае напряжение сжатия действует со стороны бесконечно удаленных граней. Для бесконечно длинного стержня

$$(\alpha_1 = 0, \alpha_2 = \alpha_3 = \alpha):$$

$$X_{11} = -0,21940 p_0 \alpha; \quad X_{22} = X_{33} = -0,1165 p_0 \alpha,$$

т. е. на стержень со всех сторон действуют напряжения сжатия, величина компонента напряжения в продольном направлении в 2 раза больше, чем в поперечных направлениях.

Попробуем дать полученным результатам наглядное объяснение. Если выделить мысленно из бесконечного кристалла некоторую ограниченную область, то частицы этой области будут занимать свои прежние положения равновесия только в том случае, если заменить силы взаимодействия частиц выделенной области с внешними частицами равными по величине силами. Чтобы перейти к рассмотрению свободного ограниченного кристалла, необходимо приложить к частицам выделенной области силы, компенсирующие действие вышеуказанных сил. Таким образом задача об исследовании свойств ограниченного кристалла может быть сведена к задаче о бесконечном кристалле, в некоторой выделенной области которого к частицам приложены силы, равные по величине, но противоположные по направлениям, силам взаимодействия каждой из частиц со всеми частицами, находящимися вне области.

Рассмотрим кристалл типа NaCl, ограниченный плоскостями (100). Для этого из бесконечного кристалла плоскостью  $AA'$  область  $IV$  (рисунк). В этом случае мы должны к частицам в  $I+IV$  приложить силы  $F_1, F_2, \dots$ . Эти силы, как мы покажем расчетами, быстро убывают в зависимости от расстояния от плоскости раздела. Очевидно, что общая сумма сил, действующих на частицы, далекие от плоскости, будет  $F = \sum_{i=1}^{\infty} F_i$ . Используя условие равновесия бесконечного кристалла, легко показать, что  $F=0$ . Если теперь от кристалла  $I+IV$  по плоскости  $BB'$  часть  $IV$ . Эту операцию можно рассматривать состоящей из двух этапов: отделение частей  $III$  и  $IV$  и соединение вновь части  $III$  кристалла. Первый этап операции приводит к силам  $F_1, F_2, \dots$ , второй — к силам  $\Phi_1, \Phi_2, \dots$ , действующим в окрестности ребра и к силам взаимодействия каждой из частиц части  $I$  с частицами части  $IV$ . Эти силы распределяются определенным образом по всей части  $I$  кристалла. Аналогичные рассуждения приводят к силам, возникающим в окрестностях углов кристалла.

Первая часть сил, действующих в окрестностях плоскостей кристалла, из-за того что  $F=0$ , может привести только к некоторым искажениям в расположении частиц, близких к поверхностям. Ребровая часть сил (силы  $\Phi_i$ ) вызывает, очевидно, искажения в окрестностях ребер, однако, ввиду того что их общая сумма равна нулю, они приводят также к общей деформации выделенной области. Предполагая, что распределение сил между частицами в областях, удаленных от границ, почти равномерно, т.е., зная общую сумму сил  $\Phi_i$ , оценить напряжение, действующее на кристалл. Если  $T$  — проекция общей суммы сил  $\Phi_i$  на одно из перпендикулярных ребру направлений, рассчитанная на единицу длины ребра, то сумма всех ребровых сил, перпендикулярных грани кристалла, содержащей  $n_i n_k$  частиц, будет  $(2n_i + 2n_k) d_0 T$ , откуда напряжения, приложенные к граням прямоугольного параллелепипеда, запишутся в виде

$$X_{ii} = \frac{2T}{d_0} (\alpha_1 + \alpha_2 + \alpha_3 - \alpha_i). \quad (27)$$

Угловая часть сил приводит, очевидно, к поправкам следующего порядка малости. Вычисление  $T$  не представляет особого труда, так как силы кулоновского взаимодействия между нейтральными цепочками быстро спадают с расстоянием, силы же некулоновского взаимодействия при приближении ближайших соседей отсутствуют. Расчеты, проведенные Гольдсоном [4] для кулоновской части  $T$ , дают

$$T = -0,4386 \frac{e^2}{(2d_0)^3},$$

уда

$$\frac{2T}{d_0} = -0,1098 p_0.$$

Сравнение (26) и (27) показывает, что введенное представление о ребровых силах, приводящее к сжатию ограниченного кристалла, по сравнению с бесконечным кристаллом, качественно оправдывается.

Силы  $T$  Никольсон называет силами поверхностного натяжения, считывая их для ионных кристаллов  $\text{NaCl}$  и  $\text{MgO}$ , он, исходя из предположений о равномерном распределении сил по кристаллу, находит при помощи закона Гука соответствующие изменения постоянной решетки, связанные с ограниченностью кристалла.

Расчеты, проведенные в данной работе, подтверждают представления Никольсона о поверхностном натяжении. Необходимо, однако, иметь в виду, что оценка постоянных ограниченного кристалла, проведенная в данной работе и в [4], является весьма приближенной. Весьма вероятно, что поверхностные искажения, связанные в первую очередь с условиями равновесия в окрестности ребер и углов, настолько велики, что преобладают ими, или предположение Никольсона о равномерном распределении ребровых сил, оправдывается лишь для очень больших кристаллов, для которых объемный эффект пренебрежимо мал. Поэтому необходимо рассмотреть задачу о равновесии ограниченного кристалла с учетом поверхностных искажений.

Расчеты показали, что учет рассматриваемого нами объемного эффекта приводит к пренебрежимо малым поправкам при вычислении поверхностной энергии.

### ВЫВОДЫ

1. В результате исследования уровней равновесия ограниченного ионного кристалла  $\text{NaCl}$  получено, что величина и форма элементарной ячейки кристалла зависят от его размеров.
2. Полученная зависимость постоянной решетки для случая кристалла в форме куба от его размеров полностью подтверждает представления Никольсона [4] о поверхностном натяжении.
3. При вычислении поверхностной энергии ограниченного кристалла с учетом зависимости постоянной решетки от размеров кристалла привносимые поправки пренебрежимо малы.

Сибирский физико-технический институт  
Томск

Поступила  
10. VII. 1955

### ЛИТЕРАТУРА

1. Madelung, Phys. Zs., 20, 494, 1919.
2. Глауберман, Журн. физ. химии, 23, 124, 1949.
3. Lennard-Jones and Dent, Proc. Roy. Soc. A121, 247, 1928.
4. Nicolson, Proc. Roy. Soc. A228, 490, 1955.
5. Christov, Ann. Phys., 15, 112, 1956.
6. Жданов, Кудрявцева и Привалова, Труды СФТИ, вып. 236, 1955.

### ON THE THEORY OF FINITE CRYSTALS OF THE $\text{NaCl}$ TYPE

V. F. Conusov (Tomsk)

#### Summary

An investigation has been made of crystals of the  $\text{NaCl}$  type restricted by (100) planes. The dimensions of the elementary lattice cell depend upon those of the whole crystal. The results are in complete agreement with Nicolson's surface tension conception. The lattice volume effect has practically no influence on the surface energy.

## ТЕРМОДИНАМИКА КРИСТАЛЛОВ

## I. ОБОБЩЕНИЕ ПРИНЦИПА ГИББСА—КЮРИ

О. М. Полторак

в термодинамике кристаллической решетки основным является вопрос о зависимости термодинамической активности кристаллов от их строения. Эта проблема имеет несколько аспектов, связанных с рассмотрением как равновесно образованных, так и неравновесных кристаллов. Здесь возникают вопросы о влиянии свойств вещества, расположенного на поверхности кристаллов с различными равновесными формами, на их термодинамические свойства и, в частности, на их химический потенциал. Подобные вопросы обычно рассматриваются на основе принципа Гиббса — Кюри\*. При этом найдено [1—4], что для кристаллов, поверхностная свободная энергия которых минимальна, ответ на упомянутые выше вопросы формулируется уравнением

$$\Delta\mu = \frac{2}{3} F_{\Omega}^{(m)} = \frac{2\sigma_i V^{(m)}}{r_i}, \quad (1)$$

откуда следует, что для всех граней равновесной формы кристалла

$$\frac{\sigma_i}{r_i} = \text{const}. \quad (2)$$

Уравнение (2) определяет внешний вид равновесного кристалла. Здесь  $\mu_r - \mu_{\infty}$  — повышение химического потенциала кристаллов заданного размера ( $\mu_r$ ) по сравнению с бесконечно большими ( $\mu_{\infty}$ );  $F_{\Omega}^{(m)}$  — поверхностная свободная энергия граней одного моля кристаллов;  $V^{(m)}$  — молярный объем;  $\sigma_i$  — удельная поверхностная свободная энергия  $i$ -ых граней;  $r_i$  — расстояние по нормали от центра тяжести кристалла до  $i$ -й грани.

Эти результаты могут быть обобщены в двух отношениях. Во-первых, результаты ограничиваются рассмотрением только одной, наиболее устойчивой формы кристалла, для которой величина  $F_{\Omega}$  минимальна, так как в природе мы чаще всего имеем дело с кристаллами неидеальных форм. Во-вторых, с самого начала следует учитывать сложность строения кристаллической поверхности, что, даже для равновесных форм, приводит к необходимости учета не только граней, но и ребер кристаллов.

При термодинамическом рассмотрении систем, находящихся в механическом ( $P = \text{const}$ ) и термическом ( $T = \text{const}$ ) равновесии с окружающей средой, условие равновесия наиболее просто выражается через термодинамический потенциал  $Z$  ( $U - TS + PV$ ), молярное значение которого для данного вещества, взятого в виде «большого» объема, является химическим потенциалом. Наиболее общей термодинамической формулировкой условия равновесия является утверждение, что при  $P = \text{const}$  и  $T = \text{const}$  в условиях равновесия величина  $Z$  для системы [кристалл + расплав (или пар)] имеет минимальное (в нашем случае метастабильного равновесия — максимальное, см. ниже) значение. Ниже будет показано, что это приводит к результатам, более общим, чем при обычном использовании принципа Гиббса — Кюри.

Согласно которому равновесная конфигурация кристалла определяется из условия минимальности его свободной энергии.

Для решения вопроса о зависимости термодинамической активности от строения различного типа равновесных кристаллов, необходимо найти величину

$$\Delta\mu = \mu_r - \mu_\infty > 0.$$

Для этого представим термодинамический потенциал кристалла  $Z$  в виде суммы членов, относящихся к его поверхности  $Z_S$  и объем

$$Z_{\text{крист}} = Z_V + Z_S = Z_V + Z_\Omega + Z_l.$$

Отметим здесь, что величины  $Z_S$  и  $F_S$  ( $F \equiv U - TS$ ) совпадают, так они отнесены не к объему тонкого поверхностного слоя, в котором физически сосредоточен избыток поверхностной энергии и энтропии, а непосредственно к величине поверхности, в связи с чем слагаемое  $P$  играет роли. Поэтому в дальнейшем мы не будем делать различия между этими величинами.

Примем обозначения:  $\Omega$  — площадь,  $\Omega_i$  — площадь,  $i$ -й грани,  $\tau_k$  — удельная ([энергия]/[длина]) поверхностная свободная энергия  $k$ -го ребра,  $l_k$  — длина  $k$ -го ребра.

Очевидно, что изменение термодинамического потенциала системы при образовании из расплава или пара кристалла, содержащего  $n$  молекул вещества, связано с изменением  $Z$  за счет образования объема и поверхности кристалла и равно

$$\Delta Z = \Delta Z_V + Z_\Omega + Z_l = (Z_V^{(m)'} - Z_V^{(m)''})n + \sum \sigma_i \Omega_i + \sum \tau_k l_k.$$

Здесь и в дальнейшем штрих относится к кристаллу, два штриха к расплаву или пару, а индекс  $(m)$  означает, что данная величина относится к одному молю вещества,  $Z_V^{(m)'}$  — молярное значение  $Z$  для объема кристалла, т. е. для достаточно крупных кристаллов, когда долей вещества на поверхности можно пренебречь. Другими словами,

$$Z_V^{(m)'} = \mu_\infty,$$

$Z_V^{(m)''}$  — молярное значение  $Z$  для переохлажденного расплава (или «сжатого» пара), находящегося в равновесии с данными кристаллами. Так как при равновесии химические потенциалы равны, то численно

$$Z_V^{(m)''} = \mu_r.$$

Из (5) и (6) следует, что искомая величина

$$\Delta\mu = Z_V^{(m)''} - Z_V^{(m)'}$$

Поэтому вместо (4) можно записать

$$\Delta Z = -\Delta\mu n + \sum \sigma_i \Omega_i + \sum \tau_k l_k.$$

Для определения  $\Delta\mu$  воспользуемся тем, что при равновесии свободная энергия  $Z$  экстремальна и вариация массы кристалла не должна менять термодинамического потенциала

$$\delta\Delta Z = 0,$$

где варьированию подлежит масса, а следовательно, и размеры кристалла (для равновесных или квазиравновесных форм; для неравновесных кристаллов положение сложнее).

Если через  $r$  обозначить пока произвольный параметр линейного размера кристалла, то из общих соображений размерности следует

$$n = \frac{V'}{V^{(m)'}} = \frac{Ar^3}{V^{(m)'}};$$

$$\Omega_i = B_i r^2;$$

$$l_k = C_k r.$$

$A, B_i, C_k$  — постоянные коэффициенты, зависящие от выбора  $r$  и  $n$  кристалла.

Из общего условия (8), уравнения (7) и соотношений (9) — (11) следует

$$\left(\frac{\partial \Delta Z}{\partial r}\right)_{r=r_0} = -\frac{3Ar_0^2}{V^{(m)}} \Delta\mu + 2\Sigma\sigma_i B_i r_0 + 1\Sigma\tau_k C_k = 0. \quad (12)$$

Здесь существенно, что в (12) множители 3, 2 и 1 соответствуют измерениям объема, площади и длины, но не зависят ни от каких предположений о свойствах кристаллов. Умножив обе части (12) на  $r_0$  (значение  $r$  для равновесных кристаллов), получим

$$3\frac{Ar_0^3}{V^{(m)}} \Delta\mu + 2\Sigma\sigma_i B_i r_0^2 + \Sigma\tau_k C_k r_0 = (-3\Delta\mu n + 2\Sigma\sigma_i \Omega_i + \Sigma\tau_k l_k)_{r=r_0} = 0.$$

Через  $\Sigma^{(m)}$  обозначить знак суммирования по всем граням или ребрам одного моля кристалликов с линейным размером  $r = r_0$ , то полученное соотношение можно переписать в виде

$$3\Delta\mu = 2\Sigma^{(m)} \sigma_i \Omega_i + \Sigma^{(m)} \tau_k l_k \quad (13)$$

$$\Delta\mu = \frac{2}{3} \Sigma^{(m)} \sigma_i \Omega_i + \frac{1}{3} \Sigma^{(m)} \tau_k l_k = \frac{2}{3} Z_\Omega^{(m)} + \frac{1}{3} Z_l^{(m)}.$$

решена первая часть поставленной выше задачи. Параметром, однозначно определяющим термодинамическую активность  $a$  вещества при любых химических и фазовых равновесиях, является его химический потенциал. При заданной температуре кристаллы с различной дисперсией и типом ограничения имеют различную активность, которую можно вычислить по уравнению

$$\Delta\mu = RT \ln \frac{a_r}{a_\infty} = \frac{2}{3} Z_\Omega^{(m)} + \frac{1}{3} Z_l^{(m)} \quad (14)$$

если известна общая поверхностная свободная энергия ( $Z_S$ ) и величина  $Z_\Omega$  или  $Z_l$ , то из  $Z_S = Z_\Omega + Z_l$  и (14) следует

$$\Delta\mu = \frac{2}{3} Z_S^{(m)} - \frac{1}{3} Z_l^{(m)} = \frac{1}{3} Z_S^{(m)} + \frac{1}{3} Z_l^{(m)}. \quad (15)$$

Получим, что уравнение (13), обобщающее уравнение (1), получено для кристаллов довольно общего типа — оно справедливо независимо от того, является ли кристалл геометрически правильным многогранником или он представляет собой только аналог подобной структуры. В реальных системах численное значение  $Z_S$ , так же как и соотношение между  $Z_\Omega$  и  $Z_l$ , может отличаться от соответствующих данных для идеализированных кристаллов, но при этом, если только все линейные размеры кристалла растут взаимно пропорционально

$$\Delta\mu = \frac{2}{3} Z_\Omega^{(m)} + \frac{1}{3} Z_l^{(m)}.$$

и же множителями  $2/3$  и  $1/3$ , отражающими соотношения размерностей. При анализе вопросов образования и роста кристаллов необходимо рассмотреть работу их образования из пересыщенного расплава или пара. Эту работу можно найти из уравнения (7), записанного в виде

$$\Delta Z^{(m)} = Z_S^{(m)} - \Delta\mu. \quad (16)$$

тогда

$$\Delta Z^{(m)} = \frac{1}{3} Z_\Omega^{(m)} + \frac{2}{3} Z_l^{(m)} = \frac{1}{3} Z_S^{(m)} + \frac{1}{3} Z_l^{(m)}, \quad (17)$$

$$Z_S = Z_\Omega + Z_l = \Sigma\sigma_i \Omega_i + \Sigma\tau_k l_k.$$

До сих пор мы исследовали термодинамические свойства кристалла как целого. Чтобы определить внешний облик кристалла, необходимы полученные общие уравнения в явном виде ввести параметры, относящиеся к строению и свойствам его элементов — граней и ребер; тем самым встает задача обобщения уравнения (2). В качестве геометрических параметров удобно выбрать расстояния по нормали от центра тяжести кристалла до  $i$ -й грани ( $r_i$ ). Набор величин  $r_i$  однозначно определяет внешний облик кристалла, если он огранен поверхностями заданных кривизны. В этом случае однозначно определены и коэффициенты  $A$ ,  $B$ ,  $C$  [см. (9) — (11)]. Таким образом в уравнении

$$\Delta Z = -\Delta \mu n + \sum \sigma_i \Omega_i + \sum \tau_k l_k$$

величины  $n$ ,  $\Omega_i$  и  $l_k$  предстоит выразить через набор величин  $r_i$ . Объем кристалла  $V'$  всегда можно представить себе как сумму объемов пирамид, основаниями которых служат грани кристалла, а вершины лежат в центре тяжести. Связь между этими величинами следует из общих соотношений размерности

$$n = \frac{V}{V^{(m)'}} = \frac{1}{V^{(m)'}} \sum_{i=1}^{i=N} A_i r_i^3, \quad (12)$$

$$\Omega_i = B_i r_i^2, \quad (13)$$

$$l_k = C_{ki} r_i. \quad (14)$$

Здесь  $N$  — число граней кристалла, а коэффициенты  $A_i$ ,  $B_i$ ,  $C_{ki}$  находятся из геометрических соображений. Двойной индекс при  $C_{ki}$  связан с тем, что данная грань может иметь ребра различного типа. Если грани кристалла плоские, то в общем случае величины  $A_i$  и  $B_i$  связаны между собой простым соотношением

$$A_i = \frac{B_i}{3},$$

так как объем пирамиды равен одной трети произведения высоты на площадь основания  $B_i r_i^2$ . Для простейшего — кубического — кристалла все  $C_{ki} = 2$ , все  $B_i = 4$ , все  $A_i = 4/3$ .

Используя соотношения (12a) — (12b), уравнение (7) перепишем в виде

$$\Delta Z = \sum_{i=1}^{i=N} \left\{ -\Delta \mu \frac{A_i r_i^3}{V^{(m)'}} + \sigma_i B_i r_i^2 + \frac{1}{2} \sum_{k=1}^{k=M_i} \tau_{ki} C_{ki} r_i \right\},$$

где  $M_i$  — число ребер  $i$ -й грани, а множитель  $1/2$  введен в связи с тем, что каждое ребро принадлежит двум граням. Используя условие равновесия (8), получим, варьируя параметры  $r_i$

$$\sum_{i=1}^{i=N} \left\{ -\Delta \mu \frac{3A_i r_i^2}{V^{(m)'}} + 2\sigma_i B_i r_i + \frac{1}{2} \sum_{k=1}^{k=M_i} \tau_{ki} C_{ki} \right\} \delta r_i = 0.$$

Ввиду независимости вариаций  $\delta r_i$  это соотношение может иметь место только при условии, что для каждой из граней

$$-\Delta \mu \frac{3A_i r_i^2}{V^{(m)'}} + 2\sigma_i B_i r_i + \frac{1}{2} \sum_{k=1}^{k=M_i} \tau_{ki} C_{ki} = 0,$$

да, в общем случае

$$\Delta\mu = \frac{2\sigma_i V^{(m)'} B_i}{r_i 3A_i} + \frac{V^{(m)'} \sum_{k=1}^{k=M_i} \tau_{ki} C_{ki}}{3A_i 2r_i^2}, \quad (19)$$

для кристаллов с плоскими гранями, используя (18г)

$$\Delta\mu = \frac{2\sigma_i V^{(m)'}}{r_i} + \frac{V^{(m)'} \sum_{k=1}^{k=M_i} \tau_{ki} C_{ki}}{3A_i 2r_i^2}. \quad (20)$$

Если через

$$\varepsilon_i \equiv \frac{1}{2} \sum_{i=1}^{i=M_l} \tau_{ki} C_{ki} r_i$$

значить свободную энергию ребер  $i$ -й грани, то уравнения (19) и (20) можно представить в более компактном виде. В общем случае

$$\Delta\mu = \frac{2\sigma_i V^{(m)'} B_i}{r_i 3A_i} + \frac{\varepsilon_i}{3A_i r_i^3}, \quad (19a)$$

для кристаллов с плоскими гранями

$$\Delta\mu = \frac{2\sigma_i V^{(m)'}}{r_i} + \frac{\varepsilon_i}{3A_i r_i^3}. \quad (20a)$$

Так как величина  $\Delta\mu$  характеризует кристалл в целом, то для каждого его граней в общем случае должно соблюдаться условие

$$\frac{2\sigma_i B_i}{r_i A_i} + \frac{\varepsilon_i}{r_i^2 A_i} = \text{const}', \quad (21)$$

для кристаллов с плоскими гранями

$$\frac{2\sigma_i}{r_i} + \frac{\varepsilon_i}{r_i^2 3A_i} = \text{const}''. \quad (22)$$

Уравнение (22) является обобщением (2) и переходит в него, если пренебречь свободной энергией ребер кристаллов.

Приведенные выше уравнения довольно громоздки, но в конкретных случаях они могут значительно упрощаться. Например, для кубических кристаллов, все грани которых одинаковы,  $l = 2r$ , все  $A_i = 4/3$ ,  $C_{ik} = 2$ ,  $\varepsilon_i = 4$  и по уравнению (20)

$$\Delta\mu = \frac{4\sigma V^{(m)}}{l} + \frac{4\tau V^{(m)}}{l^2}.$$

Общая площадь поверхности одного поля кристалликов, число которых равно  $V^{(m)}/l^3$ , составляет

$$6l^2 \frac{V^{(m)}}{l^3} = \frac{6V^{(m)}}{l},$$

общая длина ребер

$$12l \frac{V^{(m)}}{l^3} = \frac{12V^{(m)}}{l^2}$$

и, таким образом, в согласии с приведенными выше общими уравнениями

$$\Delta\mu = \frac{4\sigma V^{(m)}}{l} + \frac{4\tau V^{(m)}}{l^2} = \frac{2}{3} \frac{6V^{(m)}\sigma}{l} + \frac{1}{3} \frac{12V^{(m)}\tau}{l^2} = \frac{2}{3} Z_{\Omega}^{(m)} + \frac{1}{3} Z_l^{(m)}$$

Если через  $p_r$  обозначить упругость пара (летучесть) кристаллов, раз которых определяется величинами  $r_i$ , а через  $p_{\infty}$  — ту же величину бесконечно больших кристаллов, то, учитывая, что химический потенциал пара  $\mu = \mu_0 + RT \ln p$ , уравнение (20а) можно переписать в виде

$$RT \ln \frac{p_r}{p_{\infty}} = \frac{2\sigma_i V^{(m)'}}{r_i} + \frac{\varepsilon_i V^{(m)'}}{3A_i r_i^3}.$$

Это соотношение является обобщением известного уравнения Гиббса — Томсона

$$RT \ln \frac{p_r}{p_{\infty}} = \frac{2\sigma_i V^{(m)'}}{r_i},$$

которое можно получить тем же методом при  $\Sigma \sigma_i \Omega_i \gg \Sigma \tau_k l_k = \Sigma \varepsilon_k$ .

Однако это неравенство соблюдается только тогда, когда вообще можно пренебречь ролью поверхностной энергии кристалла, в связи с чем должны считать уравнение Гиббса — Томсона существенно (функционально) неточным, так как оно наименее точно в области малых  $r$ , к величина  $\Delta\mu$  имеет наибольшее значение.

### ОБСУЖДЕНИЕ РЕЗУЛЬТАТОВ

Полученные здесь результаты сформулированы в виде уравнений (13), (14), (17), (19) — (22). Их предстоит обсудить с двух точек зрения. Во-первых, следует выяснить, в какой мере область их применимости шире, чем уравнений, полученных при использовании принципа Гиббса — Томсона. Во-вторых, ввиду иной функциональной зависимости термодинамических функций от размера кристаллов, необходимо выделить те случаи, когда неучет реберной энергии приводит к существенной ошибке.

Согласно смыслу принципа Гиббса — Кюри, уравнения типа (1) — (2) выведены для единственной наиболее устойчивой формы ограниченных кристаллов, поверхностная свободная энергия которых минимальна. В отличие от этого (13) — (22) получены из условия экстремальности (здесь — максимальной) полного термодинамического потенциала системы, держащей кристаллы и расплав или пар. Физический смысл и разность этих положений ясны из следующего.

Если в равновесии с расплавом или паром находятся кристаллы с линейным размером  $r = r_0$ , то это означает, что как меньшие ( $r < r_0$ ) так и большие кристаллики ( $r > r_0$ ) неустойчивы, т. е. самопроизвольно с уменьшением свободной энергии первые растворяются, а вторые растут. Но это и есть условие максимальной  $Z$  для системы при разном числе кристаллов  $r = r_0$ . Гиббс [1] первый установил этот факт, положив в дальнейшем Фольмером [5] в основу теории роста кристаллов, однако при этом все результаты обычно получаются для кристаллов с минимальной поверхностной свободной энергией, которые и являются наиболее устойчивыми.

Здесь мы хотим обратить внимание на то, что общий максимум термодинамического потенциала системы может достигаться не только для кристаллов с минимальной величиной  $Z_S$ , но и для любых других кристаллов, для которых совокупность условий (21а)

$$\frac{B_i}{A_i} \frac{2\sigma_i}{r_i} + \frac{\varepsilon_i}{A_i r_i^3} = \text{const}, \quad i = 1, \dots, N,$$

определяет структуру замкнутого многогранника. При этом, если величина  $Z_i$  для данных  $l_i$  меняется непрерывно, то ограничение всех типов кристаллов, кроме тех, для которых  $Z_S$  минимально, оказывается неустойчивым, но если возможно несколько различных значений  $Z_S$ , то кристаллы могут находиться в метастабильном равновесии, и без затраты работы возможна перестройка их поверхности с образованием наиболее устойчивой формы ограничения, для которой  $Z_S$  минимальна. Здесь также следует подчеркнуть, что наблюдаемое на опыте образование неплоских граней может быть учтено как в (13), так и в (21), но не в (1) или (2). Это обстоятельство значительно увеличивает число структур, доступных термодинамическому анализу, так как оказывается возможным рассматривать не только геометрически правильные многогранники, но и их аналоги, полученные деформациями.

Основным ограничением, принимаемым при выводе уравнений типа (1) — (21), так же как и (1) или (2), является предположение о том, что при росте или растворении кристалла все его ребра и грани растут или уменьшаются пропорционально друг другу.

Рассмотрим теперь вопрос об обязательности коррективов на свободную энергию ребер. Поскольку эта поправка максимальна при минимальных  $l_i$  ее во всяком случае необходимо учитывать при разборе вопросов возникновения и роста кристаллов. Термодинамический эффект можно считать ясно выраженным, если  $\Delta\mu > 1$  ккал/моль. Для большинства кристаллов  $\sigma \sim 100-1000$  эрг·см<sup>-2</sup>. Из условия

$$\frac{2\sigma V^{(m)}}{r} > 1000 \text{ кал}$$

при  $V = 10$  см<sup>3</sup> и  $\sigma = 500$  эрг·см<sup>-2</sup> следует, что поверхностную энергию имеет смысл учитывать только для кристаллов с  $l < 50$  Å. Однако для полных кристаллов доля реберных атомов уже относительно велика. При размере частиц 2,5 Å для кубических кристалликов с ребром 50 Å она составляет  $1/10$ , а при  $l = 20$  Å —  $1/4$  от числа атомов поверхности. Из этих данных приближенных, но достаточно общих оценок можно сделать вывод, что реберную свободную энергию следует учитывать практически в тех же случаях, когда вообще имеет смысл учитывать вклад в термодинамические функции за счет поверхностной свободной энергии кристаллов.

### ВЫВОДЫ

При использовании вместо принципа Гиббса — Кюри общего условия экстремальности (здесь — максимальности) термодинамического потенциала равновесной системы, оказывается возможным исследовать не только стабильные формы ограничения, для которых поверхностная свободная энергия кристаллов минимальна, но и метастабильные формы, а также кристаллы, внешний облик которых не может быть отображен в виде геометрически правильных многоугольников с плоскими гранями. Учтен вклад в термодинамические функции за счет свойств вещества, расположенного вдоль ребер кристаллов. При этом установлено следующее:

1. Из соображений размерности следует, что повышение химического потенциала мелких кристаллов по сравнению с бесконечно большими  $\Delta\mu$  выражается через свободную энергию граней  $Z_\Omega^{(m)}$  и ребер  $Z_l^{(m)}$  по уравнению

$$3\Delta\mu = 2Z_\Omega^{(m)} + 1Z_l^{(m)},$$

где множители 3, 2 и 1 — число измерений объема, поверхности и длины.

2. Работа образования кристалла из расплава или пара  $\Delta Z$  определяется уравнением:

$$\Delta Z = \frac{1}{3} Z_{\Omega} + \frac{2}{3} Z_l.$$

3. Конфигурация кристалла в общем случае должна удовлетворять совокупности условий

$$\frac{B_i}{A_i} \frac{2\sigma_i}{r_i} + \frac{\varepsilon_i}{A_i r_i^3} = \text{const}', \quad i = 1, \dots, N,$$

а для кристаллов, ограниченных плоскими гранями

$$\frac{2\sigma_i}{r_i} + \frac{\varepsilon_i}{3A_i r_i^3} = \text{const}'', \quad i = 1, \dots, N,$$

где значение const одинаково для всех  $N$  граней,  $A_i$  и  $B_i$  — постоянные, определяющиеся геометрией кристалла,  $\varepsilon_i$  — энергия ребер  $i$ -ой грани. Остальные обозначения общепринятые.

4. Обобщенное уравнение Гиббса — Томсона имеет вид

$$RT \ln \frac{p_r}{p_{\infty}} = \frac{2\sigma_i V^{(m)'}}{r_i} \frac{B_i}{3A_i} + \frac{\varepsilon_i}{3A_i r_i^3}$$

(для кристаллов с плоскими гранями всегда  $B_i/3A_i = 1$ ).

5. Приведенные выше уравнения должны применяться практически тех же случаях, когда вообще имеет смысл учитывать поверхностную свободную энергию кристаллов.

Московский государственный университет  
им. М. В. Ломоносова

Поступила  
2.VIII.1956

#### ЛИТЕРАТУРА

1. Дж. В. Гиббс, Термодинамические работы, ГИТТЛ, 1950, стр. 400—421.
2. P. Curie, Bull. Soc. Min. d. France, 8, 145, 1885; Zs. f. Kristallogr. 651, 1887.
3. Ю. В. Вульф, К вопросу о скоростях роста и растворения кристаллических граней, Варшава, 1895.
4. В. К. Семенченко, Журн. физ. химии, 19, 298, 1945.
5. M. Volmer, Kinetik der Phasenbildung, Dresden, 1939.

#### I. THE THERMODYNAMICS OF THE CRYSTAL LATTICE GENERALISATION OF THE GIBBS-CURIE PRINCIPLE

O. M. Poltorak (Moscow)

#### Summary

The report considers the thermodynamics of the crystal lattice and shows that taking into account the free energy of substances located along the crystal edges the following obtains:

1. By the dimensions analysis is shown that the rise in the chemical potential of crystals is determined by the equation

$$3\Delta\mu = 2z_{\Omega}^{(m)} + 1z_l^{(m)},$$

where the factors 3, 2 and 1 are the numbers of dimensions of volume, surface and length.

2. The work of formation of crystals from its vapor or alloy is

$$\Delta Z = \frac{1}{3} Z_{\Omega} + \frac{2}{3} Z_l.$$

3. For the different faces of an equilibrium faced crystal in general case

$$\frac{B_i}{A_i} \frac{2\sigma_i}{r_i} + \frac{\varepsilon_i}{A_i r_i^3} = \text{const}, \quad i = 1 \dots N$$

For the crystals, faced by planes

$$\frac{2\sigma_i}{r_i} + \frac{\varepsilon_i}{3A_i r_i^3} = \text{const}, \quad i = 1 \dots N$$

4. An approximate treatment shows that the above formulas should be applied in practice in those cases when in general it is feasible to take into account the free surface energy of crystallites.

## ИЗМЕРЕНИЕ ЧИСЕЛ ПЕРЕНОСА КАТИОНОВ В РАСПЛАВЕ



В. И. Малкин, С. Ф. Хохлов и Л. А. Шварцман

В работе [1] нами была показана возможность использования метода радиоактивных ионов для определения относительной подвижности катионов в силикатных расплавах. При измерении чисел переноса катионов  $\text{Na}^+$  и  $\text{Ca}^{2+}$  в расплаве  $\text{Na}_2\text{O} \cdot \text{CaO} \cdot 4\text{SiO}_2$  найдено, что подвижность иона  $\text{Na}^+$ , обладающего вдвое меньшим по сравнению с ионом  $\text{Ca}^{2+}$  зарядом при одинаковом радиусе этих ионов, приблизительно в два раза больше подвижности иона  $\text{Ca}^{2+}$ .

Представляет определенный интерес измерение относительной подвижности в силикатном расплаве однозарядных катионов  $\text{Na}^+$  и  $\text{K}^+$ , радиусы которых заметно различаются между собой.

Для определения чисел переноса  $\text{Na}^+$  и  $\text{K}^+$  использовалась описанная ранее методика [2] с применением радиоизотопов  $\text{Na}^{24}$  и  $\text{K}^{42}$ . Состав расплава отвечал формуле  $\text{Na}_2\text{O} \cdot \text{K}_2\text{O} \cdot 4\text{SiO}_2$ .

Если применявшиеся в работе [1] радиоизотопы  $\text{Na}^{24}$  и  $\text{Ca}^{46}$  обладают тем соотношением энергий излучения и периодов полураспада, что позволяет возможность раздельного определения радиоактивности расплава по  $\text{Na}^{24}$  и  $\text{Ca}^{46}$  при одновременном присутствии в расплаве обоих радиоактивных изотопов, то такое раздельное определение по  $\text{Na}^{24}$  и  $\text{K}^{42}$  представляется весьма трудным. Учитывая это обстоятельство, часть опытов проводили с введением в расплав только радиоизотопа  $\text{Na}^{24}$ , в других случаях в расплав вводился только  $\text{K}^{42}$ .

Радиоактивность силиката измерялась счетчиком Б-2. При этом учитывался распад короткоживущих изотопов  $\text{Na}^{24}$  и  $\text{K}^{42}$  во время счета, радиоактивности всех проб при помощи соответствующих поправок приводились к активности первой пробы. Опыты проводились при  $950^\circ\text{C}$  в ячейке из  $\text{Al}_2\text{O}_3$ . Уравнения для расчета чисел переноса катионов по анодному транспорту в случае расплава  $\text{Na}_2\text{O} \cdot \text{K}_2\text{O} \cdot 4\text{SiO}_2$  [2] имеют следующий вид

$$x_{\text{Na}} = \frac{p_{\text{Na}} M_{\text{A}}}{k \mathcal{E}_{\text{Na}}} \left[ 1 - \left( \frac{I_{\text{A}}}{I_{\text{исх}}} \right)_{\text{Na}} + \frac{O_{\text{A}}}{M_{\text{A}}} \right]; \quad (1)$$

$$x_{\text{K}} = \frac{p_{\text{K}} M_{\text{A}}}{k \mathcal{E}_{\text{K}}} \left[ 1 - \left( \frac{I_{\text{A}}}{I_{\text{исх}}} \right)_{\text{K}} + \frac{O_{\text{A}}}{M_{\text{A}}} \right], \quad (2)$$

где  $x$  — число переноса;  $k$  — количество пропущенного электричества в амперах;  $\mathcal{E}$  — числовое значение грамм-эквивалента;  $p$  — весовая концентрация иона в расплаве до опыта в долях единицы;  $M_{\text{A}}$  — вес анода после опыта;  $I_{\text{исх}}$  — радиоактивность исходного сплава;  $I_{\text{A}}$  — радиоактивность анолита после опыта;  $O_{\text{A}}$  — разность весов анолита до и после опыта. Для решения уравнений (1) и (2) необходимо определить величину  $O_{\text{A}}$ .

Как следует из работ [1] и [2], за изменение веса анолита ответственны только электрохимические процессы, поэтому учитывая, что в таком типе расплава наблюдается исключительно катионная проводимость, можно написать

$$O_{\text{A}} = k [\mathcal{E}_{\text{Na}} x_{\text{Na}} + \mathcal{E}_{\text{K}} (1 - x_{\text{Na}}) + \mathcal{E}_0] \quad (3)$$

$$O_{\text{A}} = k [\mathcal{E}_{\text{K}} x_{\text{K}} + \mathcal{E}_{\text{Na}} (1 - x_{\text{K}}) + \mathcal{E}_0], \quad (4)$$

где индексы Na, K и O относятся к натрию, калию и кислороду соответственно.

Подставляя (3) в (1), а (4) в (2), получаем

$$x_{\text{Na}} = \frac{\frac{p_{\text{Na}}}{\vartheta_{\text{Na}}} \left[ \frac{M_{\text{A}}}{K} \left( 1 - \frac{I_{\text{A}}}{I_{\text{исх}}} \right)_{\text{Na}} + \vartheta_{\text{K}} + \vartheta_{\text{O}} \right]}{1 - p_{\text{Na}} + \frac{p_{\text{Na}} \vartheta_{\text{K}}}{\vartheta_{\text{Na}}}},$$

$$x_{\text{K}} = \frac{\frac{p_{\text{K}}}{\vartheta_{\text{K}}} \left[ \frac{M_{\text{A}}}{K} \left( 1 - \frac{I_{\text{A}}}{I_{\text{исх}}} \right)_{\text{K}} + \vartheta_{\text{Na}} + \vartheta_{\text{O}} \right]}{1 - p_{\text{K}} + \frac{p_{\text{K}} \vartheta_{\text{Na}}}{\vartheta_{\text{K}}}}.$$

Результаты опытов по измерению чисел переноса ионов  $\text{Na}^+$  и  $\text{K}^+$  представлены в таблице. Активности даны за вычетом фона. Числа переноса рассчитывались по формулам (5) и (6). Опыты 1, 2, 3, 4 проводились с  $\text{Na}^{24}$ , опыты 5, 6, 7, 8 с  $\text{K}^{42}$ .

№ опыта	$k$ , фарадеях	$I_{\text{исх}}$ , имп/ мин	$\frac{I_{\text{A}}}{I_{\text{исх}}}$ , имп/ мин	Вес анолита, г	$x_{\text{Na}}$	$x_{\text{K}}$
1	0,01258	4085	3881	14,5	0,49	
2	0,01150	2151	2013	9,95	0,52	
3	0,01130	1427	1288	8,67	0,57	
4	0,01193	2100	2001	14,80	0,49	
				Среднее	0,52	
5	0,01100	1427	1320	10,45	—	0,56
6	0,01163	4741	4319	7,50	—	0,49
7	0,01125	3999	3861	15,00	—	0,42
8	0,01085	2295	2060	6,95	—	0,53
					Среднее	0,50

Как видно из таблицы, подвижности ионов  $\text{Na}^+$  и  $\text{K}^+$  в расплаве  $\text{Na} \cdot \text{K}_2\text{O} \cdot 4\text{SiO}_2$  приблизительно одинаковы. Этот результат является несколько неожиданным.

Известно, что при  $220^\circ\text{C}$  электропроводность силиката натрия  $\text{Na} \cdot 2\text{SiO}_2$  больше электропроводности силиката калия  $\text{K}_2\text{O} \cdot 2\text{SiO}_2$  [3]. Это обстоятельство при учете униполярного характера проводимости в силикатах дает возможность считать, что в стекле подвижность иона  $\text{Na}^+$  больше подвижности иона  $\text{K}^+$ .

Сравнение электропроводностей силикатов натрия и калия при температуре опыта затруднительно, так как последняя соответствует жидкому состоянию для силиката натрия, а для силиката калия эта температура соответствует точке, лежащей ниже линии ликвидуса.

Бокрис с соавторами [4], сопоставляя с экспериментальными данными уравнение для эквивалентной электропроводности:

$$\lambda = 3,62 \cdot 10^{19} z d^2 \exp\left(-\frac{\Delta H}{RT}\right) \exp\left(\frac{\Delta S}{R}\right) = 3,62 \cdot 10^{19} z d^2 \exp\left(-\frac{\Delta G}{RT}\right)$$

(где  $\Delta G$ ,  $\Delta H$  и  $\Delta S$  — соответственно свободная энергия, тепловой эффект и энтропия процесса активации;  $z$  — заряд иона;  $d$  — половина расстояния между ионами).

между «дырками» в силикатной решетке) нашли, что для расплава  $\text{Na}_2\text{O} \cdot 2\text{SiO}_2$   $\Delta H = 12000$  кал/г-экв,  $\Delta S = -6$  кал/г-экв град, а для  $\text{K}_2\text{O} \cdot 2\text{SiO}_2$ ,  $\Delta H = 8200$  кал/г-экв,  $\Delta S = -8,2$  кал/г-экв град.

Как следует из этих данных,  $\Delta G$  для силиката натрия в зависимости от температуры может быть как больше, так и меньше  $\Delta G$  для силиката калия. Хотя экстраполяция этих результатов, полученных при высоких температурах, на температуру  $950^\circ\text{C}$  не является вполне обоснованной, все же данные Бокриса указывают на возможность близости значений  $\Delta G$  для силикатов натрия и калия при  $950^\circ\text{C}$ .

При рассмотрении относительной подвижности катионов  $\text{Na}^+$  и  $\text{K}^+$  в расплаве  $\text{Na}_2\text{O} \cdot \text{K}_2\text{O} \cdot 4\text{SiO}_2$  нужно также учитывать сложный характер взаимодействия присутствующих в расплаве двух видов катионов с анионной сеткой расплава.

Зан-Артсдален и Яффе [5] нашли, что в расплаве  $\text{KCl} - \text{LiCl}$  наблюдается минимум на кривой электропроводность — состав. Они объясняют это явление взаимным влиянием катионов на анионную решетку, благодаря чему абсолютная подвижность одного из катионов зависит от свойств другого катиона. Можно ожидать, что такого рода взаимное влияние катионов имеет место и в расплаве  $\text{Na}_2\text{O} \cdot \text{K}_2\text{O} \cdot 4\text{SiO}_2$ . В пользу этого говорят данные Гельгофа и Томаса [6] по измерению электропроводности стекол с постоянным содержанием  $\text{SiO}_2$ , равным 85%, и изменяющимся соотношением  $\text{Na}_2\text{O}/\text{K}_2\text{O}$  при условии, что  $\Sigma \text{Na}_2\text{O} + \text{K}_2\text{O} = 15\%$ . Электропроводность этих стекол в функции от состава имеет ярко выраженный минимум.

### ВЫВОДЫ

1. Измерены числа переноса катионов  $\text{Na}^+$  и  $\text{K}^+$  в расплаве  $\text{Na}_2\text{O} \cdot \text{K}_2\text{O} \cdot 4\text{SiO}_2$ .
2. Результаты опытов показывают, что подвижности ионов  $\text{Na}^+$  и  $\text{K}^+$  в расплаве  $\text{Na}_2\text{O} \cdot \text{K}_2\text{O} \cdot 4\text{SiO}_2$  близки.

Институт металловедения  
и физики металлов  
Центральный  
научно-исследовательский  
институт черной  
металлургии  
Москва

Поступила  
14. VII. 1956

### ЛИТЕРАТУРА

1. И. Малкин, С. Ф. Хохлов, Л. А. Шварцман, ДАН, 106, 491, 1956.
2. И. Малкин, Л. А. Шварцман, ДАН, 102, 961, 1955.
3. А. Н. Кузнецов, И. Г. Мельникова, Журн. физ. химии, 24, 1204, 1950.
4. J. O'M. Bockris, J. A. Kitchener, S. Ignatowicz, J. W. Tomlinson, Trans. Farad. Soc., 48, Part I, 75, 1952.
5. E. R. van Arsdalen, J. S. Jaffe, Journ. Phys. Chem., 59, 118, 1955.
6. G. Gehlhoff, M. Thomas, Zs. techn. Phys., 6, 544, 1925.

### DETERMINATION OF THE CATION TRANSPORT NUMBERS IN THE MELT $\text{Na}_2\text{O} \cdot \text{K}_2\text{O} \cdot 4\text{SiO}_2$

V. I. Malkin, S. F. Khokhlov, L. A. Shvartsman (Moscow)

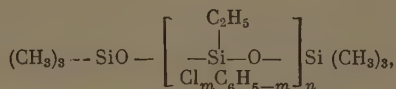
### Summary

The transport numbers of the cations  $\text{Na}^+$  and  $\text{K}^+$  have been measured in the melt  $\text{Na}_2\text{O} \cdot \text{K}_2\text{O} \cdot 4\text{SiO}_2$ . The experimental results showed that the numbers are close to each other in value.

## ЭЛЕКТРИЧЕСКИЕ СВОЙСТВА И СТРОЕНИЕ 1,*n*-ГЕКСАМЕТИЛПОЛИХЛОРФЕНИЛЭТИЛСИЛОКСАНОВ

*Б. А. Андрианов и Г. Е. Голубков*

В литературе описаны электрические свойства полиорганосилоксанов без полярных групп или гетероатомов в органических радикалах [1—3]. Представляет большой интерес изучить свойства этих негорючих термостойких соединений, содержащих атом хлора в фенильном радикале, и установить влияние атома хлора на изменение полярности молекул полиорганосилоксанов и на свойства полимеров. В обсуждаемой работе были изучены свойства 1, *n*-гексаметилполихлорфенилэтилсилоксанов общей формулы:



где  $n=1, 2, 3$  и  $4$ , а  $m=1, 2$  и  $3$ .

Физические свойства соединений указанной группы приведены в табл. 1.

### ЭКСПЕРИМЕНТАЛЬНАЯ ЧАСТЬ

Сосудом для измерений диэлектрической проницаемости тангенса угла потерь, удельного сопротивления служил алюминиевый цилиндр диаметром 70 мм и высотой 15 мм, на верхние бортики которого накладывалась пластинка из молибденового стекла с закрепленным в центре ее вторым электродом, в виде диска. Первым электродом являлся сам цилиндрический сосуд.

Охлаждение и нагревание производились в сосуде Дьюара, снабженном специальным нагревателем. В качестве охлаждающей среды использовался жидкий воздух, заливаемый в сосуд через специальную воронку, выходящую поверх крышки сосуда Дьюара. Крышка сосуда была изготовлена из полистирола.

Измерения при звуковых частотах велись при помощи моста, позволявшего мерять емкость с точностью до 3% и потери с точностью до  $1 \cdot 10^{-4}$ . Измерения в радиочастотах велись на куметре, сопротивление — на гальванометрической установке при напряжении 100 В. Коэффициент преломления определялся при помощи рефрактометра ИРФ-22.

Перед измерениями жидкости выдерживались в вакууме, прогревались 3 часа при 120° С, сушились 17 час. над хлористым кальцием и затем переносились в сосуд Дьюара.

**Электрические свойства.** Все исследованные соединения представляют собою полярные вещества. Те из них, которые содержат один атом хлора в фенильной группе (I, II, III, IV), имеют удельное объемное сопротивление при 20° от  $6 \cdot 10^{10}$  до  $5 \cdot 10^{12} \Omega \text{ см}$ , и при изменении температуры от -20° до 200° оно уменьшается на три порядка (рис. 1).

По величине наклона кривых зависимости  $\lg \rho$  от  $1/T$  определялась энергия активации для температур от 20 до 120° (табл. 2.).

Экспериментальные данные показывают, что величина энергии активации не остается постоянной, а возрастает по мере снижения температуры. Однако в пределах 60—200° ее можно считать постоянной. Также возрастание энергии активации с ростом длины молекулы.

Температурный ход диэлектрической проницаемости и тангенса угла потерь подтверждает полярный характер этих жидкостей. Максимальные

Таблица 1

Физические свойства 1, n-гексаметилполихлорфенилэтилсилоксанов

	Название соединения	Число атомов Si	Молекулярный вес	$d_4^{25}$	$n_D^{25}$	Вязкость в сантипуазах при 20° С	MPD	
							расчет.	измерен.
I	1,3-Гексаметил-2-хлорфенил-2-этилтрисилоксан	3	346,85	1,0541	1,4847	23,0	97,23	94,26
II	1,4-Гексаметил-2,3-ди (хлорфенил)-2,3-диэтилтетрасилоксан	4	531,44	1,0634	1,5002	32,6	143,77	147,03
III	1,5-Гексаметил-2,3,4-три (хлорфенил)-2,3,4-триэтилпентасилоксан	5	716,03	1,1174	1,5041	54,4	190,31	189,77
V	1,6-Гексаметил-2,3,4,5-тетра-(хлорфенил)-2,3,4,5-тетраэтилгексасилоксан	6	900,62	1,1504	1,5083	309,4	236,85	233,48
V	1,3-Гексаметил-2-дихлорфенил-2-этилтрисилоксан	3	381,31	1,1108	1,4948	25,6	102,4	100,07
VI	1,4-Гексаметил-2,3-ди(дихлорфенил)-2,3-диэтилтетрасилоксан	4	600,35	1,1200	1,5110	165,9	153,48	160,50
II	1,5-Гексаметил-2,3,4-три(дихлорфенил)-2,3,4-триэтилпентасилоксан	5	919,40	1,1603	1,5250	29,3	204,87	216,42
II	1,6-Гексаметил-2,3,4,5-тетра(дихлорфенил)-2,3,4,5-тетраэтилгексасилоксан	6	1038,43	1,2620	1,5350	711,2	256,21	256,17
X	1,3-Гексаметил-2-трихлорфенил-2-этилтрисилоксан	3	415,76	1,1950	1,5166	70,0	106,94	105,18
X	1,4-Гексаметил-2,3-ди(трихлорфенил)-2,3-диэтилтетрасилоксан	4	669,25	1,2471	1,5250	420,7	164,98	164,46
XI	1,5-Гексаметил-2,3,4-три (трихлорфенил)-2, 3, 4-триэтилпентасилоксан	5	921,75	1,3397	1,5429	4890,2	223,03	216,84
II	1,6-Гексаметил-2,3,4,5-тетра(трихлорфенил)-2,3,4,5-тетраэтилгексасилоксан	6	1176,23	1,3435	1,5470	—	281,03	277,65
II	1,3-Гексаметил-2-фенил-2-этилтрисилоксан	3	312,40	1,0147	1,4760	3,10	92,37	86,83
V	1,6-Гексаметил-2-дихлорфенил-2-этил-3,4,5-гексаметилгексасилоксан	6	603,63	1,0997	1,4700	26,1	153,1	153,14

Таблица 2

Источники энергии активации, найденные по температурной зависимости вязкости, удельного сопротивления и времени релаксации

№	Число атомов Si	Энергия активации в ккал/моль по:			№	Число атомов Si	Энергия активации в ккал/моль по:		
		вязкости при 20—120°	сопротивлению при 20—120°	времени релаксации			вязкости при 20—120°	сопротивлению при 20—120°	времени релаксации
I	3	4,38	5,71*	21,6	VIII	6	10,48	10,85	23,4
II	4	5,21	6,43	26,3	IX	3	6,68	7,3*	17,5
III	5	5,61	6,06	19,3	X	4	8,97	8,34*	22,5
V	6	7,70	7,80	29,3	XI	5	13,24	12,4	28,4
V	3	5,37	5,38	25,9	XII	6	—	13,0	29,4
I	4	7,43	7,53	24,2	XIII	3	2,66	7,26	21,9
II	5	9,45	10,12*	22,3	XIV	6	5,1	6,92	19,5

\* Найдено из температурной зависимости фактора потерь.

значения тангенса угла потерь с ростом частоты сдвигаются в область более высоких температур, сопровождаясь в этой области релаксационным ходом изменения кривой диэлектрической проницаемости (рис. 3). Возрастание длины молекулы ведет к сдвигу области релаксации в сторону более высоких температур (табл. 3). Увеличение числа хлорфенильных групп в молекуле ведет к возрастанию диэлектрической проницаемости от 3,56 до 3,93. Величина диэлектрической проницаемости в стеклообразном состоянии остается постоянной, равной 2,75—2,80 для частот от 2 до  $1,5 \cdot 10^6$  гц.

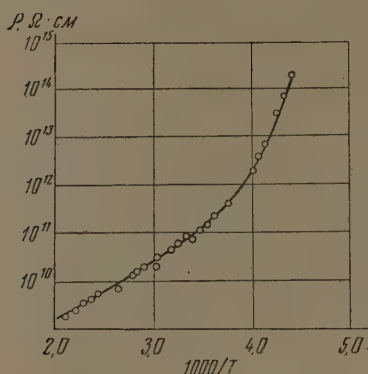
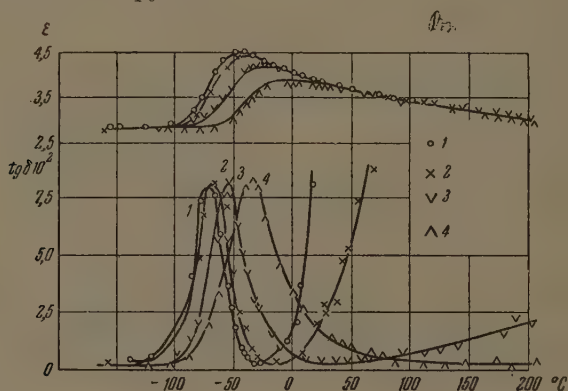


Рис. 1

Следует отметить, что энергия активации диполей несколько возрастает с понижением температуры (или частоты). Это можно наблюдать для всех соединений этой группы.

Энергия активации частиц, определенная из соотношения  $\frac{d(\ln 2)}{d(1/T)}$  [4, 5], находится в пределах 19, 29,3 ккал/моль, т. е. значительно выше энергии активации, найденной из температурной зависимости сопротивления при 20—120°.

Для соединений, содержащих один и три хлорфенильных радикала в молекуле, энергия активации ниже, чем для соединений с двумя и четырьмя радикалами.

Рис. 2. 1—200, 2—1000, 3— $5 \cdot 10^4$ , 4— $1,5 \cdot 10^6$  гц

У соединений, содержащих два атома хлора в фенильной группе (V, VI, VII, VIII), удельное сопротивление при 20° равно  $3 \cdot 10^{11}$  до  $2 \cdot 10^{12}$   $\Omega \cdot \text{см}$ : с ростом температуры от —20° до 200° оно уменьшается на четыре порядка, причем наиболее резко при повышении температуры от —20° и более плавно при дальнейшем нагревании.

По сравнению с соединениями, содержащими один атом хлора в фенильной группе, они имеют большее значение сопротивления при низких температурах и тот же порядок для высоких температур.

Энергия активации, найденная из  $\rho$ -кривых, с ростом длины молекулы возрастает. Заметно также возрастание энергии активации для каждо

нения с понижением ее температуры. Из соединений, молекулы которых содержат один и два атома хлора в фенильном радикале, при одинаковой длине молекул последние имеют большую энергию активации. Понижение диэлектрической проницаемости и тангенса угла потерь от температуры при различных частотах подтверждает полярный характер этих изменений. Максимальные значения тангенса угла потерь с ростом частоты сдвигаются в область более высоких температур, сопровождаясь соответствующим изменением диэлектрической проницаемости.

Увеличение числа звеньев в молекуле ведет к перемещению области реакции в сторону высоких температур и сопровождается ростом ди-

Таблица 3

Диэлектрическая проницаемость и тангенс угла потерь  
1, n-гексаметилполихлорфенилэтилсилоксанов

Число полихлорфенильных звеньев в молекуле	$\lg \delta_{\text{макс}} \times 10^3$ при 200 гц	$t^\circ$ для $\lg \delta_{\text{макс}}$		Диэлектрическая проницаемость		
		при 200 гц	при $1,5 \times 10^6$ гц	20° при 200 гц	при стекловании	максимальная при 200 гц
1	7,2	— 90	— 57	3,56	2,75	4,34
2	7,9	— 63	— 28	3,82	2,80	4,30
3	7,4	— 74	— 34	3,78	2,80	4,48
4	5,9	— 54	— 21	3,93	2,80	4,28
1	8,7	— 70	— 42	3,43	2,75	4,03
2	5,5	— 57	— 20	3,58	2,75	3,97
3	6,9	— 50	— 4	3,62	2,80	3,83
4	6,3	— 43	0	3,69	2,82	3,86
1	9,0	— 70	— 26	3,78	2,92	4,27
2	7,5	— 58	— 8	3,85	3,05	4,26
3	6,3	— 24	21	3,96	2,90	4,14
4	5,3	— 17	30	3,91	3,00	3,98
0	3,4	— 110	— 89	2,62	2,65	2,99
1	6,1	— 77	— 37	3,35	2,90	3,84

трической проницаемости от 3,43 до 3,69. Величина диэлектрической проницаемости в стеклообразном состоянии  $\epsilon_{\text{ст}}$  остается постоянной всех жидкостей и равной приблизительно 2,75—2,80. Максимальные значения диэлектрической проницаемости для жидкостей второй группы меньше, чем для первой; соответственно меньше отношение

$\epsilon_{\text{ст}}/\epsilon_{\text{ж}}$ .

Энергия активации, определенная из кривых  $\ln 2\pi f$  от  $1/T$ , имеет значения 25,9—22,3 ккал/моль и близка к значениям энергии, полученным из вых  $\lg \rho$  от  $1/T$  для низких температур.

Как и для соединений первой группы, с понижением температуры наблюдается возрастание энергии активации, найденной по  $\ln 2\pi f$ .

Соединения, содержащие три атома хлора в фенильном радикале (X, XI, XII), имеют удельное сопротивление в пределах  $7 \cdot 10^{11}$ — $10^{12}$   $\Omega \cdot \text{см}$ , уменьшающееся на 1—2 порядка при 200° С; падение сопротивления с ростом температуры более резкое, чем у соединений первой группы. Поэтому величина энергии активации у них больше. Следует отметить возрастание энергии активации с ростом длины молекул.

Температурный ход диэлектрической проницаемости и тангенса угла потерь аналогичен первым двум группам соединений с той разницей, что области проявления диэлектрической релаксации сдвинуты в сторону более высоких температур.

Увеличение длины цепи молекулы ведет к сдвигу области релаксации в сторону более высоких температур и возрастанию диэлектрической проницаемости от 3,78 до 3,96. Значение диэлектрической проницаемости в стеклообразном состоянии находится в пределах 2,90—3,05, т. е. несколько выше, чем для первой и второй групп. Максимальные значения диэлектрической проницаемости несколько выше, чем для второй группы и меньше, чем для первой. Отношение  $\epsilon_{\text{макс}}/\epsilon_{\text{ТВ}}$  меньше, чем для первой и второй групп, а зависимость от длины молекулы повторяет зависимость для первой группы.

Энергия активации, найденная из зависимости  $\ln 2\pi f$  от  $1/T$ , находится в пределах 17,5—29,4 ккал/моль. С ростом температуры или частоты энергии активации для каждой жидкости понижается.

Для сравнения проведено исследование соединения XIII, аналогичного I, V, IX, но не содержащего в молекуле атомов хлора.

При выяснении влияния длины молекулы представляет интерес исследование XIV, содержащее лишь одно звено с дихлорфенильным радикалом и три звена диметилсилоксана, имеющее длину цепи, равную IV, XII.

Удельное сопротивление XIII при 20°C лежит в пределах 5·10<sup>11</sup> а XIV — 9,5·10<sup>12</sup>. Из сравнения энергии активации вязкого течения с проводимости, а также учитывая возрастание произведения вязкости на проводимость с ростом температуры, можно сделать заключение, что в обоих соединениях токоведущие ионы связаны с молекулой сильнее, чем молекулы между собой.

Соединение XIII не имеет хлора в фенильной группе, но за счет кислорода кремний — кислород проявляет полярные свойства и при очень низких температурах имеет максимум тангенса угла потерь и соответствующее изменение диэлектрической проницаемости.

Тангенс угла потерь в максимуме имеет величину 0,034 при 20°C и спадает до 0,026 при 1,5·10<sup>6</sup> гц, т. е. имеет в два, три раза меньшее значение, чем у рассмотренных ранее всех соединений, содержащих хлор в фенильной группе.

Соединение XIV имеет полярный радикал дихлорфенил, экранированный диметилсилоксанными звеньями. Этим объясняется меньшее, чем у V, значение диэлектрической проницаемости, равная 3,35, меньшее значение тангенса угла потерь, более широкий температурный интервал области релаксации.

Введение диметилсилоксанных звеньев удлиняет молекулу и затрудняет перемещение токопроводящих частиц, по сравнению с соединением V. Энергии активации, найденные по сопротивлению, равны для V и для XIV — 6,9 ккал/моль. Однако при понижении температуры вязкое действие молекул вещества V увеличивается больше, чем у XIV.

## ОБСУЖДЕНИЕ РЕЗУЛЬТАТОВ

Плотность исследованных соединений возрастает с увеличением длины молекул, а также с введением в молекулу атомов хлора.

Подобная же зависимость имеет место для коэффициента преломления, который увеличивается с ростом числа атомов хлора в молекуле, с ростом длины молекулы (рис. 3). При возрастании температуры коэффициент преломления молекул с большим числом атомов хлора в фенильном радикале уменьшается значительно больше, чем у молекул с меньшим числом атомов хлора.

Следует отметить, что плотность и коэффициент преломления для гексаметил-2-дихлорфенил-2-этил-3,4,5-гексаметилгексасилоксана, имеющего длинную молекулу, меньше, чем для 1,3-гексаметил-2-дихлорфенил-2-этилтрисилоксана, причем коэффициент преломления его также меньше.

у 1,3-гексаметил-2-фенил-2-этилтрисилоксана. Таким образом наледи-  
диметилсилоксановых звеньев уменьшает оптическую активность  
кости.

Рассматривая значения вязкости жидкостей, можно сделать заклю-  
е, что основное влияние на величину вязкости оказывает введение  
ов хлора. Вязкость соеди-  
ия XIII при 20° равна 3,10  
ипуаз, а 1,3-гексаметил-2-  
фенил-2-этилтрисилокса-  
23,0. Вязкость 1,6-гексаме-  
-дихлорфенил-2-этил-3,4,5-  
аметилгексасилоксана, име-  
го длину, равную длине мо-  
д IV, VIII, XII, значи-  
но меньше, чем у этих  
еств, и равна 26,1 сантипуа-

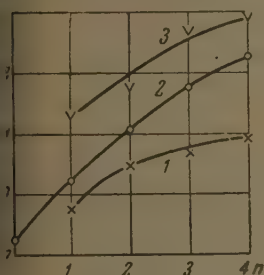


Рис. 3

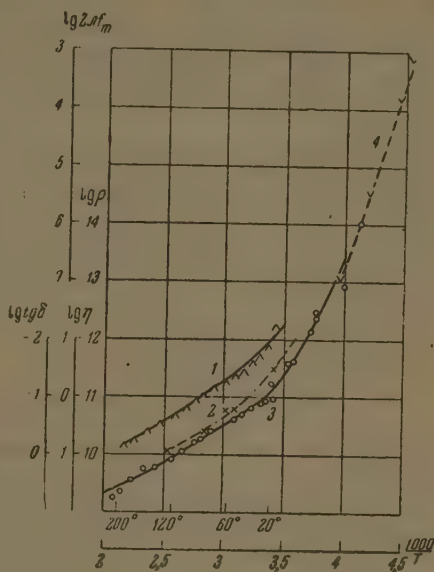


Рис. 4

т. е. почти равна вязкости 1,3-гексаметил-2-дихлорфенил-2-этилтри-  
оксана (табл. 1).

Общий ход кривых диэлектрической проницаемости и тангенса угла  
рь при изменении температуры для различных частот дан на рис. 2.  
остальных соединений ход кривых аналогичен, сдвигаясь лишь при  
температуре в ту или иную сторону. Величины сдвига характеризует  
г. 3.

Если представить зависимости  $\lg \rho$ ,  $\lg \eta$ ,  $\lg \epsilon \tan \delta$ ,  $\lg \tau$  от  $1/T$  на одной  
вой, изменяя их положение так, чтобы кривые совпадали при одних  
их же температурах, то кривые  $\lg \rho$ ,  $\lg \eta$ ,  $\lg \epsilon \tan \delta$  сливаются, а кривая  
служит их продолжением, как это видно на рис. 4. Отсюда следует  
ать вывод, что энергии активации частиц, найденные из вязкости  
противления, примерно равны, как это и подтверждается эксперимен-  
ьными данными, приведенными в табл. 2.

Диэлектрическая проницаемость, как уже отмечалось ранее, возра-  
т при введении атомов хлора в фенильный радикал.

Наибольшее возрастание имеет место при введении трех атомов хлора,  
ьшее при введении одного атома и еще меньшее — при введении двух  
мов в один фенильный радикал.

Как известно, диэлектрическая проницаемость возрастает с возраста-  
м дипольного момента.

Для исследованных жидких полимеров дипольные моменты были изме-  
ы в растворе бензола [6].

В соединениях IX—XII с тремя атомами хлора в фенильном радикале  
ий дипольный момент молекулы больше, чем в веществах с одним  
вумя атомами хлора в фенильном радикале.

## ВЫВОДЫ

1. Введение атома хлора в кремнийорганические полимеры ряда гексаметилполихлорфенилэтилсилоксанов и увеличение числа звеньев с хлорфенильными группами в молекуле повышает температуру стеклования, диэлектрическую проницаемость, энергию активации вязкого течения и энергию активации, определенную кондуктометрически.

2. Введение в молекулу 1, *n*-гексаметилполихлорфенилэтилсилоксана вместо хлорфенильных групп диметилсилоксанных звеньев ведет к уменьшению межмолекулярных сил взаимодействия по сравнению с молекулами с таким же числом атомов кремния, но содержащими хлорфенил радикалы.

3. Дипольные моменты 1, *n*-гексаметилполихлорфенилэтилсилоксанов увеличиваются с ростом цепи молекулы. Введение двух атомов хлора в хлорфенильную группу приводит к некоторому уменьшению дипольных моментов по сравнению с 1, *n*-гексаметилполихлорфенилэтилсилоксанами, содержащими один и три атома хлора в фенильной группе.

4. 1, *n*-гексаметилполихлорфенилэтилсилоксаны имеют релаксационный характер зависимости  $\text{tg } \delta$ , и  $\epsilon$  от температуры и частоты.

Электротехнический  
институт им. В. И. Ленина,  
Москва

Поступил  
16. VII. 1955

## ЛИТЕРАТУРА

1. К. А. Андрианов, Кремнийорганические соединения, Госхимиздат. М. 1955.
2. К. А. Андрианов, Г. Е. Голубков, Журн. техн. физики, 26, 1690, 1956.
3. К. А. Андрианов, В. А. Одинец, Изв. АН СССР, ОХН, 1957 68.
4. Г. И. Сканава, Физика диэлектриков, ГИТТЛ, М. 1949.
5. Г. Я. Михайлов, Усп. химии, 24, 875, 1955.
6. G. Nedestron, Zs. phys. Chem., B2, 429, 1929.

# THE ELECTRICAL PROPERTIES AND THE STRUCTURE OF 1, *n*-HEXAMETHYLPOLYCHLOROPHENYLETHYLSILOXANES

*K. A. Andrianov and G. E. Golubkov (Moscow)*

## Summary

The incorporation of a chlorine atom in organosilicon polymers of the series 1, *n*-hexamethylpolychlorophenylethylsiloxanes and an increase in the number of units with phenyl groups in the molecule raises the vitrification temperature, the dielectric constant, the activation energy of viscous flow and the activation energy as determined from the resistance. The substitution of dimethylsiloxane units for chlorophenyl groups in the 1, *n*-hexamethylpolychlorophenylethylsiloxane molecule leads to a diminishing of the intermolecular energy as compared with molecules of the same number of silicon atoms but with chlorophenyl radicals. The dispersion of light differs with the number of units in the 1, *n*-hexamethylpolychlorophenylethylsiloxane liquids, increasing with the number of silicon atoms in the molecule and with the number of chlorine atoms in the phenyl groups. The dipole moments of the 1, *n*-hexamethylpolychlorophenylsiloxanes increase with the length of the molecular chain. The incorporation of two chlorine atoms in the phenyl group somewhat lowers the dipole moment in comparison with 1, *n*-hexamethylpolychlorophenylethylsiloxanes containing one and three chlorine atoms in that group. The temperature and frequency dependence of  $\text{tg } \delta$  and  $\epsilon$  of 1, *n*-hexamethylpolychlorophenylethylsiloxane is of a relaxation character.

## ВОПРОСУ ОБ ОТНОШЕНИИ МУСКОВИТА К НАГРЕВАНИЮ

И. Августиник, Л. В. Козловский и П. Ф. Коновалов

Среди слюд наиболее важное промышленное значение имеет мусковит, обладающий высокими диэлектрическими свойствами, что в сочетании со способностью расщепляться на тонкие листочки делает этот минерал одним из основных для изготовления электрических конденсаторов.

В качестве объекта нашего исследования был выбран карельский мусковит, обладающий сравнительно высокой термической и химической устойчивостью. Химический состав мусковита:  $\text{SiO}_2$ —44,80;  $\text{TiO}_2$ —0,25;  $\text{Al}_2\text{O}_3$ —35,54;  $\text{Fe}_2\text{O}_3$ —3,05;  $\text{CaO}$ —0,32;  $\text{MgO}$ —1,37;  $\text{Na}_2\text{O}$ —1,58;  $\text{K}_2\text{O}$ —4,70%.

Показатели преломления мусковита  $N_g$ —1,598;  $N_p$ —1,558;  $N_g - N_p$ —0,04; в качестве примесей присутствуют отдельные кристаллы рутила и аната.

Как известно, химическая стойкость, прозрачность, упругие свойства мусковита изменяются при нагревании его [1].

В своем исследовании мы исходили из предположения, что происхождение при нагревании перегруппировки ионов должны получить свое объяснение на отношении прокаленного мусковита к действию кислоты. Данные нами [2], а также рядом других исследователей работы [3] показали правильность такого предположения в отношении талькопрофиллита и каолина, являющихся, как и мусковит, минералами слоистого строения.

Для исследования порошков мусковита, измельченный до размеров частиц менее 0,1 мм, помещался в фарфоровые тигли в количестве 10—15 г и обжигался при температурах от 300° до 1200° (через каждые 100°) с длительностью выдержки при каждой температуре 1,3 и 5 часов.

Для лучшего сопоставления свойств прокаленных образцов был применен рентгеновский метод, описанный нами в ряде работ [2,5,9].

В работе определялись потери при прокаливании, изменение линейных размеров образца при нагревании, изменение оптических свойств прокаленных образцов. Для изучения химической устойчивости была проведена обработка порошка прокаленного мусковита 6%-ным раствором соляной кислоты. Для выяснения фазового состава были получены рентгенограммы на ионизационной установке.

Выделение воды из мусковита происходит по мере его накалывания и пропорционально (рис. 1). Наблюдаются три стадии: первая — до 400—450° С, удаляется 10—12% всей воды, содержащейся в минерале, после чего количество ее, выделяющейся при дальнейшем нагревании до 600° С, уменьшается; вторая — в пределах 600—900°, когда выделяется главная часть воды.

Выделение воды в первую стадию не связано с удалением ионов  $\text{OH}^-$ . Наиболее вероятным кажется предположение о выделении в этом случае воды, находящейся в слюде в виде твердого раствора [1].

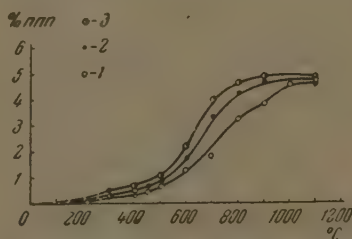


Рис. 1. Кривые обезвоживания мусковита при различной длительности обжига: 1 — 1 час, 2 — 3 и 3 — 5 часов

Во вторую стадию выделяется конституционная вода [10]. Обезвоживание мусковита заканчивается при  $1100^{\circ}\text{C}$ . При увеличении длительности выдержки кривые обезвоживания сдвигаются, как обычно, в сторону более низких температур.

Для сопоставления хода обезвоживания с изменением размеров кристаллов было произведено измерение длины образца при нагревании (рис. 2).

Образцы-стержни длиной 100—120 мм были приготовлены протяжкой чертительного инструмента при добавке раствора декстрина, высушены и помещены в dilatометр системы ГИКИ.

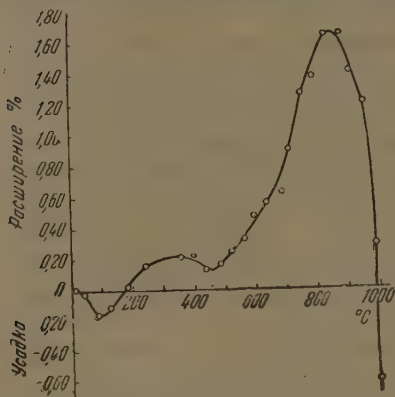


Рис. 2. Кривая расширения образца, изготовленного из измльченного мусковита

Первая небольшая усадка при  $100^{\circ}\text{C}$  может быть связана с выделением воды из декстрина. В интервале  $400^{\circ}\text{C}$  наблюдается некоторое расширение, связанное с выделением из мусковита воды, вероятно, находящейся в твердом растворе в слюде. При дальнейшем нагревании после небольшой усадки при  $450^{\circ}\text{C}$  наблюдается резкое расширение образца, достигающее  $1,64\%$  при  $850^{\circ}\text{C}$ . При более высоких температурах происходит усадка образца, связанная со структурными изменениями мусковита и с появлением стеклофазы, что подтверждается графическим и рентгеновским анализом.

Для выяснения причин резкого расширения образца в интервале  $400-800^{\circ}\text{C}$  была произведена обработка прокаливаемых образцов  $6\%$ -ным раствором азотной кислоты; предполагалось, что расширение связано с ослаблением связей между ионами решетки мусковита. Соблюдение подобного химического воздействия ранее с успехом применено исследователями [2,4—8,11]. Образцы образцов производилась в течение

при температуре кипящей водяной бани. Осадок промывался водой до освобождения от ионов  $\text{Cl}^{-1}$  и подвергался химическому анализу на содержание кремния, суммы полуторных окислов, потери при прокаливании, гигроскопической влаги.

Результаты анализов, рассчитанные на прокаленное вещество, приведены в табл. 1.

Как видно из табл. 1, при прокаливании мусковита в интервале  $400-800^{\circ}\text{C}$  происходит уменьшение количества  $\text{R}_2\text{O}_3$  в остатках мусковита, составляющее  $3,47\%$  при обжиге в течение 1 часа и  $1,03\%$  при обжиге в течение 5 час., что приводит к мысли об ослаблении связей в кристаллической решетке мусковита в этом интервале температур.

Уменьшение растворимости  $\text{R}_2\text{O}_3$  после прокаливании мусковита при  $800^{\circ}\text{C}$  указывает, в свою очередь, на связывание ионов в новую более устойчивую к действию соляной кислоты.

Небольшое абсолютное количество  $\text{R}_2\text{O}_3$  (до  $3,47\%$ ), переходящее в раствор, свидетельствует о трудности проникновения раствора внутрь «пакета» кристаллической решетки мусковита.

Несмотря на полное обезвоживание мусковита, разрушения его кристаллической решетки при  $800-1000^{\circ}\text{C}$  не наблюдается, что было отмечено Бреном [11] и Ринне [13, 14].

Следует также заметить, что, судя по данным табл. 1, длительное нагревание вызывает при  $800^{\circ}\text{C}$  повышение устойчивости решетки мусковита. По-видимому, вследствие развития реакций образования новых фаз мусковита рассмотрено далее.

Кристаллооптическому анализу были подвергнуты образцы не прокаленного мусковита и прокаленные при  $400, 600, 800, 900, 1000^{\circ}\text{C}$ .

Таблица 1

ские составы образцов мусковита, прокаленных при разных температурах в течение 1 и 5 час. после обработки 6%-ным раствором HCl

группа	Прокаливание 1 час.			Прокаливание 5 час.		
	SiO <sub>2</sub>	R <sub>2</sub> O <sub>3</sub>	Сумма	SiO <sub>2</sub>	R <sub>2</sub> O <sub>3</sub>	Сумма
—	49,46	38,62	88,08	49,46	38,62	88,03
—	—	—	—	49,36	39,32	88,68
47,48	38,95	86,43	48,94	39,04	87,98	—
—	—	—	49,37	38,97	88,34	—
47,92	37,36	85,28	—	—	—	—
—	—	—	49,63	38,62	88,25	—
52,09	35,48	87,57	51,96	37,74	89,70	—
49,34	38,57	87,92	50,16	38,52	88,68	—
54,22	34,52	88,47	48,34	39,78	88,12	—
50,48	39,67	90,13	51,15	39,85	99,00	—

Таблица 2

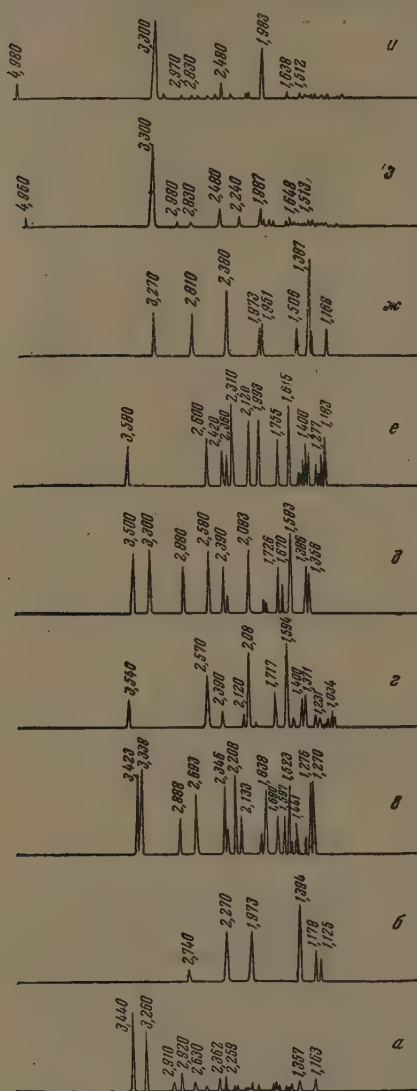
ние показателей светопреломления мусковита, прокаленного при разных температурах в течение 5 час.

описание образца	$N_g$	$N_p$	$N_g - N_p$	Примеси	Фазовый состав, %	Примечание
парат содержит личинки и чешуйки мусковита	$1,598 \pm 0,003$	$1,558 \pm 0,003$	0,040	Единичные иголки рутила и мало хлорита	99—100% мусковита	
То же	$1,597 \pm 0,003$	$1,558 \pm 0,003$	0,039	То же	То же	
» »	$1,594 \pm 0,003$	$1,558 \pm 0,003$	0,036	» »	» »	
» »	$1,590 \pm 0,003$	$1,558 \pm 0,003$	0,032	» »	» »	
ются включения изотропной фазы. Часть чешуек слюды окрашена в желтый цвет три листочков слюды появляется изотропная фаза	$1,586 \pm 0,003$	$1,552 \pm 0,003$	0,034		98,7% слюды и 1,3% листочков с изотропной фазой	Количество листочков слюды с изотропной фазой увеличивается
	$1,585 \pm 0,003$	$1,549 \pm 0,003$	0,036	» »	Мусковит 96%; 2% слюды с изотропной фазой и 2% слюды	$N$ стекла — 1,539
точков и чешуек слюды нет. Новая кристаллическая фаза и стекло	$1,540 \pm 0,003$	$1,536 \pm 0,003$	0,006		Новая кристаллическая фаза 89—90%;*	
овная масса состоит из кристаллической фазы	$1,540 \pm 0,003$	$1,536 \pm 0,003$	0,006		Кристаллов 87%; стекло 13%	$N$ стекла — 1,533
енке рассеяны мелкие кристаллы корунда и муллита	—	—			Основная масса; стекло	$N$ стекла — 1,533

таблице приведены показатели светопреломления новой кристаллической фазы.

1200 и 1300°С в течение 5 час. Результаты этого исследования приведены в табл. 2.

Ход изменения показателей светопреломления мусковита,



каленного при разных температурах в течение 5 час., свидетельствует о большой прочности его стальной решетки. Величина  $N_p$  изменяется лишь после прокаливания мусковита при 800°С. При температуре наибольшего оживления этого минерала.

В мусковите, прокаленном при 1000°, наблюдается появление тройного вещества, показатель преломления которого меньше, чем у слюды, в которой оно заключено. После прокаливания при 1000° в препаратах не наблюдалось нового кристалла слюды. Вместо него появляется новая кристаллическая фаза:  $N_g$ —1,540;  $N_p$ —1,536;  $N_r$ —0,006.

Близость показателей светопреломления новой кристаллической фазы к таковым для  $\alpha$ - $K_2O \cdot Al_2O_3 \cdot 2SiO_2$  позволяет считать, что в результате распада решетки мусковита при 1100°С возникает новая фаза  $K_2O \cdot Al_2O_3 \cdot 2SiO_2$ .

Для уточнения кристаллических фаз были сняты рентгенограммы непрокаленного мусковита и прокаленного при 1000° в течение 5 час., при 1100° в течение 10 час., при 1300° в течение 10 час.

Так как в ряде исследований встречаются указания на то, что при нагревании мусковита образуются при 900 и 950°  $\gamma$ - $Al_2O_3$ , лейцит

Рис. 3. Рентгенограммы: а — лейцит; б —  $\gamma$ - $Al_2O_3$ ; в — муллита; г —  $Al_2O_3$  и мусковита, прокаленного при 1300° 10 час.; е — 1300° 1 час.; ж — 1100° 5 час.; з — прокаленный образец.

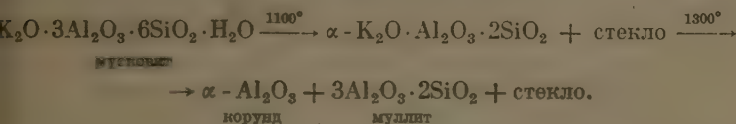
также — при 1140—1170° — лейцит, корунд, кремнезем [16], и при 1500° — муллит [17], то нами были сняты рентгенограммы  $\alpha$ - $Al_2O_3$ ,  $\gamma$ - $Al_2O_3$ , лейцита, а также для сравнения приведена рентгенограмма муллита. Сравнение рентгенограмм сделано на рис. 3.

Как показывает рентгеноанализ, при прокаливании до 1000°С кристаллическая решетка мусковита не претерпевает изменений, а при 1100°С линии, характерные для мусковита, полностью исчезают, уступая линиям соединения, которое мы отождествили с  $\alpha$ - $K_2O \cdot Al_2O_3 \cdot 2SiO_2$ .

\* Эти линии близки таковым синтетического калиофиллита по работе Р. Бауэра, Л. Хиндса, Е. Уайта [19].

при прокаливании до 1300°C на рентгенограммах появляются линии андита, а при более длительном прокаливании (10 час.) — муллита, подтверждается также результатами кристаллооптического анализа. В нашей работе не подтверждаются данные А. И. Цветкова и Е. П. Вальхиной [17], а также А. В. Шмаковой [16] и А. Цветша [15] о появлении при 900—1170°C кристаллов лейцита,  $\gamma$ - $\text{Al}_2\text{O}_3$ , муллита и кремне-

в результате нашего исследования высокотемпературные превращения мусковита представляются в следующем виде:



Предложенная схема не находится в противоречии с диаграммой состояния системы  $\text{K}_2\text{O} - \text{Al}_2\text{O}_3 - \text{SiO}_2$  Боуэна и Шерера [20].

### ВЫВОДЫ

Выделение воды при дегидратации мусковита происходит в две стадии: до 400—450° выделяется 10—12%, а в интервале 600—900° выделяется основное количество воды, конституционно связанной с кристаллической решеткой мусковита.

Расширение образца, изготовленного из тонкомолотого мусковита, происходит также в две стадии: первая при 400° (около 2% начальной длины) и вторая — при 850—900° (около 1,7% начальной длины), что может быть связано со стадийным выделением воды.

Воздействие 6%-ного раствора соляной кислоты на мусковит, прокаленный при разных температурах, свидетельствует о наличии оптимума растворимости глиноземистой составляющей мусковита при 800°C по признаку значительного ослабления межионных связей при этой температуре. Однако абсолютное количество окислов  $\text{R}_2\text{O}_3$ , переходящих в раствор, невелико, что связано с закрытым строением пакета решетки мусковита. Судя по показателям преломления в мусковите, прокаленном при 1100°C, появляется изотропное вещество, а с 1100°C появляется новая аморфная фаза с  $N_g=1,540$  и  $N_p=1,536$ .

Данные рентгеноструктурного анализа свидетельствуют о том, что при 1100°C решетка мусковита не претерпевает изменения, а с 1100°C полностью разрушается и возникает фаза  $\alpha\text{-K}_2\text{O} \cdot \text{Al}_2\text{O}_3 \cdot 2\text{SiO}_2$ , которая распадается при 1300°C на корунд, муллит и стекло.

Технологический институт  
им. Ленсовета  
Ленинград

Поступила  
23. VII. 1956

### ЛИТЕРАТУРА

1. К. Лашев, Слюда, Прометстройиздат, 1948.
2. И. Августиник и Л. В. Козловский, Журн. прикл. химии, 7, 1956.
3. Thilou. H. Schuneman, Zs. anorg. all. Chem., 212, 369, 1933.
4. Л. Ефремов и Н. Г. Гусева, Минеральное сырье, 2, 24, 1935.
5. И. Августиник и В. С. Вигдергауз, Огнеупоры, 5, 218, 1948.
6. М. Соколов, Изв. СПб технолог. ин-та, в. 13, 1913.
7. И. Искюль, Труды Гос. иссл. керам. ин-та, 21, 1925.
8. В. Юрганов и М. В. Зусманович, Труды Гос. иссл. керам. ин-та, 21, 1929.
9. И. Августиник, П. З. Тандура, Л. И. Сверчкова, Журн. прикл. химии, II, 22, 1150, 1949.

10. В. Соболев, Введение в минералогию силикатов, Львов, 1949.
11. П. А. Земятченский, Труды СПб об-ва естеств. испытателей, Отд. геол. и минер., 2, 21, 1896.
12. A. Brun, Bull. Soc. Fr. de Min., 36, 44, 1913.
13. F. Rinne, Zs. Kristallogr., 61, 113, 1924.
14. F. Rinne, Ber., 76, 961, 1924.
15. A. Zwetsch, Ber. Deutsch. Keram. Ges., 15, 14, 1934.
16. А. В. Шамова, Записки Всерос. минералог. об-ва, 52, № 1—2, 1942.
17. А. И. Цветков, Е. П. Вальшихина, Тезисы докладов на V Всесоюз. конф. эксперимент. минералогии и петрографии, Изд-во АН СССР 1956 г.
18. A. Anderson, Amer. Journ. Sci., 22, 109, 1931.
19. R. Barer, L. Hinds, F. White, Journ. Chem. Soc., 1466, 1953.
20. W Bowen, J. Schairer, Amer. Journ. Sci., 2, 253, 681, 1955.

## CONCERNING THE RELATION OF MUSCOVITE TO HEAT

*A. I. Avgustinik, L. V. Kozlovskii and P. F. Konovalov (Leningrad)*

### Summary

The evolution of water during the dehydration of muscovite takes place in two stages up to 400—500° C. 10—12% of the water constitutionally linked to the crystal lattice evolved and in the interval 600—900°, the bulk of the water. An increase in the dimensions of a specimen prepared from finely ground muscovite also took place in two stages, first at 400° (about 2% of the initial length) and the second at 850—900° (about 1.7% of the initial length), which may be associated with the two stage evolution of water.

The action of a 6% HCl solution on muscovite heated at 800°, showed that there is an optimum dissolution of the alumina component at 800° owing to the considerable weakening of interionic bonds at that temperature. However, the absolute amount of the dissolved oxides  $R_2O$  was not large because of the closed structure of the muscovite lattice packing.

Judging from the refractive index an isotropic substance appears in the muscovite heated at 1000° C, and at 1100° C a new crystalline phase with  $N_g = 1.540$  and  $N_r = 1.536$  is formed.

An x-ray analysis carried out with an ionization camera bore evidence that a change occurs in the muscovite lattice at 1000°, but that it is completely disintegrated at 1100° with the formation of the phase  $\alpha$  —  $K_2O \cdot Al_2O_3 \cdot 2SiO_2$  that at 1300° decomposes to corundum, mullite and glass.

## ПЕРЕНАПРЯЖЕНИЕ ВОДОРОДА НА МАГНИИ

*Б. Н. Кабанов и Е. В. Барелко*

Измерение перенапряжения водорода на легко пассивирующихся отрицательных металлах сопряжено с трудностями. Процессы пассивации, активации и «сверхактивации», скорость которых зависит от потенциала [1] или от плотности тока [2], изменяют состояние поверхности электрода в самом процессе снятия кривых перенапряжения водорода. Поэтому одна и та же кривая в разных своих частях нередко соответствует разным состояниям поверхности, что затрудняет использование данных для теоретических выводов. Определение состояния поверхности окисляющихся металлов тоже связано с трудностями, и при измерении перенапряжения состояние поверхности обычно не контролируется, принимаются меры для достаточного освобождения поверхности от окислов. Очевидно, поэтому в случае таких металлов, как магний, алюминий, бериллий, нет надежных данных о перенапряжении на них [3]. Измерение перенапряжения водорода на магнии представляет собой трудность именно в связи с тем, что в этом случае можно более надежно использовать установленный прежде для железа [4] факт понижения перенапряжения водорода при снятии с поверхности металла адсорбированного водорода. При исследовании перенапряжения на железе снятие кислорода проводилось при помощи катодной поляризации, т. е. одновременно с измерением перенапряжения на окисленном металле. При помощи сравнительно быстрых измерений можно было определить положение и наклон кривой перенапряжения на окисленном железе благодаря тому, что восстановление адсорбционных окислов на железе в щелочном растворе происходит сравнительно медленно.

В случае магния полное восстановление поверхности при катодной поляризации, по-видимому, не достигается, зато благодаря мягкости металла легко удаляется его слой вместе с окислами в виде стружки.

## ЭКСПЕРИМЕНТАЛЬНАЯ ЧАСТЬ

**Методика.** Измерения перенапряжения водорода на магнии производились в специальном приборе, схематически изображенном на рис. 1. Магниевая палочка вставлена в стеклянную трубку 1, к верхней части которой она пришлифовывалась так, что электродом являлся верхний торец палочки. Наружная поверхность трубки 1 являлась внешней частью цилиндрического шлифа, при помощи которого электрод вводился в раствор. Над электродом находился кварцевый колпачок со скребком 3, соединенный с трубой 2. Скребком, при помощи которого зачищалась поверхность магниевого электрода, приводился во вращение вручную при помощи этой ручки, снабженной ртутным затвором.

Для сравнения являлся водородный электрод в том же растворе, соединенный с исследуемым электродом сифоном 4 через шлиф 5 (сифон нарисован отдельно справа сверху на рис. 1). Электрод сравнения мог присоединяться также через трубку 6. Измерения потенциала электрода производились компенсационным методом, а при быстрых измерениях — при помощи катодного осциллографа с фотозаписью или катодного вольтметра. Измерение емкости двойного слоя производилось при помощи импедансного компенсационного моста. Электрод для поляризации постоянным током приключался через трубку 7. Измерения производились в атмосфере водорода, который вносился через трубку 8.

Магний содержал свыше 99,95% магния, 0,03% Mn, 0,0075% Fe и 0,004% Al. Растворы готовились из реактива марки «х.ч.» в дважды перегнанной воде. Хлорид магния перекристаллизовывался и прокаливался.

Перед опытом с поверхности электрода кварцевым ножом на воздухе снималась окисная пленка, электрод возможно быстро (в течение нескольких секунд) переносился в рас-

твор, и либо быстро производились измерения, либо для установления водородного (пассивного) состояния поверхности электрод выдерживался без поляризации 20—30 мин. до постоянства потенциала.

Результаты опытов. На рис. 2 приведены значения перенапряжения водорода, измеренного в 2N КОН компенсационным методом.

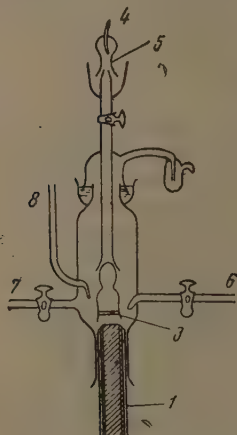


Рис. 1. Схема прибора

Участок кривой 1 обозначает область потенциалов, которые устанавливаются мгновенно. Коэффициент наклона кривой в этой части равен 0,17 V. Пунктир (участок 2) обозначена область потенциалов, которые достигаются после длительного (по сравнению с 0,1 сек.) изменения потенциала во времени\* и соответствующему изменяющемуся состоянию поверхности. Для получения значений перенапряжения, соответствующих одному и тому же состоянию поверхности, мы применили в этой области плотностей тока быстрые (в 0,1 сек.) измерения потенциала при помощи короткопериодного катодного вольтметра (рис. 3). Коэффициент наклона кривой перенапряжения при плотности тока  $3 \cdot 10^{-4}$ — $2 \cdot 10^{-2}$  А/см<sup>2</sup> оказался приблизительно равным 0,5 V.

Сопоставление данных для одного того же состояния окисленности поверхности электрода представлено на рис. 4 (кривая 1), из которой видно, что кривая перенапряжения водорода получается с двумя различными участками, имеющими разные наклоны.

После сильной катодной поляризации, например при  $i = 3 \cdot 10^{-1}$  А/см<sup>2</sup>, абсолютная величина перенапряжения водорода оказывается сниженной, и наклон кривой перенапряжения оказывается уменьшенным с 0,5 до 0,36 V (отрезок кривой 2 на рис. 4). Это снижение перенапряжения можно объяснить частичным восстановлением адсорбционных окислов [потенциал поляризации — 1,74 V близок к равновесному потенциалу магниевого электрода в данном растворе (—1,86V)].

При еще больших плотностях тока перенапряжение водорода еще немного снижается и при плотности тока в несколько ампер на см<sup>2</sup> равняется 1,7 V\*\*. Результаты измерения потенциала при этом становятся ненадежными (преувеличенными) из-за возможности омической ошибки. Кроме того, при больших плотностях

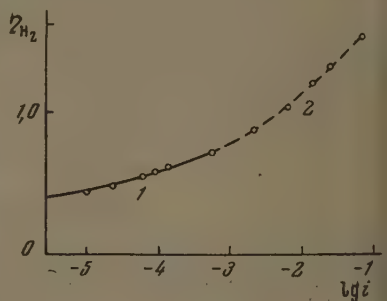


Рис. 2. Перенапряжение водорода (длительные измерения)

\* Учитывать в данных условиях связанного с зарядением двойного слоя замедления изменения потенциала практически не нужно, так как плотности тока велики и даже при  $3 \cdot 10^{-5}$  А/см<sup>2</sup> на зарядение двойного слоя при переходе с одной плотности тока на другую требуется менее 0,1 сек. времени. Омическое сопротивление окисных пленок при плотностях тока, не превышающих  $2 \cdot 10^{-2}$  А/см<sup>2</sup>, учитывать также требуется, поскольку наши измерения, проведенные при 2000 гц, показали, что омическое сопротивление окисленных электродов меньше 0,5 Ω см<sup>2</sup>.

\*\* Для избежания местного разогревания раствора и электрода в этих опытах применялось интенсивное размешивание раствора и термостатирование прибора.

ка толкование результатов измерения перенапряжения осложняется лением сверхактивации [2,5].

После анодной поляризации, производившейся в течение 10 мин. при отношении тока  $2 \cdot 10^{-2}$  А/см<sup>2</sup>, перенапряжение водорода, измеренное при больших плотностях тока (через 15 сек. после начала катодной поляризации), оказалось сниженным на несколько десятых вольт. Продолжительная катодная поляризация восстанавливала первоначальные значения перенапряжения водорода. Явление понижения перенапряжения можно было бы объяснить просто увеличением истинной поверхности электрода вследствие неравномерного растворения анодным током, если бы не было установлено, что такая же предварительная работка вызывает при небольших катодных токах повышение перенапряжения водорода. Можно предположить, что сильная анодная поляризация, приводящая несомненной глубокой пассивации магния по отношению к анодному процессу, создает на электроде такой окисный слой, который при сильной катодной поляризации быстро устраняется с поверхности металла, что приводит к активации магния.

Для получения поверхности магния, свободной (хотя бы кратковременно) от пассивирующих окислов, производилась зачистка поверхности под

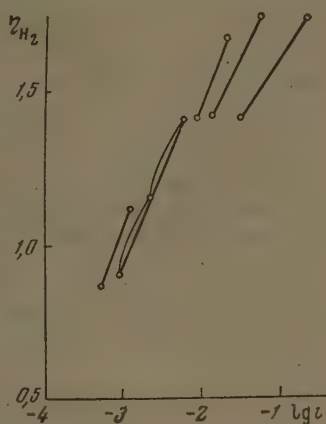


Рис. 3. Перенапряжение водорода (быстрые измерения)

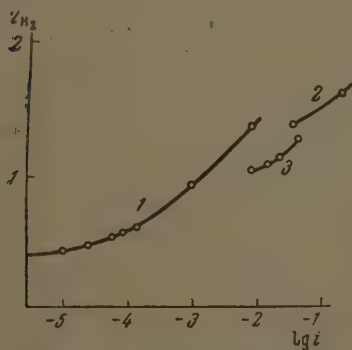


Рис. 4. Перенапряжение водорода: 1 — при одном и том же состоянии поверхности, 2 — после сильной поляризации; 3 — во время зачистки поверхности.

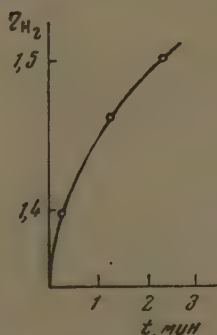


Рис. 5. Возрастание перенапряжения водорода после прекращения зачистки

раствором при помощи кварцевого скребка. Стационарный потенциал электрода во время зачистки сдвигается в отрицательную сторону на 0,6 В, что следует объяснить большой активацией магния, т. е. большим ускорением анодного процесса при зачистке. Осциллографически было показано [5], что после прекращения зачистки поверхности менее чем за секунду потенциал без тока успевал сдвинуться в положительную сторону на несколько десятых вольт, т. е. пассивация по отношению к анодному процессу происходит весьма быстро.

Скребок снимал стружку примерно с половины поверхности электрода. В опытах с катодной поляризацией во время зачистки плотность тока рассчитывалась на величину зачищаемой поверхности. Из рис. 4 (кривая 3) видно, что рассчитанная таким способом скорость выделения водорода на зачищаемой поверхности более чем в 10 раз превосходит скорость на окисленной (незачищаемой) поверхности при том же потенциале (кривая 1). Поэтому незачищаемой поверхностью в первом приближении можно было пренебречь. Также можно было пренебречь выделением водорода на свинцых с электрода стружках из-за только что упомянутой быстрой пассивации магния в отсутствие катодного тока.

Зачистка электрода производилась несколько раз в секунду; скорость возрастания перенапряжения водорода после прекращения зачистки, как это видно из рис. 5, весьма мала, примерно  $1 \text{ mV}$  в секунду; следовательно, успевающая протекать в перерыве между двумя снятиями стружки пассивация магниевого электрода существенно не изменяет перенапряжения водорода.

Ориентировочные опыты, подробности которых мы здесь не приводим, показали, что в пределах концентраций от 0,1 до  $2N$  перенапряжение водорода на окисленном магнии, по-видимому, не зависит от концентрации КОН.

### ОБСУЖДЕНИЕ РЕЗУЛЬТАТОВ

Из-за больших величин плотности тока саморастворения при зачистке измерить перенапряжение водорода на зачищаемом магниево-электроде в широком интервале плотностей тока не удалось; поэтому наклон кривой перенапряжения точно не известен. Если предположить, что коэффициент наклона  $b = 0,25$ , то константа  $a$  в уравнении перенапряжения водорода на зачищаемой поверхности магния в  $2N$  КОН равна по нашим данным  $\sim 1,5 \text{ V}$ . Можно думать, что это значение несколько завышено, поскольку из наших опытов следует, что зачищаемая поверхность магния в перерыве между двумя снятиями стружки успевает частично окислиться, а только что упомянутая, примененная нами к рис. 5, линейная экстраполяция не вполне обоснована, так как неизвестен закон изменения перенапряжения водорода при весьма малых заполнениях поверхности металла кислородом. Кроме того, из данных по спаду потенциала без тока после зачистки поверхности следует, что наклон кривой перенапряжения водорода на зачищаемой поверхности меньше предположенного и равен приблизительно,  $0,15 \text{ V}$ . Вероятно, для чистой поверхности магния надо считать более правильной константу  $a = 1,4 \pm 0,1 \text{ V}$ .

Таким образом магний принадлежит к группе металлов с высоким перенапряжением водорода (таких, как кадмий).

Можно сопоставить полученное нами значение константы  $a$  со значением, вычисленным по эмпирической формуле, выведенной Лоренцем [6] (зависимость константы  $a$  от коэффициентов сжимаемости металлов). Если принять по Бриджмену [7] коэффициент сжимаемости магния равным  $2,95 \cdot 10^{-6} \text{ см}^2/\text{кг}$ , то

$$a = 1,2 - \frac{15}{\sqrt{2,95}} = 1,4 \text{ V.}$$

Для поверхности магния, длительно окисленной стоянием в растворе при стационарном потенциале, получается значение константы  $a \approx 2,5 \text{ V}$ , если экстраполировать крутую ветвь (рис. 4, кривая 1). Непосредственные измерения при одной и той же плотности тока ( $2 \cdot 10^{-2} \text{ А/см}^2$ ) дают для окисленной поверхности магния значения перенапряжения, более чем на  $0,5 \text{ V}$  превосходящие значения для зачищаемого магния. Таким образом подтвер-

дается вывод [4], что на окисленном металле обе константы уравнения перенапряжения водорода имеют повышенное значение.

Следует отметить, что этот вывод, естественно, требует, чтобы при некоторой достаточно малой плотности тока обе кривые перенапряжения пересеклись. В работе [4] этот вопрос не был выяснен из-за того, что кривые перенапряжения водорода на железе могли бы пересечься только при потенциалах положительнее равновесного, а измерение перенапряжения выделения и ионизации водорода на железном электроде при этих потенциалах затруднено из-за окисления железа. Однако с точки зрения предложенного в [4] объяснения явления повышения перенапряжения водорода пересечение кривых было бы непонятно. Действительно, понижение энергии адсорбции атомов водорода должно затруднять выделение водорода при всех потенциалах; изменение формы потенциальной кривой атома водорода на металле (например, из-за изменения плотности электронов на поверхности металла) может привести к изменению коэффициента наклона кривой перенапряжения, но не дает основания ожидать пересечения кривых.

В случае магния наши опыты показали, что вблизи точки, в которой должно было бы произойти пересечение кривых перенапряжения ( $10^{-3}$  А/см<sup>2</sup>, 0,8—0,9 В), кривая для окисленно-магния имеет резкий изгиб, и при меньших плотностях тока обе кривые, в пределах точности экстраполяции кривой для зачищаемого магния, совпадают.

Влияние ионов хлора на перенапряжение водорода на магнии. В связи с развитыми ранее представлениями о влиянии ионов хлора на электрохимическое поведение легко пассивирующихся металлов [8, 9] представляло интерес выяснить влияние ионов хлора на перенапряжение водорода на магнии. Измерения перенапряжения мы производили в 0,5 N растворе КОН.

На рис. 6 приведены полученные результаты. Из кривых видно, что в малых концентрациях KCl мало влияет на перенапряжение водорода, в больших — значительно понижает его, причем добавление KCl до насыщения раствора дает снижение на 0,3 В, т. е. несколько меньше, чем дает зачистка поверхности (0,5 В). Некоторое снижение перенапряжения дает добавление KCl и в случае зачищаемой поверхности металла. Например, при плотности тока  $10^{-2}$  А/см<sup>2</sup> перенапряжение на зачищаемой поверхности в отсутствие ионов хлора равно 1,0 В, а в растворе, насыщенном ионами хлора, 0,8 В. Константа  $a$  для кривой перенапряжения водорода на магнии в 0,5 N КОН + насыщенный KCl без зачистки равна примерно 1,7 В, с зачисткой — примерно 1,2 В.

В более крепком 2N растворе КОН влияние ионов хлора на перенапряжение водорода незначительно.

Измерение емкости двойного слоя показывает, что ни окисление магния, ни добавление к раствору ионов хлора не оказывают очень большого влияния на емкость; следовательно, окисление и адсорбция ионов хлора не приводят к появлению или исчезновению отдельной фазы окислов на поверхности магния. С этим согласуется малая величина поверхностного сопротивления (менее  $0,2 \Omega \cdot \text{см}^2$ ). Наличие значительной специфической адсорбции анионов возможно в том случае, если потенциал нулевого за-

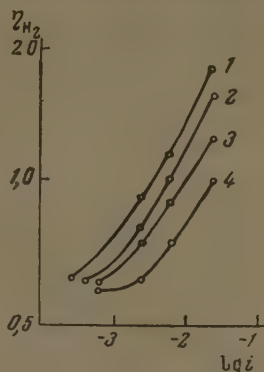


Рис. 6. Перенапряжение водорода в 0,5 N КОН в присутствии: 1—0; 0,05; 0,2 N KCl; 2—1 N KCl; 3—2 N KCl; 4—насыщенный раствор KCl

ряда окисленного магния находится недалеко от стационарного потенциала магния в щелочном растворе или отрицательнее него.

Влияние ионов  $\text{Cl}^-$  на перенапряжение водорода легко окисляющихся металлов можно объяснить адсорбционным вытеснением части кислородными ионами хлора с поверхности металла и связанным с этим изменением свойств поверхностного слоя металла. Этот эффект, очевидно, превышает возможное повышающее влияние анионов на перенапряжение водорода в щелочном растворе, которое надо ожидать согласно теории замедленного разряда (эффект повышения перенапряжения специфически адсорбирующимися анионами за счет изменения  $\psi_1$ -потенциала в щелочных растворах до сих пор еще экспериментально не установлен ни в одном случае).

### ВЫВОДЫ

1. Перенапряжение водорода на механически зачищаемой поверхности магния в растворах КОН, близкое по величине к перенапряжению на чистой поверхности магния, имеет константу  $a$  уравнения перенапряжения, равную  $1,4 \pm 0,1$  V.

2. Перенапряжение водорода на окисленной в растворе поверхности магния при плотности тока  $2 \cdot 10^{-2}$  A/cm<sup>2</sup> на 0,5 V выше, чем на зачищаемой. Кривая в случае окисленного магния имеет резкий изгиб.

3. Ионы хлора при большой концентрации понижают перенапряжение водорода на магнии в разбавленных растворах щелочи, что объясняется адсорбционным вытеснением части кислорода ионами хлора с поверхности магния.

Академия наук СССР  
Институт физической химии  
Москва

Поступила  
6. VIII. 1956

### ЛИТЕРАТУРА

1. Б. Кабанов и Д. Лейкис, ДАН, 58, 1685, 1947.
2. Б. Кабанов и А. Зак, ДАН, 62, 531, 1950.
3. А. Н. Фрумкин, В. С. Багоцкий, З. А. Иофа и Б. Н. Кабанов, Кинетика электродных процессов, Изд-во МГУ, М., 1952, стр. 126; *Nicklin a. Salt, Trans. Farad. Soc.*, 36, 1226; 1940.
4. С. А. Розенцвейг и Б. Н. Кабанов, Журн. физ. химии, 22, 513, 1948.
5. Е. В. Барелко и Б. Н. Кабанов, ДАН, 90, 1059, 1953; Е. В. Барелко, Диссертация, М., 1949.
6. А. К. Лоренц, Журн. физ. химии, 24, 835, 1950; 27, 317, 1953; См. также Г. Л. Майтак, Зап. Ин-та химии АН УССР, 6, 45, 55, 1939; 7, 528, 537, 1941; Журн. прикл. химии, 23, 496, 1950; Н. И. Кобозев, Журн. физ. химии, 26, 112, 43, 1952 и др.
7. Landolt-Börnstein, *Phys. chem. Tabellen*, III. Erg. B., 1935; Gmelin, 1942.
8. Л. Ванюкова и Б. Кабанов, ДАН, 59, 917, 1948; Журн. физ. химии, 28, 1025, 1954.
9. Б. В. Эршлер, Журн. физ. химии, 14, 357, 1940; 18, 131, 1944.

### HYDROGEN OVERVOLTAGE ON MAGNESIUM

*B. N. Kabanov and E. V. Barel'ko (Moscow)*

### Summary

The hydrogen overvoltage on a mechanically cleaned (scrubbed) magnesium surface in KOH solution, close in value to that on a clean magnesium surface, has a constant value in the overvoltage equation equal to  $1.4 \pm 0.1$  volt.

The hydrogen overvoltage on a magnesium surface oxidized in the solution at current density  $2.10^{-2}$  amp/cm<sup>2</sup> is 0.5 volt higher than on the scrubbed surface. In the case of the oxidized magnesium the curve has a sharp break.

Large concentrations of chlorine ions lower the hydrogen overvoltage on magnesium in dilute alkali solutions, which is explained as due to the adsorption displacement part of oxygen at the magnesium surface by the chloride ions.

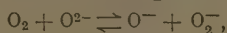
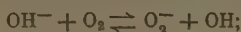
## О ПРИРОДЕ АКТИВАЦИИ КИСЛОРОДА ПРИ РАДИОЛИЗЕ ВОДНЫХ РАСТВОРОВ

*М. Хайссинский*

Существенная роль кислорода в реакциях, вызванных ионизирующим излучением, хорошо известна, и в настоящее время излишне доказывать важность этого факта. Теория свободных радикалов принимает, что кислород, взаимодействуя с атомами H, образует свободный радикал  $\text{HO}_2$ , который в зависимости от состава среды ведет либо к образованию  $\text{H}_2\text{O}_2$ , либо к окислительным, а иногда и к восстановительным процессам. Учитывая кислотный характер этого радикала, рК которого равен 2—3, можно в некоторых случаях объяснить влияние величины рН.

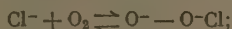
Однако еще неясно, почему наблюдается образование  $\text{H}_2\text{O}_2$  в растворах, освобожденных от воздуха и облученных в присутствии ионов  $\text{Cl}^-$   $\text{Br}^-$ , в то время как эта реакция не идет при рН, превышающем 3 или 4. Имеется предположение, что молекулярный кислород может непосредственно связываться свободными органическими радикалами с образованием перекисей и вызывать при этом цепную реакцию, как это часто принимается в случае автокаталитического окисления. Однако неясно, каким образом подобное связывание кислорода может совершаться в случае окисления неорганических веществ, подобных тем, о которых речь идет ниже.

С целью решения этого вопроса Абель [1] допускает для автокаталитического окисления электронные переходы следующих типов:



иногда ион  $\text{O}^{2-}$  образуется при диссоциации  $\text{OH}^-$ .

В других случаях Абель предполагает непосредственное связывание кислорода ионом, например,  $\text{H}_2\text{PO}_4^-$  или  $\text{Cl}^-$ , согласно механизму переноса протона и дальнейшего соединения



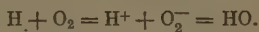
Реакции такого типа связаны, однако, с значительным ростом свободной энтальпии и представляются термодинамически маловероятными.

По другому поводу мы совместно с Лефором уже указывали на некоторые затруднения и в объяснении радиохимических реакций, протекающих в присутствии кислорода [2].

В настоящей статье я имею в виду высказать ряд простых положений, основанных на общих физико-химических познаниях. Эти положения, взятые в совокупности, должны позволить качественно объяснить три группы радиохимических явлений, о которых мы будем говорить позже.

1. В своих рассуждениях мы исходим из предположения, что молекулярный кислород активируется в облученной воде посредством образования ионов  $\text{O}_2^-$ , возникающих за счет перехода

электрона от нестабильного радиолитического продукта, свободного радикала или радикала иона, образованного из растворителя или растворенного вещества. Сродство к электронам у молекулы  $O_2$  согласно И. Л. Казарновскому [3] равно 0,9 В; кроме того, переход электрона в воде облегчен гидратацией образующегося иона, а, может быть, уже предопределен [3] особенностью электронной структуры последнего. Сам радикал  $HO_2$ , с нашей точки зрения, является продуктом перехода электрона (в кислой среде)



Мы не исключаем возможности непосредственного захвата «растворенного» электрона молекулой  $O_2$  [4] или «частичного возбуждения» последней в смысле Платцмана [5].

2. В радиохимии никогда не следует забывать о конкуренции между различными процессами, протекающими через образование свободных радикалов. Между термодинамически возможными реакциями данного радикала с различными присутствующими веществами преимущество имеет та реакция, которая требует меньшей энергии активации. К сожалению, энергия активации подобных реакций редко известна, даже приближенно. При отсутствии прямых данных можно пользоваться для ориентации, в частности, только для ориентации, изменением свободной энтальпии  $\Delta F^*$  в качестве приближенного критерия для относительной оценки вероятности той или иной реакции. Такое приближение, в частности, оправдывается, когда конкуренция за реакцию со свободным радикалом проявляется у веществ сходного химического строения. Однако мы увидим далее, что из двух конкурирующих процессов часто преимущество имеет тот, который характеризуется меньшей  $\Delta F$ , если удовлетворяются другие условия, благоприятные для этого процесса.

3. Мы принимаем, что в случае двух конкурирующих реакций, из которых одна сопряжена с разрывом связи или переносом атома, а другая — с простым переходом заряда, например  $HO_2 + OH$  и  $\bar{O}_2 + OH$ , последняя более вероятна.

4. Переход электрона от нестабильного продукта радиолитического растворенного вещества к молекуле  $O_2$  превращает этот промежуточный продукт в более стабильное соединение (условие перехода электрона). Переход электрона облегчается, когда промежуточный продукт представляет собою радикал-анион, или когда он легко диссоциирует на два иона (например  $N_2H_2 \rightleftharpoons N_2H^- + H^+$ ;  $N_2H^- + O_2 \rightarrow N_2H + O_2^-$ ).

5. Обратный перенос электрона от  $O_2$  к радикалу тем более вероятен, чем больше сродство последнего к электрону; так, например, переход  $O_2^- + Cl \rightarrow O_2 + Cl^-$  более вероятен, чем переход  $O_2^- + Br \rightarrow O_2 + Br^-$ .

6. Реакция между ионами с одноименными зарядами маловероятна при наличии других процессов, не замедляемых электростатическим отталкиванием. Например, реакция  $HO_2 + HO_2 \rightleftharpoons H_2O_2 + O_2$  вероятна в кислой среде, но реакция  $O_2^- + O_2^-$  в нейтральной среде значительно менее вероятна.

7. Реакция радикала со стабильным продуктом радиолитического (например с  $H_2O_2$ ), даже если при равных условиях ею можно пренебречь по сравнению с конкурирующими процессами, может приобрести значение в случае, когда концентрация стабильного продукта намеренно повышается путем прибавления его к раствору до облучения (концентрационный эффект).

\* Автор называет «свободной энтальпией» и обозначает символом  $\Delta F$  величину, называемую в советской термодинамической литературе «Термодинамическим потенциалом» или «изобарным потенциалом», изображаемым символом  $\Delta Z$  (Примечание редакции).

В свете перечисленных правил рассмотрим основные интересующие нас радиохимические процессы:

а) образование и разложение  $\text{H}_2\text{O}_2$  в нейтральной воде и в кислых растворах, как при наличии, так и в отсутствие кислорода;

б) замедление образования перекиси водорода и защита ее от разложения при помощи галогенов;

в) окисление некоторых неорганических соединений, сопровождающееся большими выходами продуктов реакций, что заставляет признать наличие цепных процессов.

Среди различных реакций, предлагаемых для объяснения результатов, получаемых при радиохимическом образовании и распаде перекиси водорода, мы всегда выбирали те реакции, которые протекают с уменьшением свободной энтальпии (мы выражаем эту величину в  $\text{ккал/моль}$ ).

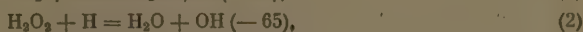
Исключение представляет перенос электрона в реакции  $\text{Cl}^- + \text{OH}^-$ , рассматриваемой ниже, который, согласно новейшим данным, связан с ростом  $\Delta F$ . Значения  $\Delta F$  рассчитывались при помощи данных следующей таблицы, заимствованной из работы Латимера [6], или по данным Блиц Американского бюро стандартов.

Свободные энтальпии,  $\text{ккал/моль}$ 

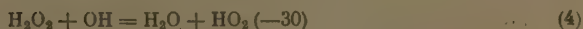
Радикалы	Молекулы	Ионы
$\text{H} + 48,5$	$\text{H}_2 0,0$	$\text{H}^+ 0,0$
$\text{OH} + 8$	$\text{H}_2\text{O} - 56,7$	$\text{OH}^- - 32$
$\text{HO} + 3$	$\text{H}_2\text{O}_2 - 31,6$	$\text{HO}_2^- - 15,6$
$\text{Cl} + 25,9$		$\text{O}_2^- + 13$
$\text{Br} + 20$		$\text{Cl}^- - 31,3$
		$\text{Br}^- - 24,6$

Из дальнейшего будет видно, что ни одна из описываемых ниже реакций образования и разложения перекиси водорода не включает ничего неизвестного и что их объяснение не требует принятия каких-либо гипотез, сверх перечисленных выше основных положений. Последние должны помочь сделать тщательный выбор из различных возможных реакций и их следствий. Учитывая качественный характер этих положений, выбор а priori вероятной реакции при изменении среды иногда становится затруднительным, и тогда ответ должен быть получен из опыта.

а) Образование и разложение перекиси водорода в чистой воде, подкисленной и нейтральной, при отсутствии кислорода. Известно, что в таких условиях после облучения рентгеновскими или  $\gamma$ -лучами лишь с трудом удается обнаружить образование  $\text{H}_2\text{O}_2$  или  $\text{O}_2$  и  $\text{H}_2$ , тогда как действие  $\alpha$ -лучей протонов с энергией в несколько MeV или несколько десятков MeV вызывает заметное образование указанных молекул. Однако имеются основания считать, что даже ионизирующее электромагнитное излучение способно разрушать молекулы растворителя с образованием  $\text{H}_2\text{O}_2$  и  $\text{H}_2$  по механизму, которого мы здесь обсуждать не будем. Возникающие молекулы  $\text{H}_2\text{O}_2$  и  $\text{H}_2$  разрушаются здесь по мере их образования. Обычно считается, что этот распад происходит за счет реакций:



Реакция

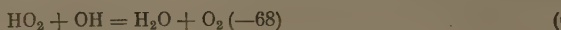


существенна, так как за ней следует реакция

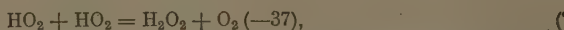


что здесь суммарным эффектом все равно было бы образование перекиси водорода.

Если же, с другой стороны, радикал  $\text{HO}_2$  взаимодействует с кислородом, содержащим радикалом:



или

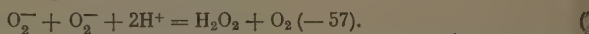
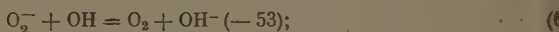


то должно наблюдаться либо выделение свободного кислорода в количестве, эквивалентном содержанию водорода, что противоречит опыту, либо молекула кислорода последовательно реагирует с атомами Н, образуя в конечном итоге,  $\text{H}_2\text{O}_2$  [реакции (5) и (8)].

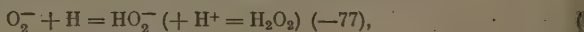
Таким образом становится очевидным, что, несмотря на преимущество реакций (4) по величине  $\Delta F$ , все-таки в основном протекает реакция (1). Приведенное доказательство убедительно говорит в пользу реакции (1), наличие которой часто ставилось под сомнение в радиационной химии [7].

Однако реакция (4) тоже имеет место [совместно с реакциями (1), (2) и (3)], вследствие влияния концентрационного фактора, когда облучению подвергаются растворы, уже содержащие перекись водорода. Здесь наблюдается выделение кислорода.

Чтобы решить вопрос о том, следует ли за реакцией (4) реакция (6) или (7), достаточно обратить внимание на величину рН. В нейтральной среде разложение перекиси водорода протекает быстрее, чем в кислой. В этом случае, вследствие диссоциации  $\text{HO}_2$  на  $\text{O}_2^-$  и  $\text{H}^+$  вместо (6) и (7) протекают реакции:



Вероятность реакции (7') по причине электростатического отталкивания значительно меньше, чем вероятность (7); поэтому при переходе к нейтральной среде следовало бы ожидать уменьшения, а не возрастания скорости разложения перекиси водорода, как это фактически наблюдается. Ускорение разложения  $\text{H}_2\text{O}_2$  должно быть объяснено тем, что реакция (6) как это и следует из третьего общего положения, более вероятна, чем реакция (6). Следовательно, в конкуренции с реакцией



ведущей к образованию перекиси водорода, перевес имеет реакция (6).

Конкурирующие процессы в чистой воде, подкисленной или нейтральной, освобожденной от воздуха и подвергнутой действию  $\alpha$ -лучей, не сильно отличаются от описанных выше. Действительно, в этом случае концентрация  $\text{H}_2\text{O}_2$  вдоль траектории  $\alpha$ -частиц очень велика, а число свободных радикалов меньше, чем в случае действия рентгеновских лучей. Следовательно, реакция (4) здесь имеет преимущество перед реакцией (1). Установлено, что количество кислорода, эквивалентное молекулярному водороду, входит частично в виде  $\text{H}_2\text{O}_2$ , частично же в виде газообразного  $\text{O}_2$ . Однако на скорость образования  $\text{H}_2\text{O}_2$  под действием  $\alpha$ -лучей величина рН не влияет. Это, вероятно, объясняется, с одной стороны, очень малой концентрацией свободных радикалов на пути следования  $\alpha$ -частиц; свободные радикалы быстрее, нежели молекулярные образования, диффундируют в толщу раствора, рекомбинируя там с образованием  $\text{H}_2\text{O}_2$ ; с другой стороны, по пути следования  $\alpha$ -частицы раствор обладает повышенной кислотностью.

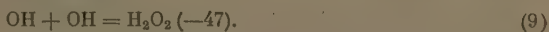
б) Образование и разложение  $\text{H}_2\text{O}_2$  в присутствии кислорода. В воде, не освобожденной от воздуха или насыщенной кислородом и подвергнутой действию рентгеновских или  $\gamma$ -лучей, образуется  $\text{H}_2\text{O}_2$  с относительно большим выходом. Величина этого выхода неодинакова у различных авторов (вероятно, по причине различия в еще уточненных условиях опыта). Тем не менее все авторы сходятся на то,

в кислых средах образуется больше перекиси водорода, чем в средах, которых близок к нейтральному [7—12]\*. Когда облучают воду, уже ржащую перекись водорода, скорость разложения последней согласно Бюагу не зависит от pH и сравнима со скоростью разложения  $H_2O_2$  в подкисленной воде, освобожденной от воздуха [9].

Мы уже отмечали, что в присутствии кислорода атомы H стремятся вызывать радикал  $HO_2$  по реакции



Следовательно, образование  $H_2O_2$  здесь должно быть приписано в основном реакции (7). В той мере, в которой свободные радикалы OH, освобождающиеся при связывании их партнеров — атомов H, не взаимодействуют с  $H_2O_2$  и  $HO_2$  [реакции (4) и (6)], они могут содействовать образованию перекиси путем рекомбинации

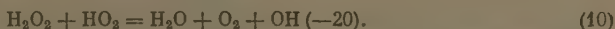


Те же рассуждения могут быть приложены к качественному объяснению образования перекиси водорода в кислой среде под действием  $\alpha$ -излучения полония.

Анта [13] наблюдала при этом резкое возрастание выхода перекиси в случае растворов, насыщенных воздухом ( $G$  возрастает от 0,95 приблизительно до 1,45). Под действием сильно ионизирующего излучения реакция (9) приобретает существенное значение на пути следования  $\alpha$ -частиц, а число свободных радикалов здесь меньше, чем при облучении рентгеновскими или  $\gamma$ -лучами. Следовательно, увеличение выхода перекиси в присутствии воздуха в данном случае может быть приписано исчезновению реакции (2) и возникновению реакции (7).

В нейтральной среде образование  $H_2O_2$  под действием  $\gamma$ -лучей уменьшается либо потому, что скорость (7') много меньше, чем (7), либо потому, реакция (6') более значительна, чем (6). Может также случиться, что эти возможности проявляются одновременно.

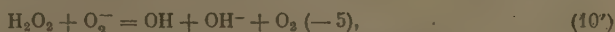
При рассмотрении разложения  $H_2O_2$  в присутствии воздуха необходимо в первую очередь принять реакции (4) и (6), как это делалось выше для отсутствия воздуха, и заменить (2) на



Если результаты, полученные Бюагом и Эбертом [9] о равенстве скорости разложения перекиси водорода в кислой среде, в присутствии и отсутствии кислорода, будут подтверждены, то из этого следовало бы либо то, энергии активации (10) и (2) близки, несмотря на значительное различие  $\Delta F$ , либо то, что разложение перекиси в основном определяется реакциями (4) и (6).

Однако второй результат, полученный названными авторами, а именно, отсутствие влияния на скорость процесса замены кислой среды на нейтральную, противоречит в пользу первого предположения.

Уменьшение скорости разложения перекиси при переходе от кислой к нейтральной среде за счет замены реакции (10) на реакцию (10'), сопряженное с уменьшением свободной энтальпии



тогда компенсироваться заменой реакции (6') на (6).

Однако нельзя считать безусловным, что в рассматриваемых опытах перекись водорода была вполне свободна от стабилизаторов. Последние же

\* В оригинале вслед за [7] даются ссылки [7, 9, 12], а далее [13] и по порядку. Видно, следует понимать, как [7—12], поскольку ссылки [8, 10] и [11] отсутствуют. Тем не менее, даны в списке литературы. (Примечание редакции.)

могут иметь влияние на протекание радиохимического процесса и влияни это трудно оценить и предвидеть.

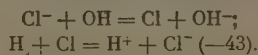
Если реакции (10) и (10') действительно имеют значение в кислых и нейтральных средах, можно было бы ожидать увеличения образования или уменьшения распада перекиси при рН выше 12, так как здесь  $\text{H}_2\text{O}_2$  находится в форме  $\text{HO}_2^-$ . Вероятность реакции  $\text{HO}_2^- + \text{O}_2^-$  в этих условиях должна значительно уменьшиться. Некоторые авторы допускают, вместе с Вейссом [14], что радикал  $\text{OH}$  в щелочной среде также диссоциирует на  $\text{H}^+$  и  $\text{H}^+$ .

Из принятия этой гипотезы следует увеличение скорости как реакции деструкции (4) и (6'), так и реакции образования перекиси (9). Однако соответствующих экспериментальных данных еще очень мало [15]. Опыт поставленные в нашей лаборатории Кулькес, возможно, внесут ясность в этот вопрос.

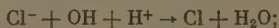
в) Образование и разложение перекиси водорода в присутствии ионов галогенов. Ионы  $\text{Cl}^-$  и  $\text{Br}^-$  обладают способностью защищать  $\text{H}_2\text{O}_2$  от разложения в подкисленном растворе, освобожденном от воздуха [16]. В нейтральной среде ионы  $\text{Cl}^-$  утрачивают эту способность, тогда как ионы  $\text{Br}^-$  сохраняют ее [17].

В противоположность этому, в присутствии кислорода ионы галогенов замедляют не распад, а образование перекиси водорода в кислой среде [18]. Однако при рН выше 3 и вплоть до нейтральности ионы  $\text{Cl}^-$ , по-видимому, совсем не влияют на этот процесс.

Обычно способность ионов галогенов замедлять радиохимическое разложение  $\text{H}_2\text{O}_2$  объясняется наличием реакций переноса зарядов:



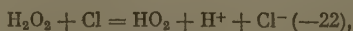
Реакция (11), однако, характеризуется возрастанием свободной энтальпии на 17 ккал/моль; эта величина равна 4,6 ккал/моль для случая ионов  $\text{Br}^-$ . Согласно Американскому бюро стандартов, изменения энтальпии достигают +4 ккал/моль для  $\text{Cl}^-$  и -9 ккал/моль для  $\text{Br}^-$ . Чтобы объяснить подавление защитного действия  $\text{Cl}^-$  при рН, большем чем 3, Зворск [18] пишет уравнение (11) в виде



этой реакции соответствует  $\Delta F = -7,3$  ккал/моль. Но тримолекулярная реакция маловероятна в среде, где имеется большое число конкурирующих процессов, и она должна сильно зависеть от изменения концентраций ионов  $\text{H}^+$  даже в области рН от 0 до 2.

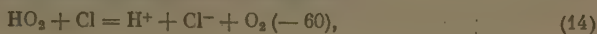
Между тем опыт показывает, что как способность защищать  $\text{H}_2\text{O}_2$  от разложения, так и способность замедлять образование перекиси водорода очень мало изменяются в этой области рН и резко усиливаются, когда эта величина становится больше 2. Не пытаясь дать удовлетворительное объяснение указанному энергетическому затруднению, которое может, отпало, если бы имелись более точные сведения о величине  $\Delta F$  различных термов, мы полагаем, что роль кислотности заключается в создании условий для диссоциации  $\text{HO}_2^-$ . Действительно, влияние кислотности начинает проявляться при рН, благоприятных для диссоциации радикала  $\text{HO}_2^-$ .

Роль  $\text{HO}_2^-$  становится ясной при допущении, что атомы  $\text{Cl}$  особенно легко взаимодействуют с  $\text{H}_2\text{O}_2$



несмотря на то, что  $\Delta F$  здесь меньше, чем в реакции (12). Различие в  $\Delta F$  с избытком компенсируется реакцией (5), регенерации ведущей к регенерации  $\text{H}_2\text{O}_2$ . Сравнивая сумму  $\Delta F$  реакций (13) и (5) с  $\Delta F$  реакции (12), легко убедиться, что последняя протекает в две стадии.

В случае подкисленного раствора, освобожденного от воздуха, provavelmente, пренебречь конкурирующей реакцией



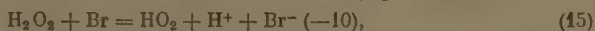
в нейтральной среде простой переход электронов делает значительно более вероятным процесс



образование  $\text{H}_2\text{O}_2$  уменьшается или же совсем прекращается, тем более атомы Н, не вступившие в реакции (12) и (5), могут взаимодействовать молекулой  $\text{H}_2\text{O}_2$  по реакции (2), образуя при этом радикал ОН, необходимый для протекания процессов (13) и (14).

Совокупность всех этих реакций может привести к образованию своего кислорода и молекулярного водорода, что, по-видимому, согласуется с опытом.

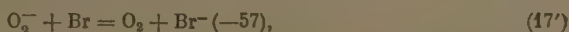
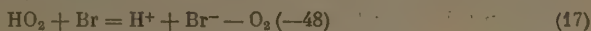
То обстоятельство, что перекись водорода лучше стабилизируется ионами, может иметь одно из следующих объяснений: 1) реакция



требует более высокой энергии активации, чем соответствующая реакция с участием хлора и в конкуренции с процессом



иное преимущество имеет последний; 2) вследствие меньшего сродства электронам у брома, реакции:



протекают легче, чем (5) и (5').

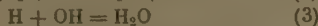
Наконец, замедление образования перекиси водорода в кислых средах, содержащих кислород, очевидно, объясняется заменой радикалов  $\text{HO}_2$  на атомы Н. Следствием этого является прекращение реакций (12) и (5). Поэтому атомы Cl участвуют в реакциях разложения перекиси (13) и (14). В нейтральной среде наблюдается уменьшение выхода перекиси, даже в отсутствие ионов галогенов, как было показано, вследствие реакций (4') и (14'). При наличии ионов  $\text{Cl}^-$  вместо последних протекают реакции (13') и (14'). Константы скоростей этих реакций мало отличаются от констант скоростей реакций (4') и (6'), тогда как замедление образования перекиси в присутствии  $\text{Br}^-$  протекает эффективно по тем же причинам, что и в случае стабилизации  $\text{H}_2\text{O}_2$ .

Учитывая большое разнообразие рассмотренных реакций, мы свели основные из них в таблицу.

А. Вода, подкисленная и освобожденная от воздуха

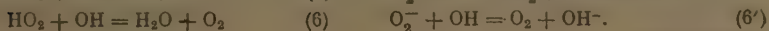
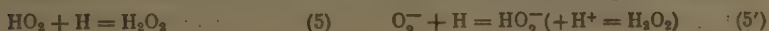
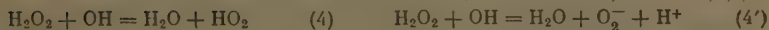
Вблизи нейтральной точки

$$\text{pH} < 3$$

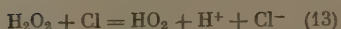
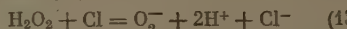
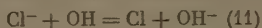


То же при наличии  $\text{H}_2\text{O}_2$

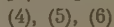
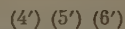
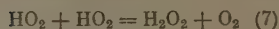
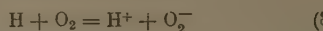
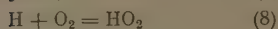
(1), (2), (3)



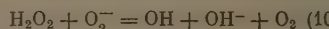
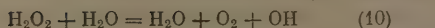
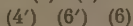
То же при наличии  $\text{Cl}^-$



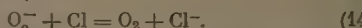
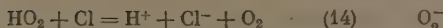
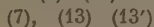
Б. Вода, подкисленная и содержащая кислород.  
Вблизи нейтральной точки



То же, при наличии  $\text{H}_2\text{O}_2$



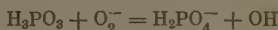
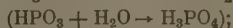
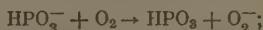
То же, при наличии  $\text{Cl}^-$



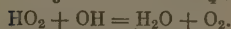
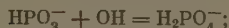
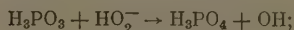
Возможно, что накопление новых, более точных, экспериментальных данных и количественная кинетическая обработка их позволят несколько изменить, а в некоторых случаях коренным образом переработать предложенные здесь схемы, но мне кажется, что сформулированные выше основные положения всегда будут полезны для ориентации, когда нужно выбрать наиболее вероятную из двух возможных реакций.

в) Радиохимические процессы окисления кислорода, требующие принятия цепного механизма. 1) В упомянутой выше статье [3] я допускал, что получение Коттэном [19] очень высоких выходов, при окислении фосфористой кислоты в среде с  $\text{pH} = 3$  или 4 в присутствии кислорода может быть объяснено наличием цепной реакции.

Эта реакция возникает вследствие связывания молекулы кислорода промежуточным продуктом превращения  $\text{H}_2\text{PO}_3$  (с  $\text{P}^{\text{IV}}$ ). Позже Коттэ показал, что это промежуточное соединение может образовываться как радикалами  $\text{OH}$ , так и атомами  $\text{H}$ . Учитывая основное положение (о переходе заряда, можно более точно представить интересующий нас цепной механизм при помощи следующих реакций:

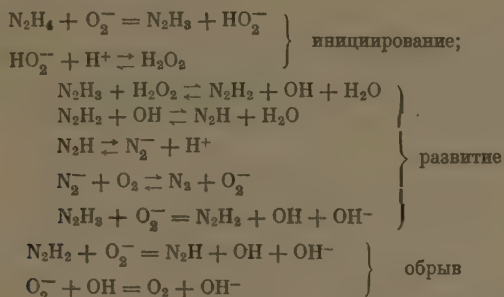


или

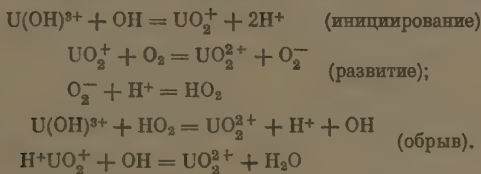


Опыт показывает, что выход уменьшается в 0,8N растворах  $\text{H}_2\text{SO}_4$ . Это становится понятным, если допустить, что концентрация гипотетического иона  $\text{HPO}_3^-$  (который, так же как  $\text{H}_2\text{PO}_3^-$  и  $\text{H}_2\text{PO}_4^-$ , образуется при диссоциации слабой кислоты) значительно уменьшается в присутствии сильной кислоты. В этом случае переход зарядов на молекулу замедляется.

2) В своей недавней работе с Лефором мы установили [20], что окисление гидразина в щелочном (но не в кислом) растворе, насыщенном духом, является цепной реакцией для объяснения которой нами предложен следующий механизм:



3) В приводимом, совместно с Дюфло, исследовании окисления сульфата урана ( $\text{U}^{\text{IV}}$ ) в кислой среде, под действием  $\gamma$ -лучей мы обнаружили большие выходы ( $G_R \approx 40$ ), что несомненно указывает на цепной характер реакции. Поскольку вероятно, что переход  $\text{U}^{\text{IV}}$  в  $\text{U}^{\text{VI}}$  протекает без образования  $\text{U}^{\text{V}}$ , мы предполагаем следующий механизм процесса упрощения, ионы  $\text{U}^{\text{IV}}$  изображаются  $\text{U}(\text{OH})^{3+}$ , не вводя предположений об истинном состоянии таких ионов в рассматриваемой среде):



Мы надеемся, что развитие в настоящей статье взгляды смогут быть использованы для объяснения многих реакций, протекающих под действием ионизирующего излучения на органические вещества, а также цепной автокаталитического окисления этих соединений.

### ВЫВОДЫ

1. Дается объяснение влияния кислорода и pH среды на радиохимическое образование и распад перекиси водорода. Для этого уточняются условия, в которых молекула кислорода может «активироваться», получая электрон от нестабильного продукта радиолиза.
2. Сформулированы некоторые общие правила, которые, по-видимому, разделяют переходы зарядов при радиолизе и в реакции автоокисления.
3. Выведенные заключения использованы также для интерпретации способности ионов галогенов стабилизировать  $\text{H}_2\text{O}_2$ , а также замедлять процессы образования  $\text{H}_2\text{O}_2$  и цепного окисления некоторых неорганических веществ.

Институт радия  
Париж

Поступило  
13. VIII. 1956

### ЛИТЕРАТУРА

- Е. А. Бел, Osterr. chem. Zs., 52, 145, 1951; Zs. Electrochem., 5, 1, 1955; Monatsh. Chem., 85, 722, 1954 и во многих других статьях в том же журнале.  
М. Haïssinsky et M. Lefort, Колоквиум по радиохимическим превращениям, Милан—Рим, 1953.

3. И.А.Казарновский, ДАН, 59, 67, 1948.  
M. Haissinsky, Journ. chim. phys., 52, 513, 1955.
  4. R. Platzman, Nat. Res. council, Washington, 2, 22, 1955.
  5. R. Platzman, Rad. Res., 2, 1, 1955.
  6. W. Latimer, Oxidat. States of Elements, N. Y., 1952.
  7. См. для библиографии: M. Lefort, Actions chim. biol. des radiations, Masson, Paris, 1, 93, 1955.
  8. L. Gray, Journ. chim. phys., 48, 172, 1951.
  9. M. Ebert, J. Boag, Discuss. Farad. Soc., No. 12, 189, 1952.
  10. A. Allen, R. Holroyd, Journ. Amer. Chem. Soc., 77, 5852, 1955.
  11. E. Hart, S. Gordon, D. Hutchison, Journ. chim. phys. 52, 570, 1955.
  12. W. Maynard, W. Anderson, H. Evans, O. Rosen, Rad. Res., 379, 1955.
  13. M. Anta, Thèse, Paris, 1955.
  14. J. Weiss, Journ. chim. phys., 48, 6, 1951.
  15. G. Hochandel, Journ. Phys. Chem., 56, 587, 1952.
  16. M. Cottin, M. Lefort, Journ. chim. phys., 52, 545, 1955.
  17. См. H. Pricke, Journ. chim. phys., 2, 556, 1934; П. Долин, Изд-во АН СССР, 1955.
  18. T. Sworski, Journ. Amer. Chem. Soc., 76, 4887, 1954; Rad. Res. 2, 26, 1955.
  19. M. Cottin, These, Paris, 1936.
  20. M. Lefort et M. Haissinsky, Journ. chim. phys., 53, 527, 1956.
-

# ПРОВЕРКА УРАВНЕНИЯ Г. М. ПАНЧЕНКОВА

(ЗАВИСИМОСТИ КОЭФФИЦИЕНТА ВЯЗКОСТИ ОТ ТЕМПЕРАТУРЫ  
ДЛЯ ДВОЙНЫХ ЖИДКИХ СМЕСЕЙ)

**Ф. П. Довженко**

Теория зависимости вязкости двойных жидких смесей от температуры создана.

Механизм передачи количества движения от слоя к слою при вязком тении жидкости, установленный современными теориями для чистых жидкостей, переносится также на случай жидких смесей. Это, однако, требует широкого экспериментального подтверждения.

Уравнения зависимости вязкости от температуры для чистых жидкостей могут быть использованы для определения зависимости вязкости от температуры жидких смесей. Однако применимость предложенных рядов формул к жидким смесям была доказана на очень небольшом экспериментальном материале.

Для проверки пригодности формул расчета вязкости двойных жидких смесей мы использовали полученные нами экспериментальные данные по вязкости и плотности двойных жидких смесей (четыреххлористый углерод — бензол, четыреххлористый углерод — хлороформ, хлороформ — этиловый спирт, диметиланилин — анилин, диметиланилин — бензол, этиловый — бутиловый спирты, анилин — нитробензол, нитробензол — фенол), исследованных в температурном интервале от 5 до 50° С через каждые 5° при концентрациях 0, 10, 20, ..., 100. При этом оказалось, что значения вязкости жидких смесей уравнению А. И. Бачинского удовлетворяют только для смеси (четыреххлористый углерод — хлороформ, четыреххлористый углерод — бензол, диметиланилин — бензол, фенол — нитробензол) и уравнению типа Френкеля — Андраде удовлетворяют лишь две смеси (диметиланилин — анилин, анилин — нитробензол) [1].

На этих же экспериментальных данных производилась и проверка уравнения Г. М. Панченкова [2]:

$$\eta_0 = A_0 \rho^{1/2} T^{1/2} (e^{\epsilon_0/RT} - 1), \quad (1)$$

объясняющего зависимость коэффициента вязкости от температуры состава. Как показала проверка, уравнение Г. М. Панченкова хорошо удовлетворяет экспериментальным данным, что видно из табл. 1—7, где сопоставлены экспериментальные и вычисленные по уравнению (1) значения коэффициента вязкости в зависимости от температуры дают хорошее совпадение. В таблицах отклонение  $\eta_{\text{эксп}}$  от  $\eta_{\text{расч}}$  рассчитано по формуле

$$\Delta\eta = \frac{\eta_{\text{эксп}} - \eta_{\text{расч}}}{\eta_{\text{эксп}}}. \quad (2)$$

Из табл. 1—7 видно, что с увеличением энергии связи  $\epsilon_0$  между молекулами компонентов смеси вязкость смеси увеличивается. Этот результат согласуется с основными положениями теории Г. М. Панченкова. Согласно этой теории передача количества движения от слоя к слою обуславливается временным объединением на границе слоев тех молекул, средняя кинетическая энергия которых недостаточна для преодоления сил молекулярного

Таблица

## Хлороформ — четыреххлористый углерод

t°C	20,87*			51,7*			90,83*		
	$\epsilon_c = 1436 \frac{\text{кал}}{\text{моль}}$ $A_s = 18661 \cdot 10^{-8}$			$\epsilon_c = 1679 \frac{\text{кал}}{\text{моль}}$ $A_s = 12706,7 \cdot 10^{-8}$			$\epsilon_c = 2180 \frac{\text{кал}}{\text{моль}}$ $A_s = 6141,4 \cdot 10^{-8}$		
	$\eta_{\text{эксп}}$	$\eta_{\text{расч}}$	$\Delta\eta, \%$	$\eta_{\text{эксп}}$	$\eta_{\text{расч}}$	$\Delta\eta, \%$	$\eta_{\text{эксп}}$	$\eta_{\text{расч}}$	$\Delta\eta, \%$
5	7,583	7,583	0,00	8,675	8,675	0,00	11,284	11,284	0,00
10	7,263	7,217	0,6	8,281	8,133	1,7	10,722	10,567	1,5
15	6,882	6,875	0,04	7,798	7,695	1,3	9,897	9,860	0,4
20	6,645	6,569	1,1	7,319	7,287	0,4	9,238	9,200	0,4
25	6,296	6,256	0,6	6,888	6,908	0,2	8,561	8,607	0,5
30	5,964	5,980	0,2	6,543	6,554	0,1	8,041	8,071	0,3
35	5,644	5,713	1,0	6,241	6,239	0,03	7,523	7,572	0,5
40	5,501	5,478	0,4	5,928	5,925	0,03	7,143	7,123	0,2
45	5,230	5,241	0,2	5,657	5,655	0,03	6,686	6,659	0,3
50	5,032	5,031	0,02	5,444	5,405	0,7	6,335	6,334	0,1

\* % CCl<sub>4</sub>.

Таблица

## Анилин — нитробензол

t°C	Нитробензол			21*			50,06*			88,36*		
	$\epsilon_c = 3617,6 \frac{\text{кал}}{\text{моль}}$ $A_s = 143,663 \cdot 10^{-8}$			$\epsilon_c = 5102 \frac{\text{кал}}{\text{моль}}$ $A_s = 3593,85 \cdot 10^{-8}$			$\epsilon_c = 4202,6 \frac{\text{кал}}{\text{моль}}$ $A_s = 682,02 \cdot 10^{-8}$			$\epsilon_c = 3701,8 \frac{\text{кал}}{\text{моль}}$ $A_s = 1277,3 \cdot 10^{-8}$		
	$\eta_{\text{эксп}}$	$\eta_{\text{расч}}$	$\Delta\eta, \%$	$\eta_{\text{эксп}}$	$\eta_{\text{расч}}$	$\Delta\eta, \%$	$\eta_{\text{эксп}}$	$\eta_{\text{расч}}$	$\Delta\eta, \%$	$\eta_{\text{эксп}}$	$\eta_{\text{расч}}$	$\Delta\eta, \%$
10	24,775	24,598	0,6	43,632	43,632	0,00	30,423	30,423	0,00	24,791	24,790	0,1
15	22,195	21,980	0,9	37,054	37,180	0,07	26,431	26,73	1,1	22,205	22,11	0,9
20	19,655	19,710	0,2	31,895	31,90	0,01	22,570	23,618	4,5	19,769	19,802	1,3
25	18,067	17,74	1,6	26,779	27,45	2,8	20,660	20,873	1,0	17,610	17,775	0,9
30	16,277	16,04	1,7	23,406	23,74	1,4	18,713	18,485	1,2	15,960	16,008	0,5
35	14,730	14,59	0,9	20,268	20,62	1,6	16,352	16,53	1,0	14,114	14,455	2,4
40	13,395	13,218	1,3	17,778	18,0	1,2	14,818	14,761	0,3	13,042	13,133	0,9
45	12,197	12,07	1,0	15,819	15,737	0,2	13,254	13,261	0,05	11,838	11,916	0,8
50	11,086	10,999	0,7	13,903	13,902	0,007	11,921	11,92	0,008	10,884	10,879	0,5

\* % нитробензола.

Таблица

## Анилин — диметиланилин

t°C	10,48*			35,31*			64,32*		
	$\epsilon_c = 3335 \frac{\text{кал}}{\text{моль}}$ $A_s = 244,39 \cdot 10^{-8}$			$\epsilon_c = 3511 \frac{\text{кал}}{\text{моль}}$ $A_s = 204,2 \cdot 10^{-8}$			$\epsilon_c = 4755,5 \frac{\text{кал}}{\text{моль}}$ $A_s = 328,95 \cdot 10^{-8}$		
	$\eta_{\text{эксп}}$	$\eta_{\text{расч}}$	$\Delta\eta, \%$	$\eta_{\text{эксп}}$	$\eta_{\text{расч}}$	$\Delta\eta, \%$	$\eta_{\text{эксп}}$	$\eta_{\text{расч}}$	$\Delta\eta, \%$
5	20,539	20,572	+0,6	27,415	27,415	0,00	41,642	41,64170	0,0003
10	18,426	18,445	+0,1	24,07	23,874	-0,7	35,697	35,754	+0,057
15	16,625	16,678	+0,07	21,35	21,33	-0,09	30,849	30,7398	-0,1092
20	15,004	15,088	+0,5	18,763	18,970	+1,1	26,447	26,853	+1,406
30	12,465	12,47	+0,4	15,260	15,10	-1,0	20,207	20,88	+3,373
40	10,463	10,427	-0,3	12,360	12,220	-1,1	15,586	16,93	+8,144
50	8,801	8,816	+0,1	9,994	9,993	-0,01	12,331	12,32	-0,011

\* % анилина.

тяжения; чем больше энергия связи между молекулами  $\epsilon_c$ , тем вероятнее их объединение и, следовательно, больше и вязкость смеси.

Применимость уравнения Г. М. Панченкова к чистым жидкостям и к смесям [1, 3] свидетельствует об одинаковом характере передачи количества движения в обоих случаях.

Надежность проверки формулы (1) гарантируется большим количеством измерений.

Диметиланилин — бензол

Таблица 4

°C	26,88°			52,2°			80,07°			Диметиланилин		
	$\epsilon_c = 2060 \frac{\text{кал}}{\text{моль}}$ $A_s = 135,187 \cdot 10^{-4}$			$\epsilon_c = 2710 \frac{\text{кал}}{\text{моль}}$ $A_s = 487,4 \cdot 10^{-4}$			$\epsilon_c = 2911,9 \frac{\text{кал}}{\text{моль}}$ $A_s = 412,46 \cdot 10^{-4}$			$\epsilon_c = 3177,8 \frac{\text{кал}}{\text{моль}}$ $A = 298,2 \cdot 10^{-4}$		
	$\eta_{\text{эксп}}$	$\eta_{\text{расч}}$	$\Delta\eta, \%$	$\eta_{\text{эксп}}$	$\eta_{\text{расч}}$	$\Delta\eta, \%$	$\eta_{\text{эксп}}$	$\eta_{\text{расч}}$	$\Delta\eta, \%$	$\eta_{\text{эксп}}$	$\eta_{\text{расч}}$	$\Delta\eta, \%$
10	9,219	9,219	0,00	10,975	10,975	0,00	13,883	13,883	0,00	16,744	16,744	0,00
15	8,202	8,336	1,5	9,786	10,07	2,8	12,539	12,677	1,0	15,200	15,907	4,0
20	7,82	7,87	0,6	9,278	9,288	0,1	11,774	11,613	1,1	13,900	13,795	0,8
25	7,09	7,523	6,0	8,510	8,5789	0,8	10,642	10,69	0,4	12,65	12,569	0,6
30	6,72	6,988	3,9	7,927	7,9456	0,2	9,894	9,836	0,5	11,749	11,517	1,8
40	5,782	6,25	7,9	6,79	6,865	0,1	8,579	8,412	1,7	9,833	9,712	1,2
50	5,132	5,132	0,00	5,985	5,98	0,09	7,269	7,266	0,04	8,278	8,278	0,00

\* % бензола.

Этиловый спирт — хлороформ

Таблица 5

°C	24,53°			55,82°			79,76°			Хлороформ		
	$\epsilon_c = 3455,6 \frac{\text{кал}}{\text{моль}}$ $A_s = 1704,3 \cdot 10^{-4}$			$\epsilon_c = 3287 \frac{\text{кал}}{\text{моль}}$ $A_s = 1464,7 \cdot 10^{-4}$			$\epsilon_c = 2475 \frac{\text{кал}}{\text{моль}}$ $A_s = 3765,31 \cdot 10^{-4}$			$\epsilon_c = 1371,13 \frac{\text{кал}}{\text{моль}}$ $A = 2034,57 \cdot 10^{-4}$		
	$\eta_{\text{эксп}}$	$\eta_{\text{расч}}$	$\Delta\eta, \%$	$\eta_{\text{эксп}}$	$\eta_{\text{расч}}$	$\Delta\eta, \%$	$\eta_{\text{эксп}}$	$\eta_{\text{расч}}$	$\Delta\eta, \%$	$\eta_{\text{эксп}}$	$\eta_{\text{расч}}$	$\Delta\eta, \%$
5	16,459	16,458	+0,005	13,132	13,131	+0,006	9,137	9,137	0,00	7,151	7,1509	0,000
14	14,946	14,651	-1,8	12,032	11,742	-2,0	8,643	8,29	-3	6,817	6,8136	-0,04
13	13,418	13,1577	-1,8	10,944	10,566	-3,1	8,119	7,679	-3,9	6,50	6,500	0,00
12	12,236	11,825	-3,0	9,80	9,456	-3	7,34	7,125	-2,6	6,216	6,202	0,2
9	9,92	9,803	-1,10	8,17	7,895	-3	6,42	6,1538	-3,1	5,594	5,676	+1,5
8	8,17	8,1446	-0,40	6,63	6,644	+0,2	5,45	5,373	-1,4	5,142	5,266	+2
6	6,84	6,840	0,00	5,62	5,619	0,00	4,86	4,860	0,00	4,800	4,799	-0,02

\* %  $\text{CHCl}_3$ .

Фенол — нитробензол

Таблица 6

°C	50,27°			80,09°			89,02°		
	$\epsilon_c = 4767,7 \frac{\text{кал}}{\text{моль}}$ $A_s = 341,05 \cdot 10^{-4}$			$\epsilon_c = 3398 \frac{\text{кал}}{\text{моль}}$ $A_s = 1037,82 \cdot 10^{-4}$			$\epsilon_c = 3684 \frac{\text{кал}}{\text{моль}}$ $A_s = 136,039 \cdot 10^{-4}$		
	$\eta_{\text{эксп}}$	$\eta_{\text{расч}}$	$\Delta\eta, \%$	$\eta_{\text{эксп}}$	$\eta_{\text{расч}}$	$\Delta\eta, \%$	$\eta_{\text{эксп}}$	$\eta_{\text{расч}}$	$\Delta\eta, \%$
25	29,66	29,659	-0,003	19,97	19,969	-0,002	18,54	18,539	-0,005
30	26,19	25,531	-2,5	18,43	17,937	-2,6	16,84	16,689	-0,8
35	22,25	22,464	+0,9	16,06	16,12	+0,5	15,09	15,073	-0,14
40	19,67	19,735	+0,3	14,59	14,578	-0,08	13,75	13,703	-0,3
45	17,55	17,434	-0,6	13,16	13,155	-0,03	12,49	12,451	-0,2
50	15,49	15,4895	$\pm 0,00$	11,97	11,971	0,0008	11,38	11,378	-0,001

\* % нитробензола.

Как видно из табл. 1—7, расхождение экспериментальных с расчетными данными не превышает 1,0%. В отдельных случаях, например для 30 смеси этилового — изобутилового спиртов при 35°C, отклонение достигает 5%.

Некоторые авторы пытались установить зависимость между вязкостью вещества и его критической температурой. Например, А. З. Голик [4] исследуя вязкость и критическую температуру спиртов, пришел к заключению, что вязкость спиртов тем больше, чем выше критическая температура.

Таблица 7

## Этиловый спирт — изобутиловый спирт

t°C	20,08*			50,33*			75,51*		
	$\epsilon_c = 5207,5 \frac{\text{ккал}}{\text{моль}}$ $A_s = 186,54 \cdot 10^{-8}$			$\epsilon_c = 4759,5 \frac{\text{ккал}}{\text{моль}}$ $A_s = 309,58 \cdot 10^{-8}$			$\epsilon_c = 4365 \frac{\text{ккал}}{\text{моль}}$ $A_s = 508,13 \cdot 10^{-8}$		
	$\eta_{\text{эксп}}$	$\eta_{\text{расч}}$	$\Delta\eta, \%$	$\eta_{\text{эксп}}$	$\eta_{\text{расч}}$	$\Delta\eta, \%$	$\eta_{\text{эксп}}$	$\eta_{\text{расч}}$	$\Delta\eta, \%$
10	35,017	35,017	0,00	25,424	25,424	0,00	20,174	20,174	0,00
15	30,134	29,708	1,4	22,160	21,884	-1,2	17,838	17,577	1,4
20	26,821	25,373	5,3	19,971	18,945	5,1	15,620	15,418	1,2
25	22,42	21,720	3,1	16,48	16,411	0,4	13,35	13,405	0,4
30	19,80	18,70	5,5	14,79	14,293	3,3	11,80	11,807	0,0
35	16,61	16,153	2,8	12,81	12,501	2,4	10,44	10,438	0,0
40	14,55	14,041	3,5	11,20	10,88	2,8	9,35	9,278	0,7
45	12,61	12,262	2,7	9,98	9,725	2,5	8,32	8,284	0,4
50	10,78	10,749	0,2	8,61	8,61	0,00	7,42	7,420	0,0

\* % C<sub>2</sub>H<sub>5</sub>OH.

На основании наших данных, мы можем отметить, что даже энергия связи  $\epsilon$  не является однозначно определяющим параметром для вязкости, если мы имеем дело с жидкостями различных структур. В этом можно убедиться при рассмотрении табл. 8, где приведены значения вязкости и энергии связи некоторых веществ. Установление для жидкой смеси зависимости между вязкостью и энергией связи (табл. 1—7) также относится к жидкостям, имеющим одинаковую молекулярную структуру (отличаются только процентным составом компонентов).

Таблица 8

## Энергии связи между молекулами органических веществ

№ группы	Вещество	$\eta \cdot 10^3$ , пуазы (50°C)	$\epsilon$ , $\frac{\text{ккал}}{\text{моль}}$
I	Хлороформ	4,8	1371,13
	Четыреххлористый углерод	6,73	2484,7
II	Бензол	4,43	2448,7
	Лимстиланилин	8,27	3177,8
	Нитробензол	11,0	3617,6
	Анилин	16,5	5697,2
	Фенол	34,19	7257
III	Этиловый спирт	6,9	3406,5
	Изобутиловый спирт	13,0	4081

Все вещества табл. 8 разбиты на три группы по типу их структурной формул. Из таблицы видно, что в пределах группы с определенной структурой с возрастанием энергии связи вязкость вещества соответственно увеличивается. Однако при рассмотрении жидкостей различных структур такой однозначной зависимости в табл. 8 установить не удается. К такому выводу пришел А. З. Голик [4].

Другими словами, следует учитывать взаимодействие молекул между собой и с молекулами другого вещества.

Взаимодействие в смеси будет зависеть от активности как одного, так и другого компонента. Поскольку взаимодействие между молекулами характеризуется энергией связи (вязкость жидких смесей согласно уравнению (1) связана с изменением энергии связи), то целесообразно сравнивать между собой вязкость и энергию связи различных веществ при одинаковых условиях, что и было нами сделано в работе. Энергия связи веществ и их смесей рассчитывалась по формуле Г. М. Панченкова на основании их экспериментальных данных по вязкости и плотности.

### ВЫВОДЫ

1. Уравнение Г. М. Панченкова, устанавливающее зависимость коэффициента вязкости двойных жидких смесей от температуры, хорошо согласуется с экспериментальными данными и является более универсальным, чем уравнение А. И. Бачинского и Френкеля — Андраде.
2. Факт применимости уравнения Г. М. Панченкова к чистым жидкостям и смесям говорит об одинаковой природе передачи количества движения от слоя к слою при вязком течении жидкости.
3. Наличие параллелизма между изменением энергии связи и изменением вязкости для жидкостей с одинаковой молекулярной структурой подтверждает положение А. З. Голика, что вязкость тесно связана с молекулярной структурой жидкости.

Одесский инженерно-строительный институт

Поступила  
25. VII. 1956

### ЛИТЕРАТУРА

- Ф. Н. Довженко, Кандидатская диссертация, Одесса, 1955.  
Г. М. Панченков, Журн. физ. хим., 24, 1390, 1950.  
Г. М. Панченков, Теория вязкости жидкостей, 1947.  
А. З. Голик, Укр. хим. журн., 14, 34, 1949.

### TEST OF THE PANCHENKOV EQUATION (THE TEMPERATURE DEPENDENCE OF THE VISCOSITY COEFFICIENT FOR BINARY LIQUID MIXTURES)

*F. P. Dovzhenko (Odessa)*

#### Summary

Panchenkov's equation for the temperature dependence of the viscosity coefficient for binary liquid mixtures is in good agreement with experimental data and is more general than the equations of Bachinskij and of Frenkel — Andrade. The validity of the Panchenkov equation both for pure liquids and for their mixtures is evidence of the like character of transfer of the quantity of motion from layer to layer in the viscous flow of liquids. The existence of a parallel between the change in bond energy and viscosity for liquids of equal molecular structures is in accord with the proposition of Golik that viscosity is intimately connected with the molecular structure of a liquid.

## СТРУКТУРА Cu — Si СПЛАВОВ И ИХ КАТАЛИТИЧЕСКАЯ АКТИВНОСТЬ В РЕАКЦИИ С ХЛОРИСТЫМ ЭТИЛОМ \*

*В. Д. Крылов и Ю. Н. Ефремов*

Кремне-медные сплавы представляют интерес как один из видов контактных масс для проведения так называемой реакции «прямого» синтеза алкил- и арилхлорсиланов путем взаимодействия сплава с хлористым метилом [1], хлористым бензолом [2], хлористым этилом [3] или другими галогидопроизводными при повышенной температуре.

Различные образцы кремне-медных сплавов одинакового химического состава обладают различной активностью в реакциях «прямого» синтеза алкилхлорсиланов, в связи с чем можно предполагать наличие связи между активностью и структурой сплавов. Однако в литературе этот вопрос до настоящего времени подробно не рассматривался. Херд и Рокс [4] считают, что медь, являющаяся катализатором синтеза метилхлорсиланов, непосредственно взаимодействует с хлористым метилом, образуя активное промежуточное соединение  $[\text{SiCl}]$ , через которое происходит синтез метилхлорсиланов. По мнению А. Л. Клебанского и В. С. Фихтегольца [5], катализирующее действие производит не свободная медь, а интерметаллическое соединение кремния и меди, распадающееся и вновь регенерирующееся в процессе синтеза. Имелик и Трамбуз [6], спекая порошки кремния и меди, установили, что полученные таким путем контактные массы, активны лишь при наличии в них интерметаллического соединения.

В настоящей работе мы стремились установить, что является катализатором реакции между кремнием и хлористым этилом, а также подойти к выяснению зависимости активности кремне-медного сплава от его структуры.

Известно [7], что в системе Cu — Si присутствуют промежуточные фазы  $\gamma(\text{Cu}_6\text{Si})$ ,  $\epsilon(\text{Cu}_{31}\text{Si}_8)$  и  $\eta(\text{Cu}_3\text{Si})$ , отвечающие 18, 21 и 25 ат. % Si. Интерметаллическое соединение  $\text{Cu}_3\text{Si}$  ( $\eta$ -фаза), вероятно, имеет гексагональную ячейку, что следует из электронной концентрации данного соединения, равной  $7/4$ .

Кремне-медные сплавы с содержанием кремния выше 25 ат. % (12,8 вес. %) образуют эвтектику из  $\text{Cu}_3\text{Si}$  и кремния.

### МАТЕРИАЛ И МЕТОДИКА

Сплавы, содержащие 20 и 35 вес. % меди, а также сплавы, отвечающие составу  $\gamma$ -,  $\epsilon$ - и  $\eta$ -фаз, изготавливались из меди марки М2 и кремния марки КР. Плавка производилась в высокочастотной индукционной печи при температуре 1400–1500° С с последующим охлаждением сплавов путем выливания их в чугунный кокиль.

Образцы для съемки рентгенограмм готовились из порошкообразного сплава. Съемка производилась в Cu- и Co-излучении в камере ВРС-3 с диаметром барабана 143,3 мм. Образцы во время съемки вращались.

Активность сплавов в реакции с хлористым этилом оценивалась по описанной ранее методике [3].

\* Исследования, связанные с химической стороной изучаемых процессов, проводились И. В. Трофимовой и Р. А. Турецкой.

## ЭКСПЕРИМЕНТАЛЬНЫЕ РЕЗУЛЬТАТЫ И ИХ ОБСУЖДЕНИЕ

На рис. 1 приведены рентгенограммы  $\gamma$ ,  $\epsilon$ - и  $\gamma_1$ -фаз. На рис. 2 приведена рентгенограмма сплава, обладавшего высокой активностью в реакции с хлористым этилом.

Проведенный по рентгенограммам фазовый анализ показал, что все сплавы, как активные, так и неактивные, состоят из двух фаз: кремния и интерметаллического соединения  $\text{Cu}_3\text{Si}$  ( $\gamma_1$ -фаза).

Однако недостаточная чувствительность рентгеновского фазового анализа не позволяет сделать заключение об идентичности фазового состава активных и неактивных сплавов, так как медь и кремний, служащие исходными компонентами в приготовлении сплавов, могут содержать в сумме свыше 2% примесей Al, Fe, Ca и др. Кроме того, возможно загрязнение сплава примесями и в процессе плавки. Свойства же металлов и сплавов и, в частности, их каталитические свойства могут существенно зависеть от наличия даже небольшого количества примесей.

С целью выявления различий в изменении структуры активного и неактивного сплавов в процессе синтеза были получены рентгенограммы образцов сплавов, участвовавших в реакции с хлористым этилом в течение 4 час., как для активного (рис. 3), так и для неактивного (рис. 4) сплава. Рассмотрение рентгенограмм рис. 3 показывает, что интенсивность линий  $\gamma_1$ -фазы с момента начала реакции резко уменьшается; можно полагать, что в данном сплаве после двухчасовой работы значительная часть фазы разрушилась. Однако реакция продолжалась без заметного снижения активности. Одновременно с уменьшением интенсивности линий  $\gamma_1$ -фазы на рентгенограммах появляются линии меди, интенсивность которых увеличивается по мере разрушения соединения  $\text{Cu}_3\text{Si}$ .

Следует отметить, что даже длительная обработка сплава хлористым этилом (20—30 час.) не приводит к полному разрушению  $\gamma_1$ -фазы. Это объясняется тем, что медь, образующаяся на внешней поверхности  $\gamma_1$ -фазы, претерпевает ее контакт с хлористым этилом. Микроскопическое исследование шлифов сплавов, обработанных хлористым этилом, подтверждает это объяснение, причем, как это видно на микрофотографии участка шлифа сплава (рис. 5), медь распространяется и по зерну кремния. Видно также, что изучаемая реакция локализуется на межфазовой границе кремния и меди. Рассмотрение под микроскопом частиц полностью отработанного сплава показало, что почти вся их поверхность заблокирована медной пленкой.

Таким образом предположение, что медь является катализатором только тогда, когда она входит в интерметаллическое соединение, для рассматриваемого нами случая взаимодействия кремне-медного сплава с хлористым этилом отпадает. Изложенное дает основания сделать вывод, что катализатором реакции взаимодействия хлористого этила с кремне-медным сплавом является медь, образующаяся при разрушении интерметаллического соединения  $\text{Cu}_3\text{Si}$ .

В силу этого можно было ожидать, что у неактивных сплавов  $\gamma_1$ -фаза претерпевает распад или распадается недостаточно интенсивно и не выделяет необходимого для реакции катализатора — меди.

Это предположение полностью подтвердилось. Приведенная на рис. 4, а рентгенограмма получена со сплава неактивного в течение первых 2 час. с момента контакта с хлористым этилом. В данном сплаве за этот период времени распад  $\gamma_1$ -фазы происходил с малой интенсивностью, и образовавшейся в малом количестве меди было недостаточно, чтобы реакция шла с заметной скоростью. В начале третьего часа контакта сплава с хлористым этилом количество выделившейся меди оказалось достаточным для активизации процесса. На рентгенограмме этого сплава после его четырехчасового контакта с хлористым этилом отчетливо видны линии меди (рис. 4, б).

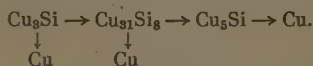
Исходя из того, что реакция локализуется на межфазовых границах, можно предположить, что та или иная скорость распада  $\gamma_1$ -фазы, т. е. та

или иная активность сплава, обусловлены различным состоянием реакционной поверхности кристаллических фаз сплава. Значительную роль здесь могут играть примеси в исходных компонентах сплава, условия его приготовления и обработки хлористым этилом.

С целью более точной характеристики поведения интерметаллического соединения  $\text{Cu}_3\text{Si}$  в процессе реакции с хлористым этилом были получены рентгенограммы сплава, отвечающего по составу чистой  $\gamma$ -фазе и проработавшего в синтезе в течение 2 (рис. 6,а) и 4 час. (рис. 6,б).

Анализ рентгенограмм показал, что входящий в состав интерметаллического соединения кремний действительно быстро реагирует с хлористым этилом, причем остающиеся атомы меди перестраиваются в решетку меди и частично образуют с кремнием небольшие количества  $\gamma$ - и  $\epsilon$ -фаз.

Сплавы, соответствующие по составу  $\epsilon$ - и  $\gamma$ -фазам, обрабатывали в свою очередь, хлористым этилом. Рентгенограммы с таких сплавов показали, что  $\epsilon$ - и  $\gamma$ -фазы в этом случае тоже распадаются, причем в случае распада  $\epsilon$ -фазы образуются  $\gamma$ -фаза и медь, в случае распада  $\gamma$ -фазы образуется только медь. Это позволяет предположить, что распад  $\epsilon$ -фазы и образование меди при удалении кремния из интерметаллического соединения происходят по схеме:



Нами были определены на разных стадиях отработки сплава размеры кристалликов образующейся меди. Размеры кристалликов, рассчитанные по формуле Селякова—Шеррера для отражения (200), оказались весьма значительными и мало меняющимися в процессе синтеза. Так, для сплава проработавшего в течение 1 часа, величина кристалликов меди оказалась равной 780 Å, для сплава, проработавшего 12 час., 820 Å.

Изложенное дает основание полагать, что каталитическое действие сплава  $\text{Cu} - \text{Si}$  в процессе синтеза этилхлорсиланов можно характеризовать двумя стадиями: начальной и стадией каталитического действия металлической меди.

В начальной стадии происходит взаимодействие хлористого этила с кремнием, входящим в соединение  $\text{Cu}_3\text{Si}$ , которое приводит к распаду этого соединения и выделению металлической меди. Ввиду того что реакция между кремнием и хлористым этилом и образование кристалликов меди происходят при весьма значительной температуре (350—400°C), кристаллики меди имеют крупные размеры, что должно отрицательно влиять на каталитические свойства.

Установленное нами различие в скорости распада  $\gamma$ -фазы в начальной стадии процесса, очевидно, должно влиять на скорость и активность реакции в последующей стадии синтеза.

Можно полагать, что достижение максимальной активности сплава непосредственно связано с накоплением оптимального количества катализатора меди, образующейся при разрушении интерметаллического соединения. Количество катализатора связано с количеством интерметаллического соединения (т. е. с количеством меди в сплаве), а также со скоростью распада. Можно полагать, что при достаточной скорости распада  $\gamma$ -фазы количество катализатора, образующегося у сплавов с более высоким содержанием меди, уже не влияет на ход основной реакции (образование диэтилдихлорсилана) и лишь способствует протеканию побочных процессов, связанных с расщеплением хлористого этила и образованием этилена и других продуктов распада.

Необходимо отметить, что на активность сплава должны отрицательно влиять большие размеры зерен кремния. Как видно из микрофотографии шлифа сплава (рис. 6), начавшего реагировать с хлористым этилом, кремний вырабатывается непосредственно в местах соприкосновения с медью.

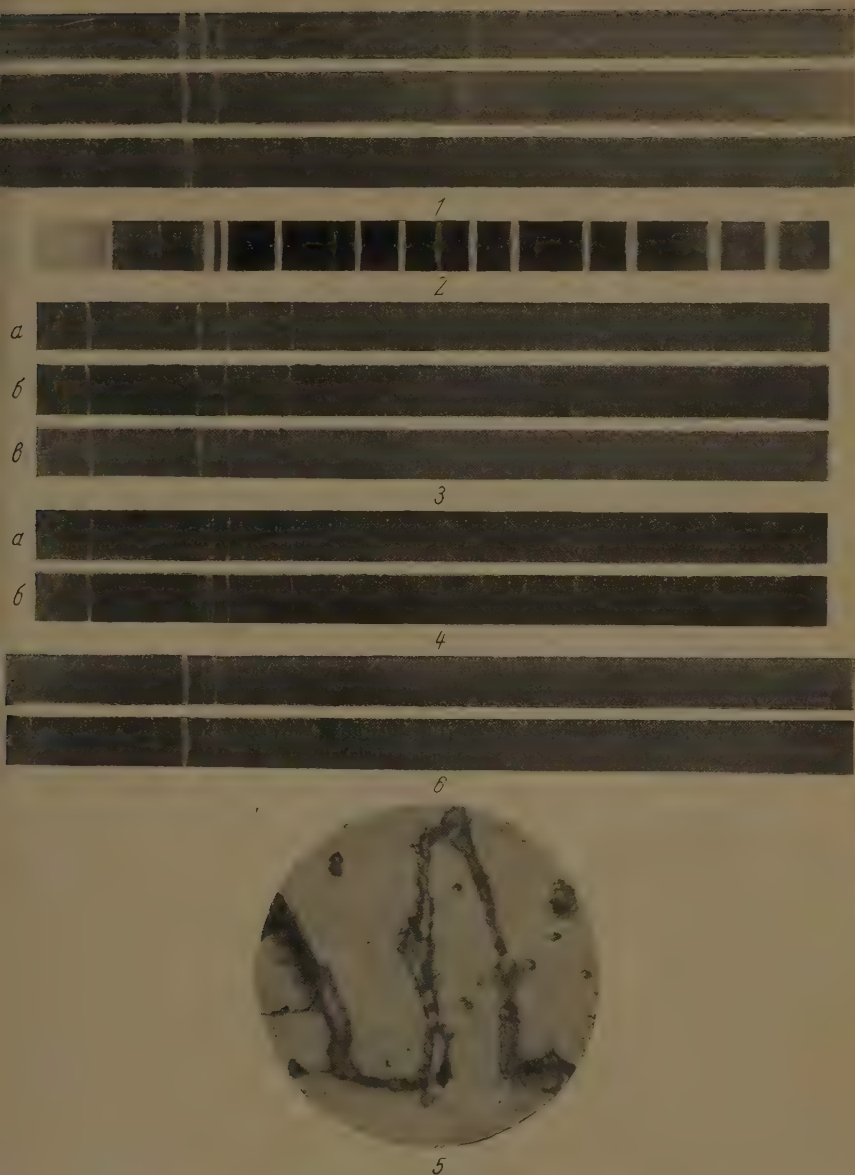


Рис. 1. Рентгенограммы *a* —  $\gamma$ -фазы; *б* —  $\epsilon$ -фазы; *в* —  $\eta$ -фазы в системе Cu — Si  
Рис. 2. Рентгенограмма активного сплава

Рис. 3. Рентгенограммы сплава Cu — Si, участвовавшего в реакции с хлористым этилом *a* — в течение 1 часа; *б* — в течение 2 час., *в* — в течение 4 час.

Рис. 4. Рентгенограммы сплава Cu — Si после контакта с хлористым этилом в течение 2 и 4 час.: *a* — сплав неактивен; *б* — сплав активен

Рис. 5. Микрофотография пилифа сплава Cu — Si после его контакта с хлористым этилом в течение 4 мин.  $\times 300$

Рис. 6. Рентгенограммы  $\eta$ -фазы после ее контакта с хлористым этилом в течение:  
*a* — 2 и *б* — 4 час.



деляющейся из  $\gamma$ -фазы, т. е. на внешней поверхности зерна кремния, градирующего с  $\gamma$ -фазой. В связи с этим уменьшение величины зерна кремния увеличивает поверхность контакта его с медью и, тем самым, должна увеличиться активность сплава.

Рассмотрение под микроскопом частиц отработанного сплава показывает, что выделяющаяся в процессе распада  $\gamma$ -фазы медь осаждается на поверхности частиц кремния. Это приводит к блокированию поверхности кремния медью и обуславливает, по всей вероятности, снижение активности сплава в процессе синтеза.

### ВЫВОДЫ

1. Рентгеновским методом исследован фазовый состав кремне-медных сплавов (20—35 вес. % Cu) и его изменение при реакции с хлористым этилом. Найдено, что все сплавы этого состава, независимо от активности упомянутой реакции, имеют двухфазную структуру: кремний и  $\text{Cu}_3\text{Si}$  (фаза).

2. При взаимодействии с хлористым этилом в начальный момент в реакцию вступает кремний, входящий в состав интерметаллического соединения  $\text{Cu}_3\text{Si}$ . Этот процесс приводит к разрушению данного соединения с образованием металлической меди, которая и является катализатором дальнейшего процесса синтеза этилхлорсиланов.

3. Выделяющаяся медь осаждается на поверхности частиц кремния, ухудшая его контакт с хлористым этилом, что должно приводить к снижению активности сплава.

4. Различие в начальной активности сплавов Cu — Si при реакции с хлористым этилом связано с различной скоростью реакции между хлористым этилом и кремнием, входящим в состав интерметаллического соединения.

Поступила  
27. VIII. 1956

### ЛИТЕРАТУРА

- R. O. Sauer, F. Had'sell, Journ. Amer. Chem. Soc., **70**, 4258, 1948.  
E. Roschow, Amer. P. 2483373. 1949; Chem. Abstr., **44**, 1950.  
К. А. Андрианов, С. А. Голубцов, И. В. Трофимова, А. С. Денисова и Р. А. Турецкая, ДАН, **108**, 465, 1956.  
D. Hurd, E. Roschow, Journ. Amer. Chem. Soc., **67**, 963, 1945.  
А. Л. Клебанский, В. С. Фихтенгольц, Журн. общ. химии, **26**, 2502, 1956.  
B. Imelik, P. Trombouze, C. R., **238** (6), 680, 1954.  
М. Хансен, Структуры бинарных сплавов, ГИТИ, 1941..

### THE STRUCTURE OF Cu-Si ALLOYS AND THEIR CATALYTIC ACTIVITY IN THE REACTION WITH CHLORETHYL

V. D. Krylov and Yu. N. Efremov (Moscow)

#### Summary

The structure of Cu-Si contact alloys and their transformations in the process of the direct synthesis of ethylchlorosilanes have been studied with the aid of x-ray and microscopic methods. It has been established that independent of their activity all the alloys consist of two phases: silicon and the intermetallic compound  $\text{Cu}_3\text{Si}$ . On treating the Cu-Si alloys with chlorethyl the latter vigorously reacts with the silicon of the compound  $\text{Cu}_3\text{Si}$ , leading to decomposition of the latter and the formation of free copper which itself is the catalyst for the synthesis of the ethylchlorosilanes.

The size of the crystallites of the copper formed has been calculated.

It was found that in inactive alloys the decomposition of  $\text{Cu}_3\text{Si}$  and formation of free copper proceeds at a very slow rate.

The copper formed in the decomposition of  $\text{Cu}_3\text{Si}$  has been shown to block the active surface of Si and  $\text{Cu}_3\text{Si}$ , leading to a fall in the intensity of this process and to the complete removal of these components.

## ЗАВИСИМОСТЬ СКОРОСТИ ЭЛЕКТРОЛИЗА ОТ СОСТАВА ОБРАТИМЫХ ОКИСЛИТЕЛЬНО-ВОССТАНОВИТЕЛЬНЫХ СИСТЕМ

*С. В. Горбачев и О. Б. Хачатурян*

При изучении кинетики электрохимических процессов в настоящее время уделяется недостаточно внимания вопросам исследования зависимости скорости электролиза от состава электролита.

В работах Габера и Русса [1], Фетера [2], Левертовича [3] и др. исследовалось влияние состава электролита на зависимость плотности тока от потенциала поляризации, но общих выводов о зависимости скорости электролиза от состава электролита получено не было.

В работе Я. И. Вабеля [4], изучавшего кинетику электрохимического окисления нафталина, обращается внимание на зависимость плотности тока от состава полученных и исходных веществ; им обнаружено, что кривые плотности тока — состав проходят через максимум, который объясняется как результат автокаталитического действия нафтохинона, получающегося в процессе окисления нафталина.

Затем в работе Хр. Ив. Нонински [5] этот эффект вновь получает свое подтверждение уже на обратной окислительно-восстановительной системе хинон — гидрохинон. Автором, к сожалению, не делается никаких попыток к объяснению полученной закономерности. Им только устанавливается факт, что максимум возникает при эквивалентном соотношении хинона и гидрохинона в случае анодного процесса и остается постоянным, не зависящим от изменения потенциала поляризации. Для катодного процесса этот максимум проявляется себя при 75% содержания гидрохинона и также не зависит от изменения потенциала поляризации.

Авторами этой статьи, независимо от указанной работы, было принято исследование зависимости скорости электролиза от состава обратимых окислительно-восстановительных систем. В качестве объекта изучения нами была выбрана хорошо изученная система ферро-, феррицианидов.

В качестве метода, позволяющего подойти к изучению этой зависимости нами была использована температурная зависимость плотности тока от потенциала поляризации, применяемая в ряде работ (см., например, [6–10]).

### ЭКСПЕРИМЕНТАЛЬНАЯ ЧАСТЬ

Зависимость скорости электролиза от состава электролита исследовалась методом температурной зависимости плотности тока при различных соотношениях окисленной и восстановленной формы цианидов железа. Электролиз проводился в стеклянном трехколленном электролизере объемом в 100 см<sup>3</sup>, снабженном стеклянной рубашкой для термостатирования. Источником нагрева служил ультратермостат. Опыты проводились при 25, 40, 60 и 80° ± 0,05° С.

Поляризационные измерения проводились при помощи потенциометра П-4. Нулевой инструмент служил гальванометр с чувствительностью 0,2·10<sup>-6</sup> А. Сила тока измерялась микроамперметром  $\mu$  А — 750/5 класса точности 0,5. Задаваемое напряжение измерялось прецизионным вольтметром Соерг с чувствительностью 0,002 В класса точности 0,2.

Электродами служила платина; в случае изучения анодного процесса анодом служила платиновая проволока видимой поверхности 0,05 см<sup>2</sup>, катодом — платиновая сетка; при изучении катодных процессов электроды менялись своими местами.

В качестве электрода сравнения применялась платиновая проволока, опущенная в изучаемый раствор, находящийся при той же температуре, что и исследуемый электрод. Такой электрод сравнения вполне себя оправдал. Равновесный потенциал в растворе

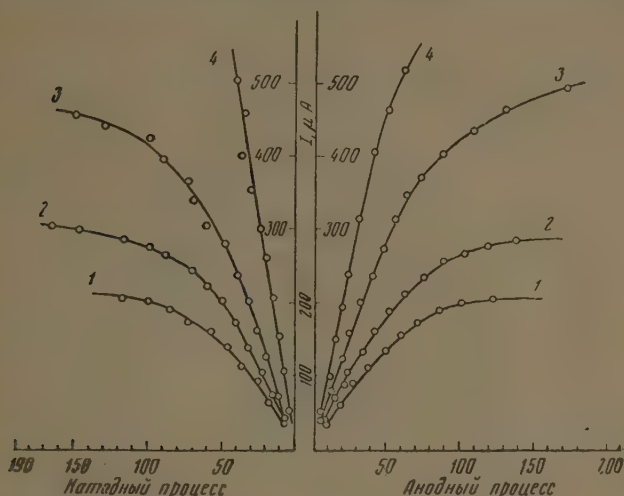


Рис. 1. Катодный и анодный процессы: 1—25; 2—40; 3—60; 4—80° С

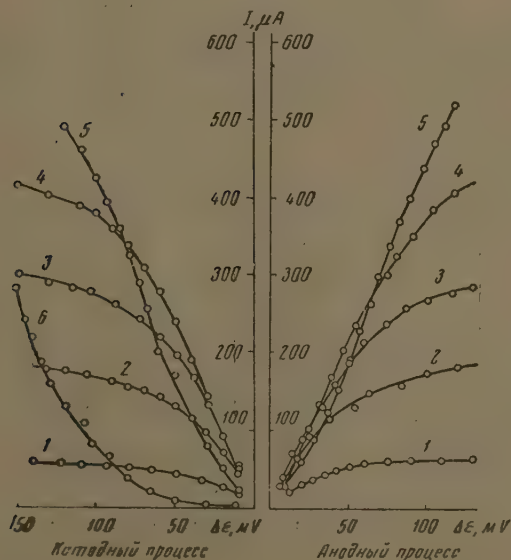


Рис. 2. Влияние состава на зависимость потенциала поляризации от силы тока при 40° С: 1—10 : 90; 2—30 : 70; 3—50 : 50; 4—70 : 30; 5—90 : 10; 6—100%

окислительно-восстановительной системы ферро-, феррицианидов устанавливается очень быстро. Это дает возможность при поляризационных измерениях получать непосредственно величину поляризации, т.е. разность потенциалов между равновесным и поляризованным электродами.

Кроме того, так как методом изучения являлась температурная зависимость потенциала поляризации от силы тока, то пользование всякими другими стандартными электродами давало бы температурную погрешность при вычислениях поляризации.

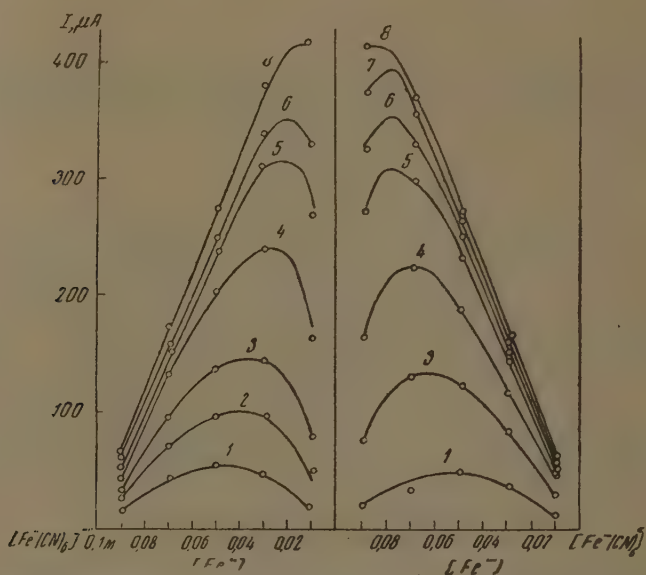


Рис. 3. Зависимость скорости электролиза от состава системы ферро-, феррицианидов при 40° С. Анодный и катодный процессы: 1 — 0,01; 2 — 0,02; 3 — 0,03; 4 — 0,05; 5 — 0,07; 6 — 0,08; 7 — 0,09; 8 — 0,1 В (кружки — экспериментальные точки)

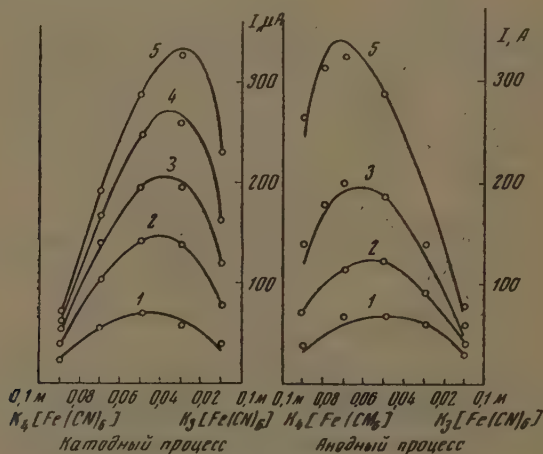


Рис. 4. Зависимость скорости электролиза от состава системы ферро-, феррицианидов при 60° С. Катодный и анодный процессы: 1 — 0,01; 2 — 0,02; 3 — 0,03; 4 — 0,04; 5 — 0,05 В

Как известно, равновесные потенциалы меняются с температурой для разных систем по-разному. Это относится также и к изучаемой окислительно-восстановительной системе по отношению к каломельному и водородному электродам.

При применении указанного электрода сравнения — платины, опущенной в обратную окислительно-восстановительную систему, эта погрешность отсутствует. Все поляризационные измерения производились всегда из свежих растворов. Для изготовления растворов применялись соли ферро- и феррицианиды марки Д. А.»

Исследовались 0,1 и 0,3 М растворы.

**Результаты измерений.** На рис. 1 приведены кривые зависимости потенциала поляризации от силы тока при различных температурах и соотношении окисленной и восстановленной формы, как 1:1; для анодного и катодного процессов. Исходная концентрация растворов 0,1 М.

На рис. 2 приведены кривые зависимости потенциала поляризации от силы тока при различных соотношениях окисленной и восстановленной формы, цианидов железа, при постоянной температуре и для той же исходной концентрации растворов.

На рис. 3 приведены анодные и катодные кривые зависимости силы тока от состава окисленной и восстановленной формы при температуре 40° С и потенциалах поляризации от 0,1 до 0,1 В.

На рис. 4 приводятся анодные и катодные кривые зависимости силы тока от состава окисленной и восстановленной формы при температуре 60° С и потенциалах поляризации от 0,01 до 0,06 В.

На рис. 5 приводятся анодные кривые зависимости силы тока от состава при 25° С потенциалах поляризации от 0,02 до 0,08 В. Концентрация исходного раствора 0,3 М.

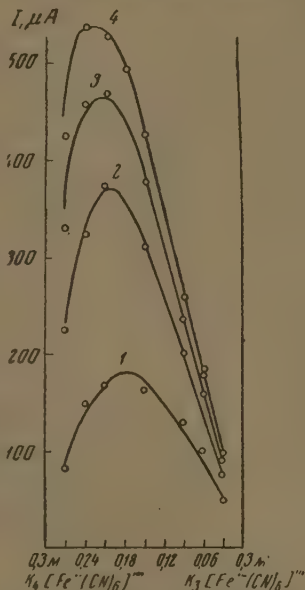


Рис. 5. Зависимость скорости электролиза от состава системы ферри-, ферроцианидов при 25° С. Анодный процесс с  $c = 0,3$  моль/л. 1 — 0,02; 2 — 0,04; 3 — 0,05; 4 — 0,06 В

## ОБСУЖДЕНИЕ РЕЗУЛЬТАТОВ

Рассмотрение кривых, приведенных на рисунках, показывает, что кинетика электрохимического окисления и восстановления ферри- и ферроцианидов имеет интересные закономерности. Все кривые, выражающие зависимость силы тока от состава для четырех температур и двух исследованных концентраций исходных растворов, как для анодного, так и для катодного процессов, проходят через максимум.

Как видно из приведенных кривых (рис. 3), максимум этот не является стабильным. Он передвигается по мере изменения состава раствора и потенциала поляризации. Кроме того, этот сдвиг является характерным как для анодных, так и для катодных процессов. Смещение максимума происходит постепенно: для анодного процесса в сторону роста окисляемого агента, для катодного процесса — в сторону роста восстанавливаемого агента.

При рассмотрении кривых также легко заметить, что максимум кривой обладает тенденцией к исчезновению по мере роста потенциала поляризации. Его исчезновение в пределах изученных концентраций происходит при потенциалах, близких к предельному току.

Далее, как видно из рис. 3, 4, максимум зависит от температуры. При температурах 25—40° С максимум более плавный, при температуре 60° С, как видно из кривых рис. 4, максимум приобретает более резко выраженный характер и по своей величине значительно превосходит максимум при 40° С.

Так как обнаруженная закономерность подтверждается не только для данной концентрации и данной температуры и является, по-видимому, закономерностью, определяемой природой лимитирующей стадии данного электрохимического процесса, то нами были проведены опыты с перемешиванием электролита. Последние проводились при помощи вращающегося

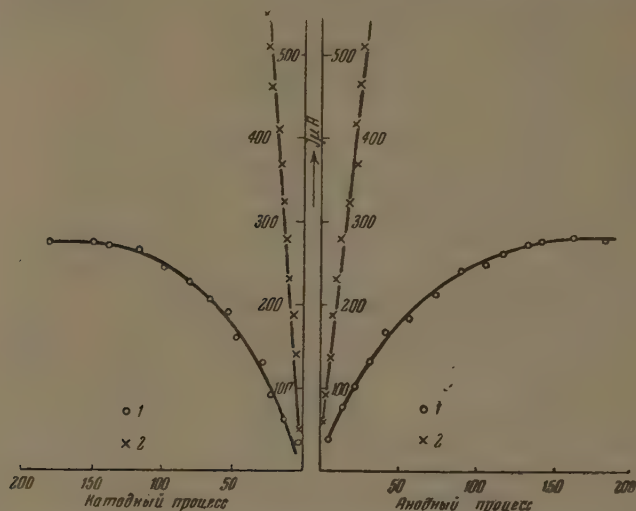


Рис. 6. Влияние перемешивания на потенциал поляризации системы ферро-, феррицианидов при  $25^\circ\text{C}$  и  $c = 0,1 \text{ моль/л.}$  1 — в спокойном электролите; 2 — с перемешиванием

электрода. Результаты приведены на рис. 6. Как видно из рис. 6, кривые зависимости потенциала поляризации от силы тока идет круто вверх и значительно превосходит своей крутизной поляризационную кривую в спокойном электролите.

Это позволяет сделать вывод о концентрационной природе лимитирующей стадии. Так как методом измерения служила температурная зависимость силы тока, то мы воспользовались методикой, предложенной С. В. Горбачевым для расчета энергии активации, величина которой определяется природой лимитирующей стадии электрохимического процесса.

На рис. 7 приведена зависимость  $\lg I$  от величины обратной температуры для анодного процесса. Как показывает расчет, энергия активации имеет величину  $4 \pm 0,3 \text{ ккал/моль}$ , т. е. величину, характерную для концентрационной природы лимитирующей стадии.

Помимо наших собственных наблюдений О. А. Есин, М. А. Лешкарев, Н. И. Ладыгин [11] и Грубе [12] указывали на то, что процесс электрохимического окисления-восстановления ферро-, феррицианидов имеет концентрационную природу. Это дало нам возможность исходя из концентрационной природы процесса, предпринять попытку рассчитать полученные кривые. Мы исходили из следующих положений.

Для стационарной концентрационной поляризации

$$I = \frac{DnF}{U\delta} (c_0 - c) = \frac{DnF}{U\delta} \Delta c = \frac{1}{\gamma} \Delta c,$$

где  $D$  — коэффициент диффузии;  $U$  — число переноса;  $\delta$  — толщина диффузионного слоя;  $\gamma = U\delta / DnF$ .

В качестве исходных условий принимается:

$$\Delta c = E_{\text{равн}} - E_{\text{поляриз. электрода}}$$

$$\Delta\varepsilon = E_0 + \frac{RT}{nF} \ln \frac{[\text{Fe}^{III}(\text{CN})_6]_0}{[\text{Fe}^{III}(\text{CN})_6]_0} - E_0 - \frac{RT}{nF} \ln \frac{[\text{Fe}^{III}(\text{CN})_6]}{[\text{Fe}^{II}(\text{CN})_6]};$$

$$\Delta\varepsilon = \frac{RT}{nF} \ln \left[ \frac{[\text{Fe}^{III}(\text{CN})_6]_0}{[\text{Fe}^{III}(\text{CN})_6]_0} \frac{[\text{Fe}^{III}(\text{CN})_6]}{[\text{Fe}^{II}(\text{CN})_6]} \right]; \quad (1)$$

так как для анодной поляризации

$$[\text{Fe}^{III}(\text{CN})_6]_0 < [\text{Fe}^{III}(\text{CN})_6] \quad \text{и} \quad [\text{Fe}^{II}(\text{CN})_6]_0 > [\text{Fe}^{II}(\text{CN})_6],$$

для анодного процесса

$$\Delta\varepsilon < 0, \quad I < 0. \quad (2)$$

Аналогично для катодного процесса

$$\Delta\varepsilon > 0, \quad I > 0. \quad (3)$$

Для зависимости скорости электролиза от состава соблюдается следующее условие:

$$[\text{Fe}^{III}(\text{CN})_6]_0 + [\text{Fe}^{II}(\text{CN})_6]_0 = [\text{Fe}^{III}(\text{CN})] + [\text{Fe}^{II}(\text{CN})_6] = M;$$

$$[\text{Fe}^{III}(\text{CN})_6]_0 - [\text{Fe}^{III}(\text{CN})_6] = -\{[\text{Fe}^{II}(\text{CN})_6]_0 - [\text{Fe}^{II}(\text{CN})_6]\} = \gamma I; \quad (4)$$

Обозначим:

$$[\text{Fe}^{III}(\text{CN})_6]_0 = x;$$

да

$$[\text{Fe}^{II}(\text{CN})_6]_0 = M - x;$$

$$[\text{Fe}^{III}(\text{CN})_6] = x - \gamma I;$$

$$[\text{Fe}^{II}(\text{CN})_6] = M - x + \gamma I.$$

Затем, подставляя в уравнение (1), получаем

$$\Delta\varepsilon = \frac{RT}{nF} \ln \left[ \frac{x}{x - \gamma I} \frac{M - x + \gamma I}{M - x} \right]$$

и

$$\frac{x}{x - \gamma I} \frac{M - x + \gamma I}{M - x} = e^{\Delta\varepsilon nF/RT} = m;$$

$$\frac{x}{M - x} \frac{\gamma I - x + M}{x - \gamma I} = \frac{x}{M - x} \left( \frac{M}{x - \gamma I} - 1 \right) = m;$$

$$I = \frac{x}{\gamma} \left( 1 - \frac{M}{(M - x)m + x} \right), \quad (5)$$

е величину  $\gamma$  следует рассматривать как эмпирическую постоянную, которая определяется из того же уравнения:

$$\gamma = \frac{x}{I} \left( 1 - \frac{M}{(M - x)m + x} \right). \quad (6)$$

Воспользовавшись этими уравнениями, мы рассчитали все семейство кривых при всех температурах.

Величина  $\gamma$  сохраняет свое значение для катодного и анодного процессов и изменяется только с температурой.

Как видно из рис. 3—5, расчет

данные находятся во вполне удовлетворительном согласии с опытом при всех исследованных потенциалах поляризации, температуры и концентрации исходных растворов. Линии кривых проведены на основании расчетов по уравнению (5). Экспериментальные данные указаны кружками.

Далее представляло интерес, пользуясь предложенное уравнение, считать координату состава, соответствующую положению максимума на кривой, т. е. найти величину  $x_{\text{макс}}$ .

Если продифференцировать уравнение (5) по  $x$  и производную приравнять нулю  $dI/dx = f(x)$ , тогда решение этого уравнения  $f(x) = 0$  позволит

Зависимость коэффициента  $\gamma$  от температуры для катодного и анодного процесса

Потенциал поляризации $\Delta\varepsilon$ , V	0,05		0,1	
	$\gamma_{\text{к}}$	$\gamma_{\text{а}}$	$\gamma_{\text{к}}$	$\gamma_{\text{а}}$
25° C	267	270	239	235
40 »	180	186	173	176
60 »	123	121	112	109

найти координату состава, соответствующую положению максимума силы тока  $I_{\text{макс}}$ , т. е. величину  $x_{\text{макс}}$ .

Перепишем уравнение (5) в таком виде:

$$I = \frac{x}{\gamma} - \frac{Mx}{\gamma mM + x(\gamma - \gamma m)} = \frac{x}{\gamma} - \frac{Mx}{A + Bx},$$

где

$$A = \gamma mM; B = \gamma(1 - m).$$

Дифференцируем

$$\frac{dI}{dx} = \frac{1}{\gamma} - \frac{(A + Bx)M - MxB}{(A + Bx)^2} = \frac{1}{\gamma} - \frac{AM}{(A + Bx)^2},$$

для максимума кривых  $dI/dx = 0$ , поэтому

$$\frac{AM}{(A + Bx)^2} = \frac{1}{\gamma}, \quad x_{\text{макс}} = \frac{\sqrt{Am\gamma} - A}{B}.$$

Подставляя вместо  $A$  и  $B$  их значения, получаем

$$x_{\text{макс}} = \frac{M \exp\left[\frac{nF\Delta\varepsilon}{RT}\right] \exp\left[\frac{nF\Delta\varepsilon}{2RT}\right]}{\exp\left[\frac{nF\Delta\varepsilon}{RT}\right] - 1}.$$

Из полученного уравнения видно, что индивидуальные характеристики веществ, образующих данную окислительно-восстановительную систему, а именно коэффициент диффузии, числа переноса, строение диффузионного слоя, в уравнение не входят, а положение максимума кривой

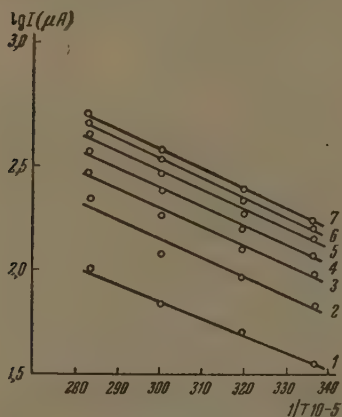


Рис. 7

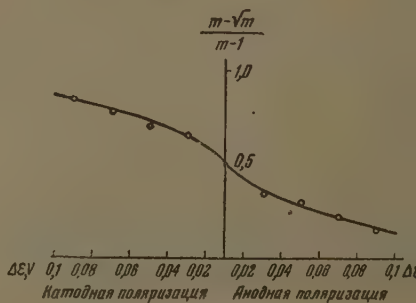


Рис. 8

Рис. 7. Графическое определение величины энергии активации. Соответствующие значения равны:  $\Delta\varepsilon$  и  $A_{\text{эфф}}$ : 1 — 0,01; 3720; 2—0,02; 4150; 3—0,03; 4100; 4—0,04; 4150; 5—0,05; 4200; 6—0,06; 4250 и 7—0,06 В; 4250 кал/моль

Рис. 8. Смещение точки  $x_{\text{макс}}$  в зависимости от изменения потенциала поляризации для анодного и катодного процессов

определяется только суммарной концентрацией, температурой и потенциалом поляризации. Следовательно, можно думать, что, по всей вероятности, полученное уравнение не является характерным только для данной системы, а является общим для всех окислительно-восстановительных систем.

Так как экспериментальные кривые обнаружили стремление  $x_{\text{макс}}$  передвигаться по мере роста потенциала поляризации, то нами был установлен ход изменения положения  $x_{\text{макс}}$  в зависимости от потенциала поляризации. Результаты представлены на рис. 8. Как видно из графика, с ростом катодной поляризации максимум перемещается в сторону более высоких значений  $x$ , с ростом анодной поляризации — в сторону более низких значений  $x$ .

Результаты расчета подтверждают вывод о концентрационной природе процесса. Обнаруженная закономерность позволяет судить о механизме протекающего электрохимического процесса. Полученное уравнение дает возможность рассчитывать по одному значению силы тока и потенциала одного состава все семейство кривых. Сопоставление с опытной кривой позволяет выяснить природу лимитирующей стадии процесса электролиза.

### ВЫВОДЫ

1. Исследование кинетики электрохимического окисления-восстановления ферро-, феррицианидов показывает, что при концентрациях в 0,1, 0,3 M и 25, 40, 60 и 80° C скорость данного процесса лимитируется концентрационной поляризацией.
2. Получено уравнение, позволяющее рассчитывать зависимость силы тока от состава при любых потенциалах поляризации для обратимых окислительно-восстановительных систем.

Химико-технологический  
институт им. Д. И. Менделеева

Поступила  
5. IX. 1956

### ЛИТЕРАТУРА

- F. Haber, K. Russ, Zs. phys. Chem., 47, 263, 1904.  
K. I. Vetter, Zs. phys. Chem., 284, 194, 1950.  
E. Lewartowicz, Chimie physique I., 49, 558, 564, 1952.  
С. В. Горбачев и Я. И. Вабель, Журн. физ. химии, 29, 23, 1955.  
Хр. Ив. Нонински, Диссертация, 1955.  
С. В. Горбачев, Журн. физ. химии, 24, 888, 1950.  
С. В. Горбачев и Н. П. Жук, Журн. физ. химии, 25, 841, 1951.  
С. В. Горбачев и А. В. Измайлов, Журн. физ. химии, 25, 1384, 1951;  
26, 296, 399, 1952.  
С. В. Горбачев и Е. П. Старостенко, Журн. физ. химии, 26, 624, 787, 802, 1952.  
С. В. Горбачев и Н. М. Васенин, Журн. физ. химии, 27, 261, 1953;  
28, 135, 1795, 1922, 1928, 2156, 1954.  
О. А. Есин, М. А. Лошкарёв, Н. И. Ладыгин, Журн. прикл. химии, 13, 987, 1940.  
G. Grube, Zs. Elektrochem., 18, 189, 1912; 20, 334, 1914.

### THE DEPENDENCE OF THE RATE OF ELECTROLYSIS ON THE COMPOSITION OF REVERSIBLE REDOX SYSTEMS

*S. V. Gorbachev and O. B. Khachatryan (Moscow)*

#### Summary

A kinetic study of the electrochemical oxidoreduction of ferro-ferricyanides showed that at concentrations of 0.1 and 0.3 M. and 25, 40, 60 and 80° C the rate of the process is limited by concentration polarization. An equation has been derived permitting the calculation of the current strength in relation to the composition at low polarization potentials for reversible redox systems.

## ФАЗОВЫЕ ПЕРЕХОДЫ И ИХ КЛАССИФИКАЦИЯ

*Г. М. Бартенев и А. А. Ремизова*

При изменении внешних параметров наблюдаются физические и химические превращения веществ. Превращения, при которых происходит переход из одной фазы в другую или исчезновение одной и появление другой, принято называть фазовыми переходами.

### ТЕРМОДИНАМИЧЕСКАЯ КЛАССИФИКАЦИЯ ФАЗОВЫХ ПЕРЕХОДОВ

Термодинамическая теория фазовых переходов [1—5] хорошо разработана, но классификация [6—8] реально наблюдаемых фазовых переходов неоправданно сложна и противоречива. Согласно теории, каждая фаза характеризуется своим термодинамическим потенциалом, зависящим от внешних параметров и температуры. В гетерогенных системах термодинамические потенциалы фаз равны между собой, что обеспечивает сосуществование фаз. В гомогенных системах реализуется та фаза, термодинамический потенциал которой минимален при данных внешних условиях.

К внешним параметрам относятся: давление  $P$ , напряжение  $\sigma$ , напряженность электрического и магнитного полей  $E$  и  $H$  и др. Внешние параметры являются обобщенными силами  $X$ , а функции состояния — объем  $V$ , магнитный момент  $M$ , электрическая поляризация  $P$  и др. — обобщенными координатами  $x$ . В случае растворов роль обобщенной силы играет химический потенциал  $\mu$ , а обобщенной координаты — молярная доля растворенного вещества  $\nu$ .

В общем виде элементарная работа системы против внешних сил равна  $\delta A = \sum X_i dx_i$ .

Переход фаз может произойти в процессе изменения температуры, концентрации или одного из внешних параметров. При этом в зависимости от внешних условий, в которых находится система, произойдет прерывный или непрерывный переход. В первом случае функции состояния (энергия, энтропия, объем, магнитный момент, поляризация и т. д.) испытывают скачки, во втором — они изменяются непрерывно, но испытывают скачки их производные (теплоемкость, коэффициент сжимаемости, коэффициент термического расширения и т. д.). В соответствии с этим встречающиеся фазовые переходы разбиваются на два вида: первого и второго рода.

Фазовые переходы первого рода подчиняются уравнению Клапейрона — Клаузиуса, которое является условием равновесия двух фаз

$$\frac{dX}{dT} = \frac{\Delta S}{\Delta x} = \frac{\lambda}{T(x_2 - x_1)},$$

где  $\Delta S = \lambda/T$  и  $\Delta x = x_2 - x_1$  — скачки энтропии и обобщенной координаты в точке перехода, лежащей на линии равновесия фаз 1 и 2,  $\lambda$  — скрытая теплота перехода,  $T$  — температура перехода,  $x_2$  — объем высокой температурной,  $x_1$  — объем низкотемпературной фазы.

Фазовые переходы второго рода подчиняются уравнению Эренфеста

$$\frac{dX}{dT} = \frac{\Delta C_X}{T \Delta(\partial x / \partial T)_X},$$

где  $\Delta C_X$  — скачок теплоемкости,  $\Delta(\partial x / \partial T)_X$  — скачок температурного коэффициента в точке перехода,  $T$  — температура перехода.

Как показал В. К. Семенченко [3], уравнение (2) является частным случаем и в то же время предельным случаем уравнения (1) при  $\Delta x \rightarrow 0$  и  $\Delta S \rightarrow 0$ .

В дальнейшем для определенности будет рассматриваться температурное изменение теплоемкости при постоянной обобщенной силе, что не меняет общности рассуждений.

Принимая во внимание, что на линии перехода

$$\frac{dX}{dT} = -\Delta\left(\frac{\partial x}{\partial T}\right)_X / \Delta\left(\frac{\partial x}{\partial X}\right)_T$$

после замены в уравнении (2)  $\Delta(\partial x / \partial T)_X$  соответствующим значением, получим формулу для скачка теплоемкости

$$\Delta C_X = -T \left(\frac{dX}{dT}\right)^2 \Delta\left(\frac{\partial x}{\partial X}\right)_T. \quad (3)$$

Многие фазовые переходы сопровождаются процессами разупорядочения, дающими аномальный ход кривой теплоемкости. Процессы разупорядочения представляют собой непрерывные изменения, вследствие теплового движения, взаимного расположе-

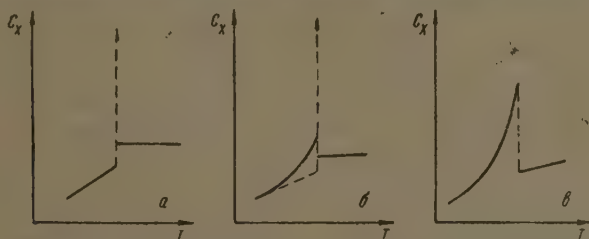


Рис. 1. Термодинамическая классификация фазовых переходов (на примере кривых теплоемкости): а, б — фазовые переходы первого рода; в — второго рода

ния атомов или молекул, или частей их составляющих. В кристаллах процесс разупорядочения при высоких температурах состоит в уходе атомов из узлов в междоузлия; иначе говоря, в обмене местами междоузлий и узлов решетки, в бинарных твердых сплавах типа замещения — в обмене местами атомов разного сорта, в жидкостях — в отходе отдельных атомов от групп ближнего порядка, в жидком гелии — в переходе атомов из сверхтекучего состояния в нормальное, у ферромагнетиков и сегнетоэлектриков дезориентации магнитных и электрических моментов атомов и т. д. Процессы разупорядочения имеются всегда, но степень проявления их зависит от природы вещества, температуры и внешних условий.

При переходе от одной фазы к другой, упорядоченной, фазовый переход связан с процессами разупорядочения, например в случае полиморфных превращений. Переход такого типа изображается кривой на рис. 1, а. К этой же схеме относятся и все фазовые переходы первого рода без разупорядочения.

К фазовым переходам второго рода с развитым процессом разупорядочения относятся превращения в бинарных сплавах типа замещения, кипение вблизи критической точки, плавление некоторых веществ и др. Этому соответствует случай б на рис. 1, который Эйкен [9] назвал смешанным переходом. Мы его назовем фазовым переходом первого рода с процессом разупорядочения.

Процесс разупорядочения приводит к тому, что в точке перехода разделение между фазами становится меньше, отсюда меньше и скрытая теплота перехода. В пределе, когда процесс разупорядочения проходит полностью, его можно достигнуть изменением внешних условий, например, параметра  $X$ , различие фаз в точке перехода теряется, и поверхностное натяжение исчезает, а скрытая теплота обращается в нуль. Это соответствует критическому переходу. Так как в критической точке  $\partial x / \partial X = \infty$ , то согласно (3) скачок теплоемкости равен бесконечности.

При дальнейшем изменении условий (увеличении температуры перехода) процесс разупорядочения развивается все больше, и скачок теплоемкости ста-

новится конечным (кривая типа *в* на рис. 1). Фазы в точке перехода становятся тождественными и различаются лишь при удалении по обе стороны от нее, что обнаруживается по изменению их свойств с температурой. Это соответствует фазовым переходам второго рода. Следовательно, они являются в указанном смысле предельными случаями фазовых переходов первого рода [4].

Из сказанного ясно, что фазовые переходы второго рода (в однокомпонентных системах) могут наблюдаться только при условии, если переход происходит от упорядоченной к разупорядоченной фазе.

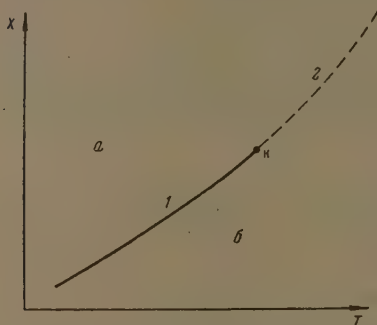


Рис. 2. Типичная диаграмма состояний в координатах обобщенная сила — температура для системы: жидкость — газ, расслаивающиеся растворы и т. п. *a* — упорядоченная фаза; *б* — разупорядоченная; 1 и 2 — кривые равновесия 1-го и 2-го рода; *к* — критическая точка

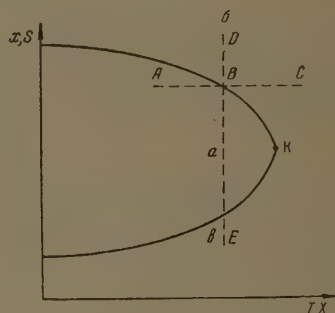


Рис. 3. Диаграмма состояний для тех же систем (рис. 2) в других координатах: *a* — двухфазная область; *б* — разупорядоченная фаза; *в* — упорядоченная фаза

На рис. 2 приведена известная диаграмма состояния, характерная для систем жидкость — газ, сверхструктура — структура в твердых сплавах для расслаивающихся растворов и т. д. Для этих же систем диаграммы состояния в других координатах приведены на рис. 3. Из диаграммы состояния (рис. 2) видно, что в некоторой области наблюдается кривая равновесия 1-го рода, описываемая уравнением (1). При повышении температуры (с развитием процессов разупорядочения) кривая равновесия фаз заканчивается критической точкой, где фазы становятся тождественными (точка *К*). При дальнейшем повышении температуры кривая фазового перехода первого рода переходит в кривую фазового перехода второго рода или линию точек Кюри\*, описываемую уравнением (2).

Таким образом, исходя из теории фаз и процессов разупорядочения, классификация фазовых переходов в рамках термодинамической трактовки приводит к трем основным случаям, изображенным на рис. 1.

Заметим еще, что, согласно схеме, на рис. 1 в точке фазового перехода первого рода значение теплоемкости обращается в бесконечность. Однако такой вид зависимости свойства от координаты не всегда будет иметь место, так как изображение фазового перехода в виде точечного процесса (рис. 1) определяется выбором координат и внешних условий, при которых происходит фазовый переход.

При заданных внешних параметрах  $X = \text{const}$  (рис. 2) фазовый переход первого рода будет изображаться как точечный процесс (рис. 1, *a*), если свойство изучается в зависимости от температуры или одной из обобщенных сил, и как неточечный, если рассматривается изменение свойств в

\* По В. К. Семенченко [10], кроме критической, существует сверхкритическая точка, отделяющая фазовые переходы второго рода от фазовых переходов третьего рода. Но фазовые переходы высших порядков в настоящее время могут быть рассмотрены лишь предположительно, так как не ясны физические процессы, их обуславливающие.

ности от изменения энтропии или обобщенной координаты (рис. 3, *DBE*). Если в процессе перехода заданы функции состояния или обобщенные координаты  $S, x = \text{const}$ , то фазовый переход первого рода также будет происходить в интервале (рис. 3, *CBA*). Однако для термодинамического анализа и классификации фазовых переходов достаточно ограничиться рассмотрением изменения свойств в зависимости от температуры при постоянной обобщенной силе (рис. 1).

В заключение следует отметить, что рассмотренная классификация вообще, чем другие [6—8], и основывается на учете реальных физических процессов.

### КРИТИЧЕСКАЯ ТОЧКА

Характерным свойством фазового перехода от упорядоченной к разупорядоченной фазе в однокомпонентных системах является возможность существования критической точки. Однако наличие упорядоченной и разупорядоченной фаз не является для этого достаточным условием. В тех случаях, когда кривая равновесия сверху и снизу ограничивается тройными точками, критическое состояние и фазовый переход второго рода не реализуются. С другой стороны, в двухкомпонентных системах критическое состояние обнаруживается при наличии двух разупорядоченных фаз (например, в расслаивающихся растворах\*). Критическая точка отсутствует вообще при переходе одной кристаллической модификации в другую; следовательно, не для всех фазовых переходов может быть реализована критическая точка, а следовательно, и фазовый переход второго рода.

Следует отметить неправильность определения критической точки как температуры, выше которой вещество может быть только в газообразном состоянии [11—13]. Точность определения заключается в том, что выше критической температуры вещество при определенных условиях может находиться как в газообразном, так и в жидком состоянии, но переход одного состояния в другое выше критической точки является непрерывным (фазовый переход второго рода, рис. 2).

Наличие двух состояний при температурах выше критической было обнаружено Англером [14], Бенцем и Стюартом [15] при исследовании рассеяния рентгеновских лучей в эфире и изопентане при сверхкритических давлениях. Более того, в некоторых случаях при температуре выше критической, кроме жидкого и газообразного, обнаруживается и кристаллическое состояние (при больших давлениях). Так, например, Симон, Рузман и Эдвардс [16] наблюдали твердый гелий при температуре, в восемь раз большей, чем критическая точка жидкого гелия. То же самое наблюдалось Симоном и Бриджменом [17] для водорода и неона и Тамманом [18] для хлорфосфана.

Наличие критической точки у системы жидкость — газ не является исключительным случаем. В. К. Семенченко [3] показал, что фазовый переход второго рода и критические явления тесно связаны между собой, эта связь имеет общее значение независимо от систем. Критическая точка наблюдается у сверхпроводников, расслаивающихся жидкостей и т. д.

### КЛАССИФИКАЦИЯ ФАЗОВЫХ ПЕРЕХОДОВ С УЧЕТОМ ФАКТОРОВ РАЗМЫТИЯ

Выше была рассмотрена термодинамическая классификация фазовых переходов без учета ряда явлений, имеющих место в реальных системах. Изменения теплоемкости вблизи фазовых переходов (особенно при высоких температурах) сложнее и отличается от схематических представлений, приведенных на рис. 1.

Причиной этого являются факторы размытия: фазовые (гетерофазные) флуктуации [19—21], малые примеси, внутренние напряжения и другие факторы, приводящие к размытию максимумов на кривых фазовых переходов.

Рассматривая крайние случаи, можно сказать, что в веществе имеются два типа флуктуаций: индивидуальные флуктуации, обусловленные тепловым движением отдельных частиц, и коллективные, связанные с группой молекул, составляющих зародыш

\* В этих случаях некоторые системы имеют нижнюю критическую точку.

новой фазы. Последние имеют место, например, в случае плавления, так как вблизи перехода могут возникать зародыши жидкой фазы, и в жидкости вблизи к кристаллизации — зародыши твердой фазы [22].

Таким образом возможны флуктуации с образованием новой фазы в старой, т. е. фазовые флуктуации. При этом чем меньше разница между термодинамическими потенциалами двух фаз, тем интенсивнее эти флуктуации. Вблизи точек перехода различие термодинамических потенциалов мало и в точке перехода равно нулю, что обеспечивает полное развитие фазовых флуктуаций. Механизм и кинетику фазовых переходов первого рода можно понять на основе фазовых флуктуаций и структурных квантов [20, 21].

Влияние малых примесей на фазовые переходы может быть различным в зависимости от системы, характера перехода, количества и характера самих примесей.

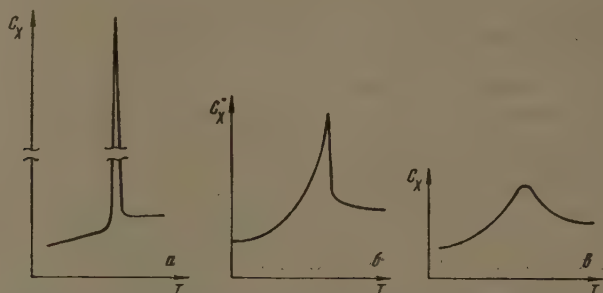


Рис. 4. Классификация фазовых переходов с учетом факторов размытия на примере кривых теплоемкости: а, б — фазовые переходы первого рода; в — второго рода.

Растворимые примеси дают размытие фазовых переходов вследствие двух причин. Во-первых, из-за влияния их на кинетику фазового перехода (облегчения образования зародышей разупорядоченной фазы); во-вторых из-за статистически неравномерного распределения молекул примесей и вследствие этого различия термодинамических состояний в различных частях системы. Нерастворимые примеси (мельчайшие твердые частицы) влияют главным образом на кинетику образования зародышей при кристаллизации.

Растворимые примеси влияют на кинетику переходов в любых системах, нерастворимые — в отдельных случаях (кристаллизация, конденсация и др.), когда частицы примесей могут явиться центрами образования зародышей новой фазы (если они по своей структуре близки к этой фазе).

Если частицы нерастворимых примесей имеют те же или большие размеры, чем структурные кванты [20, 21], то центрами образования новой фазы являются они, а спонтанное возникновение центров образования новой фазы отходит на второй план, так как этот процесс связан с преодолением более значительных энергетических барьеров. Механизм фазовых флуктуаций в случае готовых центров новой фазы состоит в росте и уменьшении зародышей путем присоединения и удаления с поверхности разделительных частиц, пока не будут достигнуты в отдельных случаях размеры зародышей соответствующие термодинамически устойчивым образованиям, т. е. размерам больше критического зародыша [4].

Отметим, что далее рассматриваются лишь малые растворимые в твердом состоянии примеси; наличие малых примесей позволяет технически чистые материалы относить к однокомпонентным системам.

Так как малые примеси сильно влияют на фазовые флуктуации, то размытие точки перехода определяется совместным влиянием примесей и фазовых флуктуаций.

Случаи фазовых переходов первого рода без процессов разупорядочения, но с наличием фазовых флуктуаций и малых примесей соответствующим

те (на рис. 4, а). Эти фазовые переходы характеризуются для хорошо ценных веществ острым и высоким максимумом и областями перепада, соответствующими величинам порядка  $0,01-0,1^\circ$  [23]. В качестве примера на рис. 5 по данным [24] приведена кривая теплоемкости чистого кадмия в области плавления. По данным Клинггардта [25] переход  $\alpha$ -железа в  $\gamma$ -железо при  $908^\circ$  также дает кривую с максимумом. В случае фазового перехода первого рода с процессом разупорядочения наличие факторов размытия приводит вместо схемы рис. 1, б к схеме рис. 4, б. В этом случае имеет место тупая  $\lambda$ -кривая.

В случае сложных систем фазовый переход первого рода часто характеризуется  $\lambda$ -кривыми и тогда, когда процессы разупорядочения не являются основными. Например,  $\lambda$ -кривые теплоемкости наблюдаются при кристаллизации типа выделения в бинарных критических сплавах [26]; при плавлении кристаллических полимеров (полиэтилен [27]) и других случаях.

В частности, в высокомолекулярных соединениях (полимерах) размытие процесса кристаллизации и плавления может быть объяснено внутренними напряжениями [28—30]. Внутренние напряжения (2 и 3 рода),

равномерно распределенные по объему поликристаллического высокомолекулярного материала, способствуют размытию переходов. При плавлении кристаллических полимеров и поликристаллических образцов металлов этот фактор размытия следует учитывать наряду

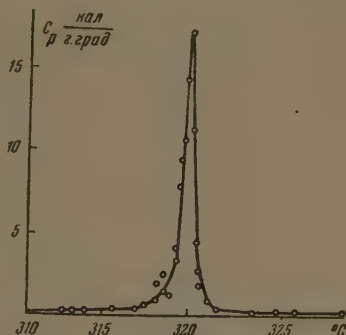


Рис. 5. Теплоемкость кадмия по данным [24]

с примесями и фазовыми флуктуациями.

Вблизи и выше критической точки фазовые флуктуации во многих случаях становятся интенсивными, что приводит к размытию  $\lambda$ -кривой. Для критической точки и выше нее, т. е. для фазового перехода второго рода, схема рис. 1, в, в тех случаях, когда факторы размытия играют существенную роль, переходит в схему рис. 4, в. Последняя изображает экспериментальную

кривую фазового перехода второго рода, например, при наличии флуктуаций, связанных с образованием в точке перехода и вблизи нее мелких участков частично упорядоченной фазы. Примером таких переходов служит переход в системе жидкость — газ в закритической области (рис. 6) и закритические переходы в расслаивающихся растворах.

По мере удаления фазового перехода второго рода от критической точки максимумы становятся все менее острыми за счет уменьшения величины скачка свойств [2], в частности скачка теплоемкости по формуле (3). Из сказанного следует, что критическая точка в чистом виде экспериментальным путем в большинстве случаев не может быть обнаружена, обнаруживается лишь критическая область.

Примером случая фазового перехода второго рода, описываемого кривой, является переход из сверхпроводящего в нормальное состояние металлах при низких температурах в отсутствие магнитного поля (рис. 7).

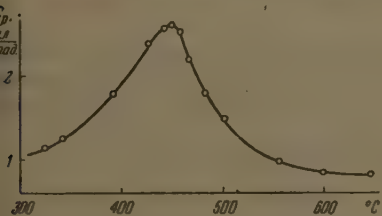


Рис. 6. Зависимость теплоемкости воды от температуры в закритической области по данным [50]

Однако этот случай является скорее исключением, а не правилом. Большинство так называемых  $\lambda$ -кривых относятся к схеме рис. 4, б, т. е. к фазовым переходам первого рода, близким, вследствие развитых процессов разупорядочения, к фазовым переходам второго рода.

Тепловые колебания в твердых телах и процессы разупорядочения соответственно дюлонговой и конфигурационной теплоемкостям, фазовым

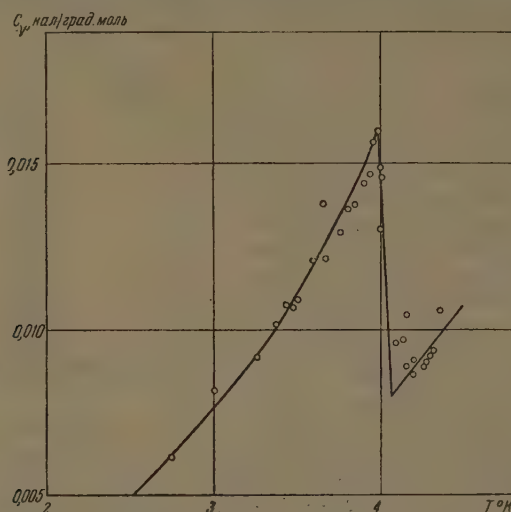


Рис. 7. Температурная зависимость теплоемкости тантала по данным [51] как пример перехода из сверхпроводящего состояния в нормальное в отсутствие магнитного поля

флуктуации, примеси и другие факторы размытия являются причиной амалии теплоемкости вблизи фазового перехода первого рода. Эти явления приводят к классификации, отличной от схемы, приведенной на рис.

### НЕКОТОРЫЕ ПРИМЕРЫ ФАЗОВЫХ ПЕРЕХОДОВ

#### Переход металлов из сверхпроводящего состояния в нормальное.

Известно [31], что возникновение сверхпроводимости связано лишь с изменением состояния электронов в металле. По мере понижения температуры происходит переход электронов из нормального в сверхпроводящее состояние, при этом величина сверхпроводящего тока определяется запасом сверхпроводящих электронов. Факторы размытия, по-видимому, в этом процессе не играют существенной роли. Поэтому обратимся к схеме на рис. 1. Характер перехода зависит от внешних условий. В отсутствие внешнего магнитного поля имеет место скачок теплоемкости (схема рис. 1, а), а в присутствии магнитного поля выделяется скрытая теплота перехода (схема рис. 1, б).

Диаграмма состояния системы проводник — сверхпроводник, приведенная на рис. 8, отличается от схемы, изображенной на рис. 2, описывающей фазовые переходы в системе жидкость — газ и в расслаивающихся растворах. Эта диаграмма является иллюстрацией того, что при изменении внешних условий (напряженности магнитного поля) можно перейти с фазового перехода первого рода к фазовому переходу второго рода, что подчеркивалось в работе [3]. В отсутствие поля имеет место фазовый переход второго рода, но при достаточно большом магнитном поле этот переход сопровождается выделением скрытой теплоты и является фазовым переходом первого рода с процессом разупорядочения.

Переход в жидком гелии. Это превращение из одной жидкой модификации в другую в однокомпонентной системе состоит в перемещении атомов гелия из нормального состояния в сверхтекучее. Если в предыдущем примере переход из сверхпроводящего в нормальное состояние происходит в чистом виде, без фазовых флуктуаций и других факторов размытия (электроны переходят в сверхпроводящее состояние по одному), у жидкого гелия, по-видимому, развиты фазовые флуктуации, так как при температуре перехода [31] в гелии II имеются зародыши нормальной фазы. Поэтому возможно, что фазовые флуктуации в жидком гелии приводят к размытию точки перехода и, следовательно, к  $\lambda$ -кривой, аналогичной схеме на рис. 4, б.

Из диаграммы состояния гелия следует, что кривая равновесия перехода гелия I в гелий II с двух сторон ограничена тройными точками. На этой кривой нет критической точки, а следовательно, и фазового перехода первого рода. Следовательно, переход в жидком гелии есть фазовый переход второго рода с процессом разупорядочивания (обычно принято считать его фазовым переходом второго рода)\*.

Кристаллизация и перориентация полимеров при растяжении [30, 35]. При растяжении кристаллических полимеров различаются два случая: переход от неориентированного к кристаллическому состоянию к ориентированному и от поперечноориентированного к продольноориентированному кристаллическому состоянию.

В качестве примера рассмотрим растяжение полиамида, при котором происходит переориентация молекул в результате рекристаллизации. А. Каргин и Т. И. Соголова наблюдали [33], что при некоторой критической нагрузке поперечноориентированная фаза скачком переходит в продольноориентированную. Переход начинается в каком-либо одном месте образца, где скачком меняется сечение (образуется шейка). При дальнейшем растяжении сила не меняется, а шейка растет за счет толстых частей образца до тех пор, пока весь образец не перейдет в нее. Дальнейшее растяжение связано с увеличением силы. Таким образом поперечноориентированная фаза характеризуется одной, а продольноориентированная — другой длиной образца. В отличие от полиморфных превращений, где есть место скачок объема, здесь имеет место скачок длины, и фазы характеризуются разными длинами. Этот случай относится к фазовому переходу первого рода от одной к другой упорядоченной фазе\*\*.

В отсутствие растягивающей нагрузки (т. е. внешнего механического поля) такие фазы не различимы, их можно совместить простым поворотом образца, в присутствии же механического поля они энергетически различны. Кривая равновесия  $P, T$  (рис. 9) отлична от диаграммы состояний  $p, T$  (рис. 2) и заканчивается точкой плавления  $T_{пл}$ . Диаграмма состояния

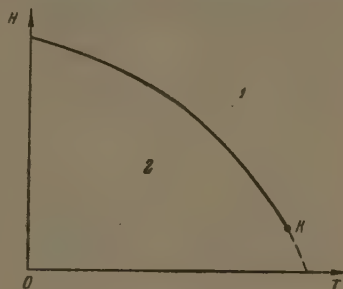


Рис. 8. Диаграмма состояний системы проводник — сверхпроводник в координатах напряженности магнитного поля — температура (схема): 1 — нормальная фаза; 2 — сверхпроводящая фаза;  $K$  — критическая точка

\* К этому же выводу пришел иным путем М. П. Мохнаткин [32].

\*\* Следует отметить, что образование шейки при растяжении полимеров и вытяжка наблюдаются и без фазового перехода, например при холодной вытяжке аморфных полимеров. Процесс холодной вытяжки связан с переходом через предел вынужденной текучести [29, 36], что аналогично переходу пластического материала через претекучесть. Сказанным мы хотим подчеркнуть, что вид кривой растяжения и ок длины при вытяжке не являются достаточными признаками фазового перехода.

в координатах  $L, T$  (рис. 10) отлична от диаграммы  $V, T$  системы газ-жидкость (рис. 3,  $x = V$ ). На рис. 10 кривые, отделяющие однофазные области от двухфазной, кончаются не критической точкой, а линией прекращения, где происходит плавление вещества. Подобные диаграммы по-видимому, характерны для переходов от упорядоченной к неупорядоченной фазе.

При растяжении аморфных кристаллизующихся полимеров [35] имеет место переход от неориентированного аморфного состояния к ориент-

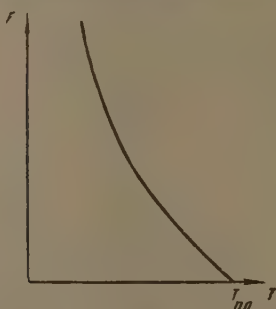


Рис. 9

Рис. 9. Кривая равновесия переходов в кристаллических полимерах в координатах растягивающая сила — температура

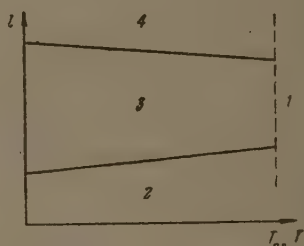


Рис. 10

Рис. 10. Диаграмма состояний для различно ориентированных кристаллических фаз полимера (в координатах длина образца — температура). 1 — жидкая фаза; 2 — поперечноориентированная фаза; 3 — двухфазная область; 4 — продольноориентированная фаза

рованно кристаллическому (цепи в кристаллах ориентированы вдоль растяжения). Растяжение происходит без образования шейки. Диаграммы состояния в координатах  $F, T$  и  $L, T_0$  изображены на рис. 11 и 12, из которых следует наличие критической точки и фазового перехода второго рода, при высоких температурах, экспериментально прямым путем еще не обнаруженных.

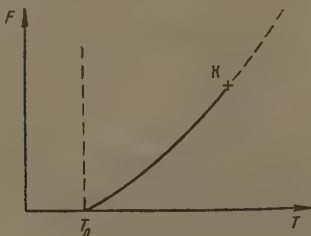


Рис. 11

Рис. 11. Диаграмма состояний аморфных кристаллизующихся каучуков при растяжении в координатах  $F, T, T_0$  — температура кристаллизации в недеформированном состоянии при  $F = 0$

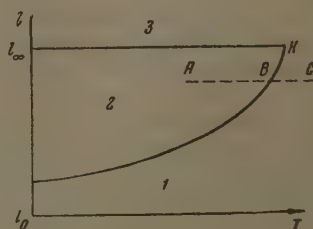


Рис. 12

Рис. 12. Диаграмма состояний кристаллизующихся каучуков при растяжении по данным [35];  $l_0$  — длина образца в недеформированном состоянии;  $l$  — длина растянутого образца;  $l_\infty$  — длина образца в предельно ориентированном состоянии;  $k$  — критическая точка: 1 — аморфная фаза; 2 — двухфазная область; 3 — кристаллическая фаза

Переходы в твердых сплавах весьма многообразны. Переход сверхструктуры в структуру у  $\beta$ -латуни при  $464^\circ$  (сплав Zn — Cu типа замещения) пока без достаточных оснований считается фазовым переходом второго рода. Из рассмотрения кривой теплоемкости по Мозеру [37] следует, что она сходна со схемой рис. 4, б, изобража-

зависимость теплоемкости от температуры для фазового перехода второго рода с процессом разупорядочения. Наличие пика на кривой теплоемкости и отсутствие четкого скачка теплоемкости указывают на то, что — фазовый переход первого рода, близкий к критической точке. Поэтому происходит с малой скрытой теплотой. Подъем кривой теплоемкости с повышением температуры (скачка нет) хорошо описывается теорией о флуктуациях [4] при значении структурного кванта в 2000 атомов, близко к величине квантов плавления металлов и других веществ. В настоящее время, однако, еще нет достаточных фактов, чтобы можно было сделать определенный вывод относительно рода перехода в  $\beta$ -латуни. Все же можно заметить, что у некоторых сегнетоэлектриков со сходной кривой теплоемкости переход в разупорядоченное состояние является фазовым переходом первого рода, близким к фазовому переходу второго рода [38].

### СТЕКЛОВАНИЕ

Характерным примером того, что по виду кривых изменения свойств, физического анализа, нельзя судить о наличии того или иного рода фазового перехода, может служить переход из жидкого в стеклообразное состояние.

В работах [39,40] переход из жидкого в стеклообразное состояние относится к фазовому переходу второго рода из-за наличия скачка свойств в области перехода, что, например, из температурных зависимостей теплоемкости силикатного стекла [41] и каучука [42] (рис. 13).

П. П. Кобеко [43] и др. установили, что процесс стеклования при охлаждении или процесс размягчения при нагревании является кинетическим, а не динамическим процессом, и поэтому является фазовым переходом второго

рода. Тепловое движение в жидкостях [20] происходит путем перегруппировки молекул или молекул с частотой тем больше, чем выше температура и ниже энергетические барьеры, определяемые структурой жидкости и силами молекулярного взаимодействия. С понижением температуры частота перегруппировок уменьшается, вследствие уменьшения кинетической энергии частиц и возрастания вязкости их упаковки при изменении пространственной структуры. При температуре стеклования частота перегруппировок становится столь малой, что при дальнейшем охлаждении перегруппировки частиц практически не происходят, и жидкость или аморфный полимер переходит в состояние с фиксированной структурой\*.

Таким образом с понижением температуры происходит «замораживание» равновесной структуры, а не переход к другой качественно отличной структуре, как это имеет место в фазовом переходе.

В стеклообразном состоянии, как и в кристалле, теплоемкость определяется колебательными степенями свободы. Из сопоставления теплоемкости кристаллического и стеклообразного глицирина [45] следует, что обе теплоемкости практически одинаковы. Объясняется это тем, что в стеклах при изменении температуры структура, как и в случае кристаллических веществ, не изменяется.

При температуре размягчения перегруппировки частиц уже происходят с достаточной скоростью, в результате чего при нагревании происходит переход от фиксированной к изменяющейся равновесной структуре, т. е. переход от стекла к жидкости. Выше температуры размягчения при нагре-

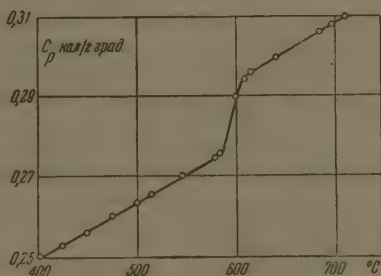


Рис. 13. Температурная зависимость теплоемкости силикатного стекла по данным [41]

\* Как отмечалось [44], имеется несколько процессов стеклования (структурное, физическое и т. д.). Здесь рассматривается структурное стеклование.

вании затрачивается дополнительная теплота на изменение равновесной структуры. Последняя характеризуется при высоких температурах менее плотной упаковкой частиц, а следовательно, более высокой потенциальной энергией. Отсюда следует, что теплоемкость системы в жидком состоянии должна быть больше, чем в стеклообразном, т. е. должен наблюдаться скачок теплоемкости.

Форма кривой теплоемкости при стекловании зависит от режима теплового воздействия. Увеличивая скорость нагревания, можно получить вместо скачка пик теплоемкости [46]. Чем больше скорость нагревания, тем острее максимум теплоемкости. Таким образом форма кривой теплоемкости при переходе от стеклообразного к жидкому состоянию зависит от скорости нагрева.

При температуре стеклования или размягчения стеклообразное и жидкое состояния тождественны и различаются лишь при удалении по обе стороны от точки перехода, что обнаруживается по изменению свойств с температурой. Эта формулировка совпадает с аналогичной для фазового перехода второго рода, что, однако, не является основанием для отождествления его с процессами стеклования, так как экспериментальные факты показывают принципиальное отличие.

Кинетическая природа стеклования приводит к зависимости температуры стеклования от скорости нагревания или охлаждения [47—49]. Увеличение скорости охлаждения (или нагревания) смещает переход в сторону высоких температур, а уменьшение — в сторону низких температур. Фазовые переходы этим свойством не обладают, так как они определяются условиями термодинамического равновесия и, следовательно, при уменьшении скорости нагревания не снижаются по температурной шкале. Кроме того, заметим, что при увеличении скорости охлаждения температура стеклования смещается вверх, а не вниз, как это имеет место для кристаллизации при переохлаждении.

Так как теплоемкость жидкости выше, чем стекла, то теплоемкость при нагревании изменяется от меньшего значения к большему. Это может служить критерием различия фазовых переходов и процессов стеклования, так как при фазовых переходах второго рода скачок теплоемкости имеет обратный знак.

Отличие фазовых переходов второго рода и стеклования состоит в том, что низкотемпературное состояние при этих переходах характеризуется меняющейся структурой (вследствие упорядочения), тогда как низкотемпературное аморфное состояние (стекло) характеризуется неизменяющейся структурой.

Наличие скачка теплоемкости в области стеклования позволяет чисто формально применять уравнение Эренфеста, что не дает каких-либо оснований к отождествлению этих физических различных процессов.

Следует отметить также, что при стекловании ни при каких условиях не наблюдались поверхности раздела фаз жидкой и «стеклообразной». Таким образом стеклообразное состояние является термодинамически неравновесным, а отождествление процессов стеклования с фазовыми переходами основано на чисто формальной аналогии.

## ВЫВОДЫ

1. В развитие существующих представлений о фазах и фазовых переходах предложена классификация фазовых переходов с учетом молекулярных процессов разупорядочения и факторов размытия. Показано, что экспериментально наблюдаемые  $\lambda$ -кривые характерны также для фазовых переходов первого рода с процессами разупорядочения при наличии факторов размытия, а не только для фазовых переходов второго рода, как принято считать. С другой стороны, многие фазовые переходы второго рода не характеризуются  $\lambda$ -кривой, что связано с влиянием факторов размытия.

2. Определение природы превращения и вида фазовых переходов только кривым изменения свойств во многих случаях затруднительно. Необходимо изучение кинетики процесса и привлечение структурных методов следования. На примере стеклования, являющегося кинетическим, а не термодинамическим процессом, показано, что общепринятые признаки фазовых переходов первого и второго родов (максимумы и скачки свойств) являются достаточными.

Московский педагогический  
институт им. В. П. Потемкина

Поступила  
12. IX. 1956

### ЛИТЕРАТУРА

- Р. Erenfest, Proc. Kön. Akad. Amsterdam, 36, 147, 1933.
- Д. Д. Ландау и Е. М. Лифшиц, Статистическая физика, ГИТТЛ, 1951.
- В. К. Семенченко, Журн. физ. химии, 21, 1461, 1947; 25, 121, 362, 1951; 26, 1337, 1952.
- Г. М. Бартенев, Диссертация МХТИ им. Менделеева, 1946; Журн. физ. химии, 23, 1357, 1949.
- В. К. Семенченко, Журн. физ. химии, 29, 174, 1955; Изв. Сектора физ.-хим. анализов 1, 26, 1949.
- Е. F. Lare, Phys. Rev., 69, 652, 1946.
- Ж. Jaffray, Ann. d. Phys., N.1, 1948.
- Ж. E. Mayer, a. S. F. Streeter, Journ. Chem. Phys., 7, 1018, 1939.
- А. Eucken, Phys. Zs., 35, 708, 1934.
- В. К. Семенченко, Сборник, Применение ультразвуки к исследованию вещества, Изд-во МОПИ, вып. 3, 1956.
- С. Э. Фриш и А. В. Тиморева, Курс физики, ГИТТЛ, т. 1, 1954.
- Н. В. Кашин, Курс физики, Учпедгиз, 1948.
- Н. Д. Паналекс (ред.), Курс физики, Гостехиздат, 1948.
- Р. D. Sprangler, Phys. Rev., 46, 698, 1934.
- С. A. Benz a. G. W. Stuart, Phys. Rev., 46, 703, 1934.
- F. Simon u. Puhemann, Edwards, Zs. phys. Chem., 6, 62, 1930; 2, 340, 1930.
- F. Simon u. Bridgman, Zs. phys. Chem., 8, 255, 1930.
- П. С. Эпштейн, Курс термодинамики, § 49, ГИТТЛ, 1948.
- Е. V. Gody, Journ. Chem. Phys., 7, 972, 1939.
- Я. И. Френкель, Кинетическая теория жидкостей, Изд-во АН СССР, 1945.
- Г. М. Бартенев, ЖЭТФ, 20, 218, 1950; Журн. физ. химии, 22, 587, 1948; 24, 1016, 1950.
- В. И. Давылов и В. Е. Неймарк, ЖЭТФ 10, 922, 1940.
- В. Н. Кострюков и П. Г. Стрелков, Журн. физ. химии, 28, 1825, 1954.
- К. Г. Хомяков, В. А. Холлер и С. А. Жванко, Вестн. МГУ, № 3, 1952.
- Н. Klinkhard, Ann. d. Phys., 84, 167, 1927.
- Г. М. Бартенев, Уч. зап. МГУ, Физика, 5, 126, 1949.
- M. Dole, W. P. Hettinger, N. R. Larson, J. A. Nethington, Trans. Farad. Soc., 41, 56, 1946.
- Е. Е. Лысенко, Журн. техн. физики, 10, 1151, 1940.
- А. П. Александров, Труды 1-й и 2-й конференции по высокомолекулярным соединениям, 1945.
- В. А. Каргин и Г. Л. Слонимский, Усп. химии, 24, 785, 1955.
- В. Л. Гинзбург, Сверхпроводимость, Изд-во АН СССР, 1946.
- М. П. Мохнаткин, Журн. физ. химии, 30, 1413, 1889, 1956.
- В. А. Каргин и Г. И. Соголова, ДАН, 88, 867, 1953; Журн. физ. химии, 27, 1039, 1208, 1213, 1325, 1953.
- A. J. Wildschut, Journ. Ann. Physics, 17, 51, 1946.
- Г. М. Бартенев и Л. А. Вишницкая, Журн. техн. физики, 22, 426, 1952.
- Ю. С. Лазуркин и Р. Л. Фогельсон, Журн. техн. физики, 21, 267, 1951.
- Н. Moser, Phys. Zs., 37, 737, 1936.
- В. Л. Гинзбург, Усп. химии, 38, 490, 1949.
- Р. Бойер и Р. Спенсер, Сборник, Химия больших молекул, № 2, стр. 3, 1948.
- N. Bekkedahl a. H. Matheson, Journ. Res. Bureau Stand., 15, 503, 1935.
- О. К. Ботвинкин и А. С. Смирнов, Новейшие работы по физической химии стекла, Гизлегпром, 1936.
- G. T. Fugikawa, R. E. McCoskey, G. J. King, Journ. Res., 50, 357, 1953.
- П. П. Кобеко, Аморфные вещества, Изд-во АН СССР, 1952; Сборник, Строение стекла, Изд-во АН СССР, 1955.

44. Г. М. Бартенеv, ДАН, 110, 805, 1956.
45. G. E. Gibson and W. F. Giauque, Journ. Amer. Chem. Soc., 45, 93, 1923.
46. С. Н. Журков и Б. Я. Левин, Юбилейный сб. к 70-летию А. Ф. Иоффе, Изд-во АН СССР, 1950.
47. Г. М. Бартенеv, ДАН, 76, 227, 1951; Сборник, Стрoение стекла, Изд-во АН СССР, 1955.
48. Г. М. Бартенеv и И. А. Лукьянов, Журн. физ. химии, 29, 1486, 1955.
49. М. В. Волькенштейн и О. Б. Птицын, ДАН, 103, 795, 1955.
50. А. Е. Шейндлин, Теплоэнергетика, № 1, 1954.
51. W. H. Keesom, Physica, 8, 273, 1941.

## PHASE TRANSITIONS AND THEIR CLASSIFICATION

*G. M. Bartenev and A. A. Remizova (Moscow)*

### Summary

In development of existing conceptions of phases and phase transitions a classification of the latter has been proposed with account made of molecular disordering process and of factors of diffuseness. The experimentally observed  $\lambda$ -curves have been shown to be characteristic not only for phase transitions of the second order, as was generally accepted, but also for phase transitions of the first order with processes of disordering in the presence of factors of diffuseness. On the other hand many second-order phase transitions are not characterized by  $\lambda$ -curves, which are connected with the influence of the factors of diffuseness.

Determination of the nature of the transformations and the type of transition only from the curves describing property changes is difficult in many cases. A study of the kinetics of the process may be required and the utilization of structural methods of investigation. As exemplified by vitrification, which is a kinetic and not thermodynamic process, it has been demonstrated that the commonly accepted characteristics of phase transitions of the first and second order (maxima and breaks in the properties) are insufficient.

## ФИЗИКО-ХИМИЯ КОНЦЕНТРИРОВАННОГО ОЗОНА

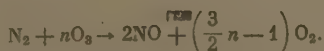
### II. ВЗРЫВНОЕ ОКИСЛЕНИЕ АЗОТА В СМЕСЯХ С КОНЦЕНТРИРОВАННЫМ ОЗОНОМ

*И. И. Кобозев, В. И. Лебедев, Б. В. Страхов и Г. И. Зыкова*

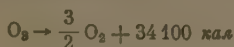
Взрывному окислению азота в смесях азот + кислород + горючее ( $\text{H}_2$ ,  $\text{CH}_4$ , и др.) посвящено значительное число работ, обзор которых дан в монографии Я. Б. Львовича, П. С. Садовникова и Д. А. Франк-Каменецкого [1], изучавших зависимость, хода окиси азота от состава смеси, начальной температуры и других условий опыта.

Однако во всех исследованиях этого рода взрывное взаимодействие азота с кислородом не носило непосредственно характера, так как в смесь всегда, по необходимости, входил третий компонент — горючее (метан, водород, окись углерода), за счет энергии сгорания которого и создавались термические и прочие условия для реакции азота с оставшимся кислородом.

Применение в качестве донора энергии, вместо кислорода с горючим, концентрированного озона, который может рассматриваться как «взрывчатый кислород», составляет основной замысел настоящего исследования последующих работ в этой области. Это позволяет полностью исключить из системы горючее и осуществить взрывное окисление азота в наиболее чистых условиях по реакции:

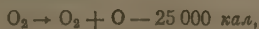


Большая энергия разложения озона

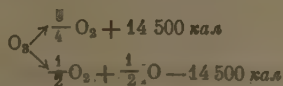


обеспечивает значительную температуру взрыва (около  $3000^\circ \text{C}$ ) в случае достаточно концентрированных озono-азотных смесей при не слишком высоких давлениях.

Кроме того, весьма легко идет термический распад молекулы озона на молекулу и атом кислорода

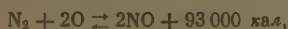


что способно создать при взрыве озона высокую концентрацию атомарного кислорода, значительно превышающую его равновесную концентрацию при температуре взрыва. Например, в условиях сопряженного изотермического разложения озона, т. е. при энергетической компенсации первых двух процессов:



количество образовавшегося атомарного кислорода может достигнуть 10 мол. % даже при обычных температурах.

Таким образом при взрывном окислении азота концентрированным озоном значительную, если не основную, роль должно играть окисление атомарным кислородом



которое будет, конечно, осуществляться через более элементарные промежуточные стадии.

Очевидно, и термодинамика, и кинетика последнего процесса будут существенно отличаться от окисления азота молекулярным кислородом. Здесь можно ожидать значительно больших равновесных выходов окисла азота, фактическое получение которых, однако, будет связано со скоростью замораживания равновесия



Таким образом осуществление взрывного взаимодействия азота с концентрированным озоном открывает ряд новых возможностей для термического окисления азота, которые мы предполагаем систематически исследовать.

Настоящая статья устанавливает самый факт окисления азота при взрыве смеси концентрированного озона с азотом и намечает тип зависимости этого процесса от давления и состава взрывной смеси.

### ЭКСПЕРИМЕНТАЛЬНАЯ ЧАСТЬ

Эксперименты проводились при низких давлениях (до 150 мм рт. ст.) в цельной стеклянной аппаратуре. На рис. 1 показана принципиальная схема установки для взрывного окисления. Через кран 1, смазанный неорганической смазкой, система заполнялась 100%-ным газообразным озоном, который был синтезирован из кислородом тщательно очищенного от воды, углекислого газа, водорода и возможных следов каких-либо органических примесей. Через краны 6 и 3 озоном заполнялась взрывная

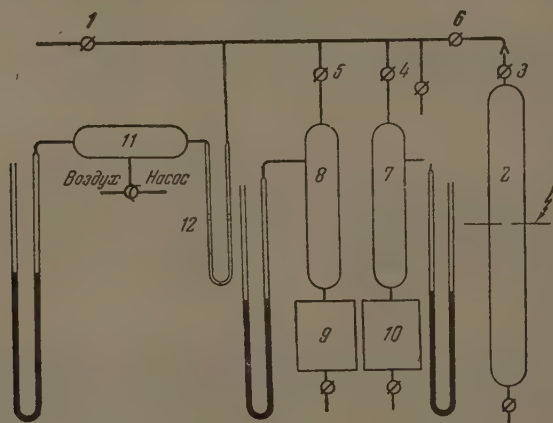


Рис. 1. Принципиальная схема установки для взрывного окисления азота

пипетка 2 и перед началом опыта, путем подрыва, производилась проверка концентрации озона. Пипетки 7 и 8 заполнялись соответственно азотом и кислородом, предварительно очищенными и осушенными в системах 9 и 10. Измерение давления смесей, содержащих озон, производилось ртутным манометром, соединенным с системой через компенсационный баллон 11 и сернокислотный манометр 12, служивший нуль-инструментом. Взрывная пипетка 2 была изготовлена из стеклянной трубки диаметром 42 мм и длиной 750 мм.

В центральной ее части были впаяны два платиновых электрода. Подрыв приготовленной смеси производился искрой от трансформатора Тесла. Объем пипетки 2 равнялся 1070 см<sup>3</sup>.

После взрыва смеси в пипетку 2 засасывалось 60 см<sup>3</sup> 1%-ной перекиси водорода,етка взбалтывалась в течение 30 мин., после чего не вошедшая в реакцию перекисьорода и следы неразложившегося озона разлагались при кипячении. Охладившийсятвор титровался едким натром по фенолфталеину до слабо-розовой окраски.

Специальные опыты показали, что в условиях проведения экспериментонечная смесь содержит только диоксид азота, а оксид азота отсут-

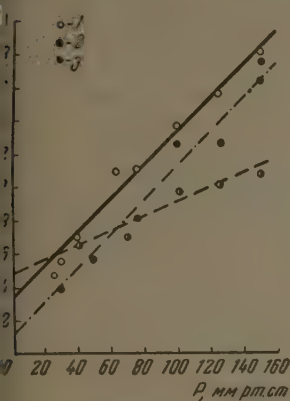


Рис. 2

2. Зависимость выхода окиси азота от давления. 1 — 80% О<sub>3</sub> + 20% N<sub>2</sub>; 2 — 70% О<sub>3</sub> + 30% N<sub>2</sub>; 3 — 70% О<sub>3</sub> + 15% N<sub>2</sub> + 15% O<sub>2</sub>

3. Зависимость выхода окиси азота от состава исходной смеси. 1 — 100 мм рт. ст. (O<sub>2</sub>); 2 — 150 мм рт. ст. (без O<sub>2</sub>); 3 — 100 мм рт. ст. (N<sub>2</sub> : O<sub>2</sub> = 1 : 1); 4 — 100 мм рт. ст. (N<sub>2</sub> : O<sub>2</sub> = 1 : 4)

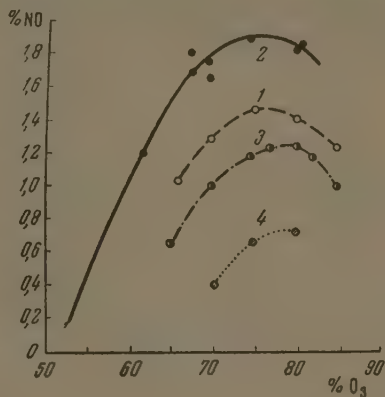
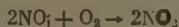


Рис. 3

ует, хотя она, по-видимому, является первичным продуктом реакции.до в том, что при избытке кислорода тримолекулярная реакция



и комнатной температуре практически доходит до конца через 1—3 мин.сле взрыва.

Выход окиси азота в зависимости от давления. Реакция взрывного окисления азота в смесях с озоном была изучена в интервале от 25 до 150 мм рт. ст. Нижняя граница определялась взрывчатостью смеси и возможностями достаточно точного анализа, верхняя граница лимитировалась устойчивостью стеклянной аппаратуры по отношению к взрыву.

На рис. 2 приведена зависимость полученных объемных процентов окиси азота от давления в конечной смеси. В изученном интервале давлений как для озонно-азотных смесей (80% О<sub>3</sub> и 20% N<sub>2</sub>; 70% О<sub>3</sub> и 30% N<sub>2</sub>), так и для озонно-азотно-кислородных смесей (70% О<sub>3</sub>, 15% N<sub>2</sub> и 15% O<sub>2</sub>) выход практически линейно растет с давлением.

Максимум выхода по давлению, на существование которого для кислородно-азотных смесей с горючими указывали М. В. Поляков с сотрудниками [2,3], в данном случае, по-видимому, находится при более высоких давлениях.

Следует отметить, что смеси с 80% озона дают большие выходы во всем изученном интервале давлений. Смеси, содержащие кислород, также показывают увеличение выхода с давлением, но рост этот происходит медленнее.

Зависимость выхода окиси азота от состава исходной смеси. Взрыв смесей озона с азотом был изучен в интервале концентраций от 53 до 85% О<sub>3</sub> (150 мм рт. ст.) и от 66 до 85% О<sub>3</sub>

(100 мм рт. ст.). Нижний предел определялся подрываемостью смеси. опыты показали, что при меньших концентрациях озона (50 % и ниже) подрыв хотя и приводит к его разложению, но окислов азота практически не образуется.

На рис. 3 приведена зависимость объемного процента окиси азота от состава смеси. Кривые для озонно-азотных смесей (1 и 2) проходят через

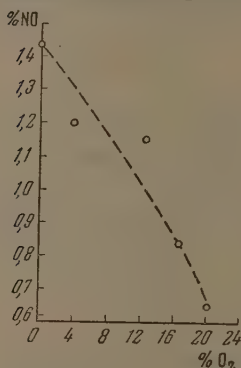


Рис. 4. Зависимость выхода окиси азота от добавки кислорода (75% O<sub>3</sub>, 100 мм рт. ст.)

в этом интервале наблюдается линейное возрастание выхода окиси азота с ростом давлений, кривые же выхода окиси азота в зависимости от состава исходной смеси проходят через максимум, лежащий около 75% O<sub>3</sub>.

При указанном составе и наивысшем из испытанных давлений (150 мм) выход окиси азота составлял около 2%. Сравнительно небольшие добавки кислорода заметно снижают этот выход.

Московский государственный университет им. М. В. Ломоносова

Поступила 18. IX. 1956

## ВЫВОДЫ

Осуществлено взрывное окисление азота в смесях с концентрированным озоном в интервале давлений от 25 до 150 мм рт. ст. Показано, что

## ЛИТЕРАТУРА

1. Я. Б. Зельдович, П. Я. Садовников, Д. А. Франк-Каменецкий, Окисление азота при горении, М.—Л., Изд-во АН СССР, 1947.
2. А. Г. Энкельбард, А. И. Генкина, М. В. Поляков, Журн. физ. химии, 13, 464, 1939.
3. М. В. Поляков, Журн. физ. химии, 13, 1411, 1933.

## THE PHYSICAL CHEMISTRY OF CONCENTRATED OZONE

### III. THE EXPLOSIVE OXIDATION OF NITROGEN IN MIXTURES WITH CONCENTRATED OZONE

N. I. Kobozev, V. P. Lebedev, B. V. Strakhov and G. I. Zyкова (Moscow)

## Summary

The explosive oxidation of nitrogen in mixtures with concentrated ozone has been carried out at various pressures and compositions of the mixtures. The yield of nitrogen oxide in the interval 25—150 mm. Hg has been shown to increase linearly with the pressure, whereas the yield curves with respect to the composition pass through a maximum located at about 75% O<sub>3</sub>. The addition of oxygen to the initial mixture lowers the nitrogen oxide yield. The maximum content attained in the final mixture was 2

## ЗАВИСИМОСТЬ МЕХАНИЧЕСКИХ СВОЙСТВ СТРУКТУРИРОВАННОЙ ГУТТАПЕРЧИ ОТ УСЛОВИЙ ОБРАЗОВАНИЯ ПОПЕРЕЧНЫХ СВЯЗЕЙ

*Б. И. Айходжаев, Т. И. Соголова и В. А. Каргин*

В предыдущей работе [1] было исследовано влияние степени структурования на механические свойства гуттаперчи, когда образование поперечных связей осуществлялось в гуттаперче, находящейся в аморфном состоянии.

Настоящая работа посвящена изучению зависимости механических свойств структурированной гуттаперчи от фазового состояния, в котором она находилась при образовании поперечных связей. С этой целью вулканизация гуттаперчи осуществлялась при температурах ниже и выше температуры плавления кристаллов.

Применявшаяся гуттаперча содержала 96,8% углеводорода гутты, 2,6% смол и 1,6% органических веществ и 0,6% золи.

Пленки из очищенной гуттаперчи получались на поверхности целлофана путем растворения растворителя из раствора гуттаперчи.

Вначале процесс вулканизации осуществлялся при 143° С тонкодисперсной серой (табл. 1). Процесс вулканизации при высоких температурах осуществлялся также и в парах полухлористой серы. Для этой цели пленки, помещенные на рамки, помещались в закрытый стеклянный сосуд и прогревались при 70° С в течение 30 мин. Такая продолжительность прогрева обеспечивала переход гуттаперчи из кристаллического в аморфное состояние. Затем в стеклянный сосуд помещалась полухлористая сера, в парах которой происходила вулканизация гуттаперчи.

Количество связанной серы зависело от времени воздействия паров полухлористой серы.

Следует отметить, что в описанных методах вулканизации образование пространственных связей осуществлялось в гуттаперче, находящейся в аморфном состоянии, так как опыты велись при повышенных температурах.

Нам удалось осуществить вулканизацию гуттаперчи при 20° С в условиях, когда образование пространственных связей предшествовало процессу кристаллизации. Для этой цели к 1,25%-ному раствору гуттаперчи в четыреххлористом углероде добавлялись различные количества 5,0%-ного (по объему) раствора полухлористой серы в эфире. Полученных растворов содержалось 0,5; 2,0; 5,0 и 10,0 вес. % полухлористой серы по отношению к гуттаперче.

В процессе получения пленок из смеси растворов происходила вулканизация гуттаперчи полухлористой серой.

Поскольку вулканизация полухлористой серой происходит быстро, а процесс пленкообразования продолжается в течение 2—3 суток, можно было ожидать, что образование пространственных связей в таких условиях вулканизации произойдет раньше, чем процесс кристаллизации.

Были также проведены опыты при 20° С, в которых образование пространственных связей осуществлялось в гуттаперче, находящейся в кристаллическом состоянии. Для этого в парах или в растворе полухлористой серы осуществлялась вулканизация уже готовых пленок.

При вулканизации в парах полухлористой серы пленки из гуттаперчи помещались в бюкс и подвешивались над бюксом с полухлористой серой. В зависимости от продолжительности воздействия паров полухлористой серы изменялось количество связанной серы.

При вулканизации гуттаперчи в растворе готовые пленки опускались в растворы полухлористой серы в эфире различных концентраций (0,5; 2,0 и 5,0 см<sup>3</sup> полухлористой серы в 100 см<sup>3</sup> раствора) на 10 мин. Количество прореагировавшей серы зависело от концентрации раствора.

Определение количества связанной серы, содержащейся в образцах, осуществлялось классическим методом. Данные по определению количества общей и связанной серы приведены в табл. 1.

Определение теплоты набухания образцов осуществлялось в адиабатическом калориметре [2]. Температура стеклования аморфной гуттаперчи определялась на динамометрических весах В. А. Каргина [3].

Методика исследования механических, сорбционных свойств и структуры описана в работе [1].

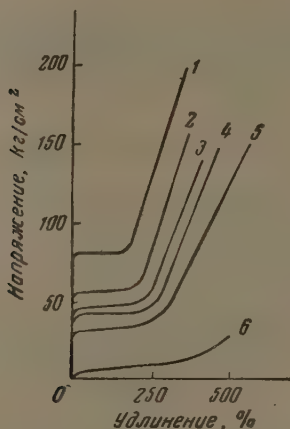


Рис. 1

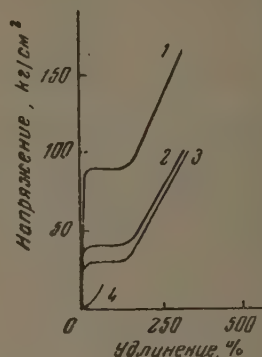


Рис. 2

Рис. 1. Влияние различного количества связанной серы на механические свойства гуттаперчи, вулканизированной при 143°С тонкодисперсной серой (при 20°С). Содержание связанной серы: 1—исходная гуттаперча; 2—0,5%; 3—1,1%; 4—1,6%; 5—2,2%; 6—4,2%.

Рис. 2. Влияние различного количества связанной серы на механические свойства гуттаперчи, вулканизированной при 70°С в парах  $S_2Cl_2$  (при 20°С). Содержание связанной серы: 1—исходная гуттаперча; 2—1,4%; 3—2,0%; 4—4,0%.

Зависимость механических свойств гуттаперчи, вулканизированной в аморфном состоянии от степени структурирования. Вначале было исследовано изменение механических свойств гуттаперчи, вулканизированной в аморфном состоянии, в зависимости от степени структурирования.

На рис. 1—3 и табл. 2 видно, что вулканизация гуттаперчи, находящейся в аморфном состоянии, независимо от условий вулканизации, приводит к изменению механических свойств, а именно по мере увеличения содержания связанной серы уменьшаются значения прочности и напряжения рекристаллизации. Также изменяется форма кривой растяжения, снижается высота площадки, постепенно исчезает резкая граница пере-

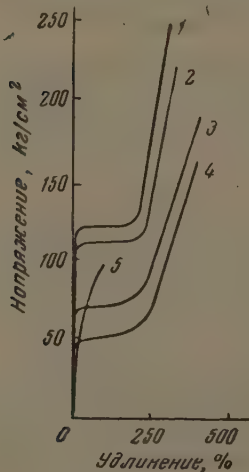


Рис. 3

Рис. 3. Влияние различного количества связанной серы на механические свойства гуттаперчи, вулканизированной при 20°С в растворе  $S_2Cl_2$  (при 20°С). Содержание связанной серы: 1—исходная гуттаперча; 2—0,2%; 3—1,1%; 4—2,9%; 5—4,0%.

да от второго к третьему участку. При содержании ~4,0% связанной серы деформация гуттаперчи происходит без образований шейки.

Как было предположено раньше [1], такое изменение механических свойств гуттаперчи при структурировании связано с тем, что возникновение поперечных связей приводит к уменьшению регулярности в расположении цепей, к ограничению условий проявления их гибкости и таким образом препятствует образованию кристаллов.

Таблица 1

Содержание общей, свободной и связанной серы в гуттаперче, вулканизованной в различных условиях

Условия вулканизации	Время вулканизации	Общая сера, %	Свободная сера, %	Связанная сера, %	Примечание
Амфодисперсной серой при 143°С	120 мин	2,0	1,5	0,5	
	120 »	5,0	3,9	1,1	
	120 »	10,0	8,4	1,6	
	120 »	15,0	12,1	2,9	
	120 »	20,0	15,8	4,2	
В парах S <sub>2</sub> Cl <sub>2</sub> при 70°С	5 мин.	1,7	0,3	1,4	
	20 »	2,2	0,2	2,0	
	25 »	4,2	0,2	4,0	
0 мл 1,25 % (по объему) раствор гуттаперчи в CCl <sub>4</sub> был смешан с раствором S <sub>2</sub> Cl <sub>2</sub> в эфире при 20°С					Количество 5% раствора S <sub>2</sub> Cl <sub>2</sub> в эфире, мл
		0,2	0,0	0,2	0,3
		1,1	0,0	1,1	1,2
		3,0	0,1	2,9	3,0
		5,8	1,8	4,0	6,0
В парах S <sub>2</sub> Cl <sub>2</sub> при 20°С	5 мин.	0,2	0,0	0,2	
	20 »	1,2	0,2	1,0	
	120 »	—	—	2,7	
	5 час.	5,0	1,5	3,5	
	36 час.	8,6	3,0	5,6	
Пленка гуттаперчи (1 г) погружалась в 100 мл раствора S <sub>2</sub> Cl <sub>2</sub> в эфире, при 20°С					Концентрация S <sub>2</sub> Cl <sub>2</sub> в эфире, объемн. %
	10 мин.	0,6	0,1	0,5	0,5
	10 »	2,4	0,1	2,3	2,0
	10 »	6,0	1,8	4,2	5,0

Изменение механических свойств гуттаперчи, вулканизованной в аморфном состоянии, зависит от условий вулканизации (табл. 2).

Если сравнить значение прочности и напряжения рекристаллизации образцов, содержащих различное количество связанной серы, вулканизованных при 70 и 143°С, с образцами, вулканизованными в растворенном состоянии гуттаперчи (при 20°С), то оказывается, что при одинаковом содержании связанной серы в последнем случае значение прочности и напряжения рекристаллизации всегда выше. По-видимому, при вулканизации гуттаперчи в растворенном состоянии пониженная температура медленного испарения растворителя при образовании пленки обеспечивают более благоприятные условия для образования кристаллов\*.

Рентгеноструктурные исследования также показали, что гуттаперча, вулканизованная в растворенном состоянии, содержащая 4,0% связанной серы, еще сохраняет кристаллическую структуру, в то время как гутта-

\* Следует заметить, что различия в свойствах исходной гуттаперчи (кривая 1, ис. 1—5) определяются условиями приготовления пленок.

Таблица 2

Зависимость механических свойств гуттаперчи от условий вулканизации и степени структурирования

(Измерения проводились при 20° С)

Фазовое состояние при процессе вулканизации	Условия вулканизации	Связанная сера, %	Фазовое состояние после вулканизации при 20°С	Прочность на начальное сечение в кг/см <sup>2</sup>	Напряжение релаксационной в кг/см <sup>2</sup>	Удлинение в %
Аморфное состояние	143° С тонкодисперсной серой	1,1	Крист.	140	45	400
		1,6	»	150	40	450
		2,9	»	150	30	550
		4,2	Аморфн.	25	—	500
Аморфное состояние	70° С в парах S <sub>2</sub> Cl <sub>2</sub>	2,0	Крист.	100	30	320
		4,0	Аморфн.	20	—	60
В растворенном состоянии	20° С в смеси растворов гуттаперчи и S <sub>2</sub> Cl <sub>2</sub>	1,1	Крист.	190	70	400
		2,9	»	160	50	400
		4,0	»	100	—	80
Кристаллическое состояние	20° С в парах S <sub>2</sub> Cl <sub>2</sub>	1,0	Крист.	220	140	250
		2,7	»	180	—	30
		5,6	»	180	—	20
Кристаллическое состояние	20° С в растворе S <sub>2</sub> Cl <sub>2</sub>	2,3	Крист.	210	—	30
Кристаллическое состояние	20° С в парах S <sub>2</sub> Cl <sub>2</sub> и прогрев при 70° С	1,0	Крист.	130	60	300
		5,6	»	100	—	20

перча, вулканизованная при 70 и 143° С, содержащая соответственно 4 и 4,2% связанной серы, была аморфной.

При исследовании теплот набухания выяснилось, что образцы гуттаперчи, вулканизованной при 20° С, набухают с поглощением тепла, а образцы, вулканизованные при 70°С в парах S<sub>2</sub>Cl<sub>2</sub>, набухают

Таблица 3

Теплоты набухания гуттаперчи в м-ксилоле при 20°С

Характеристика образцов	Содержание связанной серы, %	Теплота набухания, кал/г
Гуттаперча, вулканизованная при 143° С тонкодисперсной серой	4,2	— 0,7
Гуттаперча, вулканизованная в парах S <sub>2</sub> Cl <sub>2</sub> при 70° С	4,0	+ 0,1
Гуттаперча, вулканизованная в растворенном состоянии раствором S <sub>2</sub> Cl <sub>2</sub> при 20° С	4,0	— 3,85
Гуттаперча, вулканизованная при 20°С в парах S <sub>2</sub> Cl <sub>2</sub> и	5,6	—12,45

с незначительным тепловым эффектом. Эти экспериментальные данные (табл. 3) находятся в соответствии с данными, полученными при исследовании структурных и механических свойств гуттаперчи.

При исследовании механических свойств обнаружилось некоторое отличие в деформируемости гуттаперчи, вулканизованной полухлористой серой (при 70° С) и тонкодисперсной серой (при 143° С). Так, например

жение удлинений образцов, содержащих 2—3 % связанной серы, вулканизированной полухлористой серой ( $70^{\circ}\text{C}$ ), равны 300—400%, а у образцов, вулканизированных тонкодисперсной серой ( $143^{\circ}\text{C}$ ), 450—550%. Наиболее резкое отличие в деформируемости наблюдалось в аморфной гуттаперче, содержащей ~4,0% связанной серы (в этом случае удлинения равны соответственно 60 и 500%) (рис. 1—3).

Также были измерены модули упругости\* аморфной гуттаперчи, вулканизированной при 70 и  $143^{\circ}\text{C}$ . Выяснилось, что они равны соответственно  $20 \text{ кг/см}^2$ .

Поскольку в зависимости от условий вулканизации были получены образцы аморфной гуттаперчи, обладающие различными механическими свойствами, интересно было выяснить, обладают ли они различными температурами стеклования.

Из полученных экспериментальных данных выяснилось, что температура стеклования аморфной гуттаперчи, вулканизированной при  $70^{\circ}\text{C}$ , выше, чем у гуттаперчи, вулканизированной при  $143^{\circ}\text{C}$ . (Соответственно 0 и  $-40^{\circ}\text{C}$ .) Отличия в физико-механических свойствах гуттаперчи, вулканизированной при 70 и  $143^{\circ}\text{C}$ , связаны, по-видимому, с тем, что по мере повышения температуры вследствие увеличения теплового движения уменьшается упорядоченность молекулярных цепей полимеров.

Известно, что молекулы линейных полимеров построены из групп атомов, связанных друг с другом в цепи. Поэтому, вследствие существования цепных молекул, возникает некоторая упорядоченность расположения атомов. Эта упорядоченность не зависит от взаимного расположения цепных молекул и фазового состояния. Следовательно, даже полимеры, находящиеся в аморфном состоянии, должны обладать определенной упорядоченностью.

Интересные данные были получены в работе [4], в которой электронографическим методом показано, что структурные картины кристаллических полимеров — полиэтилентерефталата и политрифторхлорэтилена — в температурах ниже и выше температур плавления их кристаллов мало изменяются.

Авторы показали, что возникновение значительной упорядоченности в взаимном расположении цепей — параллелизация — происходит еще в аморфном состоянии полимера. Следовательно, высокая упорядоченность полимеров связана со строением самих цепных молекул и их тенденцией к параллельному расположению даже без кристаллизации. Поскольку упорядоченность в расположении цепных молекул полимеров и в аморфном состоянии зависит от температуры, то чем выше температура вулканизации, тем в большей степени разупорядочены цепные молекулы в момент химического взаимодействия с серой.

Действительно, из рассмотрения полученных нами экспериментальных данных видно, что повышенная деформируемость, низкие значения модулей упругости и температура стеклования соответствуют гуттаперче, вулканизированной при  $143^{\circ}\text{C}$ . Сравнительно малые деформации, более высокие значения модулей упругости и температура стеклования соответствуют гуттаперче, вулканизированной при  $70^{\circ}\text{C}$ , т. е. при температуре, близкой к температуре плавления кристаллов. Естественно, что при  $70^{\circ}\text{C}$  цепные молекулы менее разупорядочены, чем при  $143^{\circ}\text{C}$ .

Можно было предположить, что различие в свойствах двух типов гуттаперчи обусловлено тем, что при вулканизации полухлористой серой образуются связи моносльфидного характера [5, 6], а при вулканизации тонкодисперсной серой образуются связи полисульфидного характера. Это предположение находится в полном согласии с данными Боты [7], в которой показано, что при вулканизации каучуков серой

\* Методика определения модулей упругости описана в [1].

в отсутствие ускорителей, главным образом, образуются полисульфидные связи.

Однако полученные новые экспериментальные факты свидетельствуют о том, что различие в свойствах аморфной гуттаперчи определяется не только наличием моно- и полисульфидных связей.

Было обнаружено, что аморфная гуттаперча, вулканизованная при  $143^{\circ}\text{C}$ , не закристаллизовывалась после хранения в течение 10 месяцев при  $20^{\circ}\text{C}$ , а аморфная гуттаперча, вулканизованная при  $70^{\circ}\text{C}$ , уже после шестимесячного хранения становилась кристаллической. Такое явление могло произойти только благодаря более упорядоченному расположению цепных молекул в процессе вулканизации гуттаперчи при  $70^{\circ}\text{C}$ .

Кроме того, следует заметить, что в проведенных нами опытах, когда вулканизация осуществлялась ниже температуры плавления кристаллолитов, наличие даже большого содержания связанной серы (4%) не приводило к аморфизации гуттаперчи. Следовательно, для аморфизации гуттаперчи существенно не только наличие определенного числа поперечных связей, но и значительное разупорядочение цепных молекул, происходящее при высоких температурах или в присутствии растворителей.

Зависимость механических свойств гуттаперчи, вулканизованной в кристаллическом состоянии, от степени структурирования. Нами была также исследована зависимость механических свойств гуттаперчи от степени структурирования в условиях, когда поперечные связи образовывались в гуттаперче, находящейся в кристаллическом состоянии.

Оказалось, что в этом случае введение небольшого количества связанной серы (0,2—1,0%) уже приводит к некоторому увеличению значения напряжения рекристаллизации. При этом полностью сохранились значения прочности, удлинения и форма кривой растяжения, характерная для кристаллических полимеров (рис. 4, 5, табл. 2).

Значительное изменение механических свойств обнаружилось при введении связанной серы от 2,3 до 5,6%, при этом резко уменьшилось общее удлинение при незначительном снижении прочности (рис. 4, табл. 2).

Наблюдаемое различие в свойствах гуттаперчи, вулканизованной при  $70$  и  $143^{\circ}\text{C}$ , с гуттаперчей, вулканизованной при  $20^{\circ}\text{C}$ , по-видимому, связано с тем, что при  $20^{\circ}\text{C}$  не происходит разупорядочения цепных молекул в процессе вулканизации. Такое предположение подтверждалось и структурными исследованиями, которые показали, что гуттаперча, вулканизованная при  $70$  и  $143^{\circ}\text{C}$ , содержащая 4,0% связанной серы, уже полностью аморфизована, в то время как гуттаперча, вулканизованная при  $20^{\circ}\text{C}$  даже при введении 5,6% связанной серы, практически сохраняла кристаллическую структуру.

Различие в поведении гуттаперчи, вулканизованной в различных фазовых состояниях, наблюдается и при изучении сорбционных свойств.

Как было показано ранее, при вулканизации гуттаперчи, находящейся в аморфном состоянии, сорбционная способность ее (при  $25^{\circ}\text{C}$ ) увеличивается [1].

Исследование гуттаперчи, вулканизованной в кристаллическом состоянии, показало (рис. 6), что сорбция паров *n*-гексана снижается\*. Незначительное ухудшение сорбционной способности после вулканизации связано, по-видимому, в основном с обеднением конфигурационного набора из-за наличия поперечных связей в гуттаперче.

\* Поскольку точность в измерении сорбции паров *n*-гексана 0,1%, а различие сорбционной способности вулканизованной гуттаперчи — порядка 1,0—1,5%, то полученные экспериментальные данные следует отнести к особенностям строения исследованных полимеров.

Поскольку образование пространственных связей в гуттаперче при С не приводит к заметному изменению кристаллической структуры, представлялось существенным выяснить, будут ли изменяться механические свойства гуттаперчи, содержащей различное количество простран-

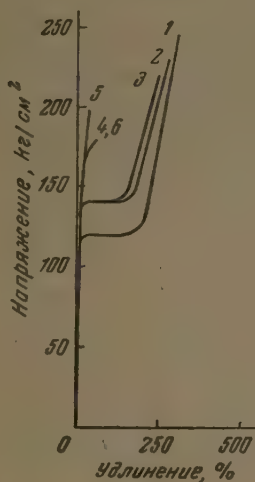


Рис. 4

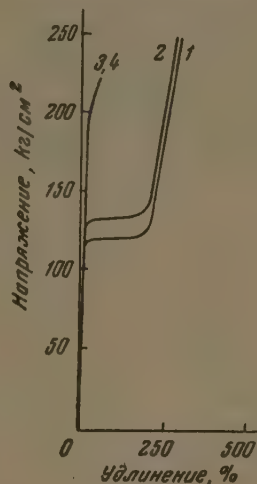


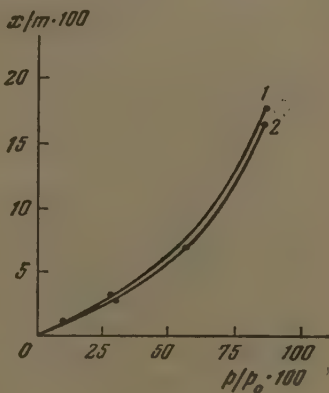
Рис. 5

4. Влияние различного количества связанной серы на механические свойства гуттаперчи, вулканизированной при  $20^\circ C$  в парах  $S_2Cl_2$  (при  $20^\circ C$ ). Содержание связанной серы: 1 — исходная гуттаперча; 2 — 0,2%; 3 — 1,0%; 4 — 2,7%, 5 — 3,5% и 6 — 5,6%

5. Влияние различного количества связанной серы на механические свойства гуттаперчи, вулканизированной при  $20^\circ C$  в растворе  $S_2Cl_2$  в эфире (при  $20^\circ C$ ). Содержание связанной серы: 1 — исходная гуттаперча; 2 — 0,5%; 3 — 2,3% и 4 — 4,2%

ственных связей, если расплавить гуттаперчу, а затем охладить. Окажется, что после прогрева при  $70^\circ C$  содержание небольшого количества связанной серы 0,2% изменяет механические свойства гуттаперчи: снижаются значения напряжения рекристаллизации и прочности. Удлинение же при этом значительно возрастает (рис. 7, б).

Еще в большей степени обнаруживается роль пространственных свя-



6. Изотермы сорбции паров  $n$ -гексана гуттаперчей при  $25^\circ C$ : 1 — гуттаперча невулканизированная; 2 — гуттаперча, вулканизированная в парах  $S_2Cl_2$  при  $20^\circ C$ , содержащая 1,0% связанной серы.  $x/m \cdot 100$  — весовое отношение сорбированного  $n$ -гексана к весу полимера в процентах;  $p/p_0 \cdot 100$  — относительная уругость паров  $n$ -гексана в процентах

и в гуттаперче, содержащей 2,7% связанной серы. Такая гуттаперча, вулканизированная при  $20^\circ C$ , деформируется незначительно. Однако при прогреве и последующем охлаждении она способна деформироваться до

200%. При этом значения напряжения рекристаллизации и прочность снижаются (рис. 7, *г*).

При большом содержании связанной серы 3,5—5,6% в гуттаперче прогрев и последующее охлаждение приводят к уменьшению прочности (рис. 7, *д*).

Контрольный опыт, проведенный на гуттаперче, не содержащей связанной серы, показал, что прогрев при 70° С и последующее охлаждение также приводили к незначительному снижению напряжения рекристаллизации и прочности. Однако значение напряжения рекристаллизации и прочности у гуттаперчи, не содержащей связанной серы, во всех случаях выше, чем у образцов, содержащих связанную серу (рис. 7, *а*).

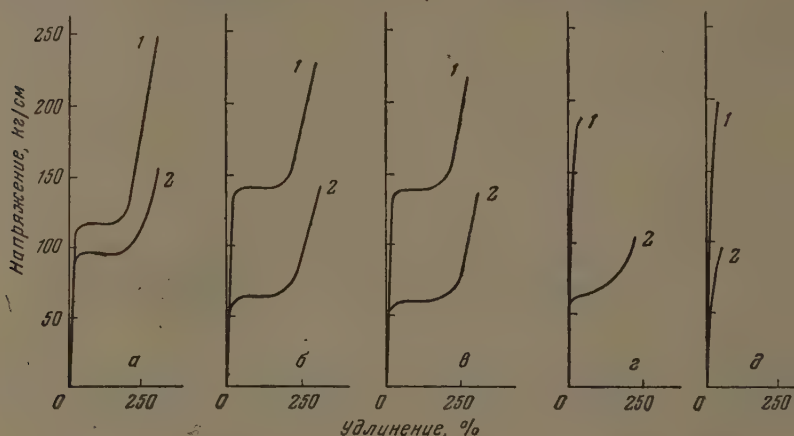


Рис. 7. Влияние различного количества связанной серы на механические свойства гуттаперчи, вулканизованной при 20° С в парах  $S_2Cl_2$ : 1 — не прогретой и 2 — прогретой при 70° С. Содержание связанной серы: *а* — исходная гуттаперча; *б* — 0,2%; *в* — 1,0%; *г* — 2,7%; *д* — 3,5% и 5,6% (кривые совпадают)

Если прогревать образцы гуттаперчи, не содержащей серы, несколько раз до 70° С и охлаждать, то значение напряжения рекристаллизации практически сохраняется. Следовательно, снижение значения напряжения рекристаллизации после первого прогрева, по-видимому, обусловлено кинетикой кристаллизации.

Структурные исследования гуттаперчи, вулканизованной в кристаллическом состоянии до и после ее прогрева, показали, что после прогрева образцов происходит снижение значений максимумов на микрофотометрических кривых (рис. 8), что связано со значительным разрушением кристаллических областей.

Такое изменение свойств образцов после прогрева можно объяснить, если исходить из ранее сделанного нами предположения,<sup>1</sup> что при вулканизации гуттаперчи при 20° С фиксируется упорядоченное расположение цепных молекул, не приводящее к заметному изменению кристаллической структуры. Поскольку после прогрева таких образцов происходит заметная аморфизация, то казалось бы, что это явление связано с увеличением содержания поперечных связей. Однако такое предположение соответствует другим данным.

Нами проводились опыты, в которых определялось количество связанной серы до и после прогрева. Оказалось, что содержание связанной серы сохранялось неизменным.

Кроме того, в исходную гуттаперчу различными способами вводилась свободная сера (до 5,0%), что также не привело к изменению механических

ств гуттаперчи даже после прогрева при  $70^{\circ}\text{C}$ . Следовательно, свободная сера, находящаяся в гуттаперче, при прогреве (до  $70^{\circ}\text{C}$ ) практически не взаимодействует с гуттаперчей и не приводит к изменению ее механических свойств.

Из литературных данных [8, 9] известно, что вулканизационные связи являются подвижными, и при повышенных температурах эти связи могут разрушаться в одном месте и образовываться в другом, но, поскольку энергия такой связи достаточно высокая, то, по-видимому, миграция связанной серы при  $70^{\circ}\text{C}$  практически не происходит. Такое предположение находится в полном согласии с данными работы [10], в которой показано, что миграция связанной серы в каучуках происходит при температурах выше  $130^{\circ}\text{C}$ .

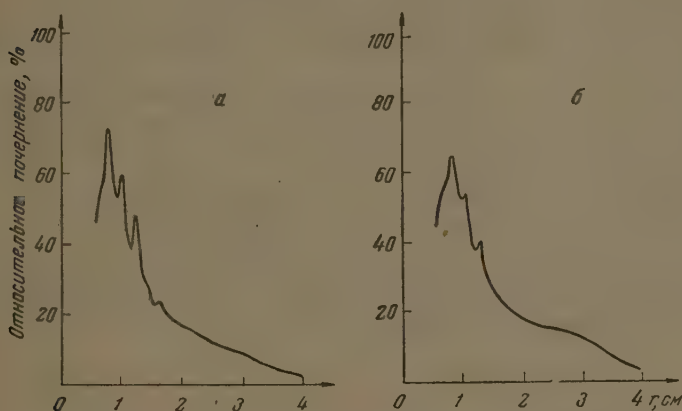


Рис. 8. Микрофотометрические кривые рентгенограмм гуттаперчи, содержащей 1,0% связанной серы: *a*—до прогрева и *б*—после прогрева  
 $r$  — расстояние от центра рентгенограммы

Из изложенного с большой вероятностью следует, что прогрев гуттаперчи, вулканизованной в кристаллическом состоянии, не приводит к значительному увеличению содержания поперечных связей. Изменение кристалличности гуттаперчи, вулканизованной при  $20^{\circ}\text{C}$ , после прогрева происходит потому, что при  $70^{\circ}\text{C}$  гуттаперча переходит в аморфное состояние, и этом происходит изменение конфигурации цепей, находящихся между поперечными связями.

Таким образом в гуттаперче после прогрева и охлаждения сохраняется, менее упорядоченное расположение цепных молекул.

Интересные данные были получены с гуттаперчей, содержащей 5,6% связанной серы. Оказалось, что после прогрева при  $70^{\circ}\text{C}$  и последующего охлаждения она еще сохраняет кристаллическую структуру. Полная же аморфизация такой гуттаперчи происходит только после прогрева при  $90^{\circ}\text{C}$  в течение 120 мин.

Таким образом исследование механических свойств гуттаперчи, структурированной в различных фазовых состояниях, показало, что аморфизация, приводящая к значительным изменениям механических свойств материала, может происходить или при вулканизации гуттаперчи, находящейся в аморфном состоянии, или при вулканизации гуттаперчи, находящейся в кристаллическом состоянии, с последующим прогревом при температурах выше температуры плавления кристаллов.

## ВЫВОДЫ

1. Исследовано влияние условий образования поперечных связей механические свойства структурированной гуттаперчи.

2. Показано, что свойства структурированной гуттаперчи существенно зависят от фазового состояния, в котором она находилась в процессе образования пространственной структуры.

3. Показано, что вулканизация гуттаперчи, находящейся в аморфном состоянии (независимо от способа вулканизации), приводит к уменьшению кристалличности. При содержании связанной серы ~4,0% гуттаперча становится аморфной.

4. Для осуществления процесса аморфизации кристаллических полимеров существенно не только число поперечных связей, но и степень разпорядоченности цепных молекул в процессе образования пространственных структур.

5. На примере гуттаперчи показано, что в зависимости от степени разпорядоченности аморфизованные полимеры обладают различными свойствами.

6. Показано, что вулканизация гуттаперчи, находящейся в кристаллическом состоянии, не вызывает заметного уменьшения кристалличности. Гуттаперча даже при содержании 5,6% связанной серы сохраняет кристаллическую структуру.

7. Показано, что вулканизованная в кристаллическом состоянии гуттаперча после дополнительного прогрева выше температуры ее плавления и последующего охлаждения заметно аморфизуется.

8. Полученные данные ясно показывают зависимость комплекса свойств гуттаперчи от глубины кристаллизации и степени структурирования и позволяют понять особенности структурирования в кристаллическом полимере.

Физико-химический институт  
им. Л. Я. Карпова  
Москва

Поступила  
3. X. 1956

## ЛИТЕРАТУРА

1. Т. И. Соголова, Б. И. Айходжаев, В. А. Каргин, Журн. физ. химии, 31, 2340, 1957.
2. Н. В. Михайлов, Э. З. Файнберг, Колл. журн., 18, 44, 1956.
3. В. А. Каргин, Т. И. Соголова, Журн. физ. химии, 23, 530, 1949.
4. А. В. Ермолина, Г. С. Маркова, В. А. Каргин, Кристаллография, вып. 5, 619, 1957.
5. J. Glasser, J. H. Schulman, Journ. Pol. Sci., 14, 169, 225, 1954.
6. H. Mark, Ber., 61 1948, 1928.
7. Б. А. Догадкин, Э. Н. Тарасова, Колл. журн., 15, 347, 1953.
8. Г. Л. Слонимский, В. А. Каргин, Г. Н. Буйко, Е. В. Резцов и М. Льюис-Риера, Строение и утомление каучуков и резин и повышение их стойкости, Госхимиздат, М., 1955.
9. Б. А. Догадкин, Э. Н. Тарасова, ДАН, 85, 1069, 1952.
10. А. С. Кузьминский и Л. В. Баркова, Каучук и резина, № 1, 14, 1957.

# THE DEPENDENCE OF THE MECHANICAL PROPERTIES OF STRUCTURIZED GUTTA-PERCHA ON THE CONDITIONS OF FORMATION OF CROSS LINKAGES

*B. I. Aikhodzhaev, T. I. Sogolova, V. A. Kargin (Moscow)*

## Summary

The effect of the conditions of formation of cross linkages on the mechanical properties of gutta-percha has been investigated. It has been shown that the properties of structurized gutta-percha are significantly dependent on the phase state it was in in the process of formation of the tridimensional structure. The vulcanization of gutta-percha in the

amorphous state (independently of the method of vulcanization) was shown to lessen the crystallinity. At a bound sulfur content of 4.0% the gutta-percha becomes amorphous. To carry out the amorphization of crystalline polymers, of significance is not only the number of cross linkages but also the degree of disorder of the chain molecules in the process of formation of the tridimensional structures.

On the example of gutta-percha it was shown that depending upon the degree of order the amorphized polymers possess different properties.

The vulcanization of gutta-percha in the crystalline state does not cause any noticeable decrease in crystallinity. The gutta-percha maintains its crystalline structure for a content of bound sulfur of 5.6%. The gutta-percha vulcanized in the crystalline state has been shown to become markedly amorphous on being heated above its melting temperature and subsequently cooled.

The results obtained clearly reveal the dependence of the properties of gutta-percha on the extent of its crystallization and structurization and shed light on the nature of structurization in the crystalline polymer.

---

## О КАТАЛИТИЧЕСКОМ ВЛИЯНИИ ТВЕРДЫХ ПРОДУКТОВ ПРИ ВОССТАНОВЛЕНИИ ОКИСЛОВ НИКЕЛЯ И МЕДИ ВОДОРОДОМ

*В. В. Болдырев и А. С. Ермолаев*

Во многих работах, посвященных изучению скорости восстановления  $\text{NiO}$  [1—6] и  $\text{CuO}$  [7—13] водородом, отмечается, что реакция имеет автокаталитический характер. Заключение о каталитическом влиянии твердого продукта делается, главным образом, на основании своеобразного характера изменения скорости этих процессов во времени, напоминающего изменение скорости автокаталитических реакций в гомогенных системах.

Однако одно лишь прохождение скорости реакции через максимум еще не является достаточным признаком для доказательства автокатализа в этих системах, поскольку топохимические реакции, в отличие от реакций в гомогенных системах, локализованы в пределах реакционной зоны, изменение величины которой во времени, а не автокатализ, определяет характер кривой скорость — время. Прямых же экспериментальных доказательств каталитического влияния продукта реакции немного, и часто они противоречивы.

Так, экспериментальным данным [7], согласно которым добавка порошка металлической меди приводит к ускорению реакции восстановления окиси меди водородом, противоречат результаты других исследований [3, 13, 14], которыми не было обнаружено влияния добавки металла на скорость.

М. М. Павлюченко и Я. С. Рубинчик [15] считают, что твердый продукт реакции оказывает каталитического влияния на скорость восстановления окиси меди водородом. В ряде своих работ [16, 17], а также в дискуссии с Б. В. Ерофеевым [18—20] М. М. Павлюченко выдвигает соображения в пользу того, что твердый продукт не оказывает каталитического влияния на протекание большинства топохимических реакций. Поэтому решение вопроса, оказывают ли твердые продукты восстановления окислов меди и никеля водородом каталитическое действие на ход реакции, имеет существенное значение.

В настоящей работе мы поставили перед собой задачу экспериментально показать наличие или отсутствие автокатализа при восстановлении окиси никеля и окиси меди водородом.

### ЭКСПЕРИМЕНТАЛЬНАЯ ЧАСТЬ

**Исходные препараты.** Закись никеля была получена термическим разложением химически чистого нитрата [21]. Препарат имел темно-зеленый цвет и, как показали результаты анализа, состав его соответствовал формуле  $\text{NiO}$ . Для проведения опытов использовалась фракция с размером частиц 0,01—0,06 мм.

Окись меди была взята марки «ч. д. а.» Перед проведением опыта препарат предварительно нагревался при 500° С в атмосфере кислорода в течение 30 мин. Анализом было показано соответствие состава препарата формуле  $\text{CuO}$ . Перед проведением опытов препарат был отсеян и для опытов использовалась фракция с размером частиц 0,01—0,06 мм.

**Описание установки и методики эксперимента.** Опыты проводились в установке, схема которой изображена на рис. 1.

Навеска окисла 0,2 г, помещенная в стеклянную чашечку, подвешивалась к спиральным кварцевым весам 1, находящихся в реакционном сосуде. Нижняя его часть, в которой находится чашечка с веществом, нагревалась при помощи печи 2, температура внутри которой измерялась при помощи хромель-копелевой термопары, являвшейся одновременно датчиком терморегулятора. Для измерения и регулировки температуры к тер-

ре был подключен фотоконтактный гальванометр 3, флажок на стрелке которого при достижении заданной температуры перекрывал луч света, падающий от осветителя на фотосопротивление (ФСК-1) 4. При затемнении фотосопротивления, при помощи ртутного переключателя 5 параллельно печи включались предварительно подобранные для каждой заданной температуры сопротивления  $R_2$  и  $R_3$ , 8. Температура печи при этом уменьшалась. Стрелка гальванометра двигалась в обратную сторону, благодаря чему фотосопротивление 4 открывалось и через систему реле 5, 6 включались сопротивления  $R_2$  и  $R_3$ .

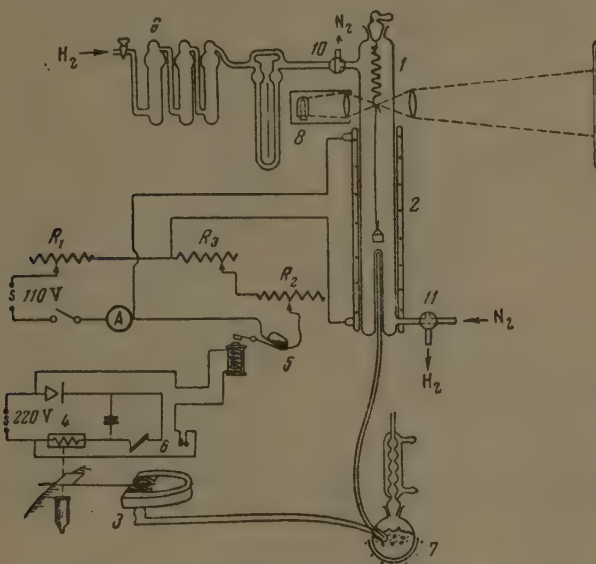


Рис. 1. Схема установки для изучения кинетики восстановления оксидов водородом

Описанная схема терморегулировки позволяла поддерживать температуру с точностью  $\pm 1^\circ \text{C}$ , если температура опыта задавалась в интервале  $150\text{--}300^\circ \text{C}$ . Для того чтобы, не снижая чувствительности, сдвинуть область измерения в сторону более высоких температур, холодные спай помещались в колбу с кипящей водой, снабженную обратным холодильником 7.

Изменение веса оксида регистрировалось пружинными кварцевыми весами 1. При помощи проекционного приспособления 8 нижняя часть кварцевых весов, к которой была подвешена чашечка, проектировалась на экран из миллиметровой бумаги. Применявшиеся в наших опытах спираль и проекционное приспособление позволяли заметить изменение веса в пределах  $4 \cdot 10^{-4} \text{ г}$ .

Восстановление проводилось в токе водорода, предварительно очищенного и просушенного в колонках 9. Скорость газового потока измерялась реометром. Через тройной кран 10 водород поступал в верхнюю часть реакционного сосуда и через кран 11 выходил к поглотителям. Нагревание реакционного сосуда до температуры опыта проводилось в токе азота, который поступал в реакционный сосуд через кран 11, а выходил через кран 10.

При проведении опыта навеску оксида помещали в реакционный сосуд и в токе азота нагревали до необходимой температуры. По достижении ее поворотом кранов 10 и 11 ток азота перекрывался, и через сосуд первые 30 сек. пропускали водород для вытеснения азота со скоростью  $250 \text{ мл/мин}$ , а затем на всем протяжении опыта с постоянной скоростью  $130 \text{ мл/мин}$ . Специально поставленные предварительные опыты показали, что в наших условиях изменение скорости газового потока от  $250$  до  $130 \text{ мл/мин}$  не отражается существенным образом на скорости восстановления. Через каждые 2 мин. с момента впуска газа регистрировалось изменение веса навески по перемещению конца спирали на экране. Изменение в весе пересчитывалось на долю прореагировавшего вещества  $\alpha$ .

Частичное восстановление и химическая обработка препаратов проводились в приборе, изображенном на рис. 2. Навеска вещества помещалась в кварцевую пробирку 5, нагретую до температуры опыта. При восстановлении водородом краны 1,

2 и 3 находятся в положении а. Выделяющиеся при восстановлении пары воды улавливались в хлоркальцевых трубках, взвешивая которые, можно было судить о количестве восстановленного окисла. После достижения необходимой степени восстановления реакцию прекращали, извлекая из печи пробирку и помещая ее в холодную воду. Краны 1, 2 и 3 ставили в положение б и, подавая через кран 3 азот, продавливали из склянки 4 в реакционную пробирку 2%-ный раствор нитрата ртути. После обработки течение часа краны ставили в положение в. При этом жидкость удалялась из пробирки по трубке 6, конец которой закрыт пористым стеклянным фильтром. Осадок промывали водой, высушивали и нагреванием при  $380^{\circ}\text{C}$  в течение часа из него удаляли выделившуюся металлическую ртуть.

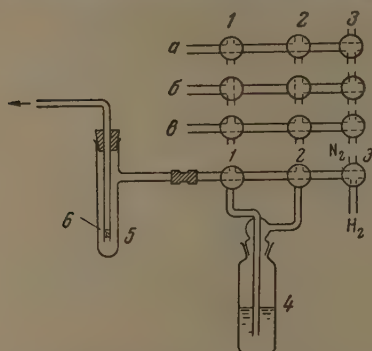


Рис. 2. Схема установки для предварительной обработки окислов

верхности окисла паров воды. На рис. 3 показана кривая одного из параллельных опытов. Как можно видеть из расположения кривых, воспроизводимость опытов вполне удовлетворительна.

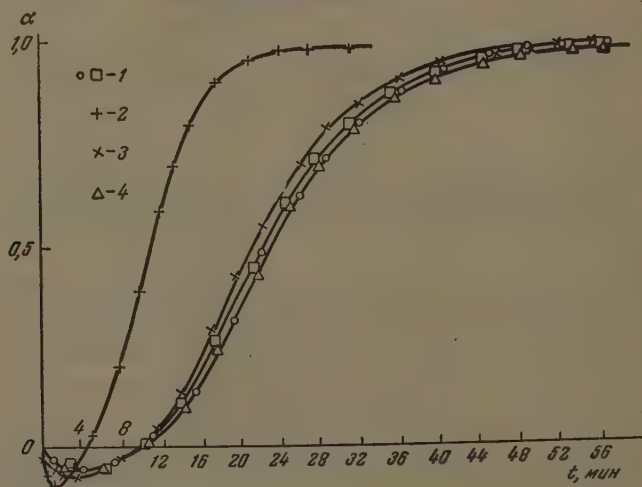


Рис. 3. Зависимость доли прореагировавшего вещества  $\alpha$  от времени для реакции восстановления  $\text{NiO}$  водородом: 1 — исходный препарат (два параллельных опыта); 2 — предварительно частично восстановленный; 3 — предварительно частично восстановленный, обработанный раствором  $\text{Hg}(\text{NO}_3)_2$ ; 4 — контрольный опыт [исходный окисел обработан раствором  $\text{Hg}(\text{NO}_3)_2$ ]

Если закись никеля предварительно частично восстановить водородом, скорость ее последующего восстановления будет намного больше, чем скорость восстановления исходного окисла. На рис. 3 показана кривая восстановления препарата закиси никеля, пре-

ительно восстановленного на 20%. Из хода этой кривой видно, что ускоренный период для частично восстановленного окисла меньше, скорость последующего восстановления больше.

Кинетический анализ экспериментальных данных был проведен по топокинетическому урав-

нению  $\alpha = 1 - e^{-kt^n}$  [22]. Резуль-

таты исследования применимости топокинетического уравнения представлены на рис. 4 и в табл. 1.

Из рис. 4 видно, что в случае частично восстановленной закиси никеля экспериментальные точки ложатся на прямую, исключая период, связанный с адсорбцией воды. Экспериментальные точки, полученные при восстановлении исходной закиси, ложатся на пересекающиеся прямые. Точка пересечения соответствует максимальной скорости реакции. Показатель  $n$  для начальной стадии восстановления исходного окисла близок по значению к показателю для частично восстановленного окисла. В табл. 1

приведены также рассчитанные по соотношению  $K = nk^{1/n}$ , где  $k$  и  $n$  — постоянные из топокинетического уравнения [23] значения константы скорости реакции. Из сравнения их следует, что скорость восстановления предварительно частично восстановленного окисла намного больше скорости восстановления исходного окисла.

Для того чтобы выяснить, вызвано ли это ускорение процесса действием твердого продукта, образующегося при предварительном восстановлении, или оно является следствием происходящего при этом частичного разрушения решетки окисла. нами была проведена обработка частично восстановленного окисла раствором нитрата ртути, в результате которой твердый продукт реакции восстановления, никль, переходит в раствор, и таким образом нарушается контакт между исходным окислом и продуктом реакции. Выделившуюся при реакции ртуть отгоняли, нагревая препарат при  $380^\circ \text{C}$  в течение часа в токе азота.

Кривая скорости восстановления обработанного таким образом препарата показана на рис. 5; она практически совпадает с кривой восстановления чистого окисла. Так как можно было предполагать, что

наблюдаемое уменьшение скорости может быть следствием действия нитрата на окисел или же предварительного нагревания при удалении ртути, нами были поставлены специальные опыты по изучению влияния этих факторов. Частично восстановленный окисел перед восстановлением был нагрет в течение часа в токе азота. Ход кривой восстановления этого об-

Таблица 1

Результаты кинетического анализа экспериментальных данных по восстановлению NiO водородом

Препарат NiO	$n$	$K$
Исходный { до максимума после максимума	4,0	0,184
	2,4	0,107
Частично восстановленный	3,8	0,325
Частично восстановленный, обработанный Hg (NO <sub>3</sub> ) <sub>2</sub>		
{ до максимума после максимума	3,9	0,182
	2,4	0,107
Исходный, обработанный Hg (NO <sub>3</sub> ) <sub>2</sub> контрольный		
опыт { до максимума после максимума	4,0	0,180
	2,4	0,105

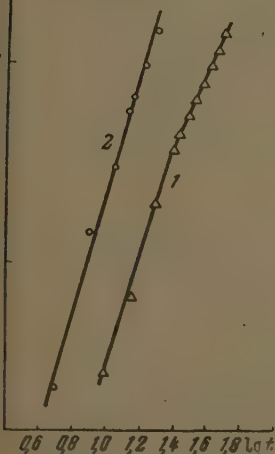


Рис. 4. Применимость топокинетического уравнения к восстановлению NiO: 1 — исходный окисел; 2 — частично восстановленный

разца показывает, что существенного изменения скорости восстановления вследствие проводившейся термической обработки не происходит.

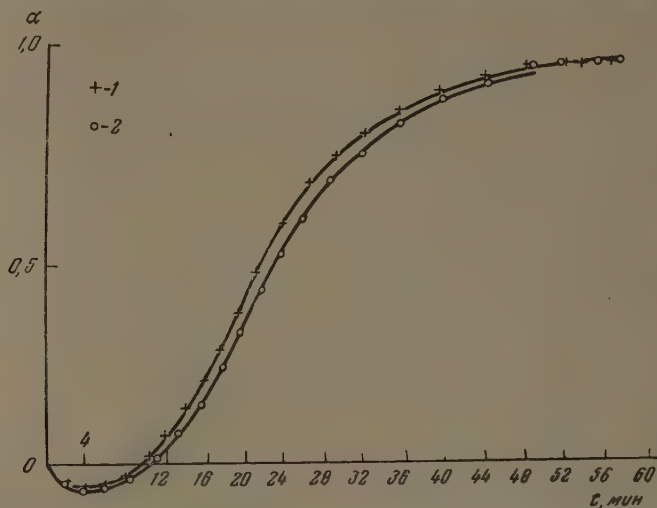


Рис. 5. Зависимость доли прореагировавшего вещества  $\alpha$  от времени для восстановления  $\text{NiO}$  водородом: 1 — исходный препарат; 2 — препарат, предварительно выдержанный в парах ртути

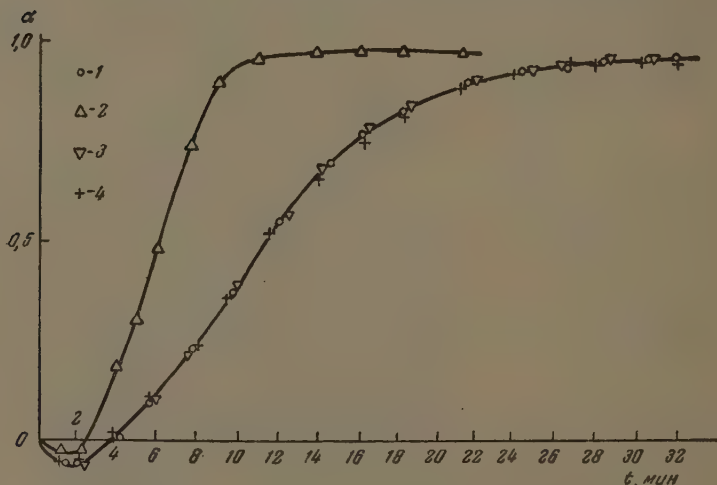


Рис. 6. Зависимость доли прореагировавшего вещества  $\alpha$  от времени для реакции восстановления  $\text{CuO}$  водородом: 1 — исходный препарат; 2 — частично восстановлен; 3 — предварительно частично восстановленный, обработанный  $\text{Hg}(\text{NO}_3)_2$ ; 4 — контрольный опыт (исходный препарат  $\text{CuO}$  обработан раствором  $\text{Hg}(\text{NO}_3)_2$ )

Аналогичное явление наблюдалось и при обработке исходной закиси никеля раствором нитрата ртути в условиях, при которых обрабатывалась предварительно частично восстановленная окись. Кривая превращения этого препарата практически совпадает с кривой восстановления не обработанного окисла.

В литературе имеются указания [15], что пары ртути могут тормозить реакцию восстановления окислов водородом, адсорбируясь на поверхности и защищая этим ее от действия газа-восстановителя. Имея это в виду, изучили скорость восстановления окиси никеля, предварительно выдержанной в парах кипящей ртути в течение 40 мин. на расстоянии одного сантиметра от поверхности ртути. Результаты опытов показали, что адсорбция ртути на окисле не оказывает сколько-нибудь значительного влияния на скорость восстановления. Таким образом полученных нами экспериментальных данных следует, что действие предварительной обработки раствором нитрата ртути сводится к удалению твердого продукта реакции. Наблюдаемое же при этом резкое снижение скорости реакции свидетельствует о том, что образующийся при реакции металлический никель катализирует восстановление окисла водородом.

Восстановление окиси меди. Восстановление окиси меди проводилось при 160° С. Кривая восстановления исходной окиси меди показана на рис. 6. Частично восстановленная окись при последующем восстановлении, так же как и закись никеля, характеризуется большей скоростью восстановления, чем исходный окисел. Применимость топокинетического уравнения к полученным экспериментальным данным показана на рис. 7. Как можно видеть из рис. 7, экспериментальные точки в координатах  $\lg [-\lg(1-\alpha)]$  и  $\lg t$  ложатся на прямую линию. Результаты кинетического анализа сведены в табл. 2. Из сравнения их следует, что предварительное частичное восстановление приводит к увеличению показателя  $n$  и значительному росту константы скорости реакции.

Обработка предварительно восстановленного препарата 2%-ным раствором нитрата ртути значительно снижает скорость реакции. Ни предварительное нагревание, ни обработка исходного окисла раствором нитрата ртути не дают такого эффекта. Поэтому можно считать, что и в случае восстановления окиси меди водородом металлическая медь, образующаяся в результате реакции, оказывает каталитическое действие. Выдерживание в парах кипящей ртути не оказывает существенного влияния на скорость, как и в случае реакции восстановления закиси никеля (рис. 8).

Известный из литературы факт торможения парами ртути реакции восстановления окиси меди водородом в свете проведенных нами опытов о предварительной обработке восстанавливаемых окислов также, по

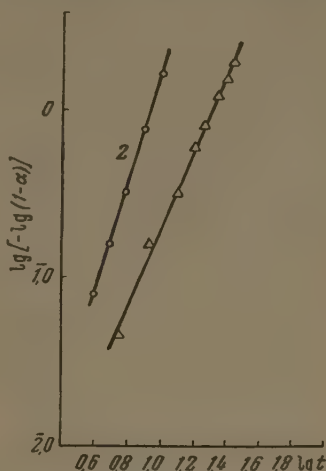


Рис. 7. Применимость топокинетического уравнения к реакции восстановления  $\text{CuO}$  водородом: 1 — исходный препарат; 2 — частично восстановленный

Таблица 2

Результаты кинетического анализа экспериментальных данных по восстановлению  $\text{CuO}$  водородом

Препарат $\text{CuO}$	$n$	$K$
Исходный	2,40	0,181
Предварительно частично восстановленный	3,20	0,470
Частично восстановлен, обработан раствором $\text{Hg}(\text{NO}_3)_2$	2,36	0,183
Исходный, обработан раствором $\text{Hg}(\text{NO}_3)_2$ (контрольный опыт)	2,41	0,180
Исходный с добавкой порошка $\text{Cu}$	2,40	0,178

нашему мнению, свидетельствуют о каталитическом влиянии твердого продукта реакции. Если бы тормозящее действие паров ртути в опытах [15] объяснялось адсорбцией ртути на поверхности окисла, то было бы непонятно, почему предварительная адсорбция ртути на чистом окисле не оказывает такого влияния на скорость последующего восстановления.

Нами также были проведены опыты, имеющие целью установить, оказывает ли на скорость восстановления окиси меди влияние механическое

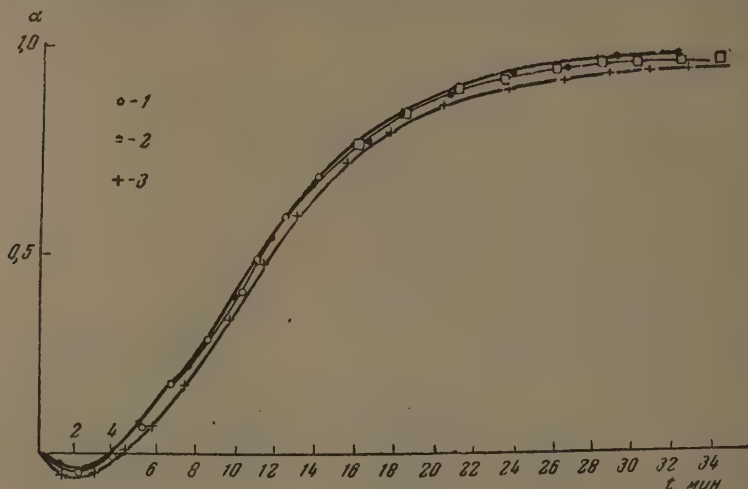


Рис. 8. Зависимость доли прореагировавшего вещества от времени для реакции восстановления  $\text{CuO}$  водородом: 1 — исходный препарат; 2 — препарат, предварительно выдержанный в парах ртути; 3 — исходный препарат с добавкой 5% порошкообразной меди

добавка порошкообразной меди. Из хода кривых превращения и из сравнения констант скорости можно сделать вывод, что механическое смешивание окиси с медным порошком не оказывает влияния на скорость восстановления.

### ОБСУЖДЕНИЕ РЕЗУЛЬТАТОВ

Полученные нами экспериментальные данные показывают, что металлы никель и медь, образующиеся при восстановлении  $\text{NiO}$  и  $\text{CuO}$  водородом, оказывают каталитическое действие на скорость реакции.

Механизм каталитического действия этих добавок можно представить, если учесть ориентационное соответствие образующегося в результате реакции металла и исходного окисла по П. Д. Данкову [24]. Сравнивая структуру  $\text{NiO}$  и образующегося в результате реакции  $\beta$ -никеля, можно легко представить возможность ориентации первоначально образующегося слоя металла по окислу. При этом происходит увеличение межатомных расстояний в решетке никеля примерно на 14% по сравнению с нормальным.

То же самое имеет место, по-видимому, и в случае восстановления окиси меди. Однако здесь ориентационное соответствие должно носить более сложный характер: во-первых, вследствие большего различия в параметрах и типе решеток исходного вещества и продукта реакции и, во-вторых, в результате возможного появления промежуточного слоя закиси меди.

Деформационное действие является взаимным и сказывается не только со стороны решетки исходного вещества на продукт, но, и наоборот, со стороны решетки продукта на исходное вещество. Последнее приводит

разрыхлению решетки окисла и облегчению условий его восстановления водородом.

Удаление металлического никеля из зоны реакции путем проводимой нами обработки приводит к снятию деформации решетки окисла, повышению его устойчивости и, следовательно, к снижению скорости восстановления. Подобное же явление имеет место и при восстановлении окиси меди водородом.

Каталитическое влияние продукта может проявляться лишь в том случае, когда между ним и исходным веществом существует достаточный контакт. Принимая это во внимание, легко предположить, почему механическое добавление порошка меди не оказывает влияния на скорость. Наши данные об отсутствии влияния механической добавки совпадают с данными, имеющимися в литературе [3, 13, 15]. При предварительном восстановлении обеспечивается лучший контакт металла с окислом, и поэтому полученная таким образом добавка металла может проявлять каталитическое влияние.

То же самое наблюдается и в опытах по изучению влияния на скорость восстановления  $\text{NiO}$  и  $\text{CuO}$  водородом добавок других металлов, результаты которых будут описаны в другой работе.

### ВЫВОДЫ

1. Изучена скорость восстановления  $\text{NiO}$  и  $\text{CuO}$  водородом. Установлено, что твердые продукты реакции оказывают каталитическое влияние на скорость.
2. Механическое добавление продуктов восстановления не оказывает влияния на скорость реакции.

Томский государственный университет  
им. В. В. Куйбышева

Поступила  
2.XI.1956

### ЛИТЕРАТУРА

- A. F. Benton, R. H. Emmett, Journ. Amer. Chem. Soc., 46, 2428, 1924.  
Д. П. Богацкий, Металлург, 4, 158, 1937.  
R. H. Emmett, Trans. Amer. Elektrochem. Soc., 51, 207, 1927.  
K. Nauffe, A. Rahmel, Zs. phys. Chem. (Frankf.), 1, 104, 1954.  
О. А. Есин и П. В. Гельд, Усп. химии, 18, 660, 1949.  
Г. И. Чуфаров, М. Г. Журавлева и Е. П. Татиевская, ДАН, 73, 1209, 1950.  
R. Pease, H. Taylor, Journ. Amer. Chem. Soc., 43, 2179, 1921.  
J. Okauma, Zs. Elektrochem., 34, 234, 1928.  
Е. П. Татиевская, М. Г. Журавлева и Г. И. Чуфаров, Изв. АН СССР, ОТН, 1235, 1949.  
F. J. Gray, F. Stone, Proc. Roy. Soc., A197, 294, 1949.  
Е. П. Татиевская, Г. И. Чуфаров, Изв. АН СССР, ОТН, 1005, 1946.  
S. Hasegawa, Rev. Phys. Chem. Japan, 19, 132, 1935; Chem. Abstr., 44, 2356, 1950.  
А. Т. Сгибнев, Диссертация, Томск, 1953.  
Г. Г. Гвелесиани, Т. Е. Копышкова и Д. М. Чижиков, Изв. АН СССР, ОТН, 140, 1955.  
М. М. Павлюченко и Я. С. Рубинчик, Журн. прикл. химии, 24, 666, 1951.  
М. М. Павлюченко, Уч. зап. Белорусск. гос. ун-та, 13, 28, 1951.  
М. М. Павлюченко, Журн. физ. химии, 29, 39, 1955.  
М. М. Павлюченко, Журн. физ. химии, 30, 1169, 1956.  
Б. В. Ерофеев, Журн. физ. химии, 29, 1136, 1955.  
Е. В. Ерофеев, Уч. зап. Белорусск. гос. ун-та, 14, 9, 1953.  
Д. П. Богацкий, Журн. общ. химии, 21, 1, 1951.  
Б. В. Ерофеев, ДАН, 52, 515, 1946; Изв. АН БССР, № 4, 137, 1950.  
Г. В. Сякович, Уч. зап. Томск. гос. ун-та, 26, 103, 1955.  
П. Д. Данков, Журн. физ. химии, 20, 853, 1946; 23, 1025, 1949.  
Б. Ф. Ормонт, Структуры неорганических соединений, Гостехиздат, 1951.

THE CATALYTIC EFFECT OF SOLID REACTION PRODUCTS IN THE REDUCTION  
OF NICKEL AND COPPER OXIDES BY HYDROGEN

*V. V. Boldyrev and A. S. Ermolaev (Tomsk)*

Summary

The rate of the hydrogen reduction of NiO and CuO has been studied. It was found that solid products of the reaction exert a catalytic effect on the latter. The simple addition of the reduction products has no influence on the rate of reaction.

---

## МЕТОДЫ И ТЕХНИКА ФИЗИКО-ХИМИЧЕСКОГО ИССЛЕДОВАНИЯ

### ГРАФОАНАЛИТИЧЕСКИЙ МЕТОД НАХОЖДЕНИЯ ПОРЯДКА ОБРАТИМОЙ РЕАКЦИИ ДЛЯ ЭКВИВАЛЕНТНЫХ КОЛИЧЕСТВ РЕАГИРУЮЩИХ ВЕЩЕСТВ

Г. С. Бергер

Нахождение порядка реакции является одним из наиболее важных этапов при исследовании кинетики взаимодействия веществ.

Для этой цели или непосредственно применяют к экспериментальным данным уравнения кинетики различных порядков и выясняют таким путем порядок реакции по значению константы того или иного уравнения, или о порядке реакции судят по виду графика полураспада исходных продуктов реакции  $\tau$ . Для мономолекулярных реакций  $\tau$  зависит от начальной концентрации реагирующего вещества, а в общем случае

$$\tau = \frac{\tau_{\text{const}}}{c_0^{n-1}}, \quad (1)$$

$c_0$  — начальная концентрация одного из эквивалентных реагирующих веществ и  $n$  — порядок реакции.

Наряду с периодом полураспада может быть взято время, за которое претерпевает превращение одна и та же доля исходного количества вещества.

Далее, поскольку для эквивалентных концентраций реагирующих веществ скорость реакции

$$v = -\frac{dc}{dt} = kc^n, \quad (2)$$

из двух опытов с различной начальной концентрацией  $c_1$  и  $c_2$  будет справедливо соотношение

$$n = \frac{\lg \frac{dc_1}{dt} - \lg \frac{dc_2}{dt}}{\lg c_1 - \lg c_2}, \quad (3)$$

метод состоит в определении  $n$  по уравнению (3) с допущением, что  $dc/dt = \Delta c/\Delta t$ . Значения  $c_1$  и  $c_2$  берутся средними на отрезке времени  $\Delta t$ .

Наконец, может быть использован метод изолирования, который состоит в нахождении порядка реакции  $n_1$  в условиях избытка одного из реагирующих веществ и  $n_2$  — в условиях избытка второго вещества. Общий порядок реакции определится из очевидного равенства

$$n = n_1 + n_2. \quad (4)$$

Во всех рассмотренных методах предполагается, что реакция проводится в изотермических условиях.

Общий анализ этих методов приводит к выводу, что только по первому методу удается возможность установить порядок реакции, исходя из результатов одного эксперимента. Однако этот метод связан с необходимостью большого числа вычислений, практически не приемлем для случаев дробного значения  $n$ . Пользование остальными методами связано с необходимостью проведения, по крайней мере, двух опытов, причем третий метод связан с вычислениями по приближенным величинам.

Ниже излагается метод расчета порядка необратимой реакции для эквивалентных концентраций реагирующих веществ по результатам одного опыта, позволяющий одним из вариантов расчета получить точное значение  $n$  и для дробных порядков реакций.

Пусть уравнением скорости реакции будет (2).

Интегрирование этого уравнения дает

$$-\int_{c_0}^{c_t} \frac{dc}{c^n} = k \int_0^t dt,$$

$$\frac{c_0^{-n+1}}{-n+1} - \frac{c_t^{-n+1}}{-n+1} = kt \text{ и } 1 - \left(\frac{c_t}{c_0}\right)^{-n+1} = \frac{-n+1}{c_0^{-n+1}} kt.$$

Положим

$$K = \frac{-n+1}{c_0^{-n+1}} k$$

(при  $n=1$   $K=0$ , при  $n>1$   $K<0$  и при  $n<1$   $K>0$ ). Величина  $K$  определяется только постоянными опыта. Тогда

$$1 - \left(\frac{c_t}{c_0}\right)^{-n+1} = Kt$$

и

$$\left(\frac{c_t}{c_0}\right)^{-n+1} = 1 - Kt.$$

Логарифмируя, получим

$$(-n+1) \ln \frac{c_t}{c_0} = \ln(1 - Kt);$$

откуда

$$-n+1 = \frac{\ln(1 - Kt)}{\ln \frac{c_t}{c_0}}$$

и

$$n = 1 - \frac{\ln(1 - Kt)}{\ln \frac{c_t}{c_0}} = 1 + \frac{\ln(1 - Kt)}{\ln \frac{c_0}{c_t}}.$$

Из формулы (10) непосредственно следует, что

$$\frac{\ln(1 - Kt_1)}{\ln \frac{c_0}{c_{t_1}}} = \frac{\ln(1 - Kt_2)}{\ln \frac{c_0}{c_{t_2}}}$$

$$\frac{\ln(1 - Kt_1)}{\ln(1 - Kt_2)} = \frac{\ln(c_0/c_{t_1})}{\ln(c_0/c_{t_2})}.$$

Если результаты опыта отобразить кривой в координатах  $\ln(c_0/c_t) - t$ , то для значений  $\ln \frac{c_0}{c_{t_1}} / \ln \frac{c_0}{c_{t_2}} = 0,5$  легко найти  $t_1$  и  $t_2$ . В этом случае;

$$\frac{\ln(1 - Kt_1)}{\ln(1 - Kt_2)} = 0,5$$

и

$$(1 - Kt_1)^2 = 1 - Kt_2.$$

Уравнение (14) имеет два корня

$$K' = 0 \text{ и } K = \frac{2t_1 - t_2}{t_1^2}.$$

Так как условием первого порядка реакции является  $K' = K = 0$ , то для этого случая необходимо и достаточно, чтобы  $K = 0$ . Поэтому для расчетов следует брать только значение  $K$ . Значение  $K$  определяется по найденным на графике  $t_1$  и  $t_2$ ;  $n$  находится из уравнению (11); константа реакции  $k$  — из уравнения (6).

Для иллюстрации методики расчета воспользуемся данными таблицы, где приведены значения остатка концентрации реагирующего вещества  $(1 - c_t)$  в *моль/л* в со-

твии с уравнениями первого, второго и третьего порядков; исходная концентрация  $c_0 = 1$  моль/л), и величины  $\ln \frac{1}{c_t}$  и  $kt$ .

енение концентрации реагирующего вещества по уравнениям первого, второго и третьего порядков

Первый порядок			Второй порядок			Третий порядок		
$(1 - c_t)$	$\ln \frac{1}{c_t}$	$k_1 t$	$(1 - c_t)$	$\ln \frac{1}{c_t}$	$k_2 t$	$(1 - c_t)$	$\ln \frac{1}{c_t}$	$k_3 t$
0,182	0,2	0,2	0,167	0,183	0,2	0,087	0,091	0,2
0,331	0,4	0,4	0,285	0,335	0,4	0,155	0,168	0,4
0,452	0,6	0,6	0,375	0,468	0,6	0,210	0,235	0,6
0,551	0,8	0,8	0,444	0,586	0,8	0,255	0,293	0,8
0,633	1,0	1,0	0,500	0,692	1,0	0,293	0,346	1,0
0,699	1,2	1,2	0,545	0,787	1,2	0,326	0,393	1,2
0,754	1,4	1,4	0,583	0,874	1,4	0,354	0,436	1,4
0,798	1,6	1,6	0,615	0,957	1,6	0,380	0,477	1,6
0,835	1,8	1,8	0,643	1,028	1,8	0,402	0,513	1,8
0,865	2,0	2,0	0,667	1,099	2,0	0,422	0,547	2,0

Данные таблицы рассчитаны исходя из уравнений:

первого порядка:  $-\frac{dc}{dt} = k_1 c$  или  $\ln \frac{c_0}{c_t} = k_1 t$ : (16)

второго порядка:  $-\frac{dc}{dt} = k_2 c^2$  или  $\frac{c_0}{c_t} - 1 = k_2 t$ ; (17)

третьего порядка:  $-\frac{dc}{dt} = k_3 c^3$  или  $\left(\frac{c_0}{c_t}\right)^3 - 1 = k_3 t$ . (18)

Кривые по данным таблицы, построенные в координатах  $\ln \frac{c_0}{c_t} - t$ , приведены на рисунке.

Для реакций, протекающих по уравнению первого порядка (кривая 1),

$$\ln \frac{c_0}{c_{t_1}} / \ln \frac{c_0}{c_{t_2}} = \frac{t_1}{t_2},$$

если это отношение равно 0,5, то  $2t_1 = t_2$ . Поэтому по уравнению (15)  $K$  будет равно 0, что, собственно говоря, и определяет первый порядок уравнения.

Для реакций, протекающих по уравнению второго порядка, возьмем значения  $\frac{c_0}{c_{t_1}} = 0,5$  и  $\ln \frac{c_0}{c_{t_2}} = 1$ ; по кривой 2 находим значение  $t_1 = 3,2$  и  $t_2 = 8,6$  мин. Тогда  $K$  будет

$$K = \frac{2t_1 - t_2}{t_1^2} = \frac{6,4 - 8,6}{3,2^2} = -0,21.$$

Подставляя это значение в уравнение (11), вычислим  $n$

$$n = 1 + \frac{\ln(1 - Kt_1)}{\ln \frac{c_0}{c_{t_1}}} = 1 + \frac{\ln(1 + 0,21 \cdot 3,2)}{0,5} = 2,0.$$

Более точными результатами может быть использован более узкий участок кривой  $\frac{c_0}{c_t} - t$ :  $\ln \frac{c_0}{c_{t_1}} = 0,3$  и  $\ln \frac{c_0}{c_{t_2}} = 0,6$ . Значения  $t_1$  и  $t_2$  будут соответственно 1,7 и 3,4 мин.:

$$K = \frac{2t_1 - t_2}{t_1^2} = \frac{3,4 - 1,7}{1,7^2} = -0,24.$$

Порядок реакции будет

$$n = 1 + \frac{\ln(1 - Kt_1)}{\ln \frac{c_0}{c_{t_1}}} = 1 + \frac{\ln(1 + 0,24 \cdot 1,7)}{0,3} = 2,1$$

Константа скорости реакции, рассчитанная по уравнению (6), равна

$$k = \frac{Kc_0^{-n+1}}{-n+1} = 0,21$$

Кинетическим уравнением реакции будет выражение

$$\frac{1}{c_t} - 1 = 0,21t$$

Третью реакцию рассчитаем при

мощи кривой 3. Для значений  $\ln \frac{c_0}{c_{t_1}} = 0,25$  и  $\ln \frac{c_0}{c_{t_2}} = 0,5$   $t_1$  и  $t_2$  будут равны соответственно 3,3 и 8,7 мин.:

$$K = -0,193$$

Порядок реакции  $n$  равен

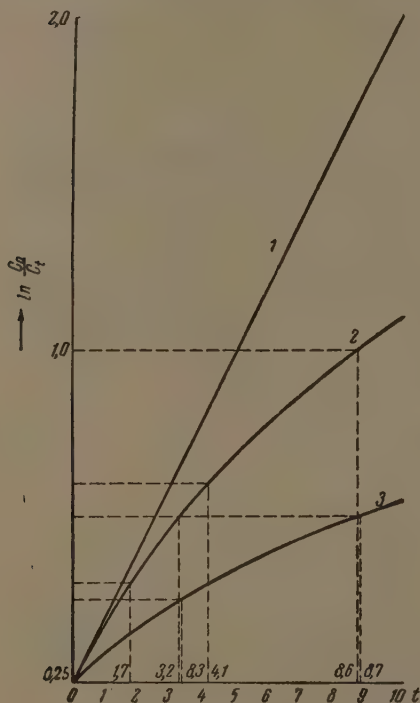
$$n = 1 + \frac{\ln(1 + 0,193 \cdot 3,3)}{0,25} = 3,0$$

Константа скорости реакции будет

$$k = 0,096$$

Уравнением реакции будет

$$\left(\frac{1}{c_t}\right)^2 - 1 = 0,096t$$



Если экспериментальная кривая  $\ln \frac{c_0}{c_t} - t$  обращена выпуклостью книзу, то порядок такой реакции ниже первого. В этом случае  $2t_1 > t_2$  и  $K_1 > 0$ , что соответствует  $n < 1$ .

## ВЫВОДЫ

1. Существующие методы определения порядка скорости необратимых реакций для эквивалентных количеств реагирующих веществ не позволяют, исходя из данных одного опыта, вычислить значение порядка скорости с достаточной точностью.
2. Предложен графоаналитический метод расчета порядка скорости реакции исходя из экспериментальных данных изменения концентрации реагирующих веществ в одном опыте. Этот метод иллюстрирован в тексте статьи тремя примерами расчета.

Карагандинский угольный институт

Поступила  
25. VI. 1956

## A GRAPHOANALYTIC METHOD FOR CALCULATING THE ORDER OF IRREVERSIBLE REACTIONS FOR EQUIVALENT REACTANTS

G. S. Berger (Alma-Ata)

### Summary

The existing methods of determining the rate order of irreversible reactions for equivalent reactants do not allow the calculation to be made with sufficient precision from data of a single experiment.

A graphoanalytic method has been proposed for calculating the reaction rate on basis of changes in the concentrations of the reactants in a single experiment. In the paper the method has been illustrated with the aid of three examples.

## МЕТОДИКА ПОЛЯРИЗАЦИОННЫХ ИЗМЕРЕНИЙ В СЛАБО ЭЛЕКТРОПРОВОДНЫХ РАСТВОРАХ

В. А. Гуськов и М. Я. Фиошин

При поляризационных измерениях в системах, образованных неводными растворами, приходится сталкиваться с рядом особенностей, отсутствующих в обычных водных растворах. Одной из таких особенностей является плохая электропроводность неводных растворов, а следовательно, и малые значения токов в компенсационной цепи. Последнее обстоятельство требует применения или высокочувствительных приборов (зеркальный гальванометр), или специальных усилительных устройств. Работа зеркальным гальванометром требует особых условий, которые не всегда имеются не только на производстве, но и в лаборатории.

Поэтому в своей работе мы прибегли к усилительному устройству. Поскольку опытной схемой подобного рода может представить интерес и при работе с ней имеется ряд достоинств, то в настоящей статье мы изложим методику поляризационных измерений на примере растворов в ледяной уксусной кислоте.

При снятии поляризационных кривых в растворах ацетатов металлов в ледяной уксусной кислоте погрешность измерений была 100—1000 мВ, вследствие того, что сопротивление электролитического ключа между электродом сравнения и исследуемым электродом было порядка  $10^6 - 10^7 \Omega$ , а чувствительность стрелочного гальванометра среднего качества  $10^{-7}$  А.

Поэтому для снятия поляризационных кривых мы применили установку, собранную из обычного потенциометра П-4 и заводской усилительной приставки МП-2. Схема установки дана на рисунке.

Поляризующий ток подается на электролизер 2 от генератора 6 через реостаты  $R_2$  и стабилизатор 8.

Электролизер представляет собой H-образный сосуд с платиновыми электродами; катодное и анодное пространства разделяются при помощи крана. Конец электролитического ключа подводится к поверхности электрода с неполяризованной стороны через изолятор, пропущенный сквозь электрод. Неполяризованная сторона электрода запечатана стеклом. Последовательно с электролизером включены два миллиамперметра с разными пределами измерений. Усилитель включается в измерительную цепь. На АВ подается напряжение, постоянное значение которого поддерживается за счет введения в схему феррорезонансного стабилизатора кенотрона (на рисунке они показаны), емкостного фильтра 9 и стабилизатора 7. Контур ACBD представляет собой мостик Уитстона, в два плеча которого включены трехэлектродные лампы 17 ( $L_1$  и  $L_2$ ).

При положении в ключа К сетка лампы  $L_1$  находится под потенциалом, равным потенциалу точки В. Сеточный ток лампы  $L_1$  имеет порядок  $10^{-11}$  А. Сетка имеет более высокий потенциал относительно катода, а лампа при таком режиме работы (запирающий режим) имеет максимальную чувствительность зависимости анодного тока от потенциала сетки.

При положении в ключа К реостатом  $R_3$  регулируется падение напряжения на плече AD таким образом, чтобы через CD не шел ток, что и фиксируется нуль-гальванометром 5. Если теперь на сетку лампы  $L_1$  подать потенциал, отличающийся от потенциала точки В, то анодный ток лампы  $L_1$  изменится. Следовательно, изменятся падения напряжения на участке BD, потенциал точки D, а значит, и потенциал на сетке лампы  $L_2$ . В конечном результате изменится падение напряжений на обеих лампах — плечах сетки — и он выйдет из равновесия. Чтобы вернуться к нему, на сетку надо подать первоначальный потенциал. На этом и основывается измерение э. д. с., образованной из электродов электролизера 2 и электродом сравнения.

К клеммам КП усилителя подключается, как показано на рисунке, потенциометр. Съемный полуэлемент и электрод подключаются так, чтобы их э. д. с. была обратной э. д. с., снимаемой с потенциометра. Предварительно производится установка нуль-потенциометра (как в обычных схемах по элементу Вестона и нуль-гальванометру).

Далее устанавливается на нуль сам усилитель, включаемый в сеть переменного тока напряжением 127 В.

Установка стрелки нуль-гальванометра 5 на нуль осуществляется реостатом  $R_3$ . Кнопка К при этом находится в положении в (кнопка усилителя не нажата). Клеммы, которыми подключаются сравниваемые электроды, закорачиваются. При э. д. с. потенциометра, равной нулю, в положении а ключа К (кнопка усилителя нажата) равновесие не должно нарушаться.

Измерение э. д. с. производят при положении *a* ключа *K* усилителя. При равенстве обратных э. д. с. (получаемой от пары электрод—каломельный полуэлемент и снимаемой с потенциометра) мост находится в равновесии. То, что через измерительный контур все время протекает ток, не влияет на точность измерений. Поляризация электродов в этом случае ничтожна мала, поскольку сеточный ток для данной лампы  $10^{-11}$  А, а падением напряжения в электролитическом ключе можно практически пренебречь. Действительно, если сеточный ток  $10^{-11}$  А,  $R$  ключа  $= 10^7 \Omega$ , то  $\Delta U = 10^{-11} \cdot 10^7 = 10^{-4}$  В,  $\Delta U = 0,1$  мВ.

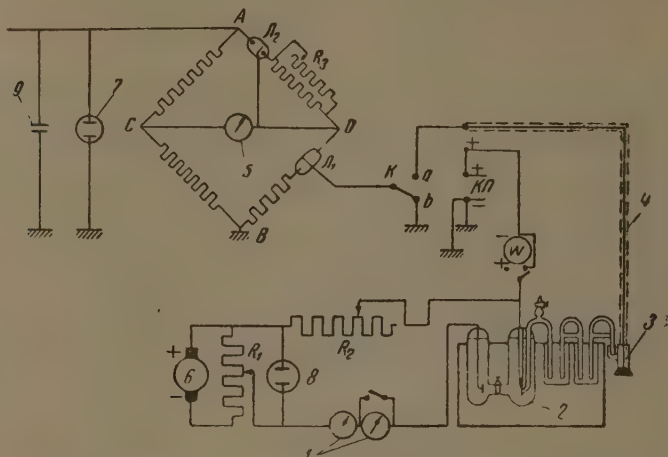


Схема измерения потенциалов в слабо электропроводных растворах: 1—миллиамперметр; 2—электролизер; 3—электрод сравнения; 4—экранированный провод; 5—нуль-гальванометр; 6—источник постоянного тока; 7 и 8—стабилизаторы; 9—емкостной фильтр

Точность измерений, однако, определяется не только величиной сопротивления сеточных токов. Ламповая приставка-усилитель предназначена по заводской инструкции для потенциометрического титрования и замеров  $pH$  при помощи стеклянного электрода. При применении же ее для снятия поляризационных кривых мы столкнулись со следующими факторами, сильно влияющими на точность измерений.

В заводском приборе точка *B* моста заземлена на корпус, который во время измерения должен иметь постоянный потенциал. При работе же мотора мешалки термостата или при включении в поляризационный контур разных сопротивлений емкость корпуса меняется. Это ведет к изменению потенциала точки *B*, а значит, и сетки лампы, следствием чего является нарушение ранее установленного равновесия в мостике и искажение результатов измерений.

Для предотвращения этих явлений необходимо прежде всего тщательное заземление корпуса усилителя. При заземлении корпуса входной провод сетки на некоторое время, зависящее от сопротивления ключа, будет изменять емкость, а следовательно и потенциал сетки, так как входной провод при измерении фактически соединен с точкой *B* через большое сопротивление ключа. Скорость перетекания зарядов, т. е. скорость установления на сетке потенциала, равного при компенсации э. д. с. потенциала точки *B*, имеет какое-то конечное значение. Время установления потенциала в этом приближении пропорционально сопротивлению ключа. Поэтому необходимо тщательное экранирование провода, идущего от каломельного полуэлемента; последнее нужно во всех случаях подключать к сетке.

При соблюдении этих условий можно достичь очень хороших результатов. Так, например, при снятии анодных кривых для растворов  $CH_3COOK$  в  $CH_3COOH$  результаты воспроизводились с точностью 1—5 мВ.

Химико-технологический  
институт им. Д. И. Менделеева  
Москва

Поступила  
6. XI. 1956

## A METHOD FOR POLARIZATION MEASUREMENTS IN POORLY CONDUCTING SOLUTIONS

*V. A. Gus'kov and M. Ya. Fioshin (Moscow)*

## Summary

A method has been developed for obtaining polarization curves in solutions of poor electroconductivity. This was accomplished with the aid of the potentiometer *P*—4, equipped with the amplifying accessory *LM*—2. Provision must be made in the scheme of carefully grounding the body of the amplifier and for screening the grid lead.

---

## ОТ РЕДАКЦИИ

Редакцией получена статья И. В. Бутусова «О повышении чувствительности автоматических электронных потенциометров», в которой указывается на недостатки замеченные автором в статьях А. И. Махлиса, В. И. Макушенко и В. П. Губанов (ЖФХ, т. XXX, вып. 1. 1956 и т. XXX, вып. II. 1956). Мы помещаем статью Бутусова в сокращенном виде, так как в задачу нашего раздела ЖФХ не входит описание расчёта приборов для серийного производства.

Наша цель — помещение заметок физико-химиков экспериментаторов, которым иногда удается при введении несложных усовершенствований улучшить заводские приборы и приспособить их для узких целей своих исследований. Пусть это будут не совсем рациональные (с точки зрения конструктора) усовершенствования, иногда идущие в разрез с общепринятыми канонами приборостроителей — специалистов.

Однако, если они удовлетворяют экспериментатора в данный момент, пока еще нет более совершенных приборов, приборостроителям следует прислушиваться к мнению рядового потребителя и учитывать их замечания и стремления в своих творческих разработках.

О ПОВЫШЕНИИ ЧУВСТВИТЕЛЬНОСТИ АВТОМАТИЧЕСКИХ  
ЭЛЕКТРОННЫХ ПОТЕНЦИОМЕТРОВ

*И. В. Бутусов*

Повышение чувствительности автоматических электронных потенциометров имеет большое практическое значение для использования их при измерении и записи весьма малых термо-э. д. с. или напряжений постоянного тока.

В статьях А. И. Махлиса, В. М. Макушенко и В. П. Губанова [1, 2] сделан ряд неправильных утверждений, которые могут ввести в заблуждение читателей. Авторы статей утверждают, что повышение чувствительности автоматического потенциометра может быть достигнуто путем уменьшения напряжения на реохорде дополнительным шунтированием последнего. Это утверждение не соответствует действительности, так как шунтированием реохорда можно лишь изменить предел измерения прибора. Если при этом коэффициент усиления усилителя остается неизменным, то возрастают вариация прибора и его погрешность. Поэтому с уменьшением предела измерения при сохранении той же точности измерения необходимо увеличить коэффициент усиления усилителя так, чтобы общий коэффициент передачи остался неизменным. Таким образом, повышение чувствительности в типовом автоматическом потенциометре ограничено возможностью увеличения коэффициента усиления усилителя.

Далее, авторы статьи утверждают, что замена в измерительной схеме медного сопровитвления манганиновым необходима с целью уменьшения времени установления теплового баланса сопротивлений моста, от которого зависит стабильность нулевого отсчета. Это также неправильно. Как известно, медное (или никелевое) сопротивление в типовом потенциометре устанавливается для автоматической компенсации изменения температуры свободных концов термопары. Если потенциометр используется для измерения напряжений постоянного тока, то медное сопротивление заменяется манганиновым, так как в этом случае не требуется автоматической компенсации температуры свободных концов термопары. Авторы предлагают использовать потенциометр для измерения термо-э. д. с.; следовательно, компенсация изменения температуры свободных концов термопары в том или ином виде должна быть осуществлена. Правда, в этом случае по ряду других соображений целесообразнее компенсацию свободных концов термопары осуществлять вне прибора, тогда в мостовой схеме прибора медное сопровитвление можно заменить манганиновым.

Тепловая инерционность той или иной катушки практически не имеет никакого значения, так как изменение окружающей температуры происходит весьма медленно.

В статье А. И. Махлиса, В. М. Макушенко и В. П. Губанова [2] утверждается, что

повышением коэффициента усиления усилителя при помощи добавления каскада за счет использования обеих половин второй лампы и шунтированием реохорда им удалось учесть предел измерения прибора  $0-50 \mu V$  на всю шкалу с порогом чувствительности  $5 \cdot 10^{-8} V$  при сохранении погрешности прибора  $\pm 0,5\%$ . Это утверждение является же неправильным.

В результате проведенной нами работы установлено, что при помощи повышения коэффициента усиления усилителя за счет использования четвертого каскада усиления и дополнительным шунтированием реохорда предел измерения прибора можно повысить до  $500 \mu V$  на всю шкалу с основной погрешностью  $\pm 0,5\%$  от верхнего предела измерения и пороговой чувствительностью  $0,1\%$ .

Авторы статьи предлагают для получения прибора на предел измерения  $50 \mu V$  производить шунтирование типового реохорда. Однако шунтирующее сопротивление является весьма малым и практически при такой малой его величине подогнать пределы измерения весьма затруднительно.

Авторы статьи [2] утверждают, что на работу прибора сильное влияние оказывают вибрации от синхронного двигателя. Заметим, что вибрации от синхронного двигателя на работу прибора с пределами измерения  $0-100$  и  $0-50 \mu V$  практически заметного влияния не оказывают. Более существенное влияние на работу прибора оказывают электромагнитные поля рассеяния от двигателя, так как его корпус выполнен из силумина.

Так как в статье затронут вопрос о повышении чувствительности автоматических электронных потенциометров, нужно заметить следующее. На первый взгляд кажется, что, увеличивая коэффициент усиления, можно беспредельно повышать чувствительность прибора. На самом же деле, с повышением усиления повышается и уровень шумов.

Снижение уровня шумов может быть получено за счет понижения температуры движущего сопротивления, уменьшения полосы пропускания, уменьшения величины одного сопротивления и выбором первой лампы с большой крутизной.

В настоящее время в ГСОКБ разработан высокочувствительный автоматический микровольтметр с пределами измерения  $0-100 \mu V$  и  $0-50 \mu V$ , который прошел испытания и передан в серийное производство.

Поступила  
19. III. 1957

#### ЛИТЕРАТУРА

- А. И. Махлис, В. М. Макушенко и В. П. Губанов, Журн. физ. химии, 30, 202, 1956.  
А. И. Махлис, В. П. Макушенко и В. П. Губанов, Журн. физ. химии, 30, 2585, 1956.

#### INCREASING THE SENSITIVITY OF AUTOMATIC ELECTRONIC POTENTIOMETERS

*I. V. Butusov*

#### Summary

An increase in the sensitivity of the automatic electronic potentiometers now being produced can not be realized by mere additional shunting of the rheochord. One has to increase the amplification factor of the amplifier. By raising the amplification factor of a typical amplifier through an additional fourth amplifying stage the measuring range may be lowered to a full scale deflection of 500 microvolts, while preserving the accuracy  $\pm 0.5\%$ , full scale span.

The threshold sensitivity of the apparatus is limited by the magnitude of the noise potential at the amplifier input. For the automatic potentiometer to acquire a scale span  $0-50$  microvolt with a threshold sensitivity of  $5 \cdot 10^{-8}$  volt and an over-all accuracy  $\pm 0.5\%$  the measuring circuit of the typical instrument requires fundamental change, namely, the designing of a special amplifier with a large factor and a low level of noise, reduction to a minimum of the number of intermediate contacts, careful shielding of the measuring circuit and its leads, as well as the disperse magnetic field of the synchronous motor. Only after accomplishing these measures was it possible to attain a scale span in the automatic voltmeter of  $0-50$  microvolt with a threshold sensitivity of  $10^{-8}$  volt.

# КОМБИНИРОВАННЫЙ ПРИБОР ДЛЯ ИЗМЕРЕНИЯ ВЯЗКОСТИ, ПЛОТНОСТИ И ТЕМПЕРАТУРЫ ЗАТВЕРДЕВАНИЯ — ПЛАВЛЕНИЯ

*Н. С. Бубырева, Б. И. Маркин, Б. П. Биндас,  
Ю. А. Силкин и К. В. Чмутов*

Изучение свойств некоторых химических соединений и растворов осложняется их токсичностью. В этом случае применение обычных способов исследования становится невозможным, и возникает необходимость применения дистанционных методов [1]. Ниже приводится описание комбинированного прибора (рис. 1) для дистанционного определения некоторых физико-химических констант жидкостей: плотности, вязкости и температуры затвердевания — плавления.

Основная деталь комбинированного прибора — сосуд 1, в которой помещается определенное количество (около 5 мл) исследуемой жидкости по сифону 2. Избыток ее удаляется при помощи возвратной трубки 3, которая имеет промежуточную камеру 4. Такое устройство обеспечивает постоянство уровня жидкости в сосуде 1, так как стекающая со стенок возвратной трубки жидкость не повышает уровня в сосуде 1, а скапливается в камере 4. Соблюдение постоянства уровня необходимо при определениях вязкости и особенно при измерении плотности.

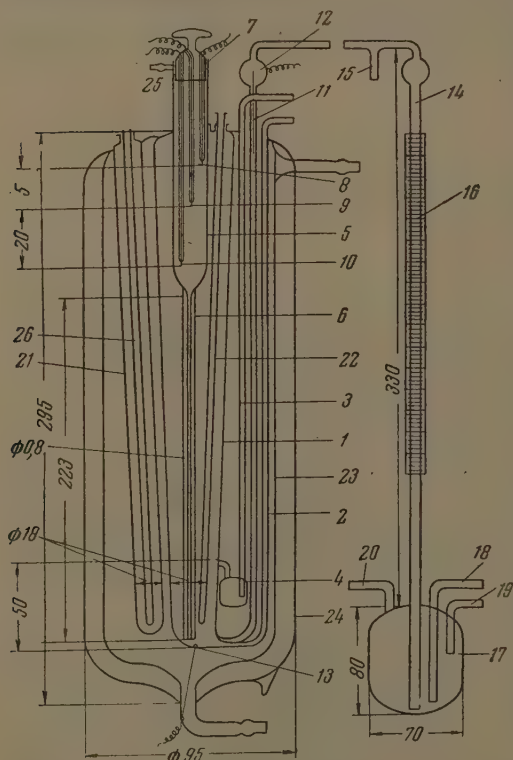


Рис. 1. Комбинированный прибор. 1 — сосуд для пробы; 2 — сифон; 3 — возвратная трубка; 4 — промежуточная камера; 5 — пипетка вискозиметра; 6 — капилляр вискозиметра; 7 — пробка вискозиметра; 8, 9, 10, 12, 13 — платиновые электроды; 11, 14 — плотномерная трубка; 15 — отстойник; 16 — шкала; 17 — сосуд для стандартной жидкости; 18 — сифонная трубка; 19, 20 — возвратные трубки; 21 — сосуд для эталонной жидкости; 22 — датчик температуры; 23, 24 — оболочки прибора; 25 — срезок вискозиметра; 26 — сосуд для определения точки плавления.

В верхней части сосуда 1 имеются два отверстия. В одно из них на шлифе вставляется пипетка 5 с капилляром 6 и пришлифованной пробкой 7. Во второе отверстие помещается чехол 22 для датчика температуры. Пипетка с капилляром служит для определения вязкости. Время истечения жидкости через капилляр 6 при измерениях вязкости фиксируется автоматически, для чего прибор снабжен платиновыми электродами 8, 9, 10, 12, 13; электроды 9 и 10 ограничивают определенный объем истекающей жидкости. О

исоединены к описанной ниже электронной схеме, при помощи которой осуществляется автоматический отсчет времени истечения жидкости из капилляра.

Электрод 8 служит ограничителем уровня жидкости в пипетке 5. Для измерения плотности в приборе имеется трубка 11, в которую впаян платиновый электрод 12. Трубка 11 при помощи резинового шланга соединена с трубкой 14 (диаметр обеих трубок одинаков). Последняя имеет отросток 15 и шкалу 16 (цена деления 0,5 мм). Трубка впаяна в емкость 17, которая снабжена сифонной 18, возвратной 19 и воздушной 20 трубками. Трубки 18, 19, 20 предназначены для заполнения емкости 17 стандартной жидкостью (вода) и поддержания ее постоянного уровня.

Для определения температуры кристаллизации по методу записи термограмм в приборе используются сосуды 1 и 21. В сосуд 1 с исследуемым веществом вводится абьютный, а в сосуд 21 с эталонным веществом (50%-ный раствор серной кислоты) — дифференциальные датчики температуры в стеклянных чехлах (22 и 26).

Весь прибор заключен в оболочку 23. Воздух между которыми эвакуирован. Для работы при температурах выше 0° С прибор термостатируется при помощи термостата ТС-15, при температурах от 0° до 50° С применяется криостат.

Дистанционные измерения вязкости и плотности на комбинированном приборе обеспечиваются при помощи несложной электронной схемы (рис. 2).

Схема выполнена на двойном триоде 6Н8С. Питание осуществляется переменным током промышленной частоты. Напряжение на сетки триодов подается в противофазе — через сопротивление 3 МΩ. Выводы от сеток А и В подключаются к электродами 9 и 10 (рис. 1). Между анодными нагрузками включается электромеханический счетчик СБ-1М. При отсутствии тока между контактами 9, 10, 13 или при замыкании их напряжения на анодах лампы равны и ток через счетчик не проходит. Если замкнуты контакты 9 и 13, через счетчик проходит переменный ток промышленной частоты. Таким образом точность отсчета времени в основном определяется стабильностью частоты промышленного тока. Эта же схема используется для контроля уровня жидкости в трубке 11 (рис. 1) при измерении плотности. В этом случае к сетке одного из триодов тумблером Т подключается клемма Д, к которой присоединены электро-

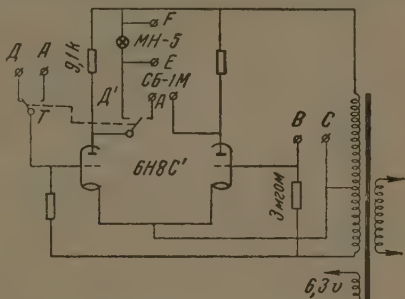


Рис. 2. Электронная схема прибора. А, В — выводы от сеток; Т — тумблер (двойной); В, Г, Д, Е — клеммы

Таблица 1

Средняя погрешность, %	Сантипуазы по данным [2]	Сантипуазы по определению	Относительная погрешность
31,0	1,88	1,92	~2
52,8	4,03	4,02	~0,2
60,5	5,68	5,78	~2
90,5	23,05	23,09	~0,2

8 и 12. При этом отключается счетчик СБ-1М и подключается неоновая лампа МН-5 параллельно МН-5 можно подключить дополнительную неоновую лампу через клеммы Е. При достижении мениском исследуемой жидкости электрода 12 неоновая лампа загорается; в этот момент производится замер плотности по шкале 16. При измерении вязкости неоновая лампа будет включаться при достижении жидкостью электрода 8, чем ограничивается забор пробы в пипетку вискозиметра.

Для измерения вязкости прибор предварительно термостатировался при заданной температуре в течение 30—60 мин. Затем через отросток 25 в пипетке 5 создавалось разрежение, жидкость поднималась до уровня электрода 8, о чем свидетельствовало зажигание лампочки МН-5. Система соединялась с атмосферой, и жидкость свободно текла из капилляра 6. В это время тумблер Т переводился в положение АА' (рис. 2). В момент истечения жидкости вначале разрывался контакт между жидкостью и электродом 9, вследствие чего включался счетчик СБ-1М. Затем жидкость проходила электродом 10 — счетчик выключался. Показанием счетчика определялось время истечения заданного объема жидкости. Счетчик СБ-1М считал импульсы переменного тока (пер/сек) и, таким образом, обеспечивал точность измерения времени 0,02 сек. На основании полученных данных рассчитывалась вязкость по формуле

$$\eta = k\tau d,$$

$d$  — плотность исследуемой жидкости,  $\tau$  — время истечения,  $k$  — константа, выведенная по жидкости с известной плотностью и вязкостью.

Точность измерений при помощи комбинированного прибора проверялась по жидкостям с известной вязкостью. Результаты проверки приведены в табл. 1

Как видно из таблицы, максимальная ошибка определения не превышает 2%.

Плотность определялась следующим образом. Через отросток 15 в системе создавалось разрежение. При этом по трубкам 11 и 14 поднимались соответственно исследуемая и стандартная жидкости. В момент, когда жидкость достигала электрода 12, замыкалась цепь сигнальной лампы. Оператором производился замер уровня стандартной жидкости по шкале 15. Предварительно прибор калибровался по жидкостям, плотность которых определялась при 20° С пикнометрически с точностью  $\pm 0,005 \text{ г/см}^3$ . Для калибровки использовались водные растворы солей. В табл. 2 представлены данные калибровки.

Таблица 2

Число делений шкалы, $n$	475	332	225	197	151
Плотность, $d$	0,9998	1,2045	1,3576	1,4011	1,4630

По данным калибровки был построен график в координатах  $d - n$ , пользуясь которым, находилась искомая плотность. Точность определений плотности проверялась путем сопоставления данных, полученных на приборе и пикнометром, для одной и той же жидкости.

В табл. 3 приведены результаты проверки.

Из таблицы видно, что ошибка определения не превышала 0,3%.

Определение температуры затвердевания — плавления производилось при помощи записи термограмм на пирометре Курнакова. С этой целью в теплообменную оболочку комбинированного прибора прокачивалась охлаждающая жидкость из криостата.

Таблица 3

$d$ , определено пикнометрически	$d$ , определено прибором	Погрешность, %
1,2312	1,232	0,1
1,3030	1,307	0,3
1,4732	1,471	0,1

Определение температуры затвердевания производилось при помощи записи термограмм на пирометре Курнакова. По окончании опыта термограмма обрабатывалась. Определялись температуры эффектов затвердевания плавления, соответственно по началу отклонения и максимуму пика на дифференциальной кривой. Температура контролировалась медно-константановой термопарой, прокалиброванной по точкам плавления чистых веществ. Для калибровки использовались: вода — 0° С; анилин — 6,2° С; четыреххлористый углерод — 22,6° С; хлорэтан — 35,3° С. Ниже приведены данные проверки комбинированного прибора.

Таблица 4

Вещество	Т. пл., по данным [2]	Т. пл., измеренная прибором, °С	$\Delta t^\circ$
Ртуть	—38,87	—38,4	0,47
Пиридин	—42,00	—42,4	0,4

Как видно из приведенных данных, абсолютная ошибка определения не превышает 0,5° С. Для записи термограмм использовался также регистрирующий мЭМП-209. Измерение температуры производилось термометрами сопротивления, которые калибровались таким же образом, как и термопара.

Предлагаемый прибор позволяет дистанционно определять в одной и той же пробе исследуемого вещества вязкость, плотность и температуру затвердевания — плавления.

Прибор неоднократно применялся для исследования растворов электролитов и показал хорошую воспроизводимость результатов измерения.

Поступила  
17. IV. 1957 г.

#### ЛИТЕРАТУРА

1. Н. С. Бубырева, К. В. ЧмUTOB, Б. И. Маркин. Заводск. лабор., № 365, 1956.
2. Справочник химика, Госхимиздат 1952, т. 4, стр. 175; т. 3, стр. 415.

# APPARATUS FOR THE JOINT DETERMINATION OF VISCOSITY, DENSITY AND THE MELTING-SOLIDIFICATION TEMPERATURE

*N. S. Bubyreva, B. I. Markin, V. P. Bindas, Yu. A. Silkin,  
K. V. Chmutov (Moscow)*

## Summary

A glass apparatus is described for measuring the melting-solidification temperature, density and viscosity of electrolyte solutions. The apparatus permits the determination of three constants in a single sample of the substance, about 5 ml in volume. The measurement is made at a distance with the use of an electronic circuit.

The melting-solidifying temperature is determined by recording the heating and cooling curves. The viscosity is measured by the flow of the liquid in a capillary and the density by rise in a tube.

Tests of the apparatus showed it to have a precision of 0.5% for the melting-solidification temperature, about 3% for the density, and up to 2% for the viscosity.

## ПИСЬМА В РЕДАКЦИЮ

## О ПРОТИВОРЕЧИЯХ В ТЕОРИИ П. С. ЭРЕНФЕСТА

(ответ И. Базарову)

М. П. Мохнаткин

В теории фазовых переходов второго рода вводятся в рассмотрение такие фазовые превращения, которые можно характеризовать непрерывными термодинамическими функциями при переходе из одной фазы в другую (гипотеза П. С. Эренфеста)\*:

$$\varphi' = \varphi''; \quad s' = s''; \quad v' = v''; \quad u' = u''$$

или

$$\int_0^T \frac{C'_v}{T} dT = \int_0^T \frac{C''_v}{T} dT,$$

где  $C_v = du/dT$  — теплоемкость вещества,  $T$  — температура фазового перехода.

В письме [1] отмечалось, что в рамках современной теории теплоемкостей (классической и квантовой), рассматривающей теплоемкость как непрерывную функцию температуры, условия П. С. Эренфеста для фазовых переходов приводят к существенным противоречиям: Формулы П. С. Эренфеста для «скачков» теплоемкости при фазовых переходах второго рода отпадают сами собой («скачки» равны нулю:  $C'_v = C''_v$  или  $\Delta C_v = 0$ ).

И. П. Базаров [2] пытается убедить читателей в том, что противоречия в теории П. С. Эренфеста якобы можно устранить при помощи «новой» теории теплоемкостей. Он пишет: «Основываясь на теории теплоемкостей, приводящей к реально существующим скачкам теплоемкости при некоторой температуре  $T$ , мы из равенства интеграла (5) не можем сделать вывода, что  $\Delta C_v = 0$ , как это делает автор [1]».

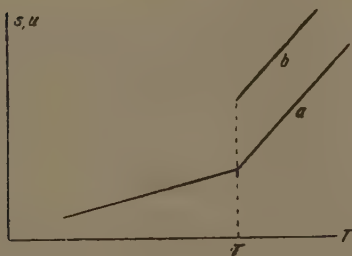


Рис. 1

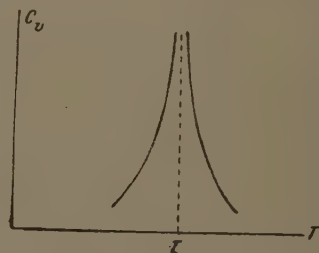


Рис. 2

По поводу изложенного можно отметить следующее. Из курса математического анализа [3] известно, что если производная непрерывной функции существует в некотором интервале, то она в этом интервале не может иметь разрывов первого рода (скачков): в каждой точке она либо непрерывная, либо имеет разрыв второго рода. Теплоемкость  $C_v = \frac{du}{dT}$ , как производная от непрерывной функции (по Эренфесту) при температуре  $T$  либо непрерывна, либо имеет разрыв второго рода (рис. 1).

Если допустить, что при температуре  $T$  фазового перехода производная не существует (теплоемкость системы не существует), а имеются только конечные производ-

\* Нумерация формул приводится по статье [1].

а и слева (существуют теплоемкости отдельных фаз), то разность этих производ-  
удет не равна нулю:  $\Delta C_p \neq 0$  (рис. 2).

тот пример обычно приводится в качестве иллюстрации к теории П. С. Эренфеста  
чках теплоемкости при фазовых переходах второго рода.

Однако данный пример не может служить доказательством непротиворечивости  
и П. С. Эренфеста потому, что этот пример с равным успехом можно использовать  
ии фазовых переходов первого рода, когда энтропия и внутренняя энергия систе-  
пытывают разрыв непрерывности при температуре  $T$  (рис. 2). Если вновь соста-  
разность производных, то можно убедиться, что эта разность не зависит от теории  
ых переходов (скачки будут одинаковы). Следовательно, метод односторонних  
водных не устраняет противоречий в теории П. С. Эренфеста.

По этой причине возражения И. П. Базарова являются необоснованными.

аратовский педагогический  
институт

Поступила  
2. VIII. 1956

#### ЛИТЕРАТУРА

П. Мохнаткин, Журн. физ. химии, 28, 501, 1954.

А. Базаров, Журн. физ. химии, 30, 1177, 1956.

М. Фихтенгольдц, Основы математического анализа, т. 1, стр. 182, ГТТИ,  
1956.

## ПО ПОВОДУ СТАТЬИ Н. Н. ЗНАМЕНСКОГО «К ВОПРОСУ О КИНЕТИКЕ ВЗАИМОДЕЙСТВИЯ ОЗОНА С РЕЗИНОЙ» [1]

*Ю. С. Зуев и С. И. Проведникова*

Основное положение рассматриваемой статьи сводится к тому, что скорость химической реакции озона с резиной, находящейся под действием постоянной нагрузки, можно определить по скорости ее удлинения в «начальный период реакции, когда видимых признаков деструкции на образце еще не появляется» (стр. 1093 [1]), т. е. в пределах деформации резины 1 — 1,5% (стр. 1094 и 1096 [1]). По этому, а также по другим положениям Н. Н. Знаменского необходимо сделать следующие замечания.

При действии озона на ненапряженную пленку полимера реакция практически ограничивается поверхностным слоем образца и резко затормаживается из-за диффузионной задержки [2, 3]. При озонировании напряженной резины имеет место качественно иное явление — образование поверхностных трещин, устранение в местах диффузионной задержки и вследствие этого последующее углубление трещин. Учитывая современное состояние вопроса [5], в том числе последние экспериментальные данные [6] о непосредственной связи стойкости к озонному растрескиванию и механической прочности ряда резин, можно сделать вывод, что существенную роль в этом процессе играет механический разрыв резины. Таким образом использование Н. Н. Знаменским метода Тобольского\*\* [7] при исследовании скорости химической реакции резины с озоном является незаконным, так как взаимодействие резины с озоном сопровождается образованием трещин, вызывающих удлинение образца и изменение в нем напряжения. Растрескивание (в отличие от окисления) — не только химический, но и физический процесс разрыва, скорость которого зависит от величины напряжения. Следовательно, допущение, что скорость удлинения резины в дозе озона пропорциональна скорости их химического взаимодействия является неверным. Это допущение не подтверждается и фактом торможения процесса ингибиторами, как считает автор, так как механизм действия этих веществ пока не ясен, и их влияние может осуществляться также и физическими путями [8 — 11].

Метод, выбранный автором [1], мало пригоден для научного исследования кинетики озонного растрескивания, так как в течение опыта непрерывно изменяется напряжение, действующее на образец, деформация и габариты образца, вследствие чего скорость процесса также непрерывно изменяется. Кинетические характеристики, получаемые в этом случае, являются условными и представляют собой неизвестные функции от указанных факторов.

Неясно откуда автор получил цифры 1—1,5%. Как следует из его экспериментальных данных (рис. 3 статьи [1]), эта область не является границей, при переходе за которую изменяется характер роста удлинения под действием озона. Сначала отсчета и измерения до 30% удлинения (вплоть до разрыва образца) зависимость  $\ln \Delta l$  —  $t$  описывается одной прямой, т. е. растрескивание образца имеет место с самого начала его удлинения, вопреки утверждению Н. Н. Знаменского. Более того, автор вообще не привел экспериментальных точек, лежащих в интервале 1—1,5% удлинения (рис. 3 статьи [1])\*\*\*.

Автор [1] считает, что скорость химического взаимодействия озона с резиной пропорциональна величине приложенного напряжения (стр. 1096). Несомнительно, что это положение подробно показана в работе [3]. Оно опровергается также (если считать, как Н. Н. Знаменский, что скорость взаимодействия пропорциональна скорости растрескивания) экспериментальным фактом замедления роста трещин и разрыва времени до разрыва при увеличении напряжения выше определенной «критической величины» [6].

\* Н. Н. Знаменский не видит качественной разницы, а только количественной в действии озона на ненапряженную и напряженную резину (стр. 1092), что неверно (2, 4).

\*\* Автор не ссылается в своей работе на статьи Тобольского [7], который по кинетике спада напряжения (при  $\epsilon = \text{const}$ ) и роста деформации (при  $P = \text{const}$ ) определял кинетические константы химической реакции окисления, вызывавшей этот процесс.

\*\*\* Это легко показать, зная детали методики, которых автор в статье не приводит. Н. Н. Знаменский использовал для отсчета микрошкалы с ценой деления 0,1 мм. При длине рабочего участка 20 мм (200 делений шкалы) удлинение 1—1,5% будет соответствовать 2—3 делениям микрошкалы. На рис. 3 [1] только на кривой 2 приведена одна точка, соответствующая трем делениям, на кривых 1, 3, 5 наименьшая точка равна четырем делениям.

константы удлинения вычисляются им на основании точек, лежащих в области 2—30%. Таким образом подчеркиваемое автором положение, что кинетические расчеты ограничиваются областью 1—1,5% от исходной длины, не соответствует его экспериментальным данным и не имеет под собой никакого физического обоснования.

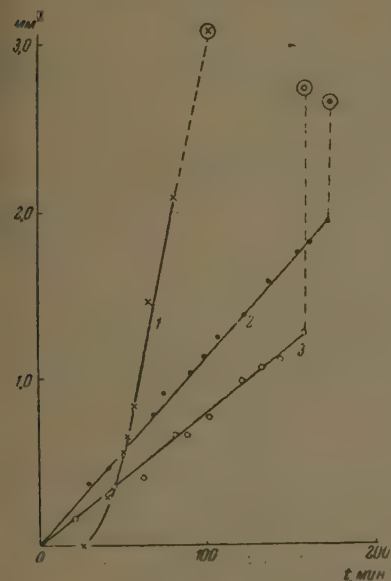


Рис. 1

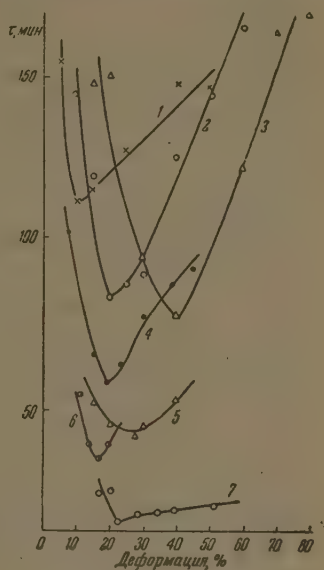


Рис. 2

Рис. 1. Кинетика роста трещины на вулканизате СКС-30 при разных деформациях: 1 — 10%, 2 — 70%, 3 — 100%; концентрация  $O_3 = 0,0015\%$ ,  $\varepsilon = \text{const}$

Рис. 2. Зависимость времени до разрыва резины от величины деформации  $\varepsilon$ . Испытание при  $\varepsilon = \text{const}$ . 1 — полиизопреновый СК (мис-форма); 2 — полиизопреновый СК (ульсионный); 3 — полиизопреновый СК с 2,5% метакриловой кислоты (1, 2 и 3 —  $[O_3] = 0,001\%$ ); 4 — СКН-23,  $[O_3] = 0,002\%$ ; 5 — гуттаперча (эластичный вулканизат),  $[O_3] = 0,003\%$ ; 6 — СКС-30 с 30 в. ч. капальной сажи,  $[O_3] = 0,0015\%$ ; 7 — полифторопрен,  $[O_3] = 0,013\%$

Подробное исследование при помощи объективного метода [12] кинетики озонного стресскивания различных вулканизатов [6] показало, что при постоянном напряжении деформации кинетические кривые в общем случае имеют не два, как у Н. Н. Знаменского, а четыре качественно различных участка, наличие и относительная продолжительность которых зависят от величины деформации образца (рис. 1). Автор, очевидно, этого не учитывает, так как для приведенных экспериментальных данных не указано ни значение деформации, ни значение напряжения.

Автором [1] неверно определена зависимость времени до разрыва  $\tau$  образца от величины начальной деформации  $\varepsilon$ , как монотонная убывающая.

Нами на большом количестве экспериментального материала показано [6] (рис. 2), что в случае всех исследованных вулканизатов наблюдается так называемая антическая деформация. Она имеет место как при  $\text{const}$ , так и при постоянной нагрузке. С ростом деформации  $\tau$  проходит через минимум, а затем через максимум [6]. Экспериментальные точки у Н. Н. Знаменского также показывают наличие минимума и максимума, что видно из рис. 4 в [1], который мы воспроизводим (рис. 3). Автор без всяких оснований сглаживает эту зависимость.

Автор [1] бездоказательно считает недостаточно убедительными выводы в работе С. Зуева и А. С. Кузьминского [13], пользовавшихся в своих опытах для оценки

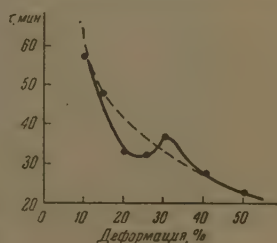


Рис. 3. Зависимость времени до разрыва в атмосфере озона от величины деформации. Сплошная кривая проведена по экспериментальным точкам, пунктирная взята из [1]

озоностойкости резин временем до появления трещин, так как этот критерий субъективен. Недостатки этого метода нам известны. Они указаны в нашем критическом обзоре [12], поэтому соответствующие опыты ставились при участии одного наблюдателя. Основной задачей работы [13] было показать путь построения количественного метода ускоренного старения резин при помощи экстраполяции. Эта задача выполнена. Указанный экстраполяционный метод начинает сейчас применяться и для тепловых старения [5].

В результате изложенного можно сделать общий вывод о том, что метод, используемый Н. Н. Знаменским, для точного исследования кинетики озонового растрескивания (в частности, химической стороны процесса) не пригоден, а для массовых испытаний он сложен и аппаратурно не оформлен.

Для этих целей возможно применение метода, где в процессе испытания остаются постоянными деформация, среднее значение напряжения и другие факторы [14].

Вывод о монотонном характере зависимости между временем до разрыва и величиной деформации образца не верен.

Институт резиновой  
промышленности  
Москва

Поступила  
3. XI. 1956

#### ЛИТЕРАТУРА

1. Н. Н. Знаменский, Журн. физ. химии, **30**, 1092, 1956.
2. Ю. С. Зуев, ДАН, **74**, 967, 1950.
3. Ю. С. Зуев и А. С. Кузьминский, ДАН, **89**, 325, 1953.
4. Ю. С. Зуев, **93**, 483, 1953.
5. А. С. Кузьминский, Н. Н. Лежнев и Ю. С. Зуев, Окисление каучуков и резин, Госхимиздат, 1957.
6. Ю. С. Зуев, С. И. Праведникова, Тезисы докладов IX конференции по общим вопросам физики и химии высокомолекулярных соединений, Изд-во АН СССР, М., 1956, стр. 167; ДАН, **116**, № 3, 1957.
7. A. V. Tobolsky, R. D. Andrews, Rub. Chem. Techn., **18**, 731, 1945.
8. Ю. С. Зуев и А. С. Кузьминский, Сборник, Старение и утомление каучуков и резин и повышение их стойкости, Госхимиздат, 1955, стр. 157.
9. Ю. С. Зуев и А. З. Борщевская, Методы защиты резин от озонового растрескивания, Изд-во НИИРП, 1957.
10. D. S. Thompson, B. K. Baker, R. W. Brownlow, Ind. Eng. Chem., **44**, 850, 1952.
11. R. F. Shaw, Z. T. Ossefort, W. J. Touhey, Rub. World, **30**, 636, 1954.
12. Ю. С. Зуев, С. И. Праведникова, Сборник Трудов НИИРП, № 3, 1956.
13. Ю. С. Зуев и А. С. Кузьминский, Старение каучуков и повышение их стойкости, Госхимиздат, 1952, стр. 38.
14. Ю. С. Зуев, С. И. Праведникова, Авторское свидетельство № 101408 от 1 февраля 1954 г.

# ТЕРМОДИНАМИЧЕСКИЕ СВОЙСТВА $\text{BeCl}_2$ В РАСПЛАВЛЕННОЙ СИСТЕМЕ $\text{BeCl}_2\text{—NaCl}$

Б. Ф. Марков и Ю. К. Делимарский

Изучение термодинамических свойств системы  $\text{BeCl}_2\text{—NaCl}$  представляет особый интерес, поскольку взаимодействие между компонентами этой системы проявляется отчетливо [1]. Одним из методов изучения растворов солей в расплавленном состоянии является измерение э. д. с. гальванических элементов со смешанными электродами. Этот метод применен и в настоящей работе.

В предыдущей статье [2] одним из авторов совместно с Е. М. Скобцом было определено напряжение разложения хлористого бериллия в расплавленной системе  $\text{BeCl}_2\text{—BeCl}_2$  эвтектического состава. Для полного исключения деполяризационных явлений рабочие пространства разделялись стеклянной диафрагмой. Коммутаторным методом также по  $I\text{—}V$ -кривым было определено напряжение разложения  $\text{BeCl}_2$  при различных температурах:

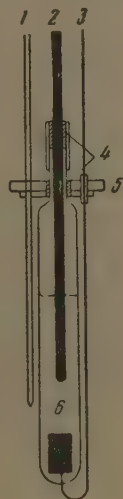
$$E_{500} = 2,04 - 0,00055 (t - 500) \text{ В.}$$

В ходе этого исследования в настоящей работе определена зависимость э. д. с. гальванических цепей для  $\text{BeCl}_2$  от его концентрации в расплавленной системе  $\text{BeCl}_2\text{—NaCl}$ , что позволило оценить энергию взаимодействия между этими компонентами и рассчитать некоторые термодинамические свойства  $\text{BeCl}_2$ .

Безводный хлористый бериллий и расплавы  $\text{BeCl}_2$  с  $\text{NaCl}$  готовились так, как описано в работе [2]. Ячейка, в которой проводились измерения, представлена на рисунке. Помещалась в вертикальную трубчатую печь с индикаторной платиновой обмоткой, в которую соединялась с фототерморегулятором. Благодаря применению регулятора можно было быстро изменять температуру печи, а также поддерживать ее постоянной неограниченно долгое время; колебания температуры при этом не превышали  $\pm 0,5^\circ$ . Аноды (диаметром 5 мм и длиной 200 мм) вытачивались из графита. Электроды предварительно обрабатывались хлором при  $50^\circ\text{C}$  для удаления примесей.

Опыты проводились в следующем порядке. Смонтированная ячейка помещалась в печь и нагревалась в ней до  $400^\circ\text{C}$ . После заливки электролитом проводился предварительный электролиз в течение одного-двух часов при силе тока 0,2 А для осаждения металла на платиновом катоде и насыщения графитного электрода электролитом.

Для получения электролита с содержанием  $\text{BeCl}_2$  меньше 50% ячейку предварительно загружался  $\text{NaCl}$ . Э. д. с. измерялась спустя 5 сек. после выключения тока. Предварительными измерениями установлено, что резкий спад напряжения на ячейке после выключения тока происходит в первые одну-две секунды, а затем напряжение практически не изменяется и соответствует э. д. с. гальванической цепи. Напряжение измерялось лабораторным потенциометром с зеркальным гальванометром чувствительностью  $10^{-8}$  А/мм в качестве нуль-инструмента. По расчету время измерения э. д. с. при различных температурах состав электролита изменялся незначительно (не более чем на 0,1%). Последние измерения э. д. с. проводились при температуре, близкой к  $500^\circ\text{C}$ , после чего электролит



из электролитической ячейки: 1 — Pt — PtRh — термопара; 2 — графитовый анод; 3 — платиновый катод; 4 — асбестовые уплотнения; 5 — керамическая крышка; 6 — расплав  $\text{BeCl}_2\text{—NaCl}$

переливался в пробирку и затем анализировался на содержание  $\text{NaCl}$ .  $\text{NaCl}$  определялся при помощи цинкуранилацината [3]. Содержание  $\text{BeCl}_2$  находилось по разности. Значения э. д. с., измеренных при различных температурах наносились на график, и по нему определялись э. д. с. при  $500^\circ$ , которые сведены в табл. 1.

Для нахождения э. д. с. химической цепи для индивидуального  $\text{BeCl}_2$  ( $E^\circ$ ) при  $500^\circ\text{C}$  было подобрано следующее эмпирическое уравнение, соответствующее экспериментальным величинам

$$E_{500} = 1,962 + \frac{0,0244}{x_1^2} V,$$

где  $x_1$  — мольная доля  $\text{BeCl}_2$ . Отсюда находим:  $E_{500}^\circ = 1,9864 V$ . Такой прием нахождения  $E^\circ$  является вынужденным, так как непосредственно измерить  $E^\circ$  весьма трудно. В связи с этим величины парциального изобарного потенциала  $\text{BeCl}_2$ , помещенные в табл. 2, следует рассматривать как ориентировочные.

Таблица

Э. д. с. цепи  $\text{Be}|\text{BeCl}_2x_1 + \text{NaCl}(1-x_1)|\text{Cl}_2$  при  $500^\circ\text{C}$

Мольная доля $\text{BeCl}_2x_1$	0,622	0,562	0,534	0,510	0,505	0,418	0,398	0,399	0,328	0,3
э. д. с., вольты	2,027	2,033	2,04	2,057	2,066	2,114	2,121	2,125	2,187	2,2

Таблица

Термодинамические свойства  $\text{BeCl}_2$  в расплавленной системе  $\text{BeCl}_2 - \text{NaCl}$

$x_1$	1	0,7	0,6	0,5	0,4	0,33	0,3
$500^\circ E$ , вольты	1,9864	2,30118	2,0298	2,0596	2,1144	29186	2,23
$\Delta Z_1$ , $\frac{\text{кал}}{\text{моль}}$	-91620	-92790	-93620	-94990	-97520	-100820	-103
$\bar{Z}_1 - Z_1^0$ , $\frac{\text{кал}}{\text{моль}}$	0	-1170	-2000	-3370	-5900	-9200	-113
$\bar{Z}_1^i - Z_1^0$ , $\frac{\text{кал}}{\text{моль}}$	0	-550	-780	-1060	-1400	-1700	-185
$\bar{Z}_1^E$ , $\frac{\text{кал}}{\text{моль}}$	0	-620	-1220	-2310	-4500	-7500	-9530

В табл. 2 обозначено через  $x_1$  — мольная доля  $\text{BeCl}_2$ ,  $\Delta Z_1$  — изобарный потенциал образования  $\text{BeCl}_2$ ,  $\bar{Z}_1 - Z_1^0$  — изменение изобарного потенциала  $\text{BeCl}_2$  при переходе одного моля из индивидуального состояния в очень большой объем раствора солей при той же температуре  $\bar{Z}_1^i - Z_1^0 = RT \ln x_1$  — то же в случае идеального раствора,  $\bar{Z}_1^E = \bar{Z}_1 - \bar{Z}_1^i$  — избыточный парциальный изобарный потенциал.

Для оценки степени взаимодействия  $\text{BeCl}_2$  с  $\text{NaCl}$  при образовании растворов следовало бы изыскать избыток в изменении изобарного потенциала ( $\bar{Z}_1^E$ ) в отношении к тому изменению, которое происходило бы при образовании идеального раствора. Этот прием характеристики растворов применялся в работах В. А. Киреева [4].

По табл. 2 эта величина для раствора состава  $\text{BeCl}_2 \cdot 2\text{NaCl}$ , отвечающего химическому соединению на фазовой диаграмме [1], при  $500^\circ\text{C}$  равна  $-7,5$  ккал. Это находится в согласии с тем экспериментальным фактом, что уже при  $400^\circ\text{C}$  легко образуется расплав этих солей. Следовательно, при образовании раствора выделяется достаточно энергии, чтобы компенсировать скрытую теплоту плавления  $\text{NaCl}$  ( $7,22$  ккал/моль).

1. Измерены э. д. с. химических цепей  $\text{Be}|\text{BeCl}_2x_1 + \text{NaCl}(1-x_1)|\text{Cl}_2$  в зависимости от мольной доли  $\text{BeCl}_2$ . Э. д. с. химической цепи с индивидуальным  $\text{Be}$  найдена экстраполяцией экспериментальных величин и оказалось равной при  $500^\circ\text{C}$   $1,986 V$ .

2. Рассчитаны парциальные термодинамические свойства  $\text{BeCl}_2$ . Энергия образования  $\text{BeCl}_2$ ,  $2\text{NaCl}$  в расплаве при  $500^\circ\text{C}$  определена равной  $7,5$  ккал.

Академия наук УССР

Институт общей и неорганической химии

Поступила

10. XII. 1956

#### ЛИТЕРАТУРА

1. M. Schmidt, Ann. chim., 10, 351, 1929.
2. Ю. К. Делимарский и Е. М. Скобец, Журн. физ. химия, 20, 100, 1946.
3. Е. Б. Сендэл, Колориметрическое определение следов металлов, Госхимиздат, 1949.
4. В. А. Киреев, Журн. физ. химии, 14, 1456, 1940.

## СИСТЕМА ЕСТЕСТВЕННЫХ ИЗОТОПОВ

В. В. Пономарев

Систематизация естественных (природных) изотопов, имеющая в своей основе закон периодичности свойств атомных ядер, представляет собой пока еще нерешенную задачу. Успешное разрешение ее будет иметь существенное значение.

Делались многочисленные попытки составления рациональной таблицы атомных ядер, но до сего времени эти попытки не привели к желаемым результатам, а таблица настоящего времени является еще в значительной мере приближенной [1, 2]. Можно указать на некоторые работы, касающиеся рассматриваемого вопроса. Например, Бессел [3] предложил таблицу, в которой все известные изотопы распределены по их пространственности и местонахождению в природе. Юри [4] была предложена схема распределения изотопов. По группам изотопы были распределены Джонсоном [5]. А. Левитской [6] составлена таблица «наибольшего содержания изотопов». Имеет место описанная в литературе [7] попытка установления связи между массовым числом изотопа и величиной заряда его ядра. Установлена закономерность распределения нуклонов в атоме изотопов, которая принята за основу систематизации последних [8]. И. Знойко [9] предложена таблица систематизации изотопов. Предложена таблица систематизации изотопов на основе периодического закона химических элементов [10]. А. Новосельской [11] опубликована естественная система атомных ядер. В. И. Спи-

Таблица 1

	I	II	III	IV	V	VI	VII	VIII	IX	X	XI	XII	XIII	XIV	XV	XVI
1							H <sub>2</sub>	He <sub>1</sub>	Li <sub>2</sub>	Be <sub>1</sub>	B <sub>2</sub>	C <sub>2</sub>	N <sub>2</sub>			
2			O <sub>3</sub>	F <sub>1</sub>	Ne <sub>3</sub>	Na <sub>4</sub>	Mg <sub>3</sub>	Al <sub>1</sub>	Si <sub>3</sub>	P <sub>1</sub>	S <sub>4</sub>	Cl <sub>2</sub>	Ar <sub>3</sub>	K <sub>2</sub>		
3			Ca <sub>6</sub>	Sc <sub>1</sub>	Ti <sub>3</sub>	V <sub>1</sub>	Cr <sub>4</sub>	Mn <sub>1</sub>	Fe <sub>4</sub>	Co <sub>1</sub>						
4											Ni <sub>5</sub>	Cu <sub>2</sub>	Zn <sub>3</sub>	Ga <sub>2</sub>		
5									Ge <sub>5</sub>	As <sub>1</sub>	Se <sub>6</sub>	Br <sub>2</sub>	Kr <sub>6</sub>	Rb <sub>2</sub>		
6			Sr <sub>4</sub>	Y <sub>1</sub>	Zr <sub>3</sub>	Nb <sub>1</sub>	Mo <sub>7</sub>	Tc <sub>1</sub>	Ru <sub>7</sub>	Rh <sub>1</sub>	Pd <sub>6</sub>	Ag <sub>2</sub>	Cd <sub>8</sub>	In <sub>2</sub>	Sn <sub>9</sub>	Sb <sub>2</sub>
7			Te <sub>8</sub>	J <sub>1</sub>	Xe <sub>9</sub>	Cs <sub>1</sub>	Ba <sub>7</sub>	La <sub>1</sub>	Ce <sub>4</sub>	Pr <sub>1</sub>	Nd <sub>7</sub>	Pm <sub>1</sub>	Sm <sub>7</sub>	Eu <sub>2</sub>		
8	Gd <sub>7</sub>	Tb <sub>1</sub>	Dy <sub>1</sub>	Ho <sub>1</sub>	Er <sub>6</sub>	Tu <sub>1</sub>	Vb <sub>7</sub>	Lu <sub>1</sub>	Hf <sub>6</sub>	Ta <sub>1</sub>	W <sub>5</sub>	Re <sub>2</sub>	Os <sub>7</sub>	Ir <sub>2</sub>		
9									Pt <sub>5</sub>	Au <sub>1</sub>	Hg <sub>7</sub>	Tl <sub>2</sub>				
10					Pb <sub>5</sub>	Bi <sub>1</sub>	Po <sub>7</sub>	At <sub>1</sub>	Rn <sub>1</sub>	Fr <sub>1</sub>	Ra <sub>4</sub>	Ac <sub>1</sub>	Th <sub>5</sub>	Pa <sub>2</sub>		
11							U <sub>4</sub>	Np <sub>6</sub>	Pu <sub>3</sub>	Am <sub>1</sub>	Cm <sub>3</sub>	Bk <sub>2</sub>	Cf <sub>1</sub>	En <sub>1</sub>	Fm <sub>1</sub>	Md <sub>1</sub>

ним [12] показана периодичность преобладающих изотопов химических элементов. Д. Иваненко и А. Соколовым [13] найдены некоторые закономерности в распределении нуклонов в ядрах атомов. Можно указать на близкие к рассматриваемому вопросу работы С. Саркисова [14] и Е. П. Ожигова [15].

В данной работе предложена таблица систематизации естественных изотопов, касающаяся периодичности в свойствах изотопов в связи с предлагаемой таблицей. В данном случае мы ограничиваемся определенным расположением элементов по их

Таблица 2

Отклонения в табл. 1

	I	II	III	IV	V	VI	VII	VIII	IX	X	XI	XII	XIII	XIV	XV	XVI
1																
2											S -1					
3			Ca -2		Ti -1											
4																
5									Ge +							
6			Sr +3		Zr +2						Pd +1		Cd -1		Sn -2	
7			Te -1		Xe -2				Ce +3							
8					Er +1				Hf +1		W +2					
9									Pt +2							
10																
11																

изотопному составу, руководствуясь тем известным фактом, что элементы с нечетным атомным номером имеют один или два изотопа, и что число стабильных изотопов с четным  $z$  возрастает.

Если расположить все известные химические элементы по мере увеличения их порядкового номера, то при этом можно обнаружить определенную периодичность в чередовании элементов с тем или иным количеством естественных изотопов (табл. 1) (Количество естественных изотопов химических элементов и их массовые числа взяты по данным 1950 г. [16].)

В предлагаемой таблице элементы, расположенные в вертикальных столбцах II, IV, VI, VIII и X, имеют по одному изотопу, а расположенные в XII, XIV и XVI столбцах по два изотопа. Элементы, расположенные в других столбцах, имеют возрастающее по вертикали количество изотопов, а именно: элементы, находящиеся в первом горизонтальном ряду, имеют по два изотопа, находящиеся во втором — по три изотопа, в третьем — в среднем по четыре, в четвертом — в среднем по пяти, в пятом — в среднем по шести и в шестом, седьмом, восьмом и девятом — в среднем по семи изотопов. Таким образом число изотопов у элементов, расположенных в I, III, V, VII, IX, XI, XIII и XV столбцах, растет от одного горизонтального ряда к другому вплоть до шестого ряда, после чего увеличение числа изотопов в основном прекращается. В десятом ряду располагаются элементы, изотопы которых радиоактивны, а в одиннадцатом ряду — трансурановые элементы с их изотопами. В табл. 1 имеют место отклонения от указанного порядка в числе изотопов, которые помещены в табл. 2. В последней число со знаком плюс показывает число «недостающих» изотопов у данного элемента в соответствии с его местом в табл. 1, а со знаком минус соответственно, — число «лишних» изотопов. (Радиоактивные изотопы в таблицу не входят.) На основании табл. 2 можно обнаружить еще и следующую закономерность, заключающуюся в том, что элементы с избытком изотопов располагаются в начале таблицы, в середине таблицы отклонения отсутствуют, а элементы с недостатком изотопов поместились, главным образом, в конц

таблицы. Очевидно, что это не может носить случайного характера и должно иметь объяснение.

Из табл. 2 видно, что у семи элементов можно обнаружить избыток изотопов, а у пяти — недостаток. Избыток изотопов можно констатировать у S, Ti, Cd, Te (имеют по одному лишнему изотопу); Ca, Sn, Xe (имеют по два лишних изотона). Недостаток изотопов обнаруживается у Ge, Pd, Er, Hf (не хватает по одному изотопу); Zr, W, Pt (не хватает по два изотона) и Sr, Se (не хватает по три изотона). Последние два ряда таблицы, естественно, не рассматриваются в силу радиоактивности расположенных в них элементов.

Следовательно, в предлагаемой таблице «Систематика естественных изотопов» раз иллюстрирован основной закон периодичности, связанный с скачкообразным изменением качественных характеристик по мере изменения количественных показателей.

Московский государственный  
университет им. М. В. Ломоносова

Поступила  
28. III. 1957

#### ЛИТЕРАТУРА

- Ф. В. Астон, Масс-спектры и изотопы, ИИЛ, М., 1948, стр. 215.  
 Е. Рабинович, Э. Тило, Периодическая система элементов; ГТИ, 1933, стр. 120.  
 M. Russell, Phil. Mag., 47, 1121, 1924; 48, 365, 1924.  
 L. Urey, Journ. Amer. Chem. Soc., 53, 2872, 1931.  
 J. Johnston, Journ. Amer. Chem. Soc., 53, 2866, 1931; 54, 824, 1932.  
 М. А. Левитская, ДАН, 5, 399, 1947; 1, 37, 1950.  
 Л. А. Миндалев, ДАН, 1, 32, 1948.  
 Д. И. Иваненко, Е. Н. Гапон, Phys. Zs. d. Sowietun., 1, 99, 1932.  
 В. П. Знойко ДАН, 5, 837; 2, 169; 6, 1021, 1949.  
 И. А. Вайсман, ДАН, 5, 211, 1948.  
 И. А. Новосельская, ДАН, 55, 921, 1950.  
 В. И. Спицын, ДАН, 6, 1053, 1950.  
 Д. Иваненко, А. Соколов, ДАН, 1, 33, 1950.  
 Э. С. Саркисов, Журн. физ. химии, 26, 1, 10, 1952.  
 Е. П. Ожигов, Журн. общ. химии, 23, 1, 3, 1953.  
 Б. Д. Желепов, С. Петрович, Усп. физ. наук, 4, 497, 1950.

## СОДЕРЖАНИЕ

С. З. Рогинский. Происхождение и значение изменяющихся энергетических характеристик каталитического процесса . . . . .	2381
Н. И. Кобозев. О механизме катализа. II . . . . .	2391
А. Д. Степуховичи Е. Е. Никитин. О кинетике и механизме распада тетраметилэтилена . . . . .	2400
Л. И. Кристаллик. К теории замедленного разряда . . . . .	2403
А. М. Евсеев. К вопросу о теории жидкости . . . . .	2414
Я. И. Турьян. Исследование поляризации при полярографировании роданистых комплексов никеля . . . . .	2423
Г. А. Богдановский и А. И. Шлыгин. О механизме электроокисления спиртов и альдегидов на платине. О механизме электроокисления этилового спирта . . . . .	2428
Л. П. Филиппов. Использование теории подобия для описания свойств жидкостей. IV. Вязкость . . . . .	2435
В. И. Кравцов и И. С. Логинова. О механизме растворения кадмия и амальгамы кадмия в растворе кислот . . . . .	2438
М. В. Товбиш и Е. В. Савинова. Кинетика нестационарных процессов на границе раздела жидкость — газ. I. Кипетика нестационарного процесса испарения воды . . . . .	2445
В. Г. Левичи В. А. Мямлин. Движение ртутных капель в поле тяжести и в магнитном поле . . . . .	2453
Н. Н. Градианский и П. Ф. Калужная. Исследование коррозионной стойкости твердых растворов металлов. VI. Система Ag—Cd . . . . .	2458
В. Г. Плюснин и А. П. Лысенко. Закономерности замещения атомов водорода в бензольном ядре алкильными группами. III. Соотношения между константами скорости образования изопропилбензолов и уравнения состава продуктов алкилирования изопропилбензола пропиленом в присутствии фтористого водорода. . . . .	2464
В. Ф. Конусов. К теории ограниченного кристалла типа NaCl . . . . .	2469
О. М. Полтораки. Термодинамика кристаллов. I. Обобщение принципа Гиббса — Кюри . . . . .	2477
В. И. Малкин, С. Ф. Хохлови Л. А. Щварцман. Измерение чисел переноса катионов в расплаве $\text{Na}_2\text{O} \cdot \text{K}_2\text{O} \cdot 4\text{SiO}_2$ . . . . .	2485
К. А. Андрианов и Г. Е. Голубков. Электрические свойства и строение 1,4-гексаметилполихлорфенилэтилсилоксанов . . . . .	2488
А. И. Августиник, Л. В. Козловский и П. Ф. Коновалов. К вопросу об отношении мусковита к нагреванию . . . . .	2495
Б. Н. Кабанов и Е. В. Борелко. Перенапряжение водорода на магнии . . . . .	2501
М. Хайсинский. О природе активации кислорода при радиолизе водных растворов . . . . .	2507
Ф. П. Довженко. Проверка уравнения Г. М. Панченкова (зависимости коэффициента вязкости от температуры для двойных жидких смесей) . . . . .	2517
В. Д. Крылов и Ю. Н. Ефремов. Структура Cu — Si сплавов и их каталитическая активность в реакции с хлористым этилом . . . . .	2522
С. В. Горбачев и О. Б. Хачатурян. Зависимость скорости электролиза от состава обратимых окислительно-восстановительных систем . . . . .	2526
Г. М. Бартечев и А. А. Ремизова. Фазовые переходы и их классификация . . . . .	2534
Н. И. Кобозев, В. П. Лебедев, Б. В. Страхов и Г. И. Зыкова. Физико-химия конденсированного озона. III. Взрывное окисление азота в смесях с конденсированным озоном . . . . .	2547
Б. И. Айходжаев, Т. И. Соголова и В. А. Каргин. Зависимость механических свойств структурированной гуттаперчи от условий образования поперечных связей . . . . .	2551
В. В. Болдырев и А. С. Ермолаев. О каталитическом влиянии твердых продуктов при восстановлении окислов никеля и меди водородом . . . . .	2562

# Методы и техника физико-химического исследования

А. Бергер. Графоаналитический метод нахождения порядка необратимой реакции для эквивалентных количеств реагирующих веществ . . . . .	2571
А. Гуськов и М. Я. Фиошин. Методика поляризационных измерений в слабо электропроводных растворах . . . . .	2575
В. Бутусов. О повышении чувствительности автоматических электронных потенциометров . . . . .	2578
Л. Бубырева, Б. И. Маркин, Б. П. Биндас, Ю. А. Силкин и К. В. Чматов. Комбинированный прибор для измерения вязкости, плотности и температуры затвердевания — плавления . . . . .	2580

## Письма в редакцию

П. Мохнаткин. О противоречиях в теории И. П. Эренфеста . . . . .	2584
С. Зуев и С. И. Праведникова. По поводу статьи Н. Н. Знаменского «К вопросу о кинетике взаимодействия озона с резиной» . . . . .	2586
Д. Марков, Ю. К. Делимарский. Термодинамические свойства $\text{BeCl}_2$ в расплавленной системе $\text{BeCl}_2 - \text{NaCl}$ . . . . .	2589
В. Пономарев. Система естественных изотопов. . . . .	2591

## CONTENTS

Z. Roginsky. The Origin and Significance of Changing Energy Characteristics of the Catalytic Process . . . . .	2381
I. Kobozev. On the Mechanism of Catalysis II . . . . .	2391
D. Stepukhovich and E. E. Nikitin. On the Kinetics and Mechanism of Tetramethylethylene Decomposition . . . . .	2400
I. Krishtalik. A Contribution to the Slow Discharge Theory . . . . .	2403
M. Evseev. On the Theory of Liquids . . . . .	2414
I. Turyan. A Study of Polarization in the Polarography of Thiocyanate Complexes of Nickel . . . . .	2423
I. Bogdanovskii and A. I. Shlygin. The Mechanism of the Electro-oxidation of Alcohols and Aldehydes on Platinum. On the Mechanism of the Electrooxidation of Ethyl Alcohol . . . . .	2428
P. Filippov. The Use of the Similarity Principle in Characterizing the Properties of Liquids. IV. Viscosity . . . . .	2435
I. Kravtsov and I. S. Loginova. On the Mechanism of the Dissolution of Cadmium and Cadmium Amalgam in Solutions of Acids. . . . .	2438
V. Tovbin and E. V. Savinova. The Non-Steady State Kinetics of Processes at the Gas-Liquid Interface. I. The Kinetics of Water Evaporation in the Non-Steady State . . . . .	2445
G. Levich and V. A. Myamlin. The Motion of Mercury Drops in a Gravitational and a Magnetic Field . . . . .	2453
N. Gratsianskii and P. F. Kaluzhnaya. Studies in the Corrosion Resistance of Solid Metallic Solutions. VI. The System Ag-Cd . . . . .	2458
G. Plusnin, A. P. Lyenko. Correlations in the Alkyl Substitution of Hydrogen in the Benzene Ring. III. The Relation between the Constants of the Rates of Formation of Isopropylbenzenes and the Equations for the Composition of the Products of the Alkylation of Isopropylbenzene by Propene in the Presence of Hydrogen Fluoride . . . . .	2464
F. Conusov. On the Theory of Finite Crystals of the NaCl Type. . . . .	2469
M. Poltorak. The Thermodynamics of Crystals. I. Generalisation of the Gibbs — Curie Principle . . . . .	2477
I. Malkin, S. F. Khokhlov and L. A. Shvartsman. Determination of the Cation Transport Numbers in the Melt $\text{Na}_2\text{O} \cdot \text{K}_2\text{O} \cdot 4\text{SiO}_2$ . . . . .	2485
A. Andrianov and G. E. Golubkov. The Electrical Properties and the Structure of 1, <i>n</i> -Hexamethylpolychlorophenylethylsiloxanes . . . . .	2488
I. Avgustinik, L. V. Kozlovskii and P. F. Konovalov. Concerning the Relation of Muscovite to Heat . . . . .	2495
N. Kabanov and E. V. Boreiko. Hydrogen Overvoltage on Magnesium . . . . .	2501
K. Haisinskii. On the Nature of Activation of Oxygen in the Radiolysis of Aqueous Solutions . . . . .	2507
P. Dovzhenko. A Test of the Panchenkov Equation (The Temperature Dependence on the Viscosity Coefficient for Binary Liquid Mixtures) . . . . .	2517
D. Krylov and Yu. N. Efremov. The Structure of Cu-Si Alloys and Their Catalytic Activity in the Reaction with Chloroethyl . . . . .	2522

S. V. Gorbachev and O. B. Khachatryan. The Dependence of the Rate of Electrolysis on the Composition of Reversible Redox Systems . . . . .	252
G. M. Bartenev and A. A. Remizova. Phase Transitions and Their Classification. . . . .	253
N. I. Kobozev, V. P. Lebedev, B. V. Strakhov and G. I. Zykov. The Physical Chemistry of Concentrated Ozone. III. The Explosive Oxidation of Nitrogen in Mixtures with Concentrated Ozone . . . . .	254
B. I. Aikholdzhaev, T. I. Sogolova and V. A. Kargin. The Dependence of the Mechanical Properties of Structurized Gutta-Percha on the Conditions of Formation of Cross Linkages . . . . .	255
V. V. Boldyrev and A. S. Ermolaev. The Catalytic Effect of Solid Reaction Products in the Reduction of Nickel and Copper Oxides by Hydrogen . . . . .	256

### Experimental Methods and Techniques

G. S. Berger. A. Graphoanalytic Method for Calculating the Order of Irreversible Reactions for Equivalent Reactants . . . . .	257
V. A. Gus'kov and M. Ya. Fioshin. A Method for Polarization Measurements in Poorly Conducting Solutions . . . . .	257
L. V. Butusov. Increasing the Sensitivity of Automatic Electric Potentiometers . . . . .	257
N. S. Bubyreva, B. I. Markin, B. P. Bindas, Yu. A. Silkin, K. V. Chmutov. An Apparatus for the Joint Determination of Viscosity, Density and the Melting-Solidification Temperature . . . . .	258

### Communications to the Editor

M. P. Mokhnatkin. On Contradictions in Ehrenfest's Theory . . . . .	258
Yu. S. Zuev and S. I. Pravednikova. On the Paper by N. N. Znamenskiĭ "On the Kinetics of the Interaction of Ozone and Rubber". . . . .	258
B. F. Markov and Yu. K. Delimarskiĭ. The Thermodynamic Properties of $\text{BeCl}_2$ in Molten System $\text{BeCl}-\text{NaCl}_2$ . . . . .	258
V. V. Ponomarev. The System of Natural Isotopes . . . . .	259

Т-10569 Подписано к печати 6/XII 1957 г. Печ. л. 18,50 + 2 вкл. Уч.-изд. л. 20,8  
Формат бумаги 70×108<sup>1</sup>/<sub>16</sub>. Бум. л. 6<sup>3</sup>/<sub>4</sub> Зак. 2083 Тираж 4075 экз.

2-я типография Издательства Академии наук СССР. Москва, Шубинский пер., 10

22 руб. 50 коп.